



TUGAS AKHIR - SM 141501

ANALISIS MODEL MATEMATIKA PENYEBARAN PENYAKIT *CO-INFECTION CHLAMYDIA DAN* PNEUMONIA

**SITI NUR MARELIANA LENI SYAH PUTRI
NRP 06111440000064**

**Dosen Pembimbing
Dr. Hariyanto, M.Si
Drs. Suhud Wahyudi, M.Si**

**DEPARTEMEN MATEMATIKA
Fakultas Matematika, Komputasi, dan Sains Data
Institut Teknologi Sepuluh Nopember
Surabaya 2018**



TUGAS AKHIR - SM141501

**ANALISIS MODEL MATEMATIKA PENYEBARAN
PENYAKIT CO-INFECTION CHLAMYDIA DAN
PNEUMONIA**

**SITI NUR MARELIANA LENI SYAH PUTRI
NRP 06111440000064**

Dosen Pembimbing
Dr. Hariyanto, M.Si
Drs. Suhud Wahyudi, M.Si

DEPARTEMEN MATEMATIKA
Fakultas Matematika, Komputasi, dan Sains Data
Institut Teknologi Sepuluh Nopember
Surabaya 2018



FINAL PROJECT - SM141501

**ANALYSIS OF THE MATHEMATICAL MODEL
SPREADING OF CHLAMYDIA AND PNEUMONIA
CO-INFECTION DISEASES**

**SITI NUR MARELIANA LENI SYAH PUTRI
NRP 0611144000064**

Supervisors

Dr. Haryanto, M.Si

Drs. Suhud Wahyudi, M.Si

DEPARTMEN OF MATHEMATICS

Faculty Of Mathematics, Computation, and Data Science

Sepuluh Nopember Institute of Technology

Surabaya 2018

LEMBAR PENGESAHAN

ANALISIS MODEL MATEMATIKA PENYEBARAN PENYAKIT *CO-INFECTION CHLAMYDIA DAN* *PNEUMONIA*

*ANALYSIS OF THE MATHEMATICAL MODEL SPREADING OF CHLAMYDIA AND PNEUMONIA *CO-INFECTION DISEASES**

TUGAS AKHIR

Diajukan untuk memenuhi salah satu syarat
Untuk memperoleh gelar Sarjana Sains
Pada bidang studi Matematika Terapan
Program Studi S-1 Departemen Matematika
Fakultas Matematika, Komputasi, dan Sains Data
Institut Teknologi Sepuluh Nopember Surabaya

Oleh :

SITI NUR MARELIANA LENI SYAH PUTRI

NRP. 06111440000064

Menyetujui,

Dosen Pembimbing II,

Dosen Pembimbing I,

Drs. Suhud Wahyudi, M.Si

NIP. 19600109 198701 1 001

Dr. Hariyanto, M.Si

NIP. 19530414 198203 1 002

Mengetahui,

Ketua Departemen Matematika

FMKSD ITS

Dr. Imam Mukhlash, S.Si, MT

NIP. 19700831 199403 1 003

MAT Surabaya, 27 Juli 2018

ANALISIS MODEL MATEMATIKA PENYEBARAN PENYAKIT *CO-INFECTION* CHLAMYDIA DAN PNEUMONIA

Nama : Siti Nur Mareliana Leni Syah Putri
NRP : 06111440000064
Departemen : Matematika
Dosen Pembimbing : 1. Dr. Hariyanto, M.Si
2. Drs. Suhud Wahyudi, M.Si

ABSTRAK

Infeksi chlamydia adalah salah satu masalah utama kesehatan masyarakat. Infeksi chlamydia bersifat asimptomatis serta dapat menyebabkan penyakit lain, salah satunya adalah pneumonia. *Co-infection* chlamydia dan pneumonia terjadi ketika chlamydia dan pneumonia menginfeksi manusia secara bersamaan. Pada tugas akhir ini dibahas analisis model matematika penyebaran penyakit *co-infection* chlamydia dan pneumonia. Berdasarkan hasil analisis model diperoleh empat titik setimbang, yaitu titik setimbang non endemik (E_0), endemik chlamydia (E_0)₁, endemik pneumonia (E_0)₂, dan endemik *co-infection* chlamydia dan pneumonia (E_0)₃. Dengan menggunakan metode *Next Generation Matrix* (NGM) diperoleh dua nilai *basic reproduction number*, yaitu *basic reproduction number* penyebaran penyakit chlamydia (R_{0_1}) dan penyakit pneumonia (R_{0_2}). Titik setimbang non endemik (E_0) stabil asimtotik lokal jika $R_{0_1} < 1$ dan $R_{0_2} < 1$, titik setimbang endemik chlamydia (E_0)₁ stabil asimtotik lokal jika $R_{0_1} > 1$ dan $R_{0_2} < 1$, titik setimbang endemik pneumonia (E_0)₂ stabil asimtotik lokal jika $R_{0_1} < 1$ dan $R_{0_2} > 1$, dan titik setimbang endemik *co-infection* chlamydia dan pneumonia (E_0)₃ stabil asimtotik lokal jika

$R_{01} > 1$ dan $R_{02} > 1$. Berdasarkan hasil simulasi numerik, laju transmisi pneumonia mempunyai pengaruh besar terhadap jumlah populasi manusia yang menderita *co-infection chlamydia dan pneumonia*.

Kata kunci: *Model Matematika, Chlamydia, Pneumonia, Co-infection, Kestabilan.*

ANALYSIS OF MATHEMATICAL MODEL OF THE SPREAD OF CHLAMYDIA AND PNEUMONIA CO-INFECTION DISEASE

Name of Student : Siti Nur Mareliana Leni Syah Putri
NRP : 06111440000064
Department : Mathematics
Supervisor : 1. Dr. Hariyanto, M.Si
 2. Drs. Suhud Wahyudi, M.Si

ABSTRACT

Chlamydia infection is one of the major public health problems. Chlamydia infection is asymptomatic and can cause other diseases, one of which is pneumonia. Co-infection chlamydia and pneumonia occur when chlamydia and pneumonia infect humans simultaneously. In this final project, we discuss a mathematical model spreading of chlamydia and pneumonia co-infection disease. Based on the analytical result of the model, there are four equilibrium, namely disease-free equilibrium (E_0), chlamydia endemic equilibrium ($(E_0)_1$), pneumonia endemic equilibrium ($(E_0)_2$) and chlamydia-pneumonia co-infection endemic equilibrium ($(E_0)_3$). By the Next Generation Matrix (NGM) method, we obtain two basic reproduction numbers, that is basic reproduction number for spreading of chlamydia (R_{0_1}) and basic reproduction number for spreading of pneumonia (R_{0_2}). (E_0) equilibrium point is local asymptotically stable if $R_{0_1} < 1$ and $R_{0_2} < 1$. $(E_0)_1$ equilibrium point is exist and disposed to local asymptotically stable if $R_{0_1} > 1$ and $R_{0_2} < 1$. $(E_0)_2$ equilibrium point is exist and disposed to local asymptotically stable if $R_{0_1} < 1$ and $R_{0_2} > 1$. And $(E_0)_3$ equilibrium point is disposed to local asymptotically stable if $R_{0_1} > 1$ and $R_{0_2} > 1$. Then, the numerical simulation results show that the value of pneumonia transmission rate has a big

influences to the number of chlamydia-pneumonia co-infection people.

Keywords: *Mathematical Model, Chlamydia, Pneumonia, Co-infection, Stability.*

KATA PENGANTAR

Assalamu'alaikum Wr. Wb.

Alhamdulillahirobbil'aalamin, segala puji syukur penulis panjatkan kehadiran Allah SWT, atas segala rahmat, taufiq dan karunia-Nya, sehingga penulis dapat menyelesaikan Tugas Akhir yang berjudul

ANALISIS MODEL MATEMATIKA PENYEBARAN PENYAKIT *CO-INFECTION CHLAMYDIA DAN PNEUMONIA*

yang merupakan salah satu persyaratan akademis dalam menyelesaikan Program Sarjana Departemen Matematika, Fakultas Matematika, Komputasi, dan Sains Data Institut Teknologi Sepuluh Nopember Surabaya.

Dalam menyelesaikan Tugas Akhir ini, penulis telah banyak mendapat bantuan serta masukan dari berbagai pihak. Oleh karena itu, dalam kesempatan ini penulis menyampaikan terima kasih kepada:

1. Bapak Dr. Imam Mukhlash, S.Si, MT. selaku Ketua Departemen Matematika FMKSD ITS yang telah memberikan dukungan dan motivasi selama perkuliahan hingga terselesaiannya Tugas Akhir ini.
2. Ibu Dr. Dra. Mardlijah, MT. selaku Sekretaris Departemen serta Dosen Wali yang telah memberikan dukungan dan motivasi selama perkuliahan hingga terselesaiannya Tugas Akhir ini.
3. Bapak Dr. Didik Khusnul Arif, S.Si., M.Si. selaku Kaprodi Sarjana Matematika FMKSD ITS yang telah memberikan dukungan dan motivasi selama perkuliahan hingga terselesaiannya Tugas Akhir ini.

4. Bapak Drs. Iis Herisman, M.Sc. selaku Sekretaris Kaprodi Sarjana Matematika FMKSD ITS yang telah memberikan dukungan dan motivasi selama perkuliahan hingga terselesainya Tugas Akhir ini.
5. Bapak Dr. Hariyanto, M.Si dan Bapak Drs. Suhud Wahyudi, M.Si selaku Dosen Pembimbing yang telah memberikan bimbingan, arahan, dan motivasi kepada penulis dalam mengerjakan Tugas Akhir ini sehingga dapat selesai dengan baik.
6. Bapak Drs. Suharmadi, Dipl. Sc, M.Phil, Bapak Drs. Mohammad Setijo Winarko, M.Si, Ibu Dra. Wahyu Fistia Doctorina, M.Si selaku Dosen Penguji yang telah memberikan saran demi perbaikan Tugas Akhir.
7. Keluarga tercinta terutama Bapak Latsuri dan Ibu Sri Darwati yang senantiasa dengan ikhlas memberikan kasih sayang, semangat, doa, dan nasihat-nasihat yang sungguh berarti, serta Kartika Ayu Dwi Nurmarsheila yang senantiasa memberikan semangat dan dukungan kepada penulis.
8. Seluruh jajaran dosen dan staf departemen Matematika ITS yang tidak dapat penulis sebutkan satu-persatu.
9. Seluruh teman-teman angkatan 2014 dan seluruh keluarga besar Matematika ITS terima kasih atas dukungan dan semangat yang diberikan kepada penulis.

Apabila dalam Tugas Akhir ini ada kekurangan, penulis mohon kritik dan saran demi penyempurnaan Laporan Kerja Praktek di masa yang akan datang. Semoga Tugas Akhir ini dapat bermanfaat bagi semua pihak yang berkepentingan.

Wassalamu'alaikum Wr. Wb.

Surabaya, 26 Juli 2018

DAFTAR ISI

	Halaman
HALAMAN JUDUL	i
TITLE PAGE	iii
LEMBAR PENGESAHAN	v
ABSTRAK	vii
ABSTRACT	ix
KATA PENGANTAR	xi
DAFTAR ISI	xiii
DAFTAR TABEL	xvii
DAFTAR GAMBAR	xix
DAFTAR LAMPIRAN	xxi
DAFTAR SIMBOL	xxiii
BAB I PENDAHULUAN	
1.1 Latar Belakang	1
1.2 Rumusan Masalah	3
1.3 Batasan Masalah	4
1.4 Tujuan	4
1.5 Manfaat	4
1.6 Sistematika Penulisan Tugas Akhir	5
BAB II TINJAUAN PUSTAKA	
2.1 Penelitian Terdahulu	7
2.2 Model Epidemi SEIR	9
2.3 Titik Setimbang	10
2.4 Kestabilan Asimtotis Lokal	11
2.4.1 Linearisasi	11
2.4.2 Akar-akar Persamaan Karakteristik	11
2.5 Kriteria Routh-Hurwitz	12
2.6 Bilangan Reproduksi Dasar	13
2.7 Metode Runge-Kutta Orde Empat	14

BAB III METODOLOGI PENELITIAN

3.1	Langkah Pengerjaan	15
3.2	Diagram Alur Penelitian	17

BAB IV ANALISIS DAN PEMBAHASAN

4.1	Konstruksi Model Matematika Penyebaran Penyakit <i>Co-Infection Chlamydia dan Pneumonia</i>	19
4.2	Titik Setimbang Model Matematika Penyebaran Penyakit <i>Co-Infection Chlamydia dan Pneumonia</i> ...	29
4.2.1	Titik Setimbang Non Endemik.....	30
4.2.2	Titik Setimbang Endemik.....	32
	4.2.2.1 Titik Setimbang Endemik Chlamydia..	32
	4.2.2.2 Titik Setimbang Endemik Pneumonia .	33
	4.2.2.3 Titik Setimbang Endemik <i>Co-infection</i> Chlamydia-Pneumonia	34
4.3	Analisis Kestabilan pada Titik Setimbang	36
4.3.1	Analisis Kestabilan pada Titik Setimbang Non Endemik	39
4.3.2	Analisis Kestabilan pada Titik Setimbang Endemik Chlamydia.....	41
4.3.3	Analisis Kestabilan pada Titik Setimbang Endemik Pneumonia	43
4.3.4	Analisis Kestabilan pada Titik Setimbang Endemik <i>Co-infection Chlamydia-Pneumonia</i> ..	46
4.4	Simulasi Numerik.....	48
4.4.1	Implementasi Antarmuka	48
4.4.2	<i>Flow Chart</i>	49
4.4.3	Hasil Simulasi	51
	4.4.3.1 Percobaan Pertama.....	51
	4.4.3.2 Percobaan Kedua.....	54
	4.4.3.3 Percobaan Ketiga	58
	4.4.3.4 Percobaan Keempat.....	62

4.4.3.5 Simulasi <i>Rate</i> Transmisi Chlamydia....	66
4.4.3.6 Simulasi <i>Rate</i> Transmisi Pneumonia ...	67

BAB V PENUTUP

5.1 Kesimpulan	71
5.2 Saran	72
DAFTAR PUSTAKA	73
LAMPIRAN	75
BIODATA PENULIS	169

DAFTAR TABEL

	Halaman
Tabel 4.1	Variabel pada Model Matematika Penyebaran Penyakit <i>Co-Infection Chlamydia-Pneumonia</i> 21
Tabel 4.2	Parameter pada Model Matematika Penyebaran Penyakit <i>Co-Infection</i> <i>Chlamydia-Pneumonia</i> 22
Tabel 4.3	Nilai Parameter untuk Percobaan Pertama 51
Tabel 4.4	Nilai Parameter untuk Percobaan Kedua 54
Tabel 4.5	Nilai Parameter untuk Percobaan Ketiga 58
Tabel 4.6	Nilai Parameter untuk Percobaan Keempat 62

DAFTAR GAMBAR

Halaman

Gambar 2.1	Diagram kompartemen model epidemi tipe SEIR	10
Gambar 3.1	Diagram Alur Penelitian.....	17
Gambar 4.1	Diagram Kompartemen Model Matematika Penyebaran Penyakit <i>Co-Infection</i> Chlamydia-Pneumonia	24
Gambar 4.2	Home GUIDE Simulasi.....	48
Gambar 4.3	GUIDE Simulasi	49
Gambar 4.4	<i>Flow Chart</i> Simulasi	50
Gambar 4.5	Grafik Populasi <i>Susceptible</i> Percobaan Pertama.....	52
Gambar 4.6	Grafik Populasi <i>Exposed</i> Percobaan Pertama .52	
Gambar 4.7	Grafik Populasi <i>Infected</i> Percobaan Pertama .53	
Gambar 4.8	Grafik Populasi <i>Recovered</i> Percobaan Pertama.....	53
Gambar 4.9	Grafik Populasi <i>Susceptible</i> Percobaan Kedua	55
Gambar 4.10	Grafik Populasi <i>Exposed</i> Percobaan Kedua.....	56
Gambar 4.11	Grafik Populasi <i>Infected</i> Percobaan Kedua... .56	
Gambar 4.12	Grafik Populasi <i>Recovered</i> Percobaan Kedua	57
Gambar 4.13	Grafik Populasi <i>Susceptible</i> Percobaan Ketiga.....	59
Gambar 4.14	Grafik Populasi <i>Exposed</i> Percobaan Ketiga.. .60	
Gambar 4.15	Grafik Populasi <i>Infected</i> Percobaan Ketiga... .60	

Gambar 4.16	Grafik Populasi <i>Recovered</i> Percobaan Ketiga	61
Gambar 4.17	Grafik Populasi <i>Susceptible</i> Percobaan Keempat	63
Gambar 4.18	Grafik Populasi <i>Exposed</i> Percobaan Keempat	64
Gambar 4.19	Grafik Populasi <i>Infected</i> Percobaan Keempat	64
Gambar 4.20	Grafik Populasi <i>Recovered</i> Percobaan Keempat	65
Gambar 4.21	Pengaruh <i>Rate Transmisi Chlamdia</i> pada Populasi Manusia yang Terinfeksi <i>Chlamydia</i>	66
Gambar 4.22	Pengaruh <i>Rate Transmisi Chlamdia</i> pada Populasi Manusia yang Terinfeksi <i>Co-</i> <i>Infection Chlamydia</i> dan <i>Pneumonia</i>	67
Gambar 4.23	Pengaruh <i>Rate Transmisi Pneumonia</i> pada Populasi Manusia yang Terinfeksi <i>Pneumonia</i>	68
Gambar 4.24	Pengaruh <i>Rate Transmisi Pneumonia</i> pada Populasi Manusia yang Terinfeksi <i>Co-</i> <i>Infection Chlamydia</i> dan <i>Pneumonia</i>	68

DAFTAR LAMPIRAN

Halaman

Lampiran A	Perhitungan <i>Basic Reproduction Number (R_0)</i> ..	75
Lampiran B	Perhitungan Titik Setimbang Endemik Chlamydia (E_0) ₁	80
Lampiran C	Perhitungan Titik Setimbang Endemik Pneumonia (E_0) ₂	87
Lampiran D	Perhitungan Titik Setimbang Endemik <i>Co-infection Chlamydia-Pneumonia (E_0)₃</i>	94
Lampiran E	Perhitungan Persamaan Karakteristik Titik Setimbang Non Endemik (E_0)	99
Lampiran F	Perhitungan Kriteria Routh-Hurwitz Persamaan Karakteristik Titik Setimbang Non Endemik (E_0)	105
Lampiran G	Perhitungan Persamaan Karakteristik Titik Setimbang Endemik Chlamydia (E_0) ₁	107
Lampiran H	Perhitungan Kriteria Routh-Hurwitz Persamaan Karakteristik Titik Setimbang Endemik Chlamydia (E_0) ₁	113
Lampiran I	Perhitungan Persamaan Karakteristik Titik Setimbang Endemik Pneumonia (E_0) ₂	115
Lampiran J	Perhitungan Kriteria Routh-Hurwitz Persamaan Karakteristik Titik Setimbang Endemik Pneumonia (E_0) ₂	122
Lampiran K	Perhitungan Persamaan Karakteristik Titik Setimbang Endemik <i>Co-infection Chlamydia-Pneumonia (E_0)₃</i>	125

Lampiran L Perhitungan Kriteria Routh-Hurwitz Persamaan Karakteristik Titik Setimbang Endemik <i>Co-infection Chlamydia-Pneumonia (E_0)₃</i>	139
Lampiran M Source Code Simulasi	145

DAFTAR SIMBOL

- $S(t)$: Jumlah individu yang sehat dan rentan terinfeksi penyakit.
- $E_1(t)$: Jumlah individu yang sudah terinfeksi chlamydia tetapi belum dapat menginfeksi.
- $E_2(t)$: Jumlah individu yang sudah terinfeksi pneumonia tetapi belum dapat menginfeksi.
- $E_{12}(t)$: Jumlah individu yang sudah mengalami *co-infection* chlamydia-pneumonia tetapi belum dapat menginfeksi.
- $I_1(t)$: Jumlah individu yang terinfeksi chlamydia dan dapat menginfeksi.
- $I_2(t)$: Jumlah individu yang terinfeksi pneumonia dan dapat menginfeksi.
- $I_{12}(t)$: Jumlah individu yang mengalami *co-infection* chlamydia-pneumonia dan dapat menginfeksi.
- $R_1(t)$: Jumlah individu yang telah sembuh dari infeksi chlamydia.
- $R_2(t)$: Jumlah individu yang telah sembuh dari infeksi pneumonia.
- μ : *Rate* kelahiran atau kematian alami.
- β_1 : *Rate* transmisi chlamydia dari individu yang terinfeksi chlamydia.
- β_2 : *Rate* transmisi pneumonia dari individu yang terinfeksi pneumonia.
- β_{10} : *Rate* transmisi chlamydia dari individu *co-infection* chlamydia-pneumonia.
- β_{02} : *Rate* transmisi pneumonia dari individu *co-infection* chlamydia-pneumonia.
- ε_1 : *Rate* kemajuan untuk populasi *exposed* chlamydia.
- ε_2 : *Rate* kemajuan untuk populasi *exposed* pneumonia.
- ε_{10} : *Rate* kemajuan untuk populasi *exposed* chlamydia dari *exposed co-infection* chlamydia-pneumonia.
- ε_{02} : *Rate* kemajuan untuk populasi *exposed* pneumonia dari

- exposed co-infection chlamydia-pneumonia.*
- ρ_1 : Rate penyembuhan infeksi chlamydia.
- ρ_2 : Rate penyembuhan infeksi pneumonia.
- ρ_{10} : Rate penyembuhan infeksi chlamydia pada individu *co-infection chlamydia-pneumonia*.
- ρ_{02} : Rate penyembuhan infeksi pneumonia pada individu *co-infection chlamydia-pneumonia*.
- ω_1 : Rate populasi yang telah sembuh dari infeksi chlamydia menjadi sembuh dari infeksi pneumonia.
- ω_2 : Rate populasi yang telah sembuh dari infeksi pneumonia menjadi sembuh dari infeksi chlamydia.
- E_0 : Titik setimbang non endemik.
- $(E_0)_1$: Titik setimbang endemik chlamydia.
- $(E_0)_2$: Titik setimbang endemik pneumonia.
- $(E_0)_1$: Titik setimbang endemik *co-infection Chlamydia dan pneumonia*.

BAB I **PENDAHULUAN**

Bab ini membahas latar belakang yang mendasari penulisan Tugas Akhir. Didalamnya mencakup identifikasi permasalahan pada topik Tugas Akhir. Kemudian dirumuskan menjadi permasalahan yang akan diberikan batasan-batasan untuk membatasi pembahasan pada Tugas Akhir ini.

1.1 Latar Belakang Masalah

Chlamydia merupakan penyakit menular seksual yang disebabkan oleh bakteri *Chlamydia trachomatis*. Chlamydia ditularkan secara seksual (melalui hubungan seks vaginal, oral dan anal) dan juga ditularkan melalui modus vertikal (dari ibu ke janin yang dikandung) [1]. Chlamydia dapat menyebabkan infertilitas dan juga kehamilan ektopik. Chlamydia juga dapat menyebabkan penyakit lain seperti konjungtivitas, trachoma yang dapat menyebabkan kebutaan, *Fitz-Hugh-Curtis syndrome* (inflamasi dari liver capsule), dan pneumonia. Infeksi *Chlamydia trachomatis* diberbagai negara merupakan penyebab utama infeksi yang ditularkan terbanyak melalui hubungan seksual. Menurut laporan WHO pada tahun 1995 menunjukkan adanya 85 juta manusia yang terinfeksi penyakit ini. Pada tahun 1999 jumlah kasus penyebaran penyakit chlamydia mengalami kenaikan yaitu diperkirakan sekitar 92 juta, pada tahun 2005 jumlah kasus penyebaran penyakit chlamydia menjadi 101 juta, kemudian pada tahun 2008 ditunjukkan adanya 106 juta manusia terinfeksi penyakit chlamydia yang terjadi diseluruh dunia, serta menurut laporan WHO berdasarkan data prevalensi dari tahun 2005, prevalensi global penyakit chlamydia pada tahun 2012 adalah sebesar 4,2%, yang berarti sekitar 131 juta kasus infeksi clamydia. Di Indonesia, berdasarkan Laporan Survei Terpadu dan Biologis Perilaku (STBP) oleh Kementerian Kesehatan RI pada tahun 2011, prevalensi penyakit menular seksual (PMS) pada tahun 2011 yaitu infeksi gonore dan clamydia sebesar 179 % dan

sifilis sebesar 44 %. Untuk saat ini, angka kejadian infeksi chlamydia di Indonesia secara global belum diketahui karena pemeriksaan chlamydia belum secara rutin dikerjakan [2]. Selain itu infeksi chlamydia umumnya bersifat asimptomatis sehingga penderita tidak menyadarinya dan tidak pergi untuk berobat [3].

Nasopharyngeal pneumococcus adalah salah satu jenis bakteri yang menyebabkan infeksi serius seperti pneumonia. Pneumonia atau dalam bahasa awam disebut radang paru-paru merupakan jenis penyakit yang dapat menimbulkan konsolidasi jaringan paru dan gangguan pertukaran gas setempat, dan menimbulkan angka kesakitan yang tinggi, dengan gejala-gejala batuk, demam, dan sesak nafas [4]. Pneumonia dapat terjadi akibat menghirup bibit penyakit diudara, atau kuman ditenggorokan terisap masuk keparu-paru, dan bisa melalui luka, serta percikan ludah sewaktu bicara, bersin dan batuk. Dari data RISKESDAS terjadi peningkatan prevalensi pneumonia pada semua umur dari 2,1 % pada tahun 2007 menjadi 2,7% pada tahun 2013 [5]. Berdasarkan kelompok umur penduduk, prevalensi pneumonia yang tinggi terjadi pada 2 kelompok yaitu umur 1-4 tahun, kemudian mulai meningkat pada umur 45-54 tahun dan terus meningkat pada kelompok umur berikutnya. Pneumonia merupakan penyebab kematian terbesar pada anak di seluruh dunia. Menurut laporan WHO, pada tahun 2015 terjadi 920.136 kematian akibat pneumonia, 16% dari seluruh kematian anak usia kurang dari 5 tahun.

Co-infection chlamydia dan pneumonia terjadi ketika chlamydia dan pneumonia menginfeksi manusia secara bersamaan. Kasus mengenai *co-infection* chlamydia dan pneumonia di Indonesia memang belum banyak dilaporkan. Namun dengan banyaknya kasus penyebaran penyakit menular seksual dan banyaknya jumlah penderita pneumonia di Indonesia, maka tidak menutup kemungkinan bahwa *co-infection* ini akan kita jumpai di masa depan. Oleh karena itu perlu dilakukan upaya pencegahan munculnya *co-infection* chlamydia dan pneumonia di Indonesia.

Dewasa ini, pemodelan matematika telah banyak digunakan untuk menganalisis dinamika berbagai penyakit menular seperti chlamydia dan pneumonia. Model matematika dapat membantu meningkatkan pemahaman mengenai dinamika suatu penyakit serta dapat menjadi bahan pertimbangan dalam pengambilan keputusan. Banyak peneliti telah mempelajari dinamika penyebaran penyakit. Diantaranya adalah Sharomi dkk pada tahun 2011 menjelaskan model matematika penyebaran penyakit chlamydia [6]. Pada tahun 2013, Jacob dkk menjelaskan model matematika penyebaran penyakit pneumonia [7]. Daozhou Gao dkk, pada tahun 2016 mengembangkan model SIS dua penyakit yaitu chlamydia dan pneumonia [8]. Kemudian metode Runge-Kutta juga telah banyak digunakan untuk menganalisis model matematika, diantaranya pada tahun 2016, Tahiyatul Asfihani dkk menggunakan metode Runge-Kutta orde keempat untuk menganalisis model lintasan nanopartikel magnet pada pembuluh darah didalam medan magnet [9].

Merujuk pada penelitian diatas, dalam Tugas Akhir ini, dikonstruksikan model epidemi SEIR *co-infection* chlamydia dan pneumonia, kemudian akan didapatkan titik kesetimbangan dan kestabilan dari model *co-infection* chlamydia dan pneumonia, serta simulasi secara numerik dengan metode Runge-Kutta. Simulasi numerik dari model persamaan ini akan disimulasikan menggunakan MATLAB R2013a.

1.2 Rumusan Masalah

Berdasarkan latar belakang yang telah diuraikan, permasalahan yang akan dibahas adalah sebagai berikut:

1. Bagaimana titik kesetimbangan model matematika penyebaran penyakit *co-infection* chlamydia dan pneumonia?
2. Bagaimana kestabilan model matematika penyebaran penyakit *co-infection* chlamydia dan pneumonia?

3. Bagaimana analisis kestabilan yang diperoleh dari simulasi model matematika penyebaran penyakit *co-infection chlamydia* dan *pneumonia*?

1.3 Batasan Masalah

Berdasarkan rumusan di atas, maka ruang lingkup penelitian dibatasi sebagai berikut:

1. Model matematika yang digunakan dalam penelitian ini merupakan modifikasi dari model matematika pada jurnal yang ditulis oleh Daozhou Gao dkk (2016).
2. Analisis penyebaran penyakit *co-infection chlamydia* dan *pneumonia* ditinjau secara eksternal (di luar tubuh).
3. Simulasi model yang digunakan adalah dengan menggunakan perangkat lunak MATLAB R2013a.

1.4 Tujuan

Berdasarkan rumusan diatas, tujuan yang akan dicapai adalah sebagai berikut:

1. Mendapatkan titik kesetimbangan model matematika penyebaran penyakit *co-infection chlamydia* dan *pneumonia*.
2. Mendapatkan kestabilan model matematika penyebaran penyakit *co-infection chlamydia* dan *pneumonia*.
3. Menganalisis kestabilan hasil simulasi model matematika penyebaran penyakit *co-infection chlamydia* dan *pneumonia*.

1.5 Manfaat

Manfaat dari penulisan Tugas Akhir ini adalah:

1. Memberikan informasi penyebaran penyakit *co-infection chlamydia* dan *pneumonia* sehingga dapat digunakan dalam pengambilan kebijakan untuk mengatasi penyebaran penyakit *co-infection chlamydia* dan *pneumonia*.
2. Memberikan informasi tentang faktor-faktor penting yang memengaruhi penyebaran penyakit *co-infection chlamydia* dan *pneumonia* melalui analisis model matematikanya.

1.6 Sistematika Penulisan Tugas Akhir

Sistematika penulisan dalam laporan Tugas Akhir ini adalah sebagai berikut:

1. BAB I PENDAHULUAN

Bab ini menjelaskan latar belakang penyusunan Tugas Akhir, rumusan masalah, batasan masalah, tujuan, manfaat dan sistematika penulisan laporan Tugas Akhir.

2. BAB II TINJAUAN PUSTAKA

Pada bab ini diberikan beberapa definisi dan teorema yang digunakan sebagai acuan dalam pembahasan, serta untuk membantu memahami permasalahan yang akan dibahas.

3. BAB III METODOLOGI

Bab ini menjelaskan tentang tahap-tahap yang dilakukan dalam penyusunan Tugas Akhir ini.

4. BAB IV ANALISIS DAN PEMBAHASAN

Bab ini menjelaskan secara detail mengenai hasil penelitian Tugas Akhir ini.

5. BAB V KESIMPULAN DAN SARAN

Bab ini menjelaskan tentang penarikan kesimpulan yang diperoleh dari pembahasan masalah pada bab sebelumnya serta saran yang diberikan untuk pengembangan penelitian selanjutnya.

BAB II

TINJAUAN PUSTAKA

Pada bab ini diberikan beberapa definisi dan teorema yang digunakan sebagai acuan dalam pembahasan, serta untuk membantu memahami permasalahan yang akan dibahas.

2.1 Penelitian Terdahulu

Banyak peneliti yang telah mengembangkan model dinamika penyakit dengan segala permasalahannya, salah satunya adalah yang berjudul “*Mathematical study of a risk-structured two-group mode for Chlamydia transmission dynamics*” [6]., Sharomi dkk, pada tahun 2011 menjelaskan model matematika penyebaran penyakit chlamydia dalam dua grup yaitu grup laki-laki dan grup perempuan [6].

Jacob dkk, pada tahun 2013 dalam penelitian yang berjudul “*Mathematical Model for Pneumonia Dynamics with Carriers*” [7], dalam penelitian tersebut Jacob dkk menjelaskan model matematika penyebaran penyakit pneumonia dalam 4 kompartemen yaitu *Susceptible*, *Infected*, *Carriers* dan *Recovered* [7]. Kemudian Daozhou Gao dkk, pada tahun 2016 mengembangkan model epidemi SIS untuk dua penyakit, yaitu chlamydia dan pneumonia dimana individu yang terinfeksi dua penyakit mempunyai tingkat transmisi yang sama dengan individu yang hanya terinfeksi satu penyakit, yaitu “*Coinfection dynamics of two disease in a single host population*” [8]. Dalam penelitian tersebut Daozhou dkk menunjukkan ketika transmisi satu bakteri mempengaruhi tansmisi bakteri lainnya dan ditunjukkan juga ketika transmisi bakteri tidak saling mempengaruhi. Keterbatasan model [8] adalah tidak memperhatikan individu dalam keadaan *exposed* dan juga individu dalam keadaan *recovered*.

Model matematika dalam penelitian Daozhou dkk yaitu sebagai berikut:

$$\frac{dS}{dt} = \mu - (\beta_1 I_1 + \beta_2 I_2 + \beta_{10} I_{12} + \beta_{12} I_{12} + \beta_{02} I_{12})S + (\rho_1 I_1 + \rho_2 I_2) - \mu S, \quad (2.1a)$$

$$\frac{dI_1}{dt} = (\beta_1 I_1 + \beta_{10} I_{12})S - (\beta_2 I_2 + \beta_{12} I_{12} + \beta_{02} I_{12})I_1 + (\rho_2 I_{12} - \rho_1 I_1) - \mu I_1, \quad (2.1b)$$

$$\frac{dI_2}{dt} = (\beta_2 I_2 + \beta_{02} I_{12})S - (\beta_1 I_1 + \beta_{10} I_{12} + \beta_{12} I_{12})I_2 + (\rho_1 I_{12} - \rho_2 I_2) - \mu I_2, \quad (2.1c)$$

$$\frac{dI_{12}}{dt} = \beta_{12} I_{12} S + (\beta_2 I_2 + \beta_{02} I_{12} + \beta_{12} I_{12})I_1 + (\beta_1 I_1 + \beta_{10} I_{12} + \beta_{12} I_{12})I_2 - (\rho_1 + \rho_2)I_{12} - \mu I_{12}, \quad (2.1d)$$

$$1 = S + I_1 + I_2 + I_{12},$$

Dengan variabel sebagai berikut [8]:

$S(t)$: banyaknya individu yang sehat dan rentan terinfeksi chlamydia dan pneumonia pada saat t.

$I_1(t)$: banyaknya individu yang terinfeksi penyakit chlamydia pada saat t.

$I_2(t)$: banyaknya individu yang terinfeksi penyakit pneumonia pada saat t.

$I_{12}(t)$: banyaknya individu yang terinfeksi chlamydia dan pneumonia pada saat t.

Dan parameter sebagai berikut [8]:

ρ_1 : rate pemulihan penyakit chlamydia

ρ_2 : laju pemulihan penyakit pneumonia

μ : laju kelahiran dan kematian alami

β_1 : laju transmisi chlamydia

β_2 : laju transmisi pneumonia

β_{12} : laju transmisi *co-infection* chlamydia - pneumonia

β_{10} : laju transmisi chlamydia pada individu yang mengalami *co-infection* penyakit chlamydia – pneumonia

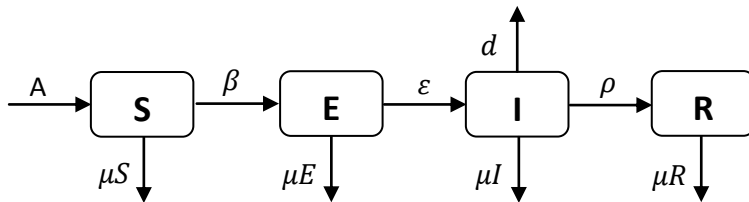
β_{02} : laju transmisi pneumonia pada individu yang mengalami *co-infection* penyakit chlamydia – pneumonia

Banyak pula peneliti yang telah menggunakan metode Runge-Kutta, salah satunya adalah Tahiyatul Asfihani, Hesti Hastuti dan Chairul Imron pada tahun 2016. Beliau menggunakan metode Runge-Kutta orde ke-empat untuk menganalisis model lintasan nanopartikel magnet pada pembuluh darah didalam medan magnet [9].

2.2 Model Epidemi SEIR

Model epidemi adalah model matematika yang digunakan untuk mengetahui penyebaran penyakit menular, khususnya menyangkut terjadi atau tidaknya keadaan epidemi serta pengaruh yang ditimbulkan. Untuk menganalisis dinamika penyebaran penyakit terdapat beberapa model matematika yang sering digunakan. Model-model tersebut memiliki konsep yang sama yaitu *compartmental epidemiologi* (pembagian kelas) yang menggambarkan penyebaran penyakit dari masing-masing kelas. Jadi dalam suatu populasi akan terbagi menjadi beberapa kelas dimana masing-masing kelas mewakili tahapan yang berbeda [10].

Model epidemi pertama kali dikemukakan oleh Kermack dan McKendrick (1927) dengan mengkaji model epidemi tipe SIR. Kemudian model epidemi mengalami perkembangan, diantaranya bertipe SIRS, SIS, SEIR, dan lain-lain. Model epidemi tipe SEIR ($S = \text{susceptible}$, $E = \text{exposed}$, $I = \text{infected}$, $R = \text{recovered}$). Pada epidemi tipe SEIR, periode laten (masa inkubasi) diperhatikan. Terdapat kelas E (*exposed*) yang digunakan untuk mewakili individu-individu yang baru terinfeksi dan memasuki periode laten (setelah terinfeksi sebelum menjadi terjangkit), dalam periode ini individu tersebut tidak memiliki kemampuan untuk menularkan penyakit ke individu lain. Berikut diagram kompartemen model epidemi tipe SEIR [11]:



Gambar 2.1 Diagram kompartemen model epidemi tipe SEIR

dengan keterangan variabel dan parameter sebagai berikut:

$S(t)$: populasi *susceptible* adalah individu yang rentan terserang penyakit.

$E(t)$: populasi *exposed* adalah individu yang ada pada masa inkubasi.

$I(t)$: populasi *infectious* adalah individu yang terjangkit dan dapat menularkan penyakit.

$R(t)$: populasi *recovered* adalah individu yang telah terimun dan sembuh dari penyakit.

A : laju rekrutmen.

β : laju individu *susceptible* menjadi *exposed*.

μ : konstanta kematian dari masing-masing kompartemen.

ε : laju kemajuan untuk populasi *exposed*.

ρ : laju penyembuhan alami adalah laju dimana individu *infectious* menjadi sembuh (*recovered*) per satuan waktu.

d : laju kematian karena penyakit.

2.3 Titik Setimbang

Definisi 2.1 [12]

Diberikan sistem persamaan diferensial sebagai berikut:

$$\dot{x} = \frac{dx}{dt} = f(x)$$

dengan $x \in \mathbb{R}^n$. Sebuah vektor \bar{x} yang memenuhi $f(\bar{x}) = 0$ disebut **titik setimbang**.

2.4 Kestabilan Asimtotis Lokal

Kestabilan asimtotis lokal merupakan kestabilan dari sistem linier atau kestabilan dari linierisasi sistem tak linier. Kestabilan lokal pada titik kesetimbangan ditentukan oleh tanda bagian real dari akar-akar karakteristik sistem dari matriks Jacobian yang diperoleh disekitar titik kesetimbangan.

2.4.1 Linearisasi

Definisi 2.2 [13]

Diberikan sistem autonomous sebagai berikut:

$$\frac{dx_1(t)}{dt} = g_1(x_1, x_2, \dots, x_n)$$

$$\frac{dx_2(t)}{dt} = g_2(x_1, x_2, \dots, x_n)$$

⋮

$$\frac{dx_n(t)}{dt} = g_n(x_1, x_2, \dots, x_n)$$

Matriks Jacobian dari sistem diatas adalah:

$$\begin{pmatrix} \frac{\partial g_1}{\partial x_1} & \frac{\partial g_1}{\partial x_2} & \cdots & \frac{\partial g_1}{\partial x_n} \\ \frac{\partial g_2}{\partial x_1} & \frac{\partial g_2}{\partial x_2} & \cdots & \frac{\partial g_2}{\partial x_n} \\ \vdots & \vdots & \ddots & \vdots \\ \frac{\partial g_n}{\partial x_1} & \frac{\partial g_n}{\partial x_2} & \cdots & \frac{\partial g_n}{\partial x_n} \end{pmatrix}$$

2.4.2 Akar-akar Persamaan Karakteristik

Definisi 2.3 [14]

Misalkan A adalah matriks berukuran $n \times n$, maka vektor tak nol x di \mathbb{R}^n disebut vektor eigen dari A jika Ax adalah kelipatan skalar dari x , yaitu

$$Ax = \lambda x$$

Untuk suatu skalar λ . Skalar λ disebut nilai eigen dari A dan x dikatakan sebagai vektor eigen dari A yang bersesuaian dengan λ .

Teorema 2.1 [14]

Misalkan A adalah matriks berukuran $n \times n$ dengan komponen A merupakan bilangan real. Pernyataan-pernyataan berikut ekivalen satu sama lain:

- a) λ adalah nilai eigen dari A .
- b) Sistem persamaan $(\lambda I - A)x = 0$ mempunyai solusi tak trivial.
- c) Untuk $\lambda \in \mathbb{R}$, maka ada vektor tak nol x didalam \mathbb{R}^n sehingga $Ax = \lambda x$.
- d) λ adalah penyelesaian dari persamaan karakteristik $\det(\lambda I - A) = 0$.

Teorema 2.2 [13]

Sistem linear $\dot{x} = Ax$, stabil asimtotis jika dan hanya jika nilai eigen dari A mempunyai bagian real negatif atau dinotasikan sebagai $\operatorname{Re}(\lambda_i(A)) < 0$.

2.5 Kriteria Routh-Hurwitz

Nilai-nilai karakteristik dari matriks A adalah akar-akar karakteristik dari polinomial

$$\det(\lambda I - A) = a_0\lambda^n + a_1\lambda^{n-1} + \dots + a_{n-1}\lambda + a_n$$

dengan $a_0 = 1$. Kriteria kestabilan Routh-Hurwitz dapat dipakai untuk mengecek langsung kestabilan melalui koefisien a_i tanpa menghitung akar-akar dari polinomial yang ada [11].

$$\begin{array}{c|cccc} \lambda^n & a_0 & a_2 & \dots & a_{n-1} \\ \lambda^{n-1} & a_1 & a_3 & \dots & a_n \\ \lambda^{n-2} & b_1 & b_2 & \dots & \\ \lambda^{n-3} & c_1 & c_2 & \dots & \\ \vdots & \vdots & & & \\ \lambda^0 & z & & & \end{array}$$

dimana b_1, \dots, c_1, \dots dan z secara rekursif didapat dari:

$$b_1 = \frac{a_1 a_2 - a_0 a_3}{a_1} , \dots$$

$$c_1 = \frac{b_1 a_3 - b_2 a_1}{b_1} , \dots$$

Kriteria Routh-Hurwitz menyimpulkan bahwa banyaknya perubahan tanda dalam kolom pertama pada tabel, sama dengan banyaknya akar-akar polinomial yang bagian realnya positif. Bila pada kolom pertama dalam tabel tidak ada perubahan tanda (semuanya bertanda positif atau semuanya bertanda negatif), maka semua akar polinomial bagian realnya adalah tak positif dan sistem stabil [11].

2.6 Bilangan Reproduksi Dasar

Bilangan reproduksi dasar merupakan besaran penting dalam epidemiologi penyakit menular. Parameter ini didefinisikan sebagai ekspektasi banyaknya kasus sekunder yang timbul akibat satu orang terinfeksi primer yang masuk pada satu populasi tertutup yang seluruhnya *susceptible* [15]. Bilangan reproduksi dasar sering dinotasikan dengan R_0 .

Bilangan reproduksi dasar (R_0) dapat diperoleh dengan beberapa metode, salah satunya adalah dengan membangun matriks yang membangkitkan jumlah individu baru yang terinfeksi. Matriks ini dinotasikan dengan G dan dinamakan NGM (*Next Generation Matrix*). Dimana i, j adalah elemen dari G , g_{ij} adalah jumlah infeksi sekunder tipe i yang disebabkan oleh individu yang terinfeksi tunggal tipe j , dengan asumsi bahwa populasi tipe i sepenuhnya *susceptible* [16].

Bilangan reproduksi dasar diberikan oleh radius spektral dari G . Radius spektral juga dikenal sebagai nilai eigen yang dominan dari G . NGM adalah matriks non-negatif oleh karena itu, dijamin bahwa akan didapat nilai eigen tunggal yang positif, yaitu R_0 . NGM terdiri dari dua bagian: \mathbb{F} dan \mathbb{V}^{-1} , di mana

$$\mathbb{F} = \left[\frac{\partial \mathcal{F}_i(x_0)}{\partial x_j} \right]$$

dan

$$\mathbb{V} = \left[\frac{\partial \mathcal{V}_i(x_0)}{\partial x_j} \right]$$

\mathcal{F}_i adalah infeksi baru, sementara \mathcal{V}_i mentransfer infeksi dari satu kompartemen ke tempat lainnya. x_0 adalah keadaan ekuilibrium bebas penyakit. R_0 adalah nilai eigen dominan dari matriks $G = \mathbb{F} \mathbb{V}^{-1}$ [14,15].

2.7 Metode Runge-Kutta Orde Empat

Metode Runge-Kutta merupakan metode yang memberikan ketelitian hasil yang lebih besar dan tidak memerlukan turunan dari fungsi [17]. Metode Runge-Kutta orde empat adalah sebagai berikut [17]:

$$y_{i+1} = y_i + \frac{1}{6}(k_1 + 2k_2 + 2k_3 + k_4) \quad (2.1)$$

dengan

$$k_1 = hf(t_i, y_i)$$

$$k_2 = hf\left(t_i + \frac{1}{2}h, y_i + \frac{1}{2}k_1\right)$$

$$k_3 = hf\left(t_i + \frac{1}{2}h, y_i + \frac{1}{2}k_2\right)$$

$$k_4 = hf(t_i + h, y_i + k_3)$$

$$h = \frac{t_f - t_0}{n}$$

h = ukuran langkah

n = banyaknya langkah

t_0 = waktu awal

t_f = waktu akhir

BAB III

METODE PENELITIAN

Bab ini menjelaskan langkah-langkah yang digunakan dalam penyelesaian masalah pada Tugas Akhir. Dijelaskan pula prosedur dan proses pelaksanaan tiap-tiap langkah yang dilakukan dalam menyelesaikan Tugas Akhir.

3.1 Langkah Pengerjaan

Langkah-langkah yang digunakan dalam menyelesaikan permasalahan pada penelitian ini adalah sebagai berikut:

1. Studi Literatur

Tahap ini merupakan tahap untuk melakukan identifikasi permasalahan, yaitu mencari referensi yang menunjang penelitian. Referensi bisa berupa buku, jurnal, paper, tugas akhir maupun artikel terkait model matematika penyebaran infeksi chlamydia dan pneumonia.

2. Mengkonstruksi Model Matematika

Pada tahap ini, dilakukan konstruksi model *co-infection* chlamydia dan pneumonia dengan melakukan modifikasi dari model matematika *co-infection* chlamydia dan pneumonia pada jurnal yang ditulis oleh Daozhou Gao dkk (2016).

3. Menganalisis Model Matematika

Menganalisis model matematika penyebaran penyakit *co-infection* chlamydia dan pneumonia yang merupakan sistem persamaan diferensial non linear dengan langkah-langkah sebagai berikut:

- a) Menentukan titik setimbang model.
- b) Melakukan linearisasi model dengan menggunakan matriks Jacobian.
- c) Menganalisa kestabilan dari titik setimbang yang diperoleh pada Langkah 3a dan menentukan syarat

kestabilan asimtotis lokal pada setiap titik setimbang yang diperoleh pada Langkah 3a.

4. Simulasi

Pada tahap ini, sistem persamaan disimulasikan secara numerik menggunakan metode Runge-Kutta dengan aplikasi MATLAB R2013a, dengan langsung mendefinisikan parameter-paramater yang telah diketahui berdasarkan data-data yang didapatkan beserta syarat-syarat yang diperlukan dalam menyelesaikan sistem persamaan.

5. Analisis Hasil Simulasi

Pada tahap ini, penulis melakukan analisis terhadap hasil yang diperoleh dari langkah 4.

6. Penarikan Kesimpulan dan Saran

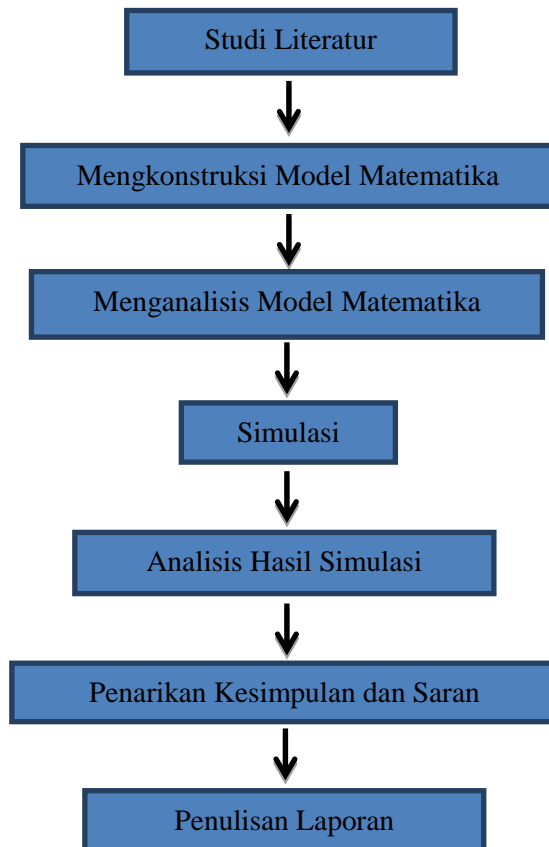
Pada tahap ini, penulis melakukan penarikan kesimpulan dari hasil pembahasan sebelumnya. Selanjutnya memberikan saran untuk perbaikan pada penelitian berikutnya.

7. Penulisan Laporan

Pada tahap terakhir ini, penulis menyusun sebuah laporan tentang hasil dari penelitian yang telah dikerjakan secara runtut dan teratur.

3.2 Diagram Alur Penelitian

Alur penelitian yang dilakukan dalam Tugas Akhir ini disajikan dalam **Gambar 3.1** berikut ini.



Gambar 3.1 Diagram Alur Penelitian

BAB IV

ANALISIS DAN PEMBAHASAN

Pada bab ini akan dibahas mengenai analisis model matematika penyebaran penyakit *co-infection* chlamydia dan pneumonia yang terkait dengan titik setimbang dan analisis kestabilan dari titik setimbang yang diperoleh. Selanjutnya akan dicari *basic reproduction number* dan simulasi model menggunakan Matlab R2013a.

4.1 Konstruksi Model Matematika Penyebaran Penyakit *Co-infection Chlamydia dan Pneumonia*

Model matematika penyebaran penyakit *co-infection* chlamydia dan pneumonia meninjau satu populasi, yaitu populasi manusia. Populasi manusia dibagi menjadi sembilan subpopulasi, yaitu subpopulasi manusia yang sehat atau rentan terinfeksi penyakit pada saat t yang dinotasikan dengan $S(t)$, subpopulasi manusia yang sudah terinfeksi chlamydia tetapi belum dapat menginfeksi pada saat t yang dinotasikan dengan $E_1(t)$, subpopulasi manusia yang sudah terinfeksi pneumonia tetapi belum dapat menginfeksi pada saat t yang dinotasikan dengan $E_2(t)$, subpopulasi manusia *co-infection* chlamydia-pneumonia tetapi belum menginfeksi pada saat t yang dinotasikan dengan $E_{12}(t)$, subpopulasi manusia yang terinfeksi chlamydia dan dapat menginfeksi pada saat t yang dinotasikan dengan $I_1(t)$, subpopulasi manusia yang terinfeksi pneumonia dan dapat menginfeksi pada saat t yang dinotasikan dengan $I_2(t)$, subpopulasi manusia yang mengalami *co-infection* chlamydia-pneumonia dan dapat menginfeksi pada saat t yang dinotasikan dengan $I_{12}(t)$, subpopulasi manusia yang telah sembuh dari infeksi chlamydia pada saat t yang dinotasikan dengan $R_1(t)$, subpopulasi manusia yang telah sembuh dari infeksi pneumonia pada saat t yang dinotasikan dengan $R_2(t)$. Selanjutnya kesembilan subpopulasi tersebut akan dituliskan dengan $S, E_1, E_2, E_{12}, I_1, I_2, I_{12}, R_1$ dan R_2 .

Secara umum penyebaran penyakit chlamydia dapat terjadi melalui interaksi antara individu yang terinfeksi chlamydia dengan individu yang sehat atau rentan terkena penyakit, interaksi ini berupa interaksi seksual. Sedangkan penyebaran penyakit pneumonia dapat terjadi melalui percikan ludah sewaktu bicara, bersin dan batuk. Individu yang sehat atau rentan terkena penyakit akan menjadi individu yang terinfeksi chlamydia jika melakukan interaksi dengan individu yang terinfeksi chlamydia serta jika melakukan interaksi dengan individu *co-infection* chlamydia-pneumonia. Individu yang terinfeksi chlamydia akan dapat sembuh kembali melalui imunitas tubuh atau pengobatan yang tepat. Demikian juga individu yang sehat atau rentan terkena penyakit akan menjadi individu yang terinfeksi pneumonia jika melakukan interaksi dengan individu yang terinfeksi pneumonia serta jika melakukan interaksi dengan individu *co-infection* chlamydia-pneumonia. Individu yang terinfeksi pneumonia akan dapat sembuh kembali melalui imunitas tubuh atau pengobatan yang tepat. Individu yang terinfeksi chlamydia jika berinteraksi dengan individu yang terinfeksi pneumonia maka akan terinfeksi pneumonia juga. Selain itu individu yang terinfeksi pneumonia jika berinteraksi dengan individu yang terinfeksi chlamydia maka akan terinfeksi chlamydia juga. Hal tersebut menyebabkan munculnya *co-infection* chlamydia-pneumonia.

Berikut ini diberikan beberapa asumsi yang digunakan dalam pembentukan model penyebaran penyakit *co-infection* chlamydia-pneumonia, yaitu:

1. Populasi bersifat tertutup yang berarti bahwa pertambahan ataupun pengurangan jumlah individu melalui emigrasi dan imigrasi tidak diperhatikan.
2. Populasi bersifat homogen, artinya setiap individu mempunyai peluang yang sama untuk tertular suatu virus karena adanya kontak dengan individu terinfeksi.
3. Hanya terdapat dua penyakit yang menyebar dalam populasi.
4. Laju kelahiran dan laju kematian diasumsikan sama. Setiap individu yang lahir masuk kedalam kelas individu

Susceptible dan setiap individu yang mati dari setiap kelas mempunyai laju proporsional dengan jumlah individu pada masing-masing kelas.

5. Kematian akibat terinfeksi penyakit tidak diperhatikan, hanya kematian alami yang terjadi dalam setiap sub populasi.
6. Penyakit chlamydia dan pneumonia hanya menular melalui kontak langsung dengan penderita.
7. Terdapat masa inkubasi (periode laten) pada proses penularan penyakit chlamydia dan pneumonia.
8. Individu yang berada dalam periode laten tidak dapat menularkan penyakit.
9. Individu yang rentan terinfeksi penyakit dan individu yang terinfeksi pneumonia dapat terinfeksi chlamydia jika berinteraksi dengan penderita chlamydia.
10. Individu yang rentan dan individu yang terinfeksi chlamydia dapat terinfeksi pneumonia jika berinteraksi dengan penderita pneumonia.
11. Individu yang terinfeksi penyakit dapat sembuh.
12. Individu yang terinfeksi chlamydia atau terinfeksi *co-infection* chlamydia-pneumonia dapat sembuh dari infeksi chlamydia dengan adanya pengobatan chlamydia.
13. Individu yang terinfeksi pneumonia atau terinfeksi *co-infection* chlamydia-pneumonia dapat sembuh dari infeksi pneumonia dengan adanya pengobatan pneumonia.

Adapun notasi serta definisi dari variabel dan masing-masing parameter yang digunakan pada model matematika penyebaran penyakit *co-infection* chlamydia-pneumonia tertera pada tabel di bawah ini:

Tabel 4.1 Variabel pada Model Matematika Penyebaran Penyakit *Co-Infection Chlamydia-Pneumonia*

Variabel	Keterangan
$S(t)$	Jumlah individu yang sehat dan rentan terinfeksi penyakit
$E_1(t)$	Jumlah individu yang sudah terinfeksi

	chlamydia tetapi belum dapat menginfeksi
$E_2(t)$	Jumlah individu yang sudah terinfeksi pneumonia tetapi belum dapat menginfeksi
$E_{12}(t)$	Jumlah individu yang sudah mengalami <i>co-infection</i> chlamydia-pneumonia tetapi belum dapat menginfeksi
$I_1(t)$	Jumlah individu yang terinfeksi chlamydia dan dapat menginfeksi
$I_2(t)$	Jumlah individu yang terinfeksi pneumonia dan dapat menginfeksi
$I_{12}(t)$	Jumlah individu yang mengalami <i>co-infection</i> chlamydia-pneumonia dan dapat menginfeksi
$R_1(t)$	Jumlah individu yang telah sembuh dari infeksi chlamydia
$R_2(t)$	Jumlah individu yang telah sembuh dari infeksi pneumonia

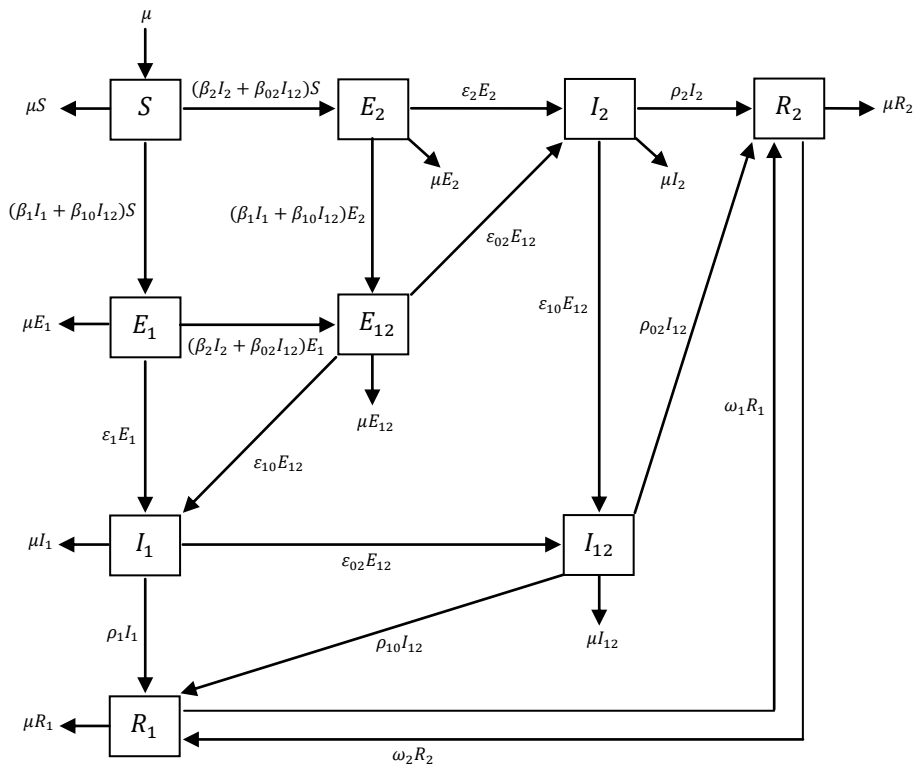
Tabel 4.2 Parameter pada Model Matematika Penyebaran Penyakit *Co-Infection* Chlamydia-Pneumonia

Parameter	Keterangan
μ	<i>Rate</i> kelahiran atau kematian alami
β_1	<i>Rate</i> transmisi chlamydia dari individu yang terinfeksi chlamydia
β_2	<i>Rate</i> transmisi pneumonia dari individu yang terinfeksi pneumonia
β_{10}	<i>Rate</i> transmisi chlamydia dari individu <i>co-infection</i> chlamydia-pneumonia
β_{02}	<i>Rate</i> transmisi pneumonia dari individu <i>co-infection</i> chlamydia-pneumonia
ε_1	<i>Rate</i> kemajuan untuk populasi <i>exposed</i> chlamydia
ε_2	<i>Rate</i> kemajuan untuk populasi <i>exposed</i> pneumonia
ε_{10}	<i>Rate</i> kemajuan untuk populasi <i>exposed</i>

	chlamydia dari <i>exposed co-infection chlamydia-pneumonia</i>
ε_{02}	<i>Rate</i> kemajuan untuk populasi <i>exposed pneumonia</i> dari <i>exposed co-infection chlamydia-pneumonia</i>
ρ_1	<i>Rate</i> penyembuhan infeksi chlamydia
ρ_2	<i>Rate</i> penyembuhan infeksi pneumonia
ρ_{10}	<i>Rate</i> penyembuhan infeksi chlamydia pada individu <i>co-infection chlamydia-pneumonia</i>
ρ_{02}	<i>Rate</i> penyembuhan infeksi pneumonia pada individu <i>co-infection chlamydia-pneumonia</i>
ω_1	<i>Rate</i> populasi yang telah sembuh dari infeksi chlamydia menjadi sembuh dari infeksi pneumonia
ω_2	<i>Rate</i> populasi yang telah sembuh dari infeksi pneumonia menjadi sembuh dari infeksi chlamydia

Karena $S, E_1, E_2, E_{12}, I_1, I_2, I_{12}, R_1$ dan R_2 merupakan notasi yang menyatakan jumlah individu pada masing-masing subpopulasi, maka diasumsikan $S, E_1, E_2, E_{12}, I_1, I_2, I_{12}, R_1, R_2 \geq 0$. Selain itu, untuk setiap parameter diasumsikan selalu bernilai positif.

Berdasarkan mekanisme penyebaran penyakit *co-infection chlamydia-pneumonia* yang telah dijelaskan serta asumsi-asumsi dan parameter yang telah disebutkan, dapat dibentuk diagram transmisi penyebaran penyakit *co-infection chlamydia-pneumonia* sebagai berikut.



Gambar 4.1 Diagram Kompartemen Model Matematika Penyebaran Penyakit *Co-Infection* Chlamydia-Pneumonia

Berdasarkan diagram kompartemen di atas, model matematika penyebaran penyakit *co-infection* chlamydia-pneumonia dapat disajikan dalam sistem persamaan diferensial sebagai berikut:

$$\frac{dS}{dt} = \mu - \mu S - (\beta_1 I_1 + \beta_{10} I_{12})S - (\beta_2 I_2 + \beta_{02} I_{12})S \quad (4.1a)$$

$$\frac{dE_1}{dt} = (\beta_1 I_1 + \beta_{10} I_{12})S - \mu E_1 - \varepsilon_1 E_1 - (\beta_2 I_2 + \beta_{02} I_{12})E_1 \quad (4.1b)$$

$$\frac{dE_2}{dt} = (\beta_2 I_2 + \beta_{02} I_{12})S - \mu E_2 - \varepsilon_2 E_2 - (\beta_1 I_1 + \beta_{10} I_{12})E_2 \quad (4.1c)$$

$$\begin{aligned} \frac{dE_{12}}{dt} &= (\beta_2 I_2 + \beta_{02} I_{12})E_1 + (\beta_1 I_1 + \beta_{10} I_{12})E_2 - \mu E_{12} \\ &\quad - \varepsilon_{10} E_{12} - \varepsilon_{02} E_{12} \end{aligned} \quad (4.1d)$$

$$\frac{dI_1}{dt} = \varepsilon_1 E_1 + \varepsilon_{10} E_{12} - \mu I_1 - \varepsilon_{02} E_{12} - \rho_1 I_1 \quad (4.1e)$$

$$\frac{dI_2}{dt} = \varepsilon_2 E_2 + \varepsilon_{02} E_{12} - \mu I_2 - \varepsilon_{10} E_{12} - \rho_2 I_2 \quad (4.1f)$$

$$\frac{dI_{12}}{dt} = \varepsilon_{02} E_{12} + \varepsilon_{10} E_{12} - \mu I_{12} - \rho_{10} I_{12} - \rho_{02} I_{12} \quad (4.1g)$$

$$\frac{dR_1}{dt} = \rho_1 I_1 + \rho_{10} I_{12} + \omega_2 R_2 - \mu R_1 - \omega_1 R_1 \quad (4.1h)$$

$$\frac{dR_2}{dt} = \rho_2 I_2 + \rho_{02} I_{12} + \omega_1 R_1 - \mu R_2 - \omega_2 R_2 \quad (4.1i)$$

Persamaan (4.1a) merepresentasikan laju perubahan populasi individu yang sehat atau rentan terinfeksi penyakit tiap satuan waktu. Populasi individu yang sehat atau rentan terinfeksi penyakit bertambah karena adanya kelahiran alami populasi individu yang sehat, berkurang karena adanya kematian alami pada populasi individu yang sehat atau rentan terinfeksi. Berkurang karena adanya interaksi antara individu yang sehat atau rentan terinfeksi penyakit dengan individu yang terinfeksi chlamydia sehingga menjadi *exposed chlamydia* (sudah terinfeksi chlamydia tetapi belum bisa menginfeksi) serta berkurang karena adanya interaksi dengan individu *co-infection chlamydia-pneumonia* kemudian mendapat transmisi bakteri chlamydia sehingga menjadi *exposed chlamydia*. Berkurang karena adanya interaksi antara individu yang sehat atau rentan terinfeksi penyakit dengan individu yang terinfeksi pneumonia sehingga menjadi *exposed pneumonia* (sudah terinfeksi pneumonia tetapi belum bisa menginfeksi) serta berkurang karena adanya interaksi dengan individu *co-infection chlamydia-pneumonia* kemudian mendapat transmisi bakteri pneumonia sehingga menjadi *exposed pneumonia*.

Persamaan (4.1b) merepresentasikan laju perubahan populasi individu *exposed chlamydia* (sudah terinfeksi chlamydia tetapi belum bisa menginfeksi) tiap satuan waktu. Populasi

individu *exposed chlamydia* bertambah karena adanya interaksi antara individu yang sehat atau rentan terinfeksi penyakit dengan individu yang terinfeksi chlamydia sehingga menjadi *exposed chlamydia* serta bertambah karena adanya interaksi dengan individu *co-infection chlamydia-pneumonia* kemudian mendapat transmisi bakteri chlamydia sehingga menjadi *exposed chlamydia*. Berkurang karena adanya kematian alami pada populasi individu *exposed chlamydia*. Berkurang karena adanya kemajuan populasi *exposed chlamydia* menjadi terinfeksi chlamydia.

Persamaan (4.1c) merepresentasikan laju perubahan populasi individu *exposed pneumonia* (sudah terinfeksi pneumonia tetapi belum bisa menginfeksi) tiap satuan waktu. Populasi individu *exposed pneumonia* bertambah karena adanya interaksi antara individu yang sehat atau rentan terinfeksi penyakit dengan individu yang terinfeksi pneumonia sehingga menjadi *exposed pneumonia* serta bertambah karena adanya interaksi dengan individu *co-infection chlamydia-pneumonia* kemudian mendapat transmisi bakteri pneumonia sehingga menjadi *exposed pneumonia*. Berkurang karena adanya kematian alami pada populasi individu yang *exposed pneumonia*. Berkurang karena adanya kemajuan populasi *exposed pneumonia* menjadi terinfeksi pneumonia.

Persamaan (4.1d) merepresentasikan laju perubahan populasi individu *exposed co-infection chlamydia-pneumonia* (sudah mengalami *co-infection chlamydia-pneumonia* tetapi belum bisa menginfeksi) tiap satuan waktu. Populasi individu *exposed co-infection chlamydia-pneumonia* bertambah karena adanya interaksi antara individu yang *exposed chlamydia* dengan individu yang terinfeksi pneumonia sehingga menjadi *exposed co-infection chlamydia-pneumonia* serta bertambah karena adanya interaksi antara individu *exposed chlamydia* dengan individu *co-infection chlamydia-pneumonia* kemudian mendapat transmisi bakteri pneumonia sehingga menjadi *exposed co-infection chlamydia-pneumonia*. Bertambah karena adanya interaksi antara

individu *exposed* pneumonia dengan individu yang terinfeksi chlamydia sehingga menjadi *exposed co-infection* chlamydia-pneumonia serta bertambah karena adanya interaksi antara individu *exposed* pneumonia dengan individu *co-infection* chlamydia-pneumonia kemudian mendapat transmisi bakteri chlamydia sehingga menjadi *exposed co-infection* chlamydia-pneumonia. Berkurang karena adanya kemajuan populasi *exposed* chlamydia dari populasi *exposed co-infection* chlamydia-pneumonia menjadi terinfeksi chlamydia. Berkurang karena adanya kemajuan populasi *exposed* pneumonia dari populasi *exposed co-infection* chlamydia-pneumonia menjadi terinfeksi pneumonia. Berkurang karena adanya kematian alami pada populasi individu *exposed co-infection* chlamydia-pneumonia.

Persamaan (4.1e) merepresentasikan laju perubahan populasi individu yang terinfeksi chlamydia (*infected chlamydia*) tiap satuan waktu. Populasi individu yang terinfeksi chlamydia bertambah karena adanya kemajuan populasi *exposed* chlamydia menjadi terinfeksi chlamydia. Bertambah karena adanya kemajuan populasi *exposed* chlamydia dari populasi *exposed co-infection* chlamydia-pneumonia menjadi terinfeksi chlamydia. Berkurang karena adanya kematian alami pada populasi individu yang terinfeksi chlamydia. Berkurang karena adanya kemajuan populasi individu *exposed* pneumonia menjadi *co-infection* chlamydia-pneumonia. Berkurang karena adanya kesembuhan dari individu terinfeksi chlamydia menjadi individu sembuh dari chlamydia (*recovered chlamydia*).

Persamaan (4.1f) merepresentasikan laju perubahan populasi individu yang terinfeksi pneumonia (*infected pneumonia*) tiap satuan waktu. Populasi individu yang terinfeksi pneumonia bertambah karena adanya kemajuan populasi *exposed* pneumonia menjadi terinfeksi pneumonia. Bertambah karena adanya kemajuan populasi *exposed* pneumonia dari populasi *exposed co-infection* chlamydia-pneumonia menjadi terinfeksi pneumonia. Berkurang karena adanya kematian alami pada

populasi individu yang terinfeksi pneumonia. Berkurang karena adanya kemajuan populasi individu *exposed chlamydia* menjadi *co-infection chlamydia-pneumonia*. Berkurang karena adanya kesembuhan dari individu terinfeksi pneumonia menjadi individu sembuh dari pneumonia (*recovered pneumonia*).

Persamaan (4.1g) merepresentasikan laju perubahan populasi individu *co-infection chlamydia-pneumonia* tiap satuan waktu. Populasi individu *co-infection chlamydia-pneumonia* bertambah karena adanya kemajuan populasi individu *exposed pneumonia* menjadi *co-infection chlamydia-pneumonia*. Bertambah karena adanya kemajuan populasi individu *exposed chlamydia* menjadi *co-infection chlamydia-pneumonia*. Berkurang karena adanya kematian alami pada populasi individu *co-infection chlamydia-pneumonia*. Berkurang karena adanya kesembuhan dari individu *co-infection chlamydia-pneumonia* menjadi individu sembuh dari chlamydia (*recovered chlamydia*). Berkurang karena adanya kesembuhan dari individu *co-infection chlamydia-pneumonia* menjadi individu sembuh dari pneumonia (*recovered pneumonia*).

Persamaan (4.1h) merepresentasikan laju perubahan populasi individu sembuh dari chlamydia (*recovered chlamydia*) tiap satuan waktu. Populasi individu sembuh dari chlamydia bertambah karena adanya kesembuhan dari individu terinfeksi chlamydia menjadi individu sembuh dari chlamydia (*recovered chlamydia*). Bertambah karena adanya kesembuhan dari individu *co-infection chlamydia-pneumonia* menjadi individu sembuh dari chlamydia (*recovered chlamydia*). Berkurang karena adanya kesembuhan dari individu *co-infection chlamydia-pneumonia* yang telah sembuh dari pneumonia menjadi sembuh dari chlamydia (*recovered chlamydia*). Berkurang karena adanya kematian alami pada populasi individu sembuh dari chlamydia. Berkurang karena adanya kesembuhan dari individu *co-infection chlamydia-pneumonia* yang telah sembuh dari chlamydia menjadi sembuh dari pneumonia (*recovered pneumonia*).

Persamaan (4.1i) merepresentasikan laju perubahan populasi individu sembuh dari pneumonia (*recovered pneumonia*) tiap satuan waktu. Populasi individu sembuh dari pneumonia bertambah karena adanya kesembuhan dari individu terinfeksi pneumonia menjadi individu sembuh dari pneumonia (*recovered pneumonia*). Bertambah karena adanya kesembuhan dari individu *co-infection chlamydia-pneumonia* menjadi individu sembuh dari pneumonia (*recovered pneumonia*). Bertambah karena adanya kesembuhan dari individu *co-infection chlamydia-pneumonia* yang telah sembuh dari chlamydia menjadi sembuh dari pneumonia (*recovered pneumonia*). Berkurang karena adanya kematian alami pada populasi individu sembuh dari pneumonia. Berkurang karena adanya kesembuhan dari individu *co-infection chlamydia-pneumonia* yang telah sembuh dari pneumonia menjadi sembuh dari chlamydia (*recovered chlamydia*).

4.2 Titik Setimbang Model Matematika Penyebaran Penyakit *Co-Infection Chlamydia dan Pneumonia*

Keadaan setimbang adalah suatu keadaan ketika perubahan jumlah subpopulasi tertentu sepanjang waktu adalah nol. Berdasarkan **Definisi 2.1**, model matematika penyebaran penyakit *co-infection chlamydia-pneumonia* memenuhi keadaan setimbang pada saat $\frac{dS}{dt} = \frac{dE_1}{dt} = \frac{dE_2}{dt} = \frac{dE_{12}}{dt} = \frac{dI_1}{dt} = \frac{dI_2}{dt} = \frac{dI_{12}}{dt} = \frac{dR_1}{dt} = \frac{dR_2}{dt} = 0$, sehingga Persamaan (4.1a)-(4.1b) dapat ditulis sebagai berikut

$$\frac{dS}{dt} = \mu - \mu S - (\beta_1 I_1 + \beta_{10} I_{12})S - (\beta_2 I_2 + \beta_{02} I_{12})S = 0 \quad (4.2a)$$

$$\begin{aligned} \frac{dE_1}{dt} &= (\beta_1 I_1 + \beta_{10} I_{12})S - \mu E_1 - \varepsilon_1 E_1 \\ &\quad - (\beta_2 I_2 + \beta_{02} I_{12})E_1 = 0 \end{aligned} \quad (4.2b)$$

$$\begin{aligned} \frac{dE_2}{dt} &= (\beta_2 I_2 + \beta_{02} I_{12})S - \mu E_2 - \varepsilon_2 E_2 \\ &\quad - (\beta_1 I_1 + \beta_{10} I_{12})E_2 = 0 \end{aligned} \quad (4.2c)$$

$$\begin{aligned} \frac{dE_{12}}{dt} &= (\beta_2 I_2 + \beta_{02} I_{12})E_1 + (\beta_1 I_1 + \beta_{10} I_{12})E_2 - \mu E_{12} \\ &\quad - \varepsilon_{10} E_{12} - \varepsilon_{02} E_{12} = 0 \end{aligned} \quad (4.2d)$$

$$\frac{dI_1}{dt} = \varepsilon_1 E_1 + \varepsilon_{10} E_{12} - \mu I_1 - \varepsilon_{02} E_{12} - \rho_1 I_1 = 0 \quad (4.2e)$$

$$\frac{dI_2}{dt} = \varepsilon_2 E_2 + \varepsilon_{02} E_{12} - \mu I_2 - \varepsilon_{10} E_{12} - \rho_2 I_2 = 0 \quad (4.2f)$$

$$\frac{dI_{12}}{dt} = \varepsilon_{02} E_{12} + \varepsilon_{10} E_{12} - \mu I_{12} - \rho_{10} I_{12} - \rho_{02} I_{12} = 0 \quad (4.2g)$$

$$\frac{dR_1}{dt} = \rho_1 I_1 + \rho_{10} I_{12} + \omega_2 R_2 - \mu R_1 - \omega_1 R_1 = 0 \quad (4.2h)$$

$$\frac{dR_2}{dt} = \rho_2 I_2 + \rho_{02} I_{12} + \omega_1 R_1 - \mu R_2 - \omega_2 R_2 = 0 \quad (4.2i)$$

Titik setimbang dibedakan menjadi dua, yaitu titik setimbang bebas penyakit (non endemik) dan titik setimbang endemik. Dari persamaan (4.2a) – (4.2i) diperoleh satu titik setimbang non endemik dan tiga titik setimbang endemik yang terdiri dari titik setimbang endemik chlamydia, titik setimbang endemik pneumonia, dan titik setimbang endemik *co-infection* chlamydia dan pneumonia.

4.2.1 Titik Setimbang Non Endemik

Titik setimbang non endemik atau titik setimbang bebas penyakit merupakan suatu kondisi saat tidak terjadi penyebaran penyakit chlamydia dan pneumonia pada suatu wilayah. Keadaan ini terjadi ketika tidak ada manusia yang terinfeksi chlamydia dan tidak ada manusia yang terinfeksi pneumonia. Oleh karena itu dapat dinyatakan bahwa populasi manusia yang terinfeksi chlamydia sama dengan nol ($I_1 = 0$), dan populasi manusia yang terinfeksi pneumonia sama dengan nol ($I_2 = 0$). Karena tidak ada populasi manusia yang terinfeksi chlamydia dan terinfeksi pneumonia, maka tidak ada populasi manusia yang menderita *co-infection* chlamydia dan pneumonia ($I_{12} = 0$), dan tidak ada populasi manusia *exposed* chlamydia ($E_1 = 0$), *exposed* pneumonia ($E_2 = 0$), maupun *exposed co-infection* chlamydia dan pneumonia ($E_{12} = 0$). Serta tidak ada pula populasi yang sembuh dari chlamydia ($R_1 = 0$) maupun sembuh dari pneumonia ($R_2 = 0$). Dengan mensubstitusi nilai $I_1 = 0, I_2 = 0, I_{12} = 0, E_1 = 0, E_2 = 0, E_{12} = 0, R_1 = 0$ dan $R_2 = 0$ pada Pers. (4.2a)-4.2i) dapat diperoleh

$$\mu - \mu S - (\beta_1 I_1 + \beta_{10} I_{12})S - (\beta_2 I_2 + \beta_{02} I_{12})S = 0$$

$$\mu - \mu S = 0$$

$$-\mu S = -\mu$$

$$S = \frac{\mu}{\mu}$$

$$S = 1$$

Misalkan titik setimbang bebas penyakit (non endemik) dari model matematika penyebaran penyakit *co-infection chlamydia dan pneumonia* dinyatakan dalam $E_0 = (S, E_1, E_2, E_{12}, I_1, I_2, I_{12}, R_1, R_2) = (S, 0, 0, 0, 0, 0, 0, 0, 0)$.

Maka titik setimbang bebas penyakit (non endemik) dari model matematika penyebaran penyakit *co-infection chlamydia-pneumonia* adalah $E_0 = (1, 0, 0, 0, 0, 0, 0, 0, 0)$.

Selanjutnya, akan ditentukan *basic reproduction number* (R_0) sebagai parameter ambang penentuan kriteria endemik penyakit pada populasi. Penentuan R_0 menggunakan metode *Next Generation Matrix* (NGM), yaitu dengan membangun matriks yang membangkitkan jumlah individu baru yang terinfeksi. Dari perhitungan dengan metode tersebut, diperoleh dua nilai R_0 , yaitu R_0 penyebaran penyakit chlamydia yang dinotasikan dengan R_{01} dan R_0 penyebaran penyakit pneumonia yang dinotasikan dengan R_{02} . Adapun nilai R_{01} dan R_{02} adalah

$$R_{01} = \frac{\beta_1 \varepsilon_1}{(\mu + \varepsilon_1)(\mu + \rho_1)} \text{ dan } R_{02} = \frac{\beta_2 \varepsilon_2}{(\mu + \varepsilon_2)(\mu + \rho_2)}$$

Perhitungan R_0 secara lengkap dapat dilihat pada **Lampiran A**.

4.2.2 Titik Setimbang Endemik

Titik setimbang endemik yaitu suatu kondisi ketika terjadi penyebaran penyakit chlamydia atau pneumonia pada suatu wilayah. Pada model matematika penyebaran penyakit *co-infection* chlamydia-pneumonia terdapat tiga titik setimbang endemik yaitu titik setimbang endemik chlamydia, titik setimbang endemik pneumonia, dan titik setimbang endemik *co-infection* chlamydia-pneumonia.

4.2.2.1 Titik Setimbang Endemik Chlamydia

Titik setimbang endemik chlamydia yaitu suatu kondisi ketika terjadi penyebaran penyakit chlamydia pada suatu wilayah, sehingga dalam wilayah tersebut terdapat manusia yang terinfeksi chlamydia ($I_1 \neq 0$), terdapat manusia *exposed* chlamydia ($E_1 \neq 0$) dan terdapat manusia yang telah sembuh dari chlamydia ($R_1 \neq 0$), tetapi tidak terdapat manusia yang terinfeksi pneumonia ($I_2 = 0$), tidak terdapat manusia *exposed* pneumonia ($E_2 = 0$) dan tidak terdapat pula manusia yang sembuh dari pneumonia ($R_2 = 0$). Karena tidak terdapat manusia yang terinfeksi pneumonia, maka tidak terdapat manusia yang menderita *co-infection* chlamydia-pneumonia ($I_{12} = 0$) dan tidak terdapat pula manusia *exposed co-infection* chlamydia-pneumonia ($E_{12} = 0$).

Dengan mensubstitusi nilai $I_2 = 0$, $I_{12} = 0$, $E_2 = 0$, $R_2 = 0$ dan $E_{12} = 0$ pada Persamaan (4.2a)-(4.2i) dapat diperoleh titik setimbang endemik chlamydia dari model matematika penyebaran penyakit *co-infection* chlamydia dan pneumonia yang dinyatakan dalam

$$(E_0)_1 = (S, E_1, E_2, E_{12}, I_1, I_2, I_{12}, R_1, R_2)$$

$$(E_0)_1 = (S^c, E_1^c, 0, 0, I_1^c, 0, 0, R_1^c, 0)$$

dengan

$$S^c = \frac{(\mu + \varepsilon_1)(\mu + \rho_1)}{\varepsilon_1 \beta_1}$$

$$E_1^c = \frac{\beta_1 \mu \varepsilon_1 - (\mu + \rho_1)(\mu + \varepsilon_1)\mu}{\beta_1 \varepsilon_1(\mu + \varepsilon_1)}$$

$$I_1^c = \frac{\mu \varepsilon_1}{(\mu + \varepsilon_1)(\mu + \rho_1)} - \frac{\mu}{\beta_1}$$

$$R_1^c = \frac{\rho_1 \mu \varepsilon_1 \beta_1 - \rho_1 \mu (\mu + \varepsilon_1)(\mu + \rho_1)}{(\mu + \varepsilon_1)(\mu + \rho_1)(\mu + \omega_1)\beta_1}$$

Berdasarkan uraian diatas, karena semua parameter bernilai positif maka titik setimbang $(E_0)_1$ eksis jika $R_{0_1} > 1$. Hal ini merepresentasikan bahwa infeksi chlamydia menyebar pada wilayah tersebut. Uraian lengkap mengenai perhitungan titik setimbang endemik chlamydia dapat dilihat pada **Lampiran B**.

4.2.2.2 Titik Setimbang Endemik Pneumonia

Titik setimbang endemik pneumonia yaitu suatu kondisi ketika terjadi penyebaran penyakit pneumonia pada suatu wilayah, sehingga dalam wilayah tersebut terdapat manusia yang terinfeksi pneumonia ($I_2 \neq 0$), terdapat manusia *exposed* pneumonia ($E_2 \neq 0$) dan terdapat manusia yang telah sembuh dari pneumonia ($R_2 \neq 0$), tetapi tidak terdapat manusia yang terinfeksi chlamydia ($I_1 = 0$), tidak terdapat manusia *exposed* chlamydia ($E_1 = 0$) dan tidak terdapat pula manusia yang sembuh dari chlamydia ($R_1 = 0$). Karena tidak terdapat manusia yang terinfeksi chlamydia, maka tidak terdapat manusia yang menderita *co-infection* chlamydia-pneumonia ($I_{12} = 0$) dan tidak terdapat pula manusia *exposed co-infection* chlamydia-pneumonia ($E_{12} = 0$).

Dengan mensubstitusi nilai $I_1 = 0$, $I_{12} = 0$, $E_1 = 0$, $R_1 = 0$ dan $E_{12} = 0$ pada Persamaan (4.2a)-(4.2i) dapat diperoleh titik setimbang endemik pneumonia dari model matematika

penyebaran penyakit *co-infection chlamydia dan pneumonia* yang dinyatakan dalam

$$(E_0)_2 = (S, E_1, E_2, E_{12}, I_1, I_2, I_{12}, R_1, R_2)$$

$$(E_0)_2 = (S^p, 0, E_2^p, 0, 0, I_2^p, 0, 0, R_2^p)$$

dengan

$$S^p = \frac{(\mu + \varepsilon_2)(\mu + \rho_2)}{\varepsilon_2 \beta_2}$$

$$E_2^p = \frac{\beta_2 \mu \varepsilon_2 - (\mu + \rho_2)(\mu + \varepsilon_2)\mu}{\beta_2 \varepsilon_2 (\mu + \varepsilon_2)}$$

$$I_2^p = \frac{\mu \varepsilon_2}{(\mu + \varepsilon_2)(\mu + \rho_2)} - \frac{\mu}{\beta_2}$$

$$R_2^p = \frac{\rho_2 \mu \varepsilon_2 \beta_2 - \rho_2 \mu (\mu + \varepsilon_2)(\mu + \rho_2)}{(\mu + \varepsilon_2)(\mu + \rho_2)(\mu + \omega_2)\beta_2}$$

Berdasarkan uraian diatas, karena semua parameter bernilai positif maka titik setimbang $(E_0)_2$ eksis jika $R_{0_2} > 1$. Hal ini merepresentasikan bahwa infeksi pneumonia menyebar pada wilayah tersebut. Uraian lengkap mengenai perhitungan titik setimbang endemik pneumonia dapat dilihat pada **Lampiran C**.

4.2.2.3 Titik Setimbang Endemik *Co-infection Chlamydia-Pneumonia*

Titik setimbang endemik *co-infection chlamydia-pneumonia* yaitu suatu kondisi ketika terjadi penyebaran penyakit chlamydia dan pneumonia pada suatu wilayah yang menyebabkan timbulnya *co-infection chlamydia-pneumonia*. Oleh karena itu dalam wilayah tersebut terdapat manusia yang terinfeksi chlamydia, manusia yang terinfeksi pneumonia, manusia yang terinfeksi chlamydia dan pneumonia ($I_1 \neq 0, I_2 \neq 0, I_{12} \neq 0$), maka terdapat manusia *exposed chlamydia*, *exposed pneumonia*, *exposed co-infection chlamydia-pneumonia* ($E_1 \neq 0, E_2 \neq$

$0, E_{12} \neq 0$) serta terdapat manusia yang sembuh dari chlamydia ($R_1 \neq 0$) dan manusia yang sembuh dari pneumonia ($R_2 \neq 0$).

Dengan mensubstitusi nilai $I_1 \neq 0, I_2 \neq 0, I_{12} \neq 0, E_1 \neq 0, E_2 \neq 0, E_{12} \neq 0, R_1 \neq 0$ dan $R_2 \neq 0$ pada Persamaan (4.2a)-(4.2i) dapat diperoleh titik setimbang endemik pneumonia dari model matematika penyebaran penyakit *co-infection* chlamydia dan pneumonia yang dinyatakan dalam

$$(E_0)_3 = (S, E_1, E_2, E_{12}, I_1, I_2, I_{12}, R_1, R_2)$$

$$(E_0)_3 = (S^{cp}, E_1^{cp}, E_2^{cp}, E_{12}^{cp}, I_1^{cp}, I_2^{cp}, I_{12}^{cp}, R_1^{cp}, R_2^{cp})$$

dengan

$$S^{cp} = \frac{\mu}{(\beta_1 I_1 + \beta_{10} I_{12} + \beta_2 I_2 + \beta_{02} I_{12} + \mu)}$$

$$E_1^{cp} = \frac{(\beta_1 I_1 + \beta_{10} I_{12})S}{(\mu + \varepsilon_1 + \beta_2 I_2 + \beta_{02} I_{12})}$$

$$E_2^{cp} = \frac{(\beta_2 I_2 + \beta_{02} I_{12})S}{(\mu + \varepsilon_2 + \beta_1 I_1 + \beta_{10} I_{12})}$$

$$E_{12}^{cp} = \frac{(\beta_2 I_2 + \beta_{02} I_{12})E_1 + (\beta_1 I_1 + \beta_{10} I_{12})E_2}{(\mu + \varepsilon_{10} + \varepsilon_{02})}$$

$$I_1^{cp} = \frac{\varepsilon_1 E_1 + (\varepsilon_{10} - \varepsilon_{02})E_{12}}{(\mu + \rho_1)}$$

$$I_2^{cp} = \frac{\varepsilon_2 E_2 + (\varepsilon_{02} - \varepsilon_{10})E_{12}}{(\mu + \rho_2)}$$

$$I_{12}^{cp} = \frac{\varepsilon_{02} E_{12} + \varepsilon_{10} E_{12}}{(\mu + \rho_{10} + \rho_{02})}$$

$$R_1^{cp} = \frac{\rho_1 I_1 + \rho_{10} I_{12} + \omega_2 R_2}{(\mu + \omega_1)}$$

$$R_2^{cp} = \frac{\rho_2 I_2 + \rho_{02} I_{12} + \omega_1 R_1}{(\mu + \omega_2)}$$

Berdasarkan uraian diatas, karena semua parameter bernilai positif maka titik setimbang $(E_0)_3$ eksis jika $R_{0_1} > 1$ dan $R_{0_2} > 1$. Hal ini merepresentasikan bahwa infeksi chlamydia, infeksi pneumonia menyebar pada wilayah tersebut, sehingga *co-infection* chlamydia-pneumonia juga menyebar pada wilayah tersebut. Uraian lengkap mengenai perhitungan titik setimbang endemik *co-infection* chlamydia-pneumonia dapat dilihat pada **Lampiran D**.

4.3 Analisis Kestabilan pada Titik Setimbang

Model matematika penyebaran penyakit chlamydia dan pneumonia merupakan sistem persamaan differensial autonomous yang tak linear. Oleh karena itu, untuk mendapatkan kestabilan lokal dari titik setimbang non endemik (E_0) , titik setimbang endemik chlamydia $(E_0)_1$, titik setimbang endemik pneumonia $(E_0)_2$, dan titik setimbang endemik *co-infection* chlamydia-pneumonia $(E_0)_3$, perlu dilakukan linearisasi model matematika penyebaran penyakit *co-infection* chlamydia-pneumonia menggunakan matriks Jacobian. Matriks Jacobian merupakan hampiran linear dari sistem tak linear dari model tersebut. Kestabilan pada keempat titik setimbang bersifat lokal karena berlaku disekitar titik setimbang.

Misalkan sistem autonomous model matematika penyebaran penyakit *co-infection* chlamydia-pneumonia didefinisikan sebagai berikut

$$\begin{aligned} \frac{dS}{dt} &= \mu - \mu S - (\beta_1 I_1 + \beta_{10} I_{12})S - (\beta_2 I_2 + \beta_{02} I_{12})S \\ &= f_1(S, E_1, E_2, E_{12}, I_1, I_2, I_{12}, R_1, R_2) \end{aligned} \quad (4.3a)$$

$$\begin{aligned} \frac{dE_1}{dt} &= (\beta_1 I_1 + \beta_{10} I_{12})S - \mu E_1 - \varepsilon_1 E_1 - (\beta_2 I_2 + \beta_{02} I_{12})E_1 \\ &= f_2(S, E_1, E_2, E_{12}, I_1, I_2, I_{12}, R_1, R_2) \end{aligned} \quad (4.3b)$$

$$\frac{dE_2}{dt} = (\beta_2 I_2 + \beta_{02} I_{12})S - \mu E_2 - \varepsilon_2 E_2 - (\beta_1 I_1 + \beta_{10} I_{12})E_2$$

$$= f_3(S, E_1, E_2, E_{12}, I_1, I_2, I_{12}, R_1, R_2) \quad (4.3c)$$

$$\begin{aligned} \frac{dE_{12}}{dt} &= (\beta_2 I_2 + \beta_{02} I_{12}) E_1 + (\beta_1 I_1 + \beta_{10} I_{12}) E_2 - \mu E_{12} \\ &\quad - \varepsilon_{10} E_{12} - \varepsilon_{02} E_{12} \end{aligned} \quad (4.3d)$$

$$\begin{aligned} \frac{dI_1}{dt} &= \varepsilon_1 E_1 + \varepsilon_{10} E_{12} - \mu I_1 - \varepsilon_{02} E_{12} - \rho_1 I_1 \\ &= f_5(S, E_1, E_2, E_{12}, I_1, I_2, I_{12}, R_1, R_2) \end{aligned} \quad (4.3e)$$

$$\begin{aligned} \frac{dI_2}{dt} &= \varepsilon_2 E_2 + \varepsilon_{02} E_{12} - \mu I_2 - \varepsilon_{10} E_{12} - \rho_2 I_2 \\ &= f_6(S, E_1, E_2, E_{12}, I_1, I_2, I_{12}, R_1, R_2) \end{aligned} \quad (4.3f)$$

$$\begin{aligned} \frac{dI_{12}}{dt} &= \varepsilon_{02} E_{12} + \varepsilon_{10} E_{12} - \mu I_{12} - \rho_{10} I_{12} - \rho_{02} I_{12} \\ &= f_7(S, E_1, E_2, E_{12}, I_1, I_2, I_{12}, R_1, R_2) \end{aligned} \quad (4.3g)$$

$$\begin{aligned} \frac{dR_1}{dt} &= \rho_1 I_1 + \rho_{10} I_{12} + \omega_2 R_2 - \mu R_1 - \omega_1 R_1 \\ &= f_8(S, E_1, E_2, E_{12}, I_1, I_2, I_{12}, R_1, R_2) \end{aligned} \quad (4.3h)$$

$$\begin{aligned} \frac{dR_2}{dt} &= \rho_2 I_2 + \rho_{02} I_{12} + \omega_1 R_1 - \mu R_2 - \omega_2 R_2 \\ &= f_9(S, E_1, E_2, E_{12}, I_1, I_2, I_{12}, R_1, R_2) \end{aligned} \quad (4.3i)$$

Kemudian dilakukan linearisasi dengan matrik Jacobian.

$$J = \begin{pmatrix} \frac{\partial f_1}{\partial S} & \frac{\partial f_1}{\partial E_1} & \frac{\partial f_1}{\partial E_2} & \frac{\partial f_1}{\partial E_{12}} & \frac{\partial f_1}{\partial I_1} & \frac{\partial f_1}{\partial I_2} & \frac{\partial f_1}{\partial I_{12}} & \frac{\partial f_1}{\partial R_1} & \frac{\partial f_1}{\partial R_2} \\ \frac{\partial f_2}{\partial S} & \frac{\partial f_2}{\partial E_1} & \frac{\partial f_2}{\partial E_2} & \frac{\partial f_2}{\partial E_{12}} & \frac{\partial f_2}{\partial I_1} & \frac{\partial f_2}{\partial I_2} & \frac{\partial f_2}{\partial I_{12}} & \frac{\partial f_2}{\partial R_1} & \frac{\partial f_2}{\partial R_2} \\ \frac{\partial f_3}{\partial S} & \frac{\partial f_3}{\partial E_1} & \frac{\partial f_3}{\partial E_2} & \frac{\partial f_3}{\partial E_{12}} & \frac{\partial f_3}{\partial I_1} & \frac{\partial f_3}{\partial I_2} & \frac{\partial f_3}{\partial I_{12}} & \frac{\partial f_3}{\partial R_1} & \frac{\partial f_3}{\partial R_2} \\ \frac{\partial f_4}{\partial S} & \frac{\partial f_4}{\partial E_1} & \frac{\partial f_4}{\partial E_2} & \frac{\partial f_4}{\partial E_{12}} & \frac{\partial f_4}{\partial I_1} & \frac{\partial f_4}{\partial I_2} & \frac{\partial f_4}{\partial I_{12}} & \frac{\partial f_4}{\partial R_1} & \frac{\partial f_4}{\partial R_2} \\ \frac{\partial f_5}{\partial S} & \frac{\partial f_5}{\partial E_1} & \frac{\partial f_5}{\partial E_2} & \frac{\partial f_5}{\partial E_{12}} & \frac{\partial f_5}{\partial I_1} & \frac{\partial f_5}{\partial I_2} & \frac{\partial f_5}{\partial I_{12}} & \frac{\partial f_5}{\partial R_1} & \frac{\partial f_5}{\partial R_2} \\ \frac{\partial f_6}{\partial S} & \frac{\partial f_6}{\partial E_1} & \frac{\partial f_6}{\partial E_2} & \frac{\partial f_6}{\partial E_{12}} & \frac{\partial f_6}{\partial I_1} & \frac{\partial f_6}{\partial I_2} & \frac{\partial f_6}{\partial I_{12}} & \frac{\partial f_6}{\partial R_1} & \frac{\partial f_6}{\partial R_2} \\ \frac{\partial f_7}{\partial S} & \frac{\partial f_7}{\partial E_1} & \frac{\partial f_7}{\partial E_2} & \frac{\partial f_7}{\partial E_{12}} & \frac{\partial f_7}{\partial I_1} & \frac{\partial f_7}{\partial I_2} & \frac{\partial f_7}{\partial I_{12}} & \frac{\partial f_7}{\partial R_1} & \frac{\partial f_7}{\partial R_2} \\ \frac{\partial f_8}{\partial S} & \frac{\partial f_8}{\partial E_1} & \frac{\partial f_8}{\partial E_2} & \frac{\partial f_8}{\partial E_{12}} & \frac{\partial f_8}{\partial I_1} & \frac{\partial f_8}{\partial I_2} & \frac{\partial f_8}{\partial I_{12}} & \frac{\partial f_8}{\partial R_1} & \frac{\partial f_8}{\partial R_2} \\ \frac{\partial f_9}{\partial S} & \frac{\partial f_9}{\partial E_1} & \frac{\partial f_9}{\partial E_2} & \frac{\partial f_9}{\partial E_{12}} & \frac{\partial f_9}{\partial I_1} & \frac{\partial f_9}{\partial I_2} & \frac{\partial f_9}{\partial I_{12}} & \frac{\partial f_9}{\partial R_1} & \frac{\partial f_9}{\partial R_2} \\ \frac{\partial f_{10}}{\partial S} & \frac{\partial f_{10}}{\partial E_1} & \frac{\partial f_{10}}{\partial E_2} & \frac{\partial f_{10}}{\partial E_{12}} & \frac{\partial f_{10}}{\partial I_1} & \frac{\partial f_{10}}{\partial I_2} & \frac{\partial f_{10}}{\partial I_{12}} & \frac{\partial f_{10}}{\partial R_1} & \frac{\partial f_{10}}{\partial R_2} \end{pmatrix}$$

Dari sistem persamaan (4.3a)-(4.3i), diperoleh matriks Jacobian

$$J = \begin{pmatrix} -a_1 - a_2 - \mu & 0 & 0 & 0 & -a_8 & -a_{11} & -a_{14} - a_{15} & 0 & 0 \\ a_1 & -a_3 - a_2 & 0 & 0 & a_8 & -a_{12} & a_{14} - a_{16} & 0 & 0 \\ a_2 & 0 & -a_4 - a_1 & 0 & -a_9 & a_{11} & a_{15} - a_{17} & 0 & 0 \\ 0 & a_2 & a_1 & -a_5 & a_9 & a_{12} & a_{16} - a_{17} & 0 & 0 \\ 0 & \varepsilon_1 & 0 & a_6 & -a_{10} & 0 & 0 & 0 & 0 \\ 0 & 0 & \varepsilon_2 & -a_6 & 0 & -a_{13} & 0 & 0 & 0 \\ 0 & 0 & 0 & a_7 & 0 & 0 & -a_{18} & 0 & 0 \\ 0 & 0 & 0 & 0 & \rho_1 & 0 & \rho_{10} & -a_{19} & \omega_2 \\ 0 & 0 & 0 & 0 & 0 & \rho_2 & \rho_{02} & \omega_1 & -a_{20} \end{pmatrix}$$

dengan

$$a_1 = \beta_1 I_1 + \beta_{10} I_{12} \quad a_8 = \beta_1 S \quad a_{15} = \beta_{02} S$$

$$a_2 = \beta_2 I_2 + \beta_{02} I_{12} \quad a_9 = \beta_1 E_2 \quad a_{16} = \beta_{02} E_1$$

$$a_3 = \mu + \varepsilon_1$$

$$a_{10} = \mu + \rho_1 \quad a_{17} = \beta_{10}E_2$$

$$a_4 = \mu + \varepsilon_2$$

$$a_{11} = \beta_2 S \quad a_{18} = \mu + \rho_{10} + \rho_{02}$$

$$a_5 = \mu + \varepsilon_{10} + \varepsilon_{02}$$

$$a_{12} = \beta_2 E_1 \quad a_{19} = \mu + \omega_1$$

$$a_6 = \varepsilon_{10} - \varepsilon_{02}$$

$$a_{13} = \mu + \rho_2 \quad a_{20} = \mu + \omega_2$$

$$a_7 = \varepsilon_{02} + \varepsilon_{10}$$

$$a_{14} = \beta_{10}S$$

Berikutnya akan dilakukan analisis kestabilan lokal dari titik setimbang non endemik (E_0), titik setimbang endemik chlamydia ($E_0)_1$, titik setimbang endemik pneumonia ($E_0)_2$, dan titik setimbang endemik *co-infection* chlamydia-pneumonia ($E_0)_3$.

4.3.1 Analisis Kestabilan pada Titik Setimbang Non Endemik

Langkah pertama dalam menentukan kestabilan titik setimbang non endemik adalah mengevaluasi nilai titik setimbang $E_0 = (1,0,0,0,0,0,0,0,0)$ pada matrik Jacobian, sehingga diperoleh

$$J_{E_0} = \begin{pmatrix} -\mu & 0 & 0 & 0 & -\beta_1 & -\beta_2 & -\beta_{10} - \beta_{02} & 0 & 0 \\ 0 & -b_1 & 0 & 0 & \beta_1 & 0 & \beta_{10} & 0 & 0 \\ 0 & 0 & -b_2 & 0 & 0 & \beta_2 & \beta_{02} & 0 & 0 \\ 0 & 0 & 0 & -b_3 & 0 & 0 & 0 & 0 & 0 \\ 0 & \varepsilon_1 & 0 & b_4 & -b_6 & 0 & 0 & 0 & 0 \\ 0 & 0 & \varepsilon_2 & -b_4 & 0 & -b_7 & 0 & 0 & 0 \\ 0 & 0 & 0 & b_5 & 0 & 0 & -b_8 & 0 & 0 \\ 0 & 0 & 0 & 0 & \rho_1 & 0 & \rho_{10} & -b_9 & \omega_2 \\ 0 & 0 & 0 & 0 & 0 & \rho_2 & \rho_{02} & \omega_1 & -b_{10} \end{pmatrix}$$

dengan

$$b_1 = \mu + \varepsilon_1$$

$$b_6 = \mu + \rho_2$$

$$b_2 = \mu + \varepsilon_2$$

$$b_7 = \mu + \rho_2$$

$$b_3 = \mu + \varepsilon_{10} + \varepsilon_{02} \quad b_8 = \mu + \rho_{10} + \rho_{02}$$

$$b_4 = \varepsilon_{10} - \varepsilon_{02} \quad b_9 = \mu + \omega_1$$

$$b_5 = \varepsilon_{02} + \varepsilon_{10} \quad b_{10} = \mu + \omega_2$$

Berdasarkan matriks J_{E_0} dapat dibentuk persamaan karakteristik dengan menggunakan $\det(\lambda I - J_{E_0}) = 0$, yaitu

$$(\lambda + \mu)(\lambda + b_3)(\lambda + b_8)[\lambda^4 + A_1\lambda^3 + A_2\lambda^2 + A_3\lambda + A_4][\lambda^2 + B_1\lambda + B_2] = 0 \quad (4.4)$$

dengan

$$A_1 = b_1 + b_6 + b_2 + b_7$$

$$A_2 = b_2b_1 + b_7b_1 + b_2b_6 + b_7b_6 + b_1b_6 + b_2b_7 - \varepsilon_2\beta_2 - \varepsilon_1\beta_1$$

$$A_3 = b_1b_6b_2 + b_1b_6b_7 + b_2b_7b_1 - \varepsilon_2\beta_2b_1 + b_2b_7b_6 - \varepsilon_2\beta_2b_6$$

$$-\varepsilon_1\beta_1b_2 - \varepsilon_1\beta_1b_7$$

$$A_4 = b_2b_7b_1b_6 - \varepsilon_2\beta_2b_1b_6 - \varepsilon_1\beta_1b_2b_7 + \varepsilon_1\varepsilon_2\beta_1\beta_2$$

$$B_1 = b_9 + b_{10}$$

$$B_2 = b_9b_{10} - \omega_2\omega_1$$

Uraian lengkap mengenai proses perhitungan untuk mendapatkan persamaan karakteristik dari titik setimbang non endemik (E_0), bisa dilihat pada **Lampiran E**.

Pada persamaan karakteristik (4.4) diperoleh nilai eigen dari matriks J_{E_0} adalah $\lambda_1 = -\mu$, $\lambda_2 = -b_3$, $\lambda_3 = -b_8$ dan sisanya adalah akar-akar dari persamaan

$$[\lambda^4 + A_1\lambda^3 + A_2\lambda^2 + A_3\lambda + A_4][\lambda^2 + B_1\lambda + B_2] = 0 \quad (4.5)$$

Persamaan karakteristik (4.5) dapat ditulis sebagai

$$\lambda^4 + A_1\lambda^3 + A_2\lambda^2 + A_3\lambda + A_4 = 0 \quad (4.5a)$$

$$\lambda^2 + B_1\lambda + B_2 = 0 \quad (4.5b)$$

Titik setimbang non endemik stabil asimtotis jika hanya jika Persamaan (4.4) mempunyai akar-akar yang negatif, sesuai dengan **Teorema 2.2**. Dari persamaan karakteristik tersebut terlihat bahwa nilai eigen $\lambda_1 < 0$, $\lambda_2 < 0$ dan $\lambda_3 < 0$ karena semua parameter bernilai positif. Selanjutnya ditentukan syarat untuk Persamaan (4.5) agar memiliki akar-akar negatif dengan menggunakan kriteria Routh-Hurwitz.

Berdasarkan kriteria Routh-Hurwitz, Persamaan (4.5) akan memiliki akar-akar yang negatif jika dan hanya jika

$$\Leftrightarrow A_1, A_2, A_3, A_4 > 0$$

$$\Leftrightarrow A_1A_2 > A_3$$

$$\Leftrightarrow (A_1A_2 - A_3)A_3 > A_1^2A_4$$

Persamaan (4.5b) akan memiliki akar-akar negatif jika dan hanya jika $B_1, B_2 > 0$.

Berdasarkan uraian diatas, kondisi tersebut merepresentasikan bahwa jumlah matinya virus chlamydia maupun pneumonia lebih dari jumlah infeksi chlamydia, pneumonia maupun *co-infection* chlamydia-pneumonia, oleh karena itu infeksi tidak akan meningkat dan sistem akan menjadi titik setimbang bebas penyakit.

Uraian lengkap mengenai proses perhitungan kriteria Routh-Hurwitz persamaan karakteristik dari titik setimbang non endemik (E_0) bisa dilihat pada **Lampiran F**.

4.3.2 Analisis Kestabilan pada Titik Setimbang Endemik Chlamydia

Langkah pertama dalam menentukan kestabilan titik setimbang endemik chlamydia adalah mengevaluasi nilai titik setimbang $(E_0)_1 = (S^c, E_1^c, 0, 0, I_1^c, 0, 0, R_1^c, 0)$ pada matrik Jacobian, sehingga diperoleh

$$J_{(E_0)_1} = \begin{pmatrix} -c_1 - \mu & 0 & 0 & 0 & -c_7 & -c_9 & -c_{12} - c_{13} & 0 & 0 \\ c_1 & -c_2 & 0 & 0 & c_7 & -c_{10} & c_{12} - c_{14} & 0 & 0 \\ 0 & 0 & -c_3 - c_1 & 0 & 0 & c_9 & c_{13} & 0 & 0 \\ 0 & 0 & c_1 & -c_4 & 0 & c_{10} & c_{14} & 0 & 0 \\ 0 & \varepsilon_1 & 0 & c_5 & -c_8 & 0 & 0 & 0 & 0 \\ 0 & 0 & \varepsilon_2 & -c_5 & 0 & -c_{11} & 0 & 0 & 0 \\ 0 & 0 & 0 & c_6 & 0 & 0 & -c_{15} & 0 & 0 \\ 0 & 0 & 0 & 0 & \rho_1 & 0 & \rho_{10} & -c_{16} & \omega_2 \\ 0 & 0 & 0 & 0 & 0 & \rho_2 & \rho_{02} & \omega_1 & -c_{17} \end{pmatrix}$$

dengan

$$c_1 = \beta_1 I_1^c$$

$$c_{10} = \beta_2 E_1^c$$

$$c_2 = \mu + \varepsilon_1$$

$$c_{11} = \mu + \rho_2$$

$$c_3 = \mu + \varepsilon_2$$

$$c_{12} = \beta_{10} S^c$$

$$c_4 = \mu + \varepsilon_{10} + \varepsilon_{02}$$

$$c_{13} = \beta_{02} S^c$$

$$c_5 = \varepsilon_{10} - \varepsilon_{02}$$

$$c_{14} = \beta_{02} E_1^c$$

$$c_6 = \varepsilon_{02} + \varepsilon_{10}$$

$$c_{15} = \mu + \rho_{10} + \rho_{02}$$

$$c_7 = \beta_1 S^c$$

$$c_{16} = \mu + \omega_1$$

$$c_8 = \mu + \rho_1$$

$$c_{17} = \mu + \omega_2$$

$$c_9 = \beta_2 S^c$$

Berdasarkan matriks $J_{(E_0)_1}$ dapat dibentuk persamaan karakteristik dengan menggunakan $\det(\lambda I - J_{(E_0)_1}) = 0$, yaitu

$$[\lambda^3 + C_1\lambda^2 + C_2\lambda + C_3][\lambda^4 + D_1\lambda^3 + D_2\lambda^2 + D_3\lambda + D_4][\lambda^2 + F_1\lambda + F_2] = 0 \quad (4.6)$$

dengan $C_1, C_2, C_3, D_1, D_2, D_3, D_4, F_1$ dan F_2 serta uraian lengkap mengenai proses perhitungan untuk mendapatkan persamaan karakteristik dari titik setimbang endemik chlamydia $(E_0)_1$, bisa dilihat pada **Lampiran G**.

Persamaan karakteristik (4.6) dapat ditulis sebagai

$$\lambda^3 + C_1\lambda^2 + C_2\lambda + C_3 = 0 \quad (4.6a)$$

$$\lambda^4 + D_1\lambda^3 + D_2\lambda^2 + D_3\lambda + D_4 = 0 \quad (4.6b)$$

$$\lambda^2 + F_1\lambda + F_2 = 0 \quad (4.6c)$$

Titik setimbang endemik chlamydia stabil asimtotis jika hanya jika Persamaan (4.6) mempunyai akar-akar yang negatif, sesuai dengan **Teorema 2.2**. Selanjutnya ditentukan syarat untuk Persamaan (4.6) agar memiliki akar-akar negatif dengan menggunakan kriteria Routh-Hurwitz.

Berdasarkan kriteria Routh-Hurwitz, Persamaan (4.6a) akan memiliki akar-akar yang negatif jika dan hanya jika $C_1, C_2, C_3 > 0$ dan $C_1C_2 > C_3$

Persamaan (4.6b) akan memiliki akar-akar negatif jika dan hanya jika

$$\leftrightarrow D_1, D_2, D_3, D_4 > 0$$

$$\leftrightarrow D_1D_2 > D_3$$

$$\leftrightarrow (D_1D_2 - D_3)D_3 - D_1^2D_4 > 0$$

Persamaan (4.6c) akan memiliki akar-akar negatif jika dan hanya jika $F_1, F_2 > 0$.

Berdasarkan uraian diatas, kondisi tersebut merepresentasikan bahwa jumlah matinya virus kurang dari jumlah infeksi, oleh karena itu infeksi akan berlanjut di zona endemik. Dalam hal ini direpresentasikan bahwa jumlah matinya virus chlamydia kurang dari jumlah infeksi chlamydia, oleh karena itu infeksi akan berlanjut dan terus meningkat. Sehingga sistem akan menjadi titik setimbang endemik chlamydia.

Uraian lengkap mengenai proses perhitungan kriteria Routh-Hurwitz persamaan karakteristik dari titik setimbang endemik chlamydia (E_0)₁ bisa dilihat pada **Lampiran H**.

4.3.3 Analisis Kestabilan pada Titik Setimbang Endemik Pneumonia

Langkah pertama dalam menentukan kestabilan titik setimbang endemik pneumonia adalah mengevaluasi nilai titik

setimbang $(E_0)_2 = (S^p, 0, E_2^p, 0, 0, I_2^p, 0, 0, R_2^p)$ pada matrik Jacobian, sehingga diperoleh

$$J_{(E_0)_2} = \begin{pmatrix} -d_1 - \mu & 0 & 0 & 0 & -d_7 & -d_{10} & -d_{12} - d_{13} & 0 & 0 \\ 0 & -d_2 - d_1 & 0 & 0 & d_7 & 0 & d_{12} & 0 & 0 \\ d_1 & 0 & -d_3 & 0 & -d_8 & d_{10} & d_{13} - d_{14} & 0 & 0 \\ 0 & d_1 & 0 & -d_4 & d_8 & 0 & -d_{14} & 0 & 0 \\ 0 & \varepsilon_1 & 0 & d_5 & -d_9 & 0 & 0 & 0 & 0 \\ 0 & 0 & \varepsilon_2 & -d_5 & 0 & -d_{11} & 0 & 0 & 0 \\ 0 & 0 & 0 & d_6 & 0 & 0 & -d_{15} & 0 & 0 \\ 0 & 0 & 0 & 0 & \rho_1 & 0 & \rho_{10} & -d_{16} & \omega_2 \\ 0 & 0 & 0 & 0 & \rho_2 & \rho_{02} & \omega_1 & -d_{17} & \end{pmatrix}$$

dengan

$$d_1 = \beta_1 I_1^p$$

$$d_{10} = \beta_2 S^p$$

$$d_2 = \mu + \varepsilon_1$$

$$d_{11} = \mu + \rho_2$$

$$d_3 = \mu + \varepsilon_2$$

$$d_{12} = \beta_{10} S^p$$

$$d_4 = \mu + \varepsilon_{10} + \varepsilon_{02}$$

$$d_{13} = \beta_{02} S^p$$

$$d_5 = \varepsilon_{10} - \varepsilon_{02}$$

$$d_{14} = \beta_{10} E_2^p$$

$$d_6 = \varepsilon_{02} + \varepsilon_{10}$$

$$d_{15} = \mu + \rho_{10} + \rho_{02}$$

$$d_7 = \beta_1 S^p$$

$$d_{16} = \mu + \omega_1$$

$$d_8 = \beta_1 E_2^p$$

$$d_{17} = \mu + \omega_2$$

$$d_9 = \mu + \rho_1$$

Berdasarkan matriks $J_{(E_0)_2}$ dapat dibentuk persamaan karakteristik dengan menggunakan $\det(\lambda I - J_{(E_0)_2}) = 0$, yaitu $[\lambda^3 + G_1\lambda^2 + G_2\lambda + G_3][\lambda^4 + H_1\lambda^3 + H_2\lambda^2 + H_3\lambda + H_4][\lambda^2 + K_1\lambda + K_2] = 0$ (4.7) dengan $G_1, G_2, G_3, H_1, H_2, H_3, H_4, K_1$ dan K_2 serta uraian lengkap mengenai proses perhitungan untuk mendapatkan persamaan

karakteristik dari titik setimbang endemik pneumonia (E_0)₂, bisa dilihat pada **Lampiran I**.

Persamaan karakteristik (4.7) dapat ditulis sebagai

$$\lambda^3 + G_1\lambda^2 + G_2\lambda + G_3 = 0 \quad (4.7a)$$

$$\lambda^4 + H_1\lambda^3 + H_2\lambda^2 + H_3\lambda + H_4 = 0 \quad (4.7b)$$

$$\lambda^2 + K_1\lambda + K_2 = 0 \quad (4.7c)$$

Titik setimbang endemik pneumonia stabil asimtotis jika dan hanya jika Persamaan (4.7) mempunyai akar-akar yang negatif, sesuai dengan **Teorema 2.2**. Selanjutnya ditentukan syarat untuk Persamaan (4.7) agar memiliki akar-akar negatif dengan menggunakan kriteria Routh-Hurwitz.

Berdasarkan kriteria Routh-Hurwitz, Persamaan (4.7a) akan memiliki akar-akar yang negatif jika dan hanya jika $G_1, G_2, G_3 > 0$ dan $G_1 G_2 > G_3$

Persamaan (4.7b) akan memiliki akar-akar negatif jika dan hanya jika

$$\Leftrightarrow H_1, H_2, H_3, H_4 > 0$$

$$\Leftrightarrow H_1 H_2 > H_3$$

$$\Leftrightarrow (H_1 H_2 - H_3) H_3 - H_1^2 H_4$$

Persamaan (4.7c) akan memiliki akar-akar negatif jika dan hanya jika $K_1, K_2 > 0$.

Berdasarkan uraian diatas, kondisi tersebut merepresentasikan bahwa jumlah matinya virus kurang dari jumlah infeksi, oleh karena itu infeksi akan berlanjut di zona endemik. Dalam hal ini direpresentasikan bahwa jumlah matinya virus pneumonia kurang dari jumlah infeksi pneumonia, oleh karena itu infeksi akan berlanjut dan terus meningkat. Sehingga sistem akan menjadi titik setimbang endemik pneumonia.

Uraian lengkap mengenai proses perhitungan kriteria Routh-Hurwitz persamaan karakteristik dari titik setimbang endemik pneumonia (E_0)₂ bisa dilihat pada **Lampiran J**.

4.3.4 Analisis Kestabilan pada Titik Setimbang Endemik *Co-infection Chlamydia-Pneumonia*

Langkah pertama dalam menentukan kestabilan titik setimbang endemik *co-infection chlamydia-pneumonia* adalah mengevaluasi nilai titik setimbang $(E_0)_3 = (S^{cp}, E_1^{cp}, E_2^{cp}, E_{12}^{cp}, I_1^{cp}, I_2^{cp}, I_{12}^{cp}, R_1^{cp}, R_2^{cp})$ pada matrik Jacobian, sehingga diperoleh

$$J_{(E_0)_3} = \begin{pmatrix} -e_1 - e_2 - \mu & 0 & 0 & 0 & -e_8 & -e_{11} & -e_{14} - e_{15} & 0 & 0 \\ e_1 & -e_3 - e_2 & 0 & 0 & e_8 & -e_{12} & e_{14} - e_{16} & 0 & 0 \\ e_2 & 0 & -e_4 - e_1 & 0 & -e_9 & e_{11} & e_{15} - e_{17} & 0 & 0 \\ 0 & e_2 & e_1 & -e_5 & e_9 & e_{12} & e_{16} - e_{17} & 0 & 0 \\ 0 & \varepsilon_1 & 0 & e_6 & -e_{10} & 0 & 0 & 0 & 0 \\ 0 & 0 & \varepsilon_2 & -e_6 & 0 & -e_{13} & 0 & 0 & 0 \\ 0 & 0 & 0 & e_7 & 0 & 0 & -e_{18} & 0 & 0 \\ 0 & 0 & 0 & 0 & \rho_1 & 0 & \rho_{10} & -e_{19} & \omega_2 \\ 0 & 0 & 0 & 0 & 0 & \rho_2 & \rho_{02} & \omega_1 & -e_{20} \end{pmatrix}$$

dengan

$$e_1 = \beta_1 I_1^{cp} + \beta_{10} I_{12}^{cp}$$

$$e_{11} = \beta_2 S^{cp}$$

$$e_2 = \beta_2 I_2^{cp} + \beta_{02} I_{12}^{cp}$$

$$e_{12} = \beta_2 E_1^{cp}$$

$$e_3 = \mu + \varepsilon_1$$

$$e_{13} = \mu + \rho_2$$

$$e_4 = \mu + \varepsilon_2$$

$$e_{14} = \beta_{10} S^{cp}$$

$$e_5 = \mu + \varepsilon_{10} + \varepsilon_{02}$$

$$e_{15} = \beta_{02} S^{cp}$$

$$e_6 = \varepsilon_{10} - \varepsilon_{02}$$

$$e_{16} = \beta_{02} E_1^{cp}$$

$$e_7 = \varepsilon_{02} + \varepsilon_{10}$$

$$e_{17} = \beta_{10} E_2^{cp}$$

$$e_8 = \beta_1 S^{cp}$$

$$e_{18} = \mu + \rho_{10} + \rho_{02}$$

$$e_9 = \beta_1 E_2^{cp}$$

$$e_{19} = \mu + \omega_1$$

$$e_{10} = \mu + \rho_1$$

$$e_{20} = \mu + \omega_2$$

Berdasarkan matriks $J_{(E_0)_3}$ dapat dibentuk persamaan karakteristik dengan menggunakan $\det(\lambda I - J_{(E_0)_3}) = 0$, yaitu $[\lambda^7 + L_1\lambda^6 + L_2\lambda^5 + L_3\lambda^4 + L_4\lambda^3 + L_5\lambda^2 + L_6\lambda + L_7][\lambda^2 + M_1\lambda + M_2] = 0$ (4.8)

dengan $L_1, L_2, L_3, L_4, L_5, L_6, L_7, M_1$ dan M_2 serta uraian lengkap mengenai proses perhitungan untuk mendapatkan persamaan karakteristik dari titik setimbang endemik *co-infection chlamydia-pneumonia* $(E_0)_3$, bisa dilihat pada **Lampiran K**.

Persamaan karakteristik (4.8) dapat dituliskan sebagai

$$\lambda^7 + L_1\lambda^6 + L_2\lambda^5 + L_3\lambda^4 + L_4\lambda^3 + L_5\lambda^2 + L_6\lambda + L_7 = 0 \quad (4.8a)$$

$$\lambda^2 + M_1\lambda + M_2 = 0 \quad (4.8b)$$

Titik setimbang endemik *co-infection chlamydia-pneumonia* stabil asimtotis jika hanya jika Persamaan (4.8) mempunyai akar-akar yang negatif, sesuai dengan **Teorema 2.2**. Selanjutnya ditentukan syarat untuk Persamaan (4.8) agar memiliki akar-akar negatif dengan menggunakan kriteria Routh-Hurwitz.

Berdasarkan kriteria Routh-Hurwitz, Persamaan (4.8a) akan memiliki akar-akar yang negatif jika dan hanya jika

$$\Leftrightarrow L_1, L_2, L_3, L_4, L_5, L_6, L_7 > 0$$

$$\Leftrightarrow (L_1L_2 - L_3)L_3 > L_1(L_1L_4 - L_5).$$

$$\Leftrightarrow \left(\frac{L_1L_4 - L_5}{L_1}\right) > \left(\frac{L_1L_2 - L_3}{L_1}\right) \left(\frac{(L_1L_2 - L_3)L_5 - L_1(L_1L_6 - L_7)}{(L_1L_2 - L_3)L_3 - L_1(L_1L_4 - L_5)}\right)$$

Persamaan (4.8b) akan memiliki akar-akar negatif jika dan hanya jika $M_1, M_2 > 0$.

Berdasarkan uraian diatas, kondisi tersebut merepresentasikan bahwa jumlah matinya virus kurang dari jumlah infeksi, oleh karena itu infeksi akan berlanjut di zona endemik. Dalam hal ini direpresentasikan bahwa jumlah matinya virus chlamydia maupun virus pneumonia kurang dari jumlah infeksi chlamydia maupun pneumonia, oleh karena itu infeksi akan berlanjut dan terus meningkat. Sehingga sistem akan menjadi titik setimbang endemik *co-infection chlamydia-pneumonia*.

Uraian lengkap mengenai proses perhitungan kriteria Routh-Hurwitz persamaan karakteristik dari titik setimbang endemik *co-infection* chlamydia-pneumonia (E_0)₂ bisa dilihat pada **Lampiran L**.

4.4 Simulasi Numerik

Pada sub bab ini akan dilakukan simulasi model matematika penyebaran penyakit *co-infection* chlamydia dan pneumonia dengan menggunakan *software* MATLAB R2013a.

4.4.1 Implementasi Antarmuka

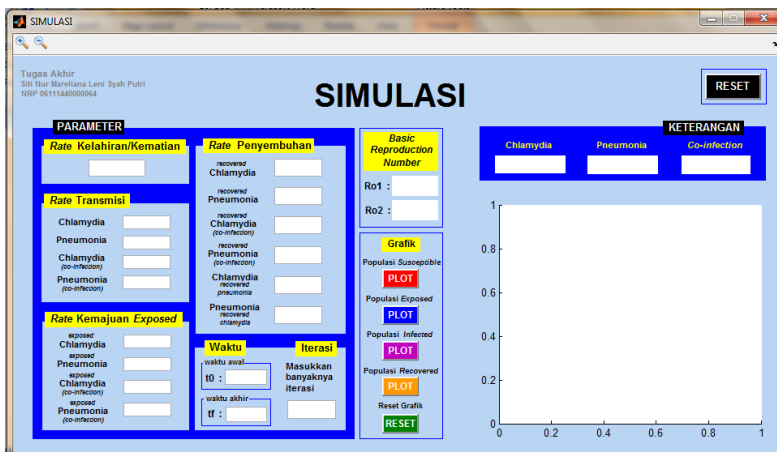
Implementasi antarmuka digunakan untuk mempermudah penggunaan program, implementasi antarmuka terdiri dari 3 menu yaitu menu “Home”, “Simulasi” dan “Exit”.



Gambar 4.2 Home GUIDE Simulasi

Simulasi numerik dilakukan pada menu “Simulasi”. Menu “Simulasi” ini terdiri dari 7 *pushbutton* yaitu 5 *pushbutton* “Plot” dan 2 *pushbutton* “Reset”. 5 *pushbutton* “Plot” tersebut terdiri dari *pushbutton* “Plot” warna merah yang digunakan untuk

menampilkan grafik populasi *susceptible*, *pushbutton* “Plot” warna biru yang digunakan untuk menampilkan grafik populasi *exposed*, *pushbutton* “Plot” warna ungu yang digunakan untuk menampilkan grafik populasi *infected*, *pushbutton* “Plot” warna orange yang digunakan untuk menampilkan grafik populasi *recovered*. 2 *pushbutton* “Reset” tersebut terdiri dari *pushbutton* “Reset” warna hijau yang digunakan untuk menghapus grafik. Sedangkan *pushbutton* “Reset” warna hitam digunakan untuk menghapus hasil *input-an* parameter, grafik, nilai *basic reproduction number* serta keterangan. Kemudian menu “Exit” yang digunakan untuk keluar dari program.

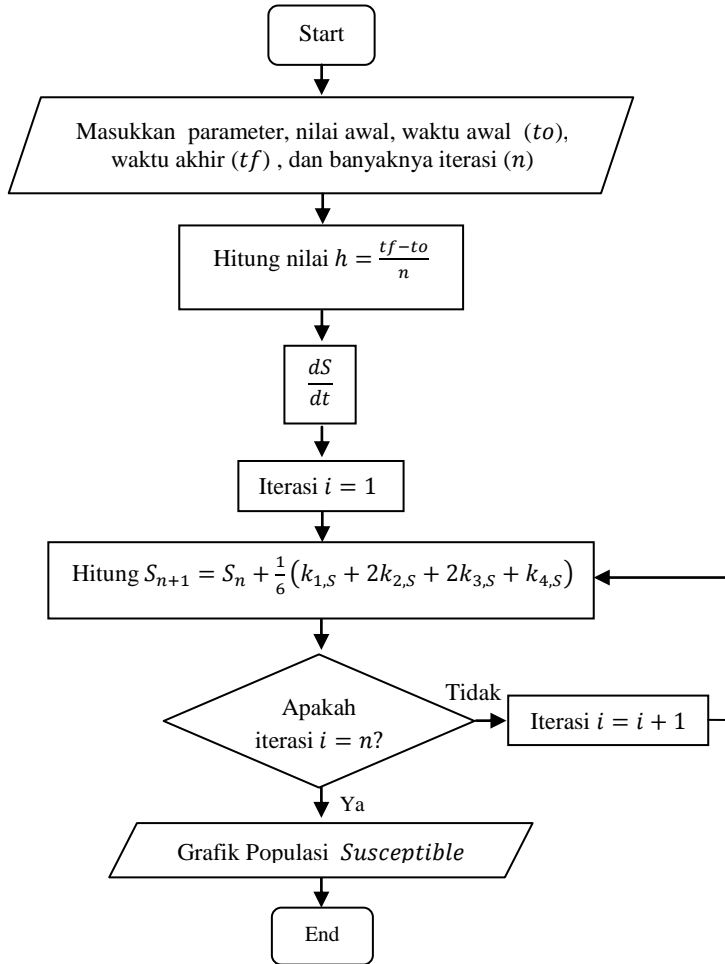


Gambar 4.3 GUIDE Simulasi

4.4.2 Flow Chart

Flow Chart merupakan diagram yang digunakan untuk menjelaskan proses berjalananya program dari sistem yang disimulasikan. Simulasi ini dilakukan dengan memberi nilai parameter $\mu, \beta_1, \beta_2, \beta_{10}, \beta_{02}, \varepsilon_1, \varepsilon_2, \varepsilon_{10}, \varepsilon_{02}, \rho_1, \rho_2, \rho_{10}, \rho_{02}, \omega_1, \omega_2$ dan nilai awal untuk masing-masing subpopulasi $S, E_1, E_2, E_{12}, I_1, I_2, I_{12}, R_1$ dan R_2 serta waktu awal, waktu akhir

dan banyaknya iterasi yang diinginkan. Kemudian nilai tersebut dihitung menggunakan metode Runge-Kutta sesuai rumus pada **subbab 2.7**. *Flow Chart* simulasi numerik pada model matematika penyebaran penyakit *co-infection* chlamydia dan pneumonia ditunjukkan oleh **Gambar 4.4**.



Gambar 4.4 *Flow Chart* Simulasi

4.4.3 Hasil Simulasi

Simulasi dilakukan dalam 4 percobaan, dengan nilai awal untuk setiap percobaan adalah $S = 0.25$, $E_1 = 0.18$, $E_2 = 0.15$, $E_{12} = 0.12$, $I_1 = 0.1$, $I_2 = 0.09$, $I_{12} = 0.06$, $R_1 = 0.03$, dan $R_2 = 0.02$.

4.4.3.1 Percobaan Pertama

Percobaan pertama dilakukan saat $t_0 = 0$ dan $t_f = 4000$ hari. Nilai parameter yang digunakan untuk percobaan pertama tertera pada **Tabel 4.3**.

Tabel 4.3 Nilai Parameter untuk Percobaan Pertama

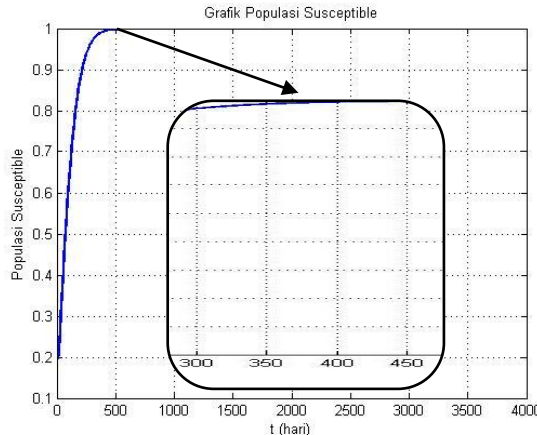
Parameter	Nilai Parameter	Sumber
μ	0.02	Daozhao dkk (2016)
β_1	0.9	Daozhao dkk (2016)
β_2	0.2	Daozhao dkk (2016)
β_{10}	0.3	Daozhao dkk (2016)
β_{02}	0.05	Daozhao dkk (2016)
ε_1	0.0001	Sharomi dkk (2011)
ε_2	0.00274	Jacob dkk (2013)
ε_{10}	0.003	Asumsi
ε_{02}	0.003	Asumsi
ρ_1	0.03	Sharomi dkk (2011)
ρ_2	0.0476	Jacob dkk (2013)
ρ_{10}	0.027	Asumsi
ρ_{02}	0.03	Asumsi
ω_1	0.025	Asumsi
ω_2	0.0238	Asumsi

Dengan menggunakan nilai parameter pada **Tabel 4.3**, diperoleh

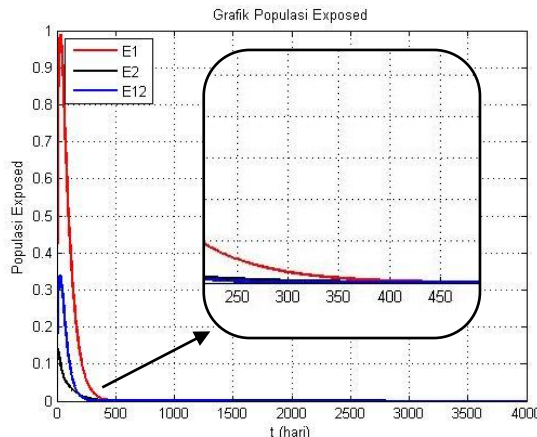
$$R_{0_1} = \frac{\beta_1 \varepsilon_1}{(\mu + \varepsilon_1)(\mu + \rho_1)} = 0.0896 < 1$$

$$R_{0_2} = \frac{\beta_2 \varepsilon_2}{(\mu + \varepsilon_2)(\mu + \rho_2)} = 0.3565 < 1.$$

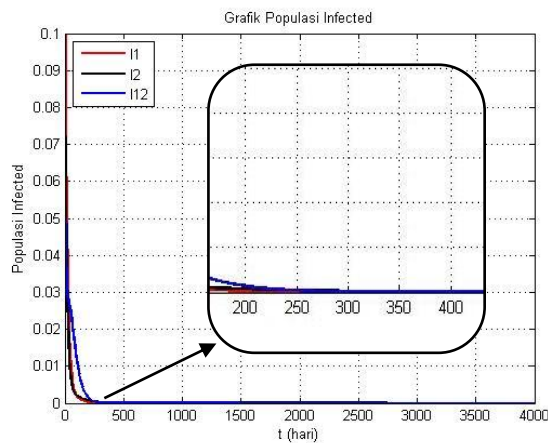
Berikut ini adalah grafik hasil percobaan pertama.



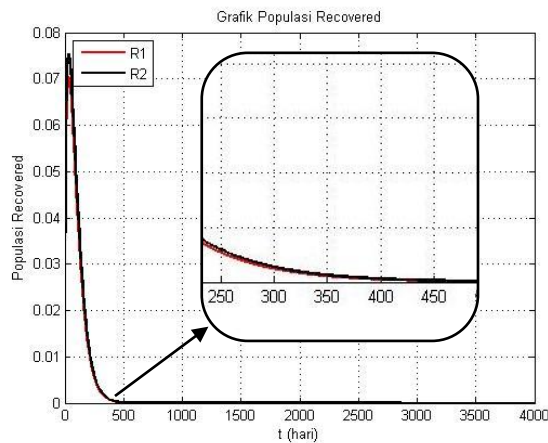
Gambar 4.5 Grafik Populasi *Susceptible* Percobaan Pertama



Gambar 4.6 Grafik Populasi *Exposed* Percobaan Pertama



Gambar 4.7 Grafik Populasi *Infected* Percobaan Pertama



Gambar 4.8 Grafik Populasi *Recovered* Percobaan Pertama

Pada **Gambar 4.5**, diperoleh hasil bahwa populasi *susceptible* akan mendekati titik setimbang pada waktu $t > 400$

hari. Pada **Gambar 4.6**, diperoleh hasil bahwa populasi *exposed chlamydia* akan mendekati titik setimbang pada waktu $t > 400$ hari, populasi *exposed pneumonia* akan mendekati titik setimbang pada waktu $t > 300$ hari dan populasi *exposed co-infection* akan mendekati titik setimbang pada waktu $t > 250$ hari. Pada **Gambar 4.7**, diperoleh hasil bahwa populasi *infected chlamydia* akan mendekati titik setimbang pada waktu $t > 200$ hari, populasi *infected pneumonia* dan populasi *infected co-infection* akan mendekati titik setimbang pada waktu $t > 250$ hari. Pada **Gambar 4.8**, diperoleh hasil bahwa populasi *recovered chlamydia* dan populasi *recovered pneumonia* akan mendekati titik setimbang pada waktu $t > 450$ hari.

Pada percobaan pertama juga diperoleh hasil $R_{0_1} < 1$ dan $R_{0_2} < 1$. Hal ini merepresentasikan bahwa $R_{0_1} < 1$ merupakan kondisi dimana setiap individu yang terinfeksi chlamydia dapat menularkan penyakit chlamydia rata-rata kurang dari satu penderita baru, atau dengan kata lain tidak terjadi penyebaran penyakit chlamydia. Sedangkan $R_{0_2} < 1$ merupakan kondisi dimana setiap individu yang terinfeksi pneumonia dapat menularkan penyakit pneumonia rata-rata kurang dari satu penderita baru atau dengan kata lain tidak terdapat penyebaran penyakit pneumonia.

4.4.3.2 Percobaan Kedua

Percobaan kedua dilakukan saat $t_0 = 0$ dan $t_f = 4000$ hari. Nilai parameter yang digunakan untuk percobaan kedua tertera pada **Tabel 4.4**.

Tabel 4.4 Nilai Parameter untuk Percobaan Kedua

Parameter	Nilai Parameter	Sumber
μ	0.02	Daozhao dkk (2016)
β_1	0.9	Daozhao dkk (2016)
β_2	0.2	Daozhao dkk (2016)
β_{10}	0.2	Daozhao dkk (2016)

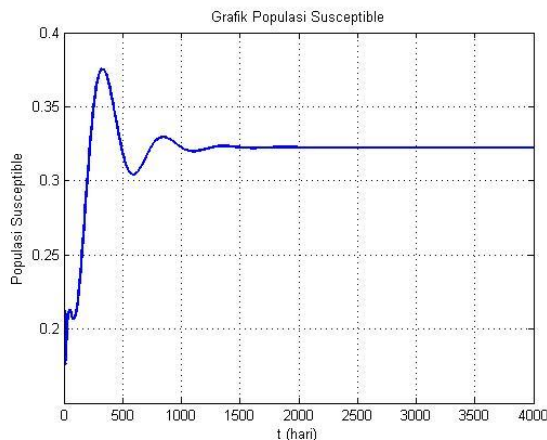
β_{02}	0.6	Daozhao dkk (2016)
ε_1	0.003	Asumsi
ε_2	0.00274	Jacob dkk (2013)
ε_{10}	0.003	Asumsi
ε_{02}	0.003	Asumsi
ρ_1	0.050	Asumsi
ρ_2	0.0475	Jacob dkk (2013)
ρ_{10}	0.03	Asumsi
ρ_{02}	0.027	Asumsi
ω_1	0.025	Asumsi
ω_2	0.0238	Asumsi

Dengan menggunakan nilai parameter pada **Tabel 4.4**, diperoleh

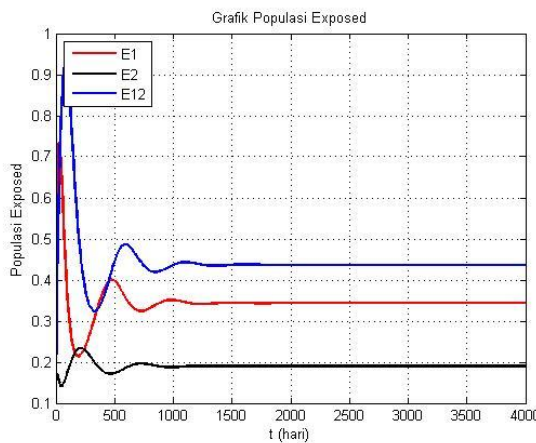
$$R_{0_1} = \frac{\beta_1 \varepsilon_1}{(\mu + \varepsilon_1)(\mu + \rho_1)} = 1.6770 > 1$$

$$R_{0_2} = \frac{\beta_2 \varepsilon_2}{(\mu + \varepsilon_2)(\mu + \rho_2)} = 0.3570 < 1.$$

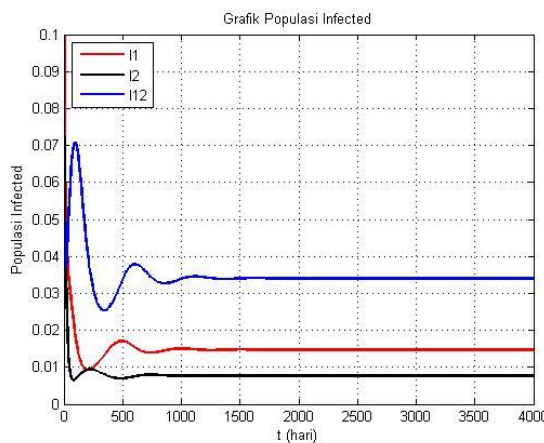
Berikut ini adalah grafik hasil percobaan kedua.



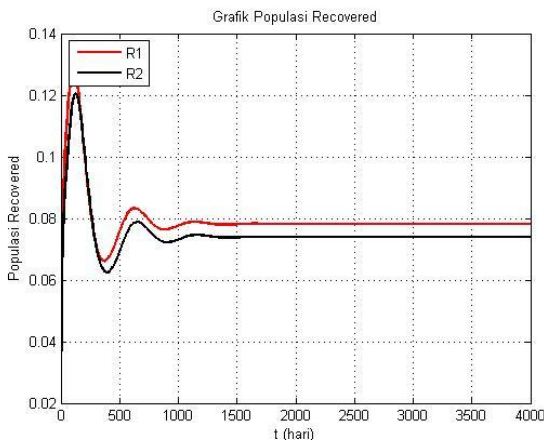
Gambar 4.9 Grafik Populasi Susceptible Percobaan Kedua



Gambar 4.10 Grafik Populasi *Exposed* Percobaan Kedua



Gambar 4.11 Grafik Populasi *Infected* Percobaan Kedua



Gambar 4.12 Grafik Populasi *Recovered* Percobaan Kedua

Pada **Gambar 4.9**, diperoleh hasil bahwa populasi *susceptible* akan mendekati titik setimbang pada waktu $t > 2000$ hari. Pada **Gambar 4.10**, diperoleh hasil bahwa populasi *exposed chlamydia* akan mendekati titik setimbang pada waktu $t > 2060$ hari, populasi *exposed pneumonia* akan mendekati titik setimbang pada waktu $t > 1100$ hari dan populasi *exposed co-infection* akan mendekati titik setimbang pada waktu $t > 1810$ hari. Pada **Gambar 4.11**, diperoleh hasil bahwa populasi *infected chlamydia* akan mendekati titik setimbang pada waktu $t > 1400$ hari, populasi *infected pneumonia* akan mendekati titik setimbang pada waktu $t > 1150$ hari dan populasi *infected co-infection* akan mendekati titik setimbang pada waktu $t > 1500$ hari. Pada **Gambar 4.12**, diperoleh hasil bahwa populasi *recovered chlamydia* akan mendekati titik setimbang pada waktu $t > 1700$ hari dan populasi *recovered pneumonia* akan mendekati titik setimbang pada waktu $t > 1550$ hari.

Pada percobaan kedua juga diperoleh hasil $R_{0_1} > 1$ dan $R_{0_2} < 1$. Hal ini merepresentasikan bahwa $R_{0_1} > 1$ merupakan kondisi dimana setiap individu yang terinfeksi chlamydia dapat menularkan penyakit chlamydia rata-rata lebih dari satu penderita baru, atau dengan kata lain terjadi penyebaran penyakit chlamydia. Sedangkan $R_{0_2} < 1$ merupakan kondisi dimana setiap individu yang terinfeksi pneumonia dapat menularkan penyakit pneumonia rata-rata kurang dari satu penderita baru atau dengan kata lain tidak terdapat penyebaran penyakit pneumonia.

4.4.3.3 Percobaan Ketiga

Percobaan ketiga dilakukan saat $t_0 = 0$ dan $t_f = 4000$ hari. Nilai parameter yang digunakan untuk percobaan ketiga tertera pada **Tabel 4.5**.

Tabel 4.5 Nilai Parameter untuk Percobaan Ketiga

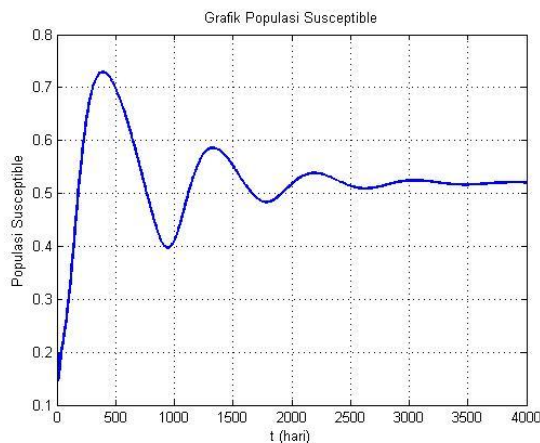
Parameter	Nilai Parameter	Sumber
μ	0.02	Daozhao dkk (2016)
β_1	0.9	Daozhao dkk (2016)
β_2	0.7	Daozhao dkk (2016)
β_{10}	0.6	Daozhao dkk (2016)
β_{02}	0.1	Daozhao dkk (2016)
ε_1	0.0001	Sharomi dkk (2011)
ε_2	0.00274	Jacob dkk (2013)
ε_{10}	0.003	Asumsi
ε_{02}	0.003	Asumsi
ρ_1	0.03	Sharomi dkk (2011)
ρ_2	0.0476	Jacob dkk (2013)
ρ_{10}	0.027	Asumsi
ρ_{02}	0.03	Asumsi
ω_1	0.025	Asumsi
ω_2	0.0238	Asumsi

Dengan menggunakan nilai parameter pada **Tabel 4.5**, diperoleh

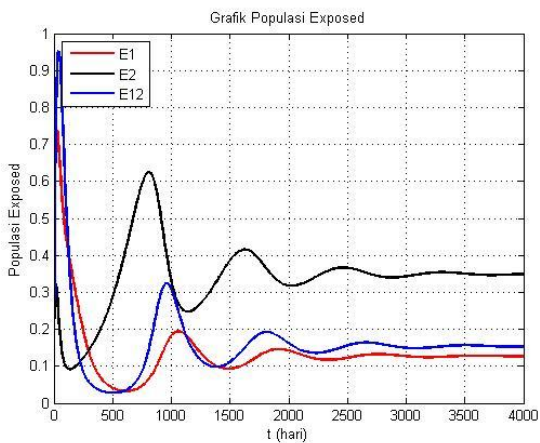
$$R_{0_1} = \frac{\beta_1 \varepsilon_1}{(\mu + \varepsilon_1)(\mu + \rho_1)} = 0.0896 < 1$$

$$R_{0_2} = \frac{\beta_2 \varepsilon_2}{(\mu + \varepsilon_2)(\mu + \rho_2)} = 1.2477 > 1.$$

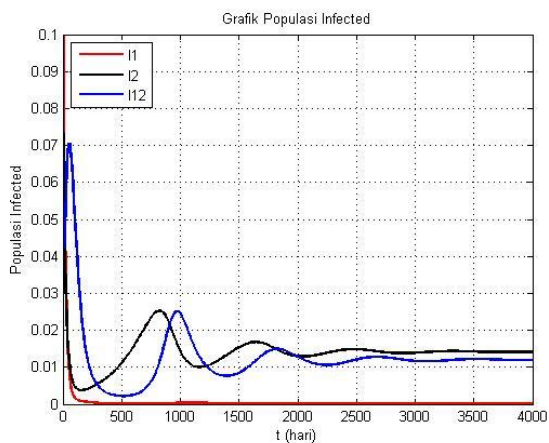
Berikut ini adalah grafik hasil percobaan ketiga.



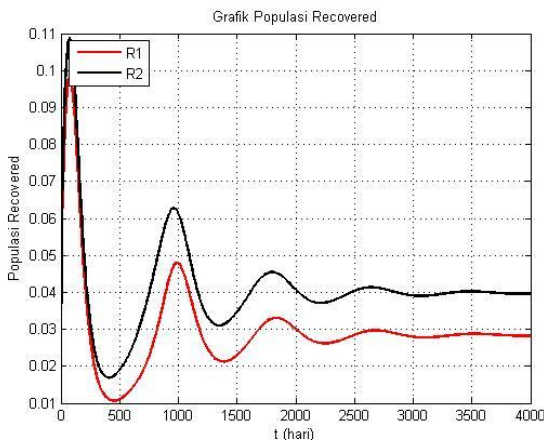
Gambar 4.13 Grafik Populasi *Susceptible* Percobaan Ketiga



Gambar 4.14 Grafik Populasi *Exposed* Percobaan Ketiga



Gambar 4.15 Grafik Populasi *Infected* Percobaan Ketiga



Gambar 4.16 Grafik Populasi *Recovered* Percobaan Ketiga

Pada **Gambar 4.13**, diperoleh hasil bahwa populasi *susceptible* akan mendekati titik setimbang pada waktu $t > 3500$ hari. Pada **Gambar 4.14**, diperoleh hasil bahwa populasi *exposed chlamydia* akan mendekati titik setimbang pada waktu $t > 3900$ hari, populasi *exposed pneumonia* akan mendekati titik setimbang pada waktu $t > 3650$ hari dan populasi *exposed co-infection* akan mendekati titik setimbang pada waktu $t > 3800$ hari. Pada **Gambar 4.15**, diperoleh hasil bahwa populasi *infected chlamydia* akan mendekati titik setimbang pada waktu $t > 12400$ hari, populasi *infected pneumonia* akan mendekati titik setimbang pada waktu $t > 3650$ hari dan populasi *infected co-infection* akan mendekati titik setimbang pada waktu $t > 3850$ hari. Pada **Gambar 4.16**, diperoleh hasil bahwa populasi *recovered chlamydia* akan mendekati titik setimbang pada waktu $t > 3850$ hari dan populasi *recovered pneumonia* akan mendekati titik setimbang pada waktu $t > 3890$ hari.

Pada percobaan ketiga juga diperoleh hasil $R_{0_1} < 1$ dan $R_{0_2} > 1$. Hal ini merepresentasikan bahwa $R_{0_1} < 1$ merupakan kondisi dimana setiap individu yang terinfeksi chlamydia dapat menularkan penyakit chlamydia rata-rata kurang dari satu penderita baru, atau dengan kata lain tidak terjadi penyebaran penyakit chlamydia. Sedangkan $R_{0_2} > 1$ merupakan kondisi dimana setiap individu yang terinfeksi pneumonia dapat menularkan penyakit pneumonia rata-rata lebih dari satu penderita baru atau dengan kata lain terdapat penyebaran penyakit pneumonia.

4.4.3.4 Percobaan Keempat

Percobaan keempat dilakukan saat $t_0 = 0$ dan $t_f = 4000$ hari. Nilai parameter yang digunakan untuk percobaan keempat tertera pada **Tabel 4.6**.

Tabel 4.6 Nilai Parameter untuk Percobaan Keempat

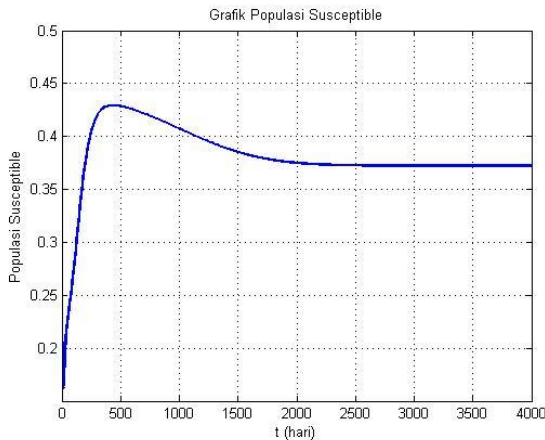
Parameter	Nilai Parameter	Sumber
μ	0.02	Daozhao dkk (2016)
β_1	0.9	Daozhao dkk (2016)
β_2	0.7	Daozhao dkk (2016)
β_{10}	0.2	Daozhao dkk (2016)
β_{02}	0.2	Daozhao dkk (2016)
ε_1	0.002	Asumsi
ε_2	0.00274	Jacob dkk (2013)
ε_{10}	0.004	Asumsi
ε_{02}	0.004	Asumsi
ρ_1	0.050	Sharomi dkk (2011)
ρ_2	0.0475	Jacob dkk (2013)
ρ_{10}	0.03	Asumsi
ρ_{02}	0.027	Asumsi
ω_1	0.025	Asumsi
ω_2	0.0238	Asumsi

Dengan menggunakan nilai parameter pada **Tabel 4.6**, diperoleh

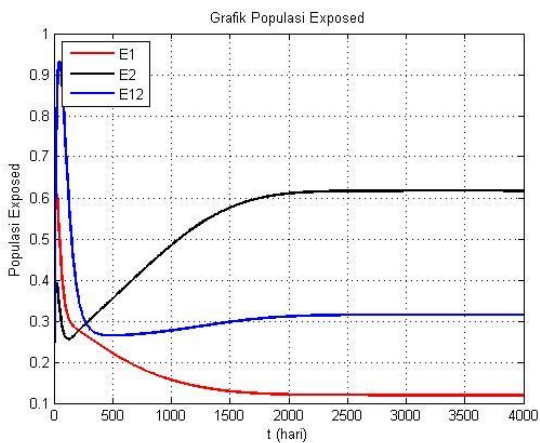
$$R_{0_1} = \frac{\beta_1 \varepsilon_1}{(\mu + \varepsilon_1)(\mu + \rho_1)} = 1.1688 > 1$$

$$R_{0_2} = \frac{\beta_2 \varepsilon_2}{(\mu + \varepsilon_2)(\mu + \rho_2)} = 1.2496 > 1.$$

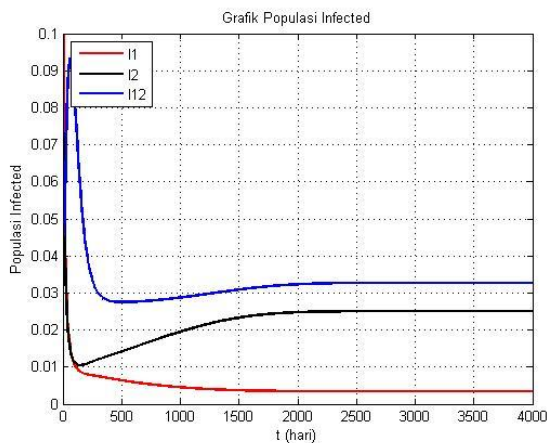
Berikut ini adalah grafik hasil percobaan keempat.



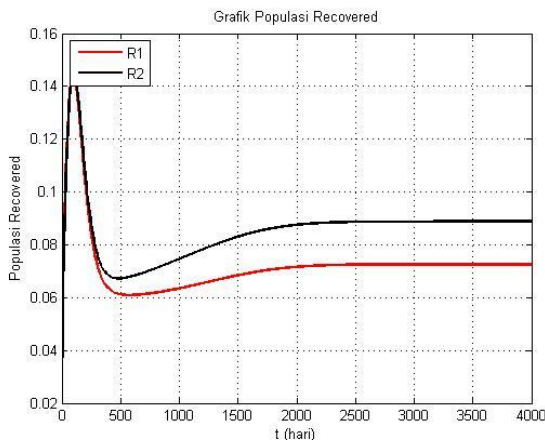
Gambar 4.17 Grafik Populasi *Susceptible* Percobaan Keempat



Gambar 4.18 Grafik Populasi *Exposed* Percobaan Keempat



Gambar 4.19 Grafik Populasi *Infected* Percobaan Keempat



Gambar 4.20 Grafik Populasi *Recovered* Percobaan Keempat

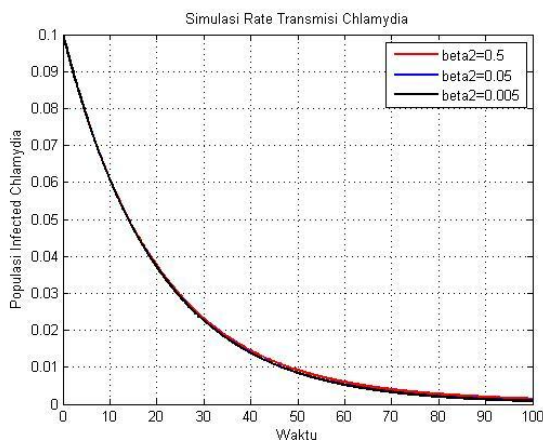
Pada **Gambar 4.17**, diperoleh hasil bahwa populasi *susceptible* akan mendekati titik setimbang pada waktu $t > 2200$ hari. Pada **Gambar 4.18**, diperoleh hasil bahwa populasi *exposed chlamydia* akan mendekati titik setimbang pada waktu $t > 2150$ hari, populasi *exposed pneumonia* akan mendekati titik setimbang pada waktu $t > 2550$ hari dan populasi *exposed co-infection* akan mendekati titik setimbang pada waktu $t > 2300$ hari. Pada **Gambar 4.19**, diperoleh hasil bahwa populasi *infected chlamydia* akan mendekati titik setimbang pada waktu $t > 1800$ hari, populasi *infected pneumonia* akan mendekati titik setimbang pada waktu $t > 2150$ hari dan populasi *infected co-infection* akan mendekati titik setimbang pada waktu $t > 2250$ hari. Pada **Gambar 4.20**, diperoleh hasil bahwa populasi *recovered chlamydia* akan mendekati titik setimbang pada waktu $t > 2500$ hari dan populasi *recovered pneumonia* akan mendekati titik setimbang pada waktu $t > 2400$ hari.

Pada percobaan keempat juga diperoleh hasil $R_{0_1} > 1$ dan $R_{0_2} > 1$. Hal ini merepresentasikan bahwa $R_{0_1} > 1$ merupakan

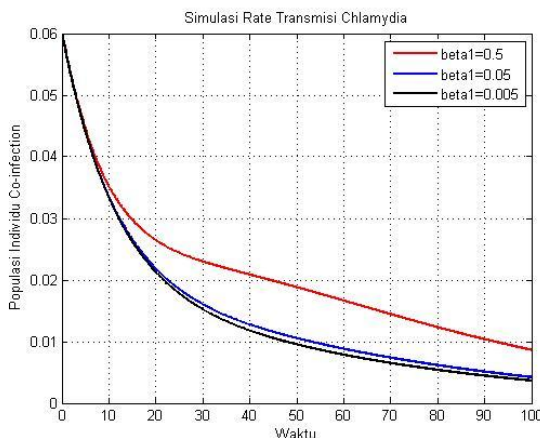
kondisi dimana setiap individu yang terinfeksi chlamydia dapat menularkan penyakit chlamydia rata-rata lebih dari satu penderita baru, atau dengan kata lain terjadi penyebaran penyakit chlamydia. Sedangkan $R_{0_2} > 1$ merupakan kondisi dimana setiap individu yang terinfeksi pneumonia dapat menularkan penyakit pneumonia rata-rata lebih dari satu penderita baru atau dengan kata lain terdapat penyebaran penyakit pneumonia.

4.4.3.5 Simulasi *Rate Transmisi Chlamydia*

Simulasi dilakukan untuk mengetahui pengaruh *rate transmisi chlamydia* pada populasi manusia yang terinfeksi chlamydia serta pada populasi manusia yang terinfeksi *co-infection* chlamydia dan pneumonia saat $t_0 = 0$ dan $t_f = 100$. Parameter yang digunakan dalam simulasi *rate transmisi chlamydia* terdiri pada **Tabel 4.3** dengan $\beta_{1_1} = 0.5$, $\beta_{1_2} = 0.05$ dan $\beta_{1_3} = 0.005$. Hasil simulasi *rate transmisi chlamydia* adalah sebagai berikut.



Gambar 4.20 Pengaruh *Rate Transmisi Chlamydia* pada Populasi Manusia yang Terinfeksi Chlamydia



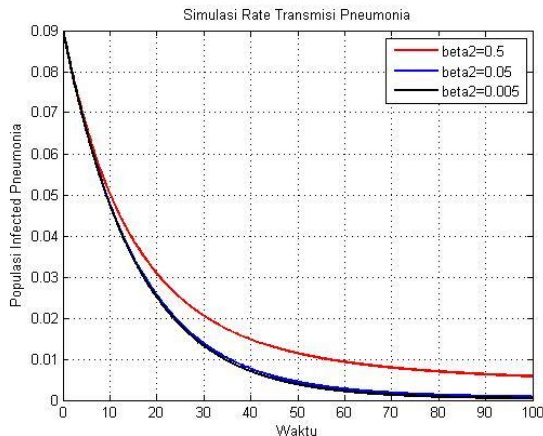
Gambar 4.22 Pengaruh *Rate Transmisi Chlamydia* pada Populasi Manusia yang Terinfeksi *Co-Infection Chlamydia dan Pneumonia*

Gambar 4.21 merupakan hasil simulasi pengaruh *rate transmisi chlamydia* terhadap populasi manusia yang terinfeksi chlamydia. **Gambar 4.22** merupakan hasil simulasi pengaruh *rate transmisi chlamydia* terhadap populasi manusia yang terinfeksi *co-infection chlamydia* dan pneumonia. Dari hasil tersebut terlihat bahwa semakin besar nilai β_1 maka semakin besar jumlah populasi manusia yang terinfeksi chlamydia, namun peningkatan tersebut tidak terlalu besar. Semakin besar nilai β_1 maka semakin besar pula jumlah populasi manusia yang terinfeksi *co-infection chlamydia* dan pneumonia.

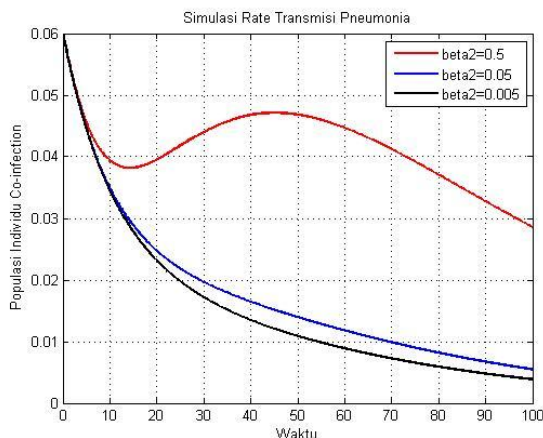
4.4.3.6 Simulasi *Rate Transmisi Pneumonia*

Simulasi dilakukan untuk mengetahui pengaruh *rate transmisi pneumonia* pada populasi manusia yang terinfeksi pneumonia serta pada populasi manusia yang terinfeksi *co-infection chlamydia* dan pneumonia saat $t_0 = 0$ dan $t_f = 100$. Parameter yang digunakan dalam simulasi *rate transmisi chlamydia* tertera pada **Tabel 4.3** dengan $\beta_{21} = 0.5$, $\beta_{22} = 0.05$

dan $\beta_{2_3} = 0.005$. Hasil simulasi *rate* transmisi pneumonia adalah sebagai berikut.



Gambar 4.23 Pengaruh *Rate* Transmisi Pneumonia pada Populasi Manusia yang Terinfeksi *Co-Infection* Chlamydia dan Pneumonia



Gambar 4.24 Pengaruh *Rate* Transmisi Pneumonia pada Populasi Manusia yang Terinfeksi *Co-Infection* Chlamydia dan Pneumonia

Gambar 4.21 merupakan hasil simulasi pengaruh *rate* transmisi chlamydia terhadap populasi manusia yang terinfeksi chlamydia. **Gambar 4.22** merupakan hasil simulasi pengaruh *rate* transmisi chlamydia terhadap populasi manusia yang terinfeksi *co-infection* chlamydia dan pneumonia. Dari hasil tersebut terlihat bahwa semakin besar nilai β_2 maka semakin besar jumlah populasi manusia yang terinfeksi pneumonia dan semakin besar pula jumlah populasi manusia yang terinfeksi *co-infection* chlamydia dan pneumonia.

Dari dan **Gambar 4.22** dan **Gambar 4.24** terlihat bahwa *rate* transmisi pneumonia (β_2) lebih mempengaruhi jumlah populasi manusia yang terinfeksi *co-infection* chlamydia dan pneumonia.

BAB V

PENUTUP

Bab ini berisi tentang kesimpulan yang dihasilkan berdasarkan penelitian yang telah dilaksanakan serta saran yang diberikan jika penelitian ini ingin dikembangkan.

5.1 Kesimpulan

1. Berdasarkan analisis model matematika penyebaran penyakit *co-infection* chlamydia dan pneumonia, diperoleh empat titik setimbang yaitu:
 - a. Titik setimbang non endemik (E_0), yang stabil asimtotis lokal jika $R_{0_1} < 1$ dan $R_{0_2} < 1$.
 - b. Titik setimbang endemik chlamydia ($E_0)_1$, yang stabil asimtotis lokal jika $R_{0_1} > 1$ dan $R_{0_2} < 1$.
 - c. Titik setimbang endemik pneumonia ($E_0)_2$, yang stabil asimtotis lokal jika $R_{0_1} < 1$ dan $R_{0_2} > 1$.
 - d. Titik setimbang endemik *co-infection* chlamydia dan pneumonia ($E_0)_3$, yang stabil asimtotis lokal jika $R_{0_1} > 1$ dan $R_{0_2} > 1$.
2. Berdasarkan hasil simulasi numerik, laju transmisi pneumonia mempunyai pengaruh besar terhadap jumlah populasi manusia yang menderita *co-infection* chlamydia dan pneumonia.

5.2 Saran

Pada penelitian selanjutnya dapat dilakukan estimasi parameter untuk model matematika penyebaran penyakit *co-infection* chlamydia dan pneumonia dengan data yang ada di Indonesia. Dengan demikian model matematika penyebaran penyakit *co-infection* chlamydia dan pneumonia dapat digunakan untuk memprediksi penyebaran penyakit *co-infection* chlamydia dan pneumonia di Indonesia. Model matematika penyebaran penyakit *co-infection* chlamydia dan pneumonia dapat

dikembangkan dalam model epidemi tipe SEIRS. Serta dapat dilakukan simulasi dengan metode yang lain.

DAFTAR PUSTAKA

- [1] Palupi, Azizah N.D. (2016). **Analisis Model Matematika Penyebaran Penyakit Chlamydia.** Skripsi: Surabaya, Universitas Airlangga.
- [2] Samanta, G.P. dkk. (2014). *Analysis of a delayed Chlamydia epidemic model with pulse vaccination.* **Applied Mathematics and Computation Vol. 230**, Hal. 555-569.
- [3] Tolan RW. (2008). **Chlamydia Infections.** Emedicine from webMD.
URL< <http://www.emedicine.com/ped/Topic378.htm> >
Diakses 13 Desember 2017.
- [4] Depkes R.I. (2002). **Pedoman Pemberantasan Penyakit Infeksi Saluran Pernafasan Akut untuk Penanggulangan Pneumonia pada Balita dalam Pelita VI.** Jakarta: Dirjen PPM & PLP.
- [5] Badan Penelitian dan Pengembangan Kesehatan. (2016). **Riset Kesehatan Dasar : RISKESDAS 2016.** Jakarta: Kementerian Kesehatan Republik Indonesia.
- [6] Sharomi, O. dkk. (2011). *Mathematical study of a risk-structured two-group model for Chlamydia transmission dynamics.* **Applied Mathematical Modelling Vol. 35**, Hal. 3653–3673.
- [7] Ong'ala, J. dkk. (2013). *Mathematical Model for Pneumonia Dynamics with Carriers.* **Int. Journal of Math. Analysis, Vol. 7**, Hal. 2457 - 2473.
- [8] D. Gao, T.C. Porco. (2016). *Coinfection Dynamics of Two Diseases in A Single Host Population.* **J. Math. Anal. Appl. Vol. 442**, Hal. 171-188.

- [9] Asfihani, T. dkk. (2016). *Analisis Model Lintasan Nanopartikel Magnet pada Pembuluh Darah didalam Medan Magnet dengan Metode Runge-Kutta Orde keempat.* **J. Math. and Its Appl . Vol. 3, No. 1**, Hal. 1-10.
- [10] Putra, R.T. dkk. (2015). *Kestabilan Model Epidemi SEIR dengan Laju Insidensi.* **Poli Rekayasa Vol. 10**, Hal. 1858-3709.
- [11] Subiono. (2003). **Matematika Sistem.** Jurusan Matematika. Fakultas Matematika dan Ilmu Pengetahuan Alam. Institut Teknologi Sepuluh Nopember: Surabaya..
- [12] Olsder, G.J. (2003). **Mathematical Sistem Theory.** Delft University Press, Netherlands.
- [13] Zill, D.G., Cullen, M.R. (2009). **Differential Equations with Boundary-Value Problem.** Seventh Edition. Nelson Education Ltd, Canada.
- [14] Anton, H. (2005). **Aljabar Linier Elementer.** Jakarta: Erlangga.
- [15] Diekmann, O. Heesterbeek dkk. (2009). *The Construction of Next-Generation Matrices for Compartmental Epidemic Models.* **The Royal Society Interface Vol. 7**, Hal. 873-885.
- [16] Holland J., James. (2007). **Notes On R_0 .** Department of Anthropological Sciences. Stanford University.
- [17] Munir, R. (2003). **Metode Numerik.** Bandung: Informatika.

LAMPIRAN

Lampiran A. Perhitungan *Basic Reproduction Number* (R_0)

Diketahui titik setimbang non endemik $E_0 = (1,0,0,0,0,0,0,0)$
 Pada model matematika penyebaran penyakit *co-infection chlamydia-pneumonia*, kelas yang menyebabkan infeksi adalah kelas $E_1, E_2, E_{12}, I_1, I_2$ dan I_{12} sehingga persamaan differensial yang digunakan adalah

$$\frac{dE_1}{dt} = (\beta_1 I_1 + \beta_{10} I_{12})S - \mu E_1 - \varepsilon_1 E_1 - (\beta_2 I_2 + \beta_{02} I_{12})E_1 \quad (4.1b)$$

$$\frac{dE_2}{dt} = (\beta_2 I_2 + \beta_{02} I_{12})S - \mu E_2 - \varepsilon_2 E_2 - (\beta_1 I_1 + \beta_{10} I_{12})E_2 \quad (4.1c)$$

$$\frac{dE_{12}}{dt} = (\beta_2 I_2 + \beta_{02} I_{12})E_1 + (\beta_1 I_1 + \beta_{10} I_{12})E_2 - \mu E_{12} \\ - \varepsilon_{10} E_{12} - \varepsilon_{02} E_{12} \quad (4.1d)$$

$$\frac{dI_1}{dt} = \varepsilon_1 E_1 + \varepsilon_{10} E_{12} - \mu I_1 - \varepsilon_{02} E_{12} - \rho_1 I_1 \quad (4.1e)$$

$$\frac{dI_2}{dt} = \varepsilon_2 E_2 + \varepsilon_{02} E_{12} - \mu I_2 - \varepsilon_{10} E_{12} - \rho_2 I_2 \quad (4.1f)$$

$$\frac{dI_{12}}{dt} = \varepsilon_{02} E_{12} + \varepsilon_{10} E_{12} - \mu I_{12} - \rho_{10} I_{12} - \rho_{02} I_{12} \quad (4.1g)$$

Sehingga dapat dibentuk matrik \mathcal{F} dan \mathcal{V}

\mathcal{F} : matrik dari laju individu baru terinfeksi penyakit yang menambah kelas infeksi

\mathcal{V} : matrik laju perkembangan, kematian dan kesembuhan yang mengurangi kelas infeksi

Matrik \mathcal{F} dan matrik \mathcal{V} sebagai berikut

$$\mathcal{F} = \begin{pmatrix} (\beta_1 I_1 + \beta_{10} I_{12})S - (\beta_2 I_2 + \beta_{02} I_{12})E_1 \\ (\beta_2 I_2 + \beta_{02} I_{12})S - (\beta_1 I_1 + \beta_{10} I_{12})E_2 \\ (\beta_2 I_2 + \beta_{02} I_{12})E_1 + (\beta_1 I_1 + \beta_{10} I_{12})E_2 \\ 0 \\ 0 \\ 0 \end{pmatrix}$$

Lampiran A. Lanjutan

$$\mathcal{V} = \begin{pmatrix} \mu E_1 + \varepsilon_1 E_1 \\ \mu E_2 - \varepsilon_2 E_2 \\ \mu E_{12} + \varepsilon_{10} E_{12} + \varepsilon_{02} E_{12} \\ -\varepsilon_1 E_1 - \varepsilon_{10} E_{12} + \mu I_1 + \varepsilon_{02} E_{12} + \rho_1 I_1 \\ -\varepsilon_2 E_2 - \varepsilon_{02} E_{12} + \mu I_2 + \varepsilon_{10} E_{12} + \rho_2 I_2 \\ -\varepsilon_{02} E_{12} - \varepsilon_{10} E_{12} + \mu I_{12} + \rho_{10} I_{12} + \rho_{02} I_{12} \end{pmatrix}$$

Selanjutnya matrik \mathcal{F} dan matrik \mathcal{V} masing-masing diturunkan terhadap $E_1, E_2, E_{12}, I_1, I_2$ dan I_{12} . Sehingga diperoleh matrik \mathbb{F} dan \mathbb{V} sebagai berikut

$$\mathbb{F} = \begin{pmatrix} -(\beta_2 I_2 + \beta_{02} I_{12}) & 0 & 0 & \beta_1 S & -\beta_2 E_1 & \beta_{10} S - \beta_{02} E_1 \\ 0 & -(\beta_1 I_1 + \beta_{10} I_{12}) & 0 & -\beta_1 E_2 & \beta_2 S & \beta_{02} S - \beta_{10} E_2 \\ (\beta_2 I_2 + \beta_{02} I_{12}) & (\beta_1 I_1 + \beta_{10} I_{12}) & 0 & \beta_1 E_2 & \beta_2 E_1 & \beta_{02} E_1 + \beta_{10} E_2 \\ 0 & 0 & 0 & 0 & 0 & 0 \\ 0 & 0 & 0 & 0 & 0 & 0 \\ 0 & 0 & 0 & 0 & 0 & 0 \end{pmatrix}$$

$$\mathbb{V} = \begin{pmatrix} \mu + \varepsilon_1 & 0 & 0 & 0 & 0 & 0 \\ 0 & \mu + \varepsilon_2 & 0 & 0 & 0 & 0 \\ 0 & 0 & \mu + \varepsilon_{10} + \varepsilon_{02} & 0 & 0 & 0 \\ -\varepsilon_1 & 0 & -\varepsilon_{10} + \varepsilon_{02} & \mu + \rho_1 & 0 & 0 \\ 0 & -\varepsilon_2 & -\varepsilon_{02} + \varepsilon_{10} & 0 & \mu + \rho_2 & 0 \\ 0 & 0 & -\varepsilon_{02} - \varepsilon_{10} & 0 & 0 & \mu + \rho_{10} + \rho_{02} \end{pmatrix}$$

Substitusi nilai titik setimbang non endemik E_0 pada \mathbb{F} . Diperoleh

$$\mathbb{F} = \begin{pmatrix} 0 & 0 & 0 & \beta_1 & 0 & \beta_{10} \\ 0 & 0 & 0 & 0 & \beta_2 & \beta_{02} \\ 0 & 0 & 0 & 0 & 0 & 0 \\ 0 & 0 & 0 & 0 & 0 & 0 \\ 0 & 0 & 0 & 0 & 0 & 0 \\ 0 & 0 & 0 & 0 & 0 & 0 \end{pmatrix}$$

Dengan memisalkan

$$a = \mu + \varepsilon_1$$

$$b = \mu + \varepsilon_2$$

Lampiran A. Lanjutan

$$c = \mu + \varepsilon_{10} + \varepsilon_{02}$$

$$d = \mu + \rho_1$$

$$e = \mu + \rho_2$$

$$f = \mu + \rho_{10} + \rho_{02}$$

Kemudian dicari \mathbb{V}^{-1} , sehingga diperoleh

$$\mathbb{V}^{-1} = \begin{pmatrix} \frac{1}{a} & 0 & 0 & 0 & 0 & 0 \\ 0 & \frac{1}{b} & 0 & 0 & 0 & 0 \\ 0 & 0 & \frac{1}{c} & 0 & 0 & 0 \\ \frac{\varepsilon_1}{ad} & 0 & \frac{\varepsilon_{10} - \varepsilon_{02}}{cd} & \frac{1}{d} & 0 & 0 \\ 0 & \frac{\varepsilon_2}{be} & \frac{\varepsilon_{02} - \varepsilon_{10}}{ce} & 0 & \frac{1}{e} & 0 \\ 0 & 0 & \frac{\varepsilon_{02} + \varepsilon_{10}}{cf} & 0 & 0 & \frac{1}{f} \end{pmatrix}$$

Selanjutnya didapatkan matriks G . Dimana $G = \mathbb{F}\mathbb{V}^{-1}$, sehingga diperoleh

$$G = \begin{pmatrix} 0 & 0 & 0 & \beta_1 & 0 & \beta_{10} \\ 0 & 0 & 0 & 0 & \beta_2 & \beta_{02} \\ 0 & 0 & 0 & 0 & 0 & 0 \\ 0 & 0 & 0 & 0 & 0 & 0 \\ 0 & 0 & 0 & 0 & 0 & 0 \\ 0 & 0 & 0 & 0 & 0 & 0 \end{pmatrix} \begin{pmatrix} \frac{1}{a} & 0 & 0 & 0 & 0 & 0 \\ 0 & \frac{1}{b} & 0 & 0 & 0 & 0 \\ 0 & 0 & \frac{1}{c} & 0 & 0 & 0 \\ \frac{\varepsilon_1}{ad} & 0 & \frac{\varepsilon_{10} - \varepsilon_{02}}{cd} & \frac{1}{d} & 0 & 0 \\ 0 & \frac{\varepsilon_2}{be} & \frac{\varepsilon_{02} - \varepsilon_{10}}{ce} & 0 & \frac{1}{e} & 0 \\ 0 & 0 & \frac{\varepsilon_{02} + \varepsilon_{10}}{cf} & 0 & 0 & \frac{1}{f} \end{pmatrix}$$

Lampiran A. Lanjutan

$$G = \begin{pmatrix} \frac{\beta_1 \varepsilon_1}{ad} & 0 & \frac{\beta_1(\varepsilon_{10} - \varepsilon_{02})}{cd} + \frac{\beta_{10}(\varepsilon_{02} + \varepsilon_{10})}{cf} & \frac{\beta_1}{d} & 0 & \frac{\beta_{10}}{f} \\ 0 & \frac{\beta_2 \varepsilon_2}{be} & \frac{\beta_2(\varepsilon_{02} - \varepsilon_{10})}{ce} + \frac{\beta_{10}(\varepsilon_{02} + \varepsilon_{10})}{cf} & 0 & \frac{\beta_2}{e} & \frac{\beta_{02}}{f} \\ 0 & 0 & 0 & 0 & 0 & 0 \\ 0 & 0 & 0 & 0 & 0 & 0 \\ 0 & 0 & 0 & 0 & 0 & 0 \\ 0 & 0 & 0 & 0 & 0 & 0 \end{pmatrix}$$

Kemudian ditentukan nilai eigen dari $\mathbb{F}\mathbb{V}^{-1}$ dengan $\det(\lambda I - \mathbb{F}\mathbb{V}^{-1}) = 0$ sehingga diperoleh

$$\leftrightarrow \begin{vmatrix} \lambda - \frac{\beta_1 \varepsilon_1}{ad} & 0 & -\frac{\beta_1(\varepsilon_{10} - \varepsilon_{02})}{cd} - \frac{\beta_{10}(\varepsilon_{02} + \varepsilon_{10})}{cf} & -\frac{\beta_1}{d} & 0 & -\frac{\beta_{10}}{f} \\ 0 & \lambda - \frac{\beta_2 \varepsilon_2}{be} & -\frac{\beta_2(\varepsilon_{02} - \varepsilon_{10})}{ce} - \frac{\beta_{10}(\varepsilon_{02} + \varepsilon_{10})}{cf} & 0 & -\frac{\beta_2}{e} & -\frac{\beta_{02}}{f} \\ 0 & 0 & \lambda & 0 & 0 & 0 \\ 0 & 0 & 0 & \lambda & 0 & 0 \\ 0 & 0 & 0 & 0 & \lambda & 0 \\ 0 & 0 & 0 & 0 & 0 & \lambda \end{vmatrix} = 0$$

$$\leftrightarrow \left(\lambda - \frac{\beta_1 \varepsilon_1}{ad}\right) \begin{vmatrix} \lambda - \frac{\beta_2 \varepsilon_2}{be} & -\frac{\beta_2(\varepsilon_{02} - \varepsilon_{10})}{ce} - \frac{\beta_{10}(\varepsilon_{02} + \varepsilon_{10})}{cf} & 0 & -\frac{\beta_2}{e} & -\frac{\beta_{02}}{f} \\ 0 & \lambda & 0 & 0 & 0 \\ 0 & 0 & \lambda & 0 & 0 \\ 0 & 0 & 0 & \lambda & 0 \\ 0 & 0 & 0 & 0 & \lambda \end{vmatrix} = 0$$

$$\leftrightarrow \left(\lambda - \frac{\beta_1 \varepsilon_1}{ad}\right) \left(\lambda - \frac{\beta_2 \varepsilon_2}{be}\right) \begin{vmatrix} \lambda & 0 & 0 & 0 \\ 0 & \lambda & 0 & 0 \\ 0 & 0 & \lambda & 0 \\ 0 & 0 & 0 & \lambda \end{vmatrix} = 0$$

$$\leftrightarrow \left(\lambda - \frac{\beta_1 \varepsilon_1}{ad}\right) \left(\lambda - \frac{\beta_2 \varepsilon_2}{be}\right) \lambda \begin{vmatrix} \lambda & 0 & 0 \\ 0 & \lambda & 0 \\ 0 & 0 & \lambda \end{vmatrix} = 0$$

$$\leftrightarrow \left(\lambda - \frac{\beta_1 \varepsilon_1}{ad}\right) \left(\lambda - \frac{\beta_2 \varepsilon_2}{be}\right) \lambda^2 \begin{vmatrix} \lambda & 0 \\ 0 & \lambda \end{vmatrix} = 0$$

$$\leftrightarrow \left(\lambda - \frac{\beta_1 \varepsilon_1}{ad}\right) \left(\lambda - \frac{\beta_2 \varepsilon_2}{be}\right) \lambda^4 = 0$$

Dengan mensubstitusi kembali nilai a, b, d dan e

Lampiran A. Lanjutan

$$\leftrightarrow \left(\lambda - \frac{\beta_1 \varepsilon_1}{(\mu + \varepsilon_1)(\mu + \rho_1)} \right) \left(\lambda - \frac{\beta_2 \varepsilon_2}{(\mu + \varepsilon_2)(\mu + \rho_2)} \right) \lambda^4 = 0$$

Sehingga diperoleh $\lambda_1 = 0$, $\lambda_2 = \frac{\beta_1 \varepsilon_1}{(\mu + \varepsilon_1)(\mu + \rho_1)}$, $\lambda_3 = \frac{\beta_2 \varepsilon_2}{(\mu + \varepsilon_2)(\mu + \rho_2)}$.

Berdasarkan hasil perhitungan nilai eigen dari G diperoleh *basic reproduction number* yaitu

$$R_{0_1} = \frac{\beta_1 \varepsilon_1}{(\mu + \varepsilon_1)(\mu + \rho_1)} \text{ dan } R_{0_2} = \frac{\beta_2 \varepsilon_2}{(\mu + \varepsilon_2)(\mu + \rho_2)}$$

Lampiran B. Perhitungan Titik Setimbang Endemik Chlamydia
 $(E_0)_1$

Berdasarkan persamaan berikut

$$\frac{dS}{dt} = \mu - \mu S - (\beta_1 I_1 + \beta_{10} I_{12})S - (\beta_2 I_2 + \beta_{02} I_{12})S = 0 \quad (4.2a)$$

$$\begin{aligned} \frac{dE_1}{dt} &= (\beta_1 I_1 + \beta_{10} I_{12})S - \mu E_1 - \varepsilon_1 E_1 \\ &\quad - (\beta_2 I_2 + \beta_{02} I_{12})E_1 = 0 \end{aligned} \quad (4.2b)$$

$$\begin{aligned} \frac{dE_2}{dt} &= (\beta_2 I_2 + \beta_{02} I_{12})S - \mu E_2 - \varepsilon_2 E_2 \\ &\quad - (\beta_1 I_1 + \beta_{10} I_{12})E_2 = 0 \end{aligned} \quad (4.2c)$$

$$\begin{aligned} \frac{dE_{12}}{dt} &= (\beta_2 I_2 + \beta_{02} I_{12})E_1 + (\beta_1 I_1 + \beta_{10} I_{12})E_2 - \mu E_{12} \\ &\quad - \varepsilon_{10} E_{12} - \varepsilon_{02} E_{12} = 0 \end{aligned} \quad (4.2d)$$

$$\frac{dI_1}{dt} = \varepsilon_1 E_1 + \varepsilon_{10} E_{12} - \mu I_1 - \varepsilon_{02} E_{12} - \rho_1 I_1 = 0 \quad (4.2e)$$

$$\frac{dI_2}{dt} = \varepsilon_2 E_2 + \varepsilon_{02} E_{12} - \mu I_2 - \varepsilon_{10} E_{12} - \rho_2 I_2 = 0 \quad (4.2f)$$

$$\frac{dI_{12}}{dt} = \varepsilon_{02} E_{12} + \varepsilon_{10} E_{12} - \mu I_{12} - \rho_{10} I_{12} - \rho_{02} I_{12} = 0 \quad (4.2g)$$

$$\frac{dR_1}{dt} = \rho_1 I_1 + \rho_{10} I_{12} + \omega_2 R_2 - \mu R_1 - \omega_1 R_1 = 0 \quad (4.2h)$$

$$\frac{dR_2}{dt} = \rho_2 I_2 + \rho_{02} I_{12} + \omega_1 R_1 - \mu R_2 - \omega_2 R_2 = 0 \quad (4.2i)$$

Titik setimbang endemik chlamydia diperoleh ketika $I_2 = 0, E_2 = 0, I_{12} = 0, E_{12} = 0$ dan $R_2 = 0$, sedangkan $I_1 \neq 0, E_1 \neq 0$ dan $R_1 \neq 0$.

Dari Persamaan (4.2a) diperoleh

$$\mu - \mu S - (\beta_1 I_1 + \beta_{10} I_{12})S - (\beta_2 I_2 + \beta_{02} I_{12})S = 0$$

$$\mu - \mu S^c - \beta_1 I_1^c S^c = 0$$

$$-\beta_1 I_1^c S^c = -\mu + \mu S^c$$

$$I_1^c = \frac{\mu - \mu S^c}{\beta_1 S^c}$$

Lampiran B. Lanjutan

$$\begin{aligned} I_1^c &= \frac{\mu}{\beta_1 S^c} - \frac{\mu S^c}{\beta_1 S^c} \\ I_1^c &= \frac{\mu}{\beta_1 S^c} - \frac{\mu}{\beta_1} \end{aligned} \quad (*)$$

Dari Persamaan (4.2b) diperoleh

$$(\beta_1 I_1 + \beta_{10} I_{12})S - \mu E_1 - \varepsilon_1 E_1 - (\beta_2 I_2 + \beta_{02} I_{12})E_1 = 0$$

$$\beta_1 I_1^c S^c - \mu E_1^c - \varepsilon_1 E_1^c = 0$$

$$\beta_1 I_1^c S^c - (\mu + \varepsilon_1) E_1^c = 0$$

$$\beta_1 I_1^c S^c = (\mu + \varepsilon_1) E_1^c$$

$$S^c = \frac{(\mu + \varepsilon_1) E_1^c}{\beta_1 I_1^c} \quad (**) \quad (***)$$

Dari Persamaan (4.2e) diperoleh

$$\varepsilon_1 E_1 + \varepsilon_{10} E_{12} - \mu I_1 - \varepsilon_{02} E_{12} - \rho_1 I_1 = 0$$

$$\varepsilon_1 E_1^c - \mu I_1^c - \rho_1 I_1^c = 0$$

$$\varepsilon_1 E_1^c - (\mu + \rho_1) I_1^c = 0$$

$$\varepsilon_1 E_1^c = (\mu + \rho_1) I_1^c$$

$$E_1^c = \frac{(\mu + \rho_1) I_1^c}{\varepsilon_1} \quad (***)$$

Substitusi Persamaan (****) ke Persamaan (**)

Lampiran B. Lanjutan

$$S^c = \frac{(\mu + \varepsilon_1) \left(\frac{(\mu + \rho_1) I_1^c}{\varepsilon_1} \right)}{\beta_1 I_1^c}$$

$$S^c = \frac{(\mu + \varepsilon_1)(\mu + \rho_1) I_1^c}{\varepsilon_1 \beta_1 I_1^c}$$

$$S^c = \frac{(\mu + \varepsilon_1)(\mu + \rho_1)}{\varepsilon_1 \beta_1} \quad (****)$$

Substitusi Persamaan (****) ke Persamaan (*)

$$I_1^c = \frac{\mu}{\beta_1 S^c} - \frac{\mu}{\beta_1}$$

$$I_1^c = \frac{\mu}{\beta_1 \left(\frac{(\mu + \varepsilon_1)(\mu + \rho_1)}{\varepsilon_1 \beta_1} \right)} - \frac{\mu}{\beta_1}$$

$$I_1^c = \frac{\mu}{\left(\frac{(\mu + \varepsilon_1)(\mu + \rho_1)}{\varepsilon_1} \right)} - \frac{\mu}{\beta_1}$$

$$I_1^c = \frac{\beta_1 \mu}{\beta_1 \left(\frac{(\mu + \varepsilon_1)(\mu + \rho_1)}{\varepsilon_1} \right)} - \frac{\mu \left(\frac{(\mu + \varepsilon_1)(\mu + \rho_1)}{\varepsilon_1} \right)}{\beta_1 \left(\frac{(\mu + \varepsilon_1)(\mu + \rho_1)}{\varepsilon_1} \right)}$$

Lampiran B. Lanjutan

$$I_1^c = \frac{\beta_1\mu - \mu \left(\frac{(\mu + \varepsilon_1)(\mu + \rho_1)}{\varepsilon_1} \right)}{\left(\frac{\beta_1(\mu + \varepsilon_1)(\mu + \rho_1)}{\varepsilon_1} \right)}$$

$$I_1^c = \left(\beta_1\mu - \mu \left(\frac{(\mu + \varepsilon_1)(\mu + \rho_1)}{\varepsilon_1} \right) \right) \times \left(\frac{\varepsilon_1}{\beta_1(\mu + \varepsilon_1)(\mu + \rho_1)} \right)$$

$$I_1^c = \beta_1\mu \times \left(\frac{\varepsilon_1}{\beta_1(\mu + \varepsilon_1)(\mu + \rho_1)} \right) - \mu \left(\frac{(\mu + \varepsilon_1)(\mu + \rho_1)}{\varepsilon_1} \right) \\ \times \left(\frac{\varepsilon_1}{\beta_1(\mu + \varepsilon_1)(\mu + \rho_1)} \right)$$

$$I_1^c = \frac{\mu\varepsilon_1}{(\mu + \varepsilon_1)(\mu + \rho_1)} - \frac{\mu}{\beta_1} \quad (*****)$$

Substitusi Persamaan (*****) ke Persamaan (***)

$$E_1^c = \frac{(\mu + \rho_1)I_1^c}{\varepsilon_1}$$

$$E_1^c = \frac{(\mu + \rho_1) \left(\frac{\mu\varepsilon_1}{(\mu + \varepsilon_1)(\mu + \rho_1)} - \frac{\mu}{\beta_1} \right)}{\varepsilon_1}$$

$$E_1^c = \frac{\left(\frac{(\mu + \rho_1)\mu\varepsilon_1}{(\mu + \varepsilon_1)(\mu + \rho_1)} - \frac{(\mu + \rho_1)\mu}{\beta_1} \right)}{\varepsilon_1}$$

Lampiran B. Lanjutan

$$E_1^c = \frac{\left(\frac{\mu \varepsilon_1}{(\mu + \varepsilon_1)} - \frac{(\mu + \rho_1)\mu}{\beta_1} \right)}{\varepsilon_1}$$

$$E_1^c = \left(\frac{\mu \varepsilon_1}{(\mu + \varepsilon_1)} - \frac{(\mu + \rho_1)\mu}{\beta_1} \right) \times \frac{1}{\varepsilon_1}$$

$$E_1^c = \frac{\mu \varepsilon_1}{(\mu + \varepsilon_1)\varepsilon_1} - \frac{(\mu + \rho_1)\mu}{\beta_1 \varepsilon_1}$$

$$E_1^c = \frac{\beta_1 \mu \varepsilon_1}{(\mu + \varepsilon_1)\varepsilon_1 \beta_1} - \frac{(\mu + \rho_1)(\mu + \varepsilon_1)\mu}{(\mu + \varepsilon_1)\beta_1 \varepsilon_1}$$

$$E_1^c = \frac{\beta_1 \mu \varepsilon_1 - (\mu + \rho_1)(\mu + \varepsilon_1)\mu}{\beta_1 \varepsilon_1 (\mu + \varepsilon_1)}$$

Dari Persamaan (4.2h) diperoleh

$$\rho_1 I_1 + \rho_{10} I_{12} + \omega_2 R_2 - \mu R_1 - \omega_1 R_1 = 0$$

$$\rho_1 I_1^c - \mu R_1^c - \omega_1 R_1^c = 0$$

$$\rho_1 I_1^c - (\mu + \omega_1) R_1^c = 0$$

$$-(\mu + \omega_1) R_1^c = -\rho_1 I_1^c$$

$$R_1^c = \frac{\rho_1 I_1^c}{(\mu + \omega_1)}$$

Substitusi Persamaan (*****), sehingga diperolah

Lampiran B. Lanjutan

$$R_1^c = \frac{\rho_1 \left(\frac{\mu \varepsilon_1}{(\mu + \varepsilon_1)(\mu + \rho_1)} - \frac{\mu}{\beta_1} \right)}{(\mu + \omega_1)}$$

$$R_1^c = \frac{\left(\frac{\rho_1 \mu \varepsilon_1}{(\mu + \varepsilon_1)(\mu + \rho_1)} - \frac{\rho_1 \mu}{\beta_1} \right)}{(\mu + \omega_1)}$$

$$R_1^c = \left(\frac{\rho_1 \mu \varepsilon_1}{(\mu + \varepsilon_1)(\mu + \rho_1)} - \frac{\rho_1 \mu}{\beta_1} \right) \times \frac{1}{(\mu + \omega_1)}$$

$$R_1^c = \frac{\rho_1 \mu \varepsilon_1}{(\mu + \varepsilon_1)(\mu + \rho_1)(\mu + \omega_1)} - \frac{\rho_1 \mu}{\beta_1 (\mu + \omega_1)}$$

$$R_1^c = \frac{\rho_1 \mu \varepsilon_1 \beta_1}{(\mu + \varepsilon_1)(\mu + \rho_1)(\mu + \omega_1) \beta_1} - \frac{\rho_1 \mu (\mu + \varepsilon_1)(\mu + \rho_1)}{\beta_1 (\mu + \omega_1)(\mu + \varepsilon_1)(\mu + \rho_1)}$$

$$R_1^c = \frac{\rho_1 \mu \varepsilon_1 \beta_1 - \rho_1 \mu (\mu + \varepsilon_1)(\mu + \rho_1)}{(\mu + \varepsilon_1)(\mu + \rho_1)(\mu + \omega_1) \beta_1}$$

Berdasarkan uraian diatas, diperoleh titik setimbang endemik chlamydia yang dinyatakan dalam $(E_0)_1 = (S, E_1, E_2, E_{12}, I_1, I_2, I_{12}, R_1, R_2) = (S^c, E_1^c, 0, 0, I_1^c, 0, 0, R_1^c, 0)$

dengan

$$S^c = \frac{(\mu + \varepsilon_1)(\mu + \rho_1)}{\varepsilon_1 \beta_1}$$

$$E_1^c = \frac{\beta_1 \mu \varepsilon_1 - (\mu + \rho_1)(\mu + \varepsilon_1)\mu}{\beta_1 \varepsilon_1 (\mu + \varepsilon_1)}$$

Lampiran B. Lanjutan

$$I_1^C = \frac{\mu \varepsilon_1}{(\mu + \varepsilon_1)(\mu + \rho_1)} - \frac{\mu}{\beta_1}$$

$$R_1^c = \frac{\rho_1 \mu \varepsilon_1 \beta_1 - \rho_1 \mu (\mu + \varepsilon_1) (\mu + \rho_1)}{(\mu + \varepsilon_1)(\mu + \rho_1)(\mu + \omega_1)\beta_1}$$

Lampiran C. Perhitungan Titik Setimbang Endemik Pneumonia
 $(E_0)_2$

Berdasarkan persamaan berikut

$$\frac{dS}{dt} = \mu - \mu S - (\beta_1 I_1 + \beta_{10} I_{12})S - (\beta_2 I_2 + \beta_{02} I_{12})S = 0 \quad (4.2a)$$

$$\begin{aligned} \frac{dE_1}{dt} &= (\beta_1 I_1 + \beta_{10} I_{12})S - \mu E_1 - \varepsilon_1 E_1 \\ &\quad - (\beta_2 I_2 + \beta_{02} I_{12})E_1 = 0 \end{aligned} \quad (4.2b)$$

$$\begin{aligned} \frac{dE_2}{dt} &= (\beta_2 I_2 + \beta_{02} I_{12})S - \mu E_2 - \varepsilon_2 E_2 \\ &\quad - (\beta_1 I_1 + \beta_{10} I_{12})E_2 = 0 \end{aligned} \quad (4.2c)$$

$$\begin{aligned} \frac{dE_{12}}{dt} &= (\beta_2 I_2 + \beta_{02} I_{12})E_1 + (\beta_1 I_1 + \beta_{10} I_{12})E_2 - \mu E_{12} \\ &\quad - \varepsilon_{10} E_{12} - \varepsilon_{02} E_{12} = 0 \end{aligned} \quad (4.2d)$$

$$\frac{dI_1}{dt} = \varepsilon_1 E_1 + \varepsilon_{10} E_{12} - \mu I_1 - \varepsilon_{02} E_{12} - \rho_1 I_1 = 0 \quad (4.2e)$$

$$\frac{dI_2}{dt} = \varepsilon_2 E_2 + \varepsilon_{02} E_{12} - \mu I_2 - \varepsilon_{10} E_{12} - \rho_2 I_2 = 0 \quad (4.2f)$$

$$\frac{dI_{12}}{dt} = \varepsilon_{02} E_{12} + \varepsilon_{10} E_{12} - \mu I_{12} - \rho_{10} I_{12} - \rho_{02} I_{12} = 0 \quad (4.2g)$$

$$\frac{dR_1}{dt} = \rho_1 I_1 + \rho_{10} I_{12} + \omega_2 R_2 - \mu R_1 - \omega_1 R_1 = 0 \quad (4.2h)$$

$$\frac{dR_2}{dt} = \rho_2 I_2 + \rho_{02} I_{12} + \omega_1 R_1 - \mu R_2 - \omega_2 R_2 = 0 \quad (4.2i)$$

Titik setimbang endemik pneumonia diperoleh ketika $I_1 = 0, E_1 = 0, I_{12} = 0, E_{12} = 0$ dan $R_1 = 0$, sedangkan $I_2 \neq 0, E_2 \neq 0$ dan $R_2 \neq 0$.

Dari Persamaan (4.2a) diperoleh

$$\mu - \mu S - (\beta_1 I_1 + \beta_{10} I_{12})S - (\beta_2 I_2 + \beta_{02} I_{12})S = 0$$

$$\mu - \mu S^p - \beta_2 I_2^p S^p = 0$$

$$-\beta_2 I_2^p S^p = -\mu + \mu S^p$$

$$I_2^p = \frac{\mu - \mu S^p}{\beta_2 S^p}$$

Lampiran C. Lanjutan

$$I_2^p = \frac{\mu}{\beta_2 S^p} - \frac{\mu S^p}{\beta_2}$$

$$I_2^p = \frac{\mu}{\beta_2 S^p} - \frac{\mu}{\beta_2} \quad (*)$$

Dari Persamaan (4.2c) diperoleh

$$(\beta_2 I_2 + \beta_{02} I_{12})S - \mu E_2 - \varepsilon_2 E_2 - (\beta_1 I_1 + \beta_{10} I_{12})E_2 = 0$$

$$\beta_2 I_2^p S^p - \mu E_2^p - \varepsilon_2 E_2^p = 0$$

$$\beta_2 I_2^p S^p - (\mu + \varepsilon_2) E_2^p = 0$$

$$\beta_2 I_2^p S^p = (\mu + \varepsilon_2) E_2^p$$

$$S^p = \frac{(\mu + \varepsilon_2) E_2^p}{\beta_2 I_2^p} \quad (**)$$

Dari Persamaan (4.2f) diperoleh

$$\varepsilon_2 E_2 + \varepsilon_{02} E_{12} - \mu I_2 - \varepsilon_{10} E_{12} - \rho_2 I_2 = 0$$

$$\varepsilon_2 E_2^p - \mu I_2^p - \rho_2 I_2^p = 0$$

$$\varepsilon_2 E_2^p - (\mu + \rho_2) I_2^p = 0$$

$$\varepsilon_2 E_2^p = (\mu + \rho_2) I_2^p$$

$$E_2^p = \frac{(\mu + \rho_2) I_2^p}{\varepsilon_2} \quad (***)$$

Substitusi Persamaan (***) ke Persamaan (**)

Lampiran C. Lanjutan

$$S^p = \frac{(\mu + \varepsilon_2) \left(\frac{(\mu + \rho_2) I_2^p}{\varepsilon_2} \right)}{\beta_2 I_2^p}$$

$$S^p = \frac{(\mu + \varepsilon_2)(\mu + \rho_2)I_2^p}{\varepsilon_2 \beta_2 I_2^p}$$

$$S^p = \frac{(\mu + \varepsilon_2)(\mu + \rho_2)}{\varepsilon_2 \beta_2} \quad (***)$$

Substitusi Persamaan (****) ke Persamaan (*)

$$I_2^p = \frac{\mu}{\beta_2 S^p} - \frac{\mu}{\beta_2}$$

$$I_2^p = \frac{\mu}{\beta_2 \left(\frac{(\mu + \varepsilon_2)(\mu + \rho_2)}{\varepsilon_2 \beta_2} \right)} - \frac{\mu}{\beta_2}$$

$$I_2^p = \frac{\mu}{\left(\frac{(\mu + \varepsilon_2)(\mu + \rho_2)}{\varepsilon_2} \right)} - \frac{\mu}{\beta_2}$$

$$I_2^p = \frac{\beta_2 \mu}{\beta_2 \left(\frac{(\mu + \varepsilon_2)(\mu + \rho_2)}{\varepsilon_2} \right)} - \frac{\mu \left(\frac{(\mu + \varepsilon_2)(\mu + \rho_2)}{\varepsilon_2} \right)}{\beta_2 \left(\frac{(\mu + \varepsilon_2)(\mu + \rho_2)}{\varepsilon_2} \right)}$$

Lampiran C. Lanjutan

$$I_2^p = \frac{\beta_2\mu - \mu \left(\frac{(\mu + \varepsilon_2)(\mu + \rho_2)}{\varepsilon_2} \right)}{\left(\frac{\beta_2(\mu + \varepsilon_2)(\mu + \rho_2)}{\varepsilon_2} \right)}$$

$$I_2^p = \left(\beta_2\mu - \mu \left(\frac{(\mu + \varepsilon_2)(\mu + \rho_2)}{\varepsilon_2} \right) \right) \times \left(\frac{\varepsilon_2}{\beta_2(\mu + \varepsilon_2)(\mu + \rho_2)} \right)$$

$$I_2^p = \beta_2\mu \times \left(\frac{\varepsilon_2}{\beta_2(\mu + \varepsilon_2)(\mu + \rho_2)} \right) - \mu \left(\frac{(\mu + \varepsilon_2)(\mu + \rho_2)}{\varepsilon_2} \right) \times \left(\frac{\varepsilon_2}{\beta_2(\mu + \varepsilon_2)(\mu + \rho_2)} \right)$$

$$I_2^p = \frac{\mu\varepsilon_2}{(\mu + \varepsilon_2)(\mu + \rho_2)} - \frac{\mu}{\beta_2} \quad (*****)$$

Substitusi Persamaan (*****) ke Persamaan (***)

$$E_2^p = \frac{(\mu + \rho_2)I_2^p}{\varepsilon_2}$$

$$E_2^p = \frac{(\mu + \rho_2) \left(\frac{\mu\varepsilon_2}{(\mu + \varepsilon_2)(\mu + \rho_2)} - \frac{\mu}{\beta_2} \right)}{\varepsilon_2}$$

$$E_2^p = \frac{\left(\frac{(\mu + \rho_2)\mu\varepsilon_2}{(\mu + \varepsilon_2)(\mu + \rho_2)} - \frac{(\mu + \rho_2)\mu}{\beta_2} \right)}{\varepsilon_2}$$

Lampiran C. Lanjutan

$$E_2^p = \frac{\left(\frac{\mu \varepsilon_2}{(\mu + \varepsilon_2)} - \frac{(\mu + \rho_2)\mu}{\beta_2} \right)}{\varepsilon_2}$$

$$E_2^p = \left(\frac{\mu \varepsilon_2}{(\mu + \varepsilon_2)} - \frac{(\mu + \rho_2)\mu}{\beta_2} \right) \times \frac{1}{\varepsilon_2}$$

$$E_2^p = \frac{\mu \varepsilon_2}{(\mu + \varepsilon_2)\varepsilon_2} - \frac{(\mu + \rho_2)\mu}{\beta_2 \varepsilon_2}$$

$$E_2^p = \frac{\beta_2 \mu \varepsilon_2}{(\mu + \varepsilon_2)\varepsilon_2 \beta_2} - \frac{(\mu + \rho_2)(\mu + \varepsilon_2)\mu}{(\mu + \varepsilon_2)\beta_2 \varepsilon_2}$$

$$E_2^p = \frac{\beta_2 \mu \varepsilon_2 - (\mu + \rho_2)(\mu + \varepsilon_2)\mu}{\beta_2 \varepsilon_2 (\mu + \varepsilon_2)}$$

Dari Persamaan (4.2i) diperoleh

$$\rho_2 I_2 + \rho_{02} I_{12} + \omega_1 R_1 - \mu R_2 - \omega_2 R_2 = 0$$

$$\rho_2 I_2^p - \mu R_2^p - \omega_2 R_2^p = 0$$

$$\rho_2 I_2^p - (\mu + \omega_2) R_2^p = 0$$

$$-(\mu + \omega_2) R_2^p = -\rho_2 I_2^p$$

$$R_2^p = \frac{\rho_2 I_2^p}{(\mu + \omega_2)}$$

Substitusi Persamaan (****), sehingga diperolah

Lampiran C. Lanjutan

$$R_2^p = \frac{\rho_2 \left(\frac{\mu \varepsilon_2}{(\mu + \varepsilon_2)(\mu + \rho_2)} - \frac{\mu}{\beta_2} \right)}{(\mu + \omega_2)}$$

$$R_2^p = \frac{\left(\frac{\rho_2 \mu \varepsilon_2}{(\mu + \varepsilon_2)(\mu + \rho_2)} - \frac{\rho_2 \mu}{\beta_2} \right)}{(\mu + \omega_2)}$$

$$R_2^p = \left(\frac{\rho_2 \mu \varepsilon_2}{(\mu + \varepsilon_2)(\mu + \rho_2)} - \frac{\rho_2 \mu}{\beta_2} \right) \times \frac{1}{(\mu + \omega_2)}$$

$$R_2^p = \frac{\rho_2 \mu \varepsilon_2}{(\mu + \varepsilon_2)(\mu + \rho_2)(\mu + \omega_2)} - \frac{\rho_2 \mu}{\beta_2(\mu + \omega_2)}$$

$$R_2^p = \frac{\rho_2 \mu \varepsilon_2 \beta_2}{(\mu + \varepsilon_2)(\mu + \rho_2)(\mu + \omega_2)\beta_2} - \frac{\rho_2 \mu (\mu + \varepsilon_2)(\mu + \rho_2)}{\beta_2(\mu + \omega_2)(\mu + \varepsilon_2)(\mu + \rho_2)}$$

$$R_2^p = \frac{\rho_2 \mu \varepsilon_2 \beta_2 - \rho_2 \mu (\mu + \varepsilon_2)(\mu + \rho_2)}{(\mu + \varepsilon_2)(\mu + \rho_2)(\mu + \omega_2)\beta_2}$$

Berdasarkan uraian diatas, diperoleh titik setimbang endemik pneumonia yang dinyatakan dalam $(E_0)_1 = (S, E_1, E_2, E_{12}, I_1, I_2, I_{12}, R_1, R_2) = (S^p, 0, E_2^p, 0, 0, I_2^p, 0, 0, R_2^p)$

dengan

$$S^p = \frac{(\mu + \varepsilon_2)(\mu + \rho_2)}{\varepsilon_2 \beta_2}$$

$$E_2^p = \frac{\beta_2 \mu \varepsilon_2 - (\mu + \rho_2)(\mu + \varepsilon_2)\mu}{\beta_2 \varepsilon_2 (\mu + \varepsilon_2)}$$

Lampiran C. Lanjutan

$$I_2^p = \frac{\mu \varepsilon_2}{(\mu + \varepsilon_2)(\mu + \rho_2)} - \frac{\mu}{\beta_2}$$

$$R_2^p = \frac{\rho_2 \mu \varepsilon_2 \beta_2 - \rho_2 \mu (\mu + \varepsilon_2) (\mu + \rho_2)}{(\mu + \varepsilon_2)(\mu + \rho_2)(\mu + \omega_2)\beta_2}$$

Lampiran D. Perhitungan Titik Setimbang Endemik *Co-infection Chlamydia-Pneumonia* (E_0)₃

Berdasarkan persamaan berikut

$$\frac{dS}{dt} = \mu - \mu S - (\beta_1 I_1 + \beta_{10} I_{12})S - (\beta_2 I_2 + \beta_{02} I_{12})S = 0 \quad (4.2a)$$

$$\begin{aligned} \frac{dE_1}{dt} &= (\beta_1 I_1 + \beta_{10} I_{12})S - \mu E_1 - \varepsilon_1 E_1 \\ &\quad - (\beta_2 I_2 + \beta_{02} I_{12})E_1 = 0 \end{aligned} \quad (4.2b)$$

$$\begin{aligned} \frac{dE_2}{dt} &= (\beta_2 I_2 + \beta_{02} I_{12})S - \mu E_2 - \varepsilon_2 E_2 \\ &\quad - (\beta_1 I_1 + \beta_{10} I_{12})E_2 = 0 \end{aligned} \quad (4.2c)$$

$$\begin{aligned} \frac{dE_{12}}{dt} &= (\beta_2 I_2 + \beta_{02} I_{12})E_1 + (\beta_1 I_1 + \beta_{10} I_{12})E_2 - \mu E_{12} \\ &\quad - \varepsilon_{10} E_{12} - \varepsilon_{02} E_{12} = 0 \end{aligned} \quad (4.2d)$$

$$\frac{dI_1}{dt} = \varepsilon_1 E_1 + \varepsilon_{10} E_{12} - \mu I_1 - \varepsilon_{02} E_{12} - \rho_1 I_1 = 0 \quad (4.2e)$$

$$\frac{dI_2}{dt} = \varepsilon_2 E_2 + \varepsilon_{02} E_{12} - \mu I_2 - \varepsilon_{10} E_{12} - \rho_2 I_2 = 0 \quad (4.2f)$$

$$\frac{dI_{12}}{dt} = \varepsilon_{02} E_{12} + \varepsilon_{10} E_{12} - \mu I_{12} - \rho_{10} I_{12} - \rho_{02} I_{12} = 0 \quad (4.2g)$$

$$\frac{dR_1}{dt} = \rho_1 I_1 + \rho_{10} I_{12} + \omega_2 R_2 - \mu R_1 - \omega_1 R_1 = 0 \quad (4.2h)$$

$$\frac{dR_2}{dt} = \rho_2 I_2 + \rho_{02} I_{12} + \omega_1 R_1 - \mu R_2 - \omega_2 R_2 = 0 \quad (4.2i)$$

Titik setimbang endemik chlamydia diperoleh ketika $I_1 \neq 0, I_2 \neq 0, I_{12} \neq 0, E_1 \neq 0, E_2 \neq 0, E_{12} \neq 0, R_1 \neq 0$ dan $R_2 \neq 0$.

Dari persamaan (4.2a) diperoleh

$$-(\beta_1 I_1 + \beta_{10} I_{12})S - (\beta_2 I_2 + \beta_{02} I_{12})S + \mu - \mu S = 0$$

$$-(\beta_1 I_1 + \beta_{10} I_{12} + \beta_2 I_2 + \beta_{02} I_{12} + \mu)S + \mu = 0$$

$$-(\beta_1 I_1 + \beta_{10} I_{12} + \beta_2 I_2 + \beta_{02} I_{12} + \mu)S = -\mu$$

$$S^{cp} = \frac{\mu}{(\beta_1 I_1 + \beta_{10} I_{12} + \beta_2 I_2 + \beta_{02} I_{12} + \mu)}$$

Lampiran D. Lanjutan

Dari persamaan (4.2b) diperoleh

$$(\beta_1 I_1 + \beta_{10} I_{12})S - \mu E_1 - \varepsilon_1 E_1 - (\beta_2 I_2 + \beta_{02} I_{12})E_1 = 0$$

$$(\beta_1 I_1 + \beta_{10} I_{12})S - (\mu + \varepsilon_1 + \beta_2 I_2 + \beta_{02} I_{12})E_1 = 0$$

$$-(\mu + \varepsilon_1 + \beta_2 I_2 + \beta_{02} I_{12})E_1 = -(\beta_1 I_1 + \beta_{10} I_{12})S$$

$$E_1^{cp} = \frac{(\beta_1 I_1 + \beta_{10} I_{12})S}{(\mu + \varepsilon_1 + \beta_2 I_2 + \beta_{02} I_{12})}$$

Dari persamaan (4.2c) diperoleh

$$(\beta_2 I_2 + \beta_{02} I_{12})S - \mu E_2 - \varepsilon_2 E_2 - (\beta_1 I_1 + \beta_{10} I_{12})E_2 = 0$$

$$(\beta_2 I_2 + \beta_{02} I_{12})S - (\mu + \varepsilon_2 + \beta_1 I_1 + \beta_{10} I_{12})E_2 = 0$$

$$-(\mu + \varepsilon_2 + \beta_1 I_1 + \beta_{10} I_{12})E_2 = -(\beta_2 I_2 + \beta_{02} I_{12})S$$

$$E_2^{cp} = \frac{(\beta_2 I_2 + \beta_{02} I_{12})S}{(\mu + \varepsilon_2 + \beta_1 I_1 + \beta_{10} I_{12})}$$

Dari persamaan (4.2d) diperoleh

$$(\beta_2 I_2 + \beta_{02} I_{12})E_1 + (\beta_1 I_1 + \beta_{10} I_{12})E_2 - \mu E_{12} - \varepsilon_{10} E_{12} - \varepsilon_{02} E_{12} = 0$$

$$(\beta_2 I_2 + \beta_{02} I_{12})E_1 + (\beta_1 I_1 + \beta_{10} I_{12})E_2 - (\mu + \varepsilon_{10} + \varepsilon_{02})E_{12} = 0$$

$$-(\mu + \varepsilon_{10} + \varepsilon_{02})E_{12} = -(\beta_2 I_2 + \beta_{02} I_{12})E_1 - (\beta_1 I_1 + \beta_{10} I_{12})E_2$$

$$E_{12}^{cp} = \frac{(\beta_2 I_2 + \beta_{02} I_{12})E_1 + (\beta_1 I_1 + \beta_{10} I_{12})E_2}{(\mu + \varepsilon_{10} + \varepsilon_{02})}$$

Dari persamaan (4.2e) diperoleh

$$\varepsilon_1 E_1 + \varepsilon_{10} E_{12} - \mu I_1 - \varepsilon_{02} E_{12} - \rho_1 I_1 = 0$$

Lampiran D. Lanjutan

$$\varepsilon_1 E_1 + (\varepsilon_{10} - \varepsilon_{02}) E_{12} - (\mu + \rho_1) I_1 = 0$$

$$-(\mu + \rho_1) I_1 = -\varepsilon_1 E_1 - (\varepsilon_{10} - \varepsilon_{02}) E_{12}$$

$$I_1^{cp} = \frac{\varepsilon_1 E_1 + (\varepsilon_{10} - \varepsilon_{02}) E_{12}}{(\mu + \rho_1)}$$

Dari persamaan (4.2f) diperoleh

$$\varepsilon_2 E_2 + \varepsilon_{02} E_{12} - \mu I_2 - \varepsilon_{10} E_{12} - \rho_2 I_2 = 0$$

$$\varepsilon_2 E_2 + (\varepsilon_{02} - \varepsilon_{10}) E_{12} - (\mu + \rho_2) I_2 = 0$$

$$-(\mu + \rho_2) I_2 = -\varepsilon_2 E_2 - (\varepsilon_{02} - \varepsilon_{10}) E_{12}$$

$$I_2^{cp} = \frac{\varepsilon_2 E_2 + (\varepsilon_{02} - \varepsilon_{10}) E_{12}}{(\mu + \rho_2)}$$

Dari persamaan (4.2g) diperoleh

$$\varepsilon_{02} E_{12} + \varepsilon_{10} E_{12} - \mu I_{12} - \rho_{10} I_{12} - \rho_{02} I_{12} = 0$$

$$\varepsilon_{02} E_{12} + \varepsilon_{10} E_{12} - (\mu + \rho_{10} + \rho_{02}) I_{12} = 0$$

$$-(\mu + \rho_{10} + \rho_{02}) I_{12} = -\varepsilon_{02} E_{12} - \varepsilon_{10} E_{12}$$

$$I_{12}^{cp} = \frac{\varepsilon_{02} E_{12} + \varepsilon_{10} E_{12}}{(\mu + \rho_{10} + \rho_{02})}$$

Dari persamaan (4.2h) diperoleh

$$\rho_1 I_1 + \rho_{10} I_{12} + \omega_2 R_2 - \mu R_1 - \omega_1 R_1 = 0$$

$$\rho_1 I_1 + \rho_{10} I_{12} + \omega_2 R_2 - (\mu + \omega_1) R_1 = 0$$

$$-(\mu + \omega_1) R_1 = -\rho_1 I_1 - \rho_{10} I_{12} - \omega_2 R_2$$

Lampiran D. Lanjutan

$$R_1^{cp} = \frac{\rho_1 I_1 + \rho_{10} I_{12} + \omega_2 R_2}{(\mu + \omega_1)}$$

Dari persamaan (4.2i) diperoleh

$$\rho_2 I_2 + \rho_{02} I_{12} + \omega_1 R_1 - \mu R_2 - \omega_2 R_2 = 0$$

$$\rho_2 I_2 + \rho_{02} I_{12} + \omega_1 R_1 - (\mu + \omega_2) R_2 = 0$$

$$-(\mu + \omega_2) R_2 = -\rho_2 I_2 - \rho_{02} I_{12} - \omega_1 R_1$$

$$R_2^{cp} = \frac{\rho_2 I_2 + \rho_{02} I_{12} + \omega_1 R_1}{(\mu + \omega_2)}$$

Berdasarkan uraian diatas, diperoleh titik setimbang endemik *co-infection chlamydia-pneumonia* yang dinyatakan dalam

$$(E_0)_3 = (S, E_1, E_2, E_{12}, I_1, I_2, I_{12}, R_1, R_2)$$

$$= (S^{cp}, E_1^{cp}, E_2^{cp}, E_{12}^{cp}, I_1^{cp}, I_2^{cp}, I_{12}^{cp}, R_1^{cp}, R_2^{cp})$$

dengan

$$S^{cp} = \frac{\mu}{(\beta_1 I_1 + \beta_{10} I_{12} + \beta_2 I_2 + \beta_{02} I_{12} + \mu)}$$

$$E_1^{cp} = \frac{(\beta_1 I_1 + \beta_{10} I_{12}) S}{(\mu + \varepsilon_1 + \beta_2 I_2 + \beta_{02} I_{12})}$$

$$E_2^{cp} = \frac{(\beta_2 I_2 + \beta_{02} I_{12}) S}{(\mu + \varepsilon_2 + \beta_1 I_1 + \beta_{10} I_{12})}$$

$$E_{12}^{cp} = \frac{(\beta_2 I_2 + \beta_{02} I_{12}) E_1 + (\beta_1 I_1 + \beta_{10} I_{12}) E_2}{(\mu + \varepsilon_{10} + \varepsilon_{02})}$$

Lampiran D. Lanjutan

$$I_1^{cp} = \frac{\varepsilon_1 E_1 + (\varepsilon_{10} - \varepsilon_{02}) E_{12}}{(\mu + \rho_1)}$$

$$I_2^{cp} = \frac{\varepsilon_2 E_2 + (\varepsilon_{02} - \varepsilon_{10}) E_{12}}{(\mu + \rho_2)}$$

$$I_{12}^{cp} = \frac{\varepsilon_{02} E_{12} + \varepsilon_{10} E_{12}}{(\mu + \rho_{10} + \rho_{02})}$$

$$R_1^{cp} = \frac{\rho_1 I_1 + \rho_{10} I_{12} + \omega_2 R_2}{(\mu + \omega_1)}$$

$$R_2^{cp} = \frac{\rho_2 I_2 + \rho_{02} I_{12} + \omega_1 R_1}{(\mu + \omega_2)}$$

Lampiran E. Perhitungan Persamaan Karakteristik Titik Setimbang Non Endemik (E_0)

Substitusi titik setimbang $E_0 = (1,0,0,0,0,0,0,0,0)$ pada matrik Jacobian, sehingga diperoleh

$$J_{E_0} = \begin{pmatrix} -\mu & 0 & 0 & 0 & -\beta_1 & -\beta_2 & -\beta_{10} - \beta_{02} & 0 & 0 \\ 0 & -b_1 & 0 & 0 & \beta_1 & 0 & \beta_{10} & 0 & 0 \\ 0 & 0 & -b_2 & 0 & 0 & \beta_2 & \beta_{02} & 0 & 0 \\ 0 & 0 & 0 & -b_3 & 0 & 0 & 0 & 0 & 0 \\ 0 & \varepsilon_1 & 0 & b_4 & -b_6 & 0 & 0 & 0 & 0 \\ 0 & 0 & \varepsilon_2 & -b_4 & 0 & -b_7 & 0 & 0 & 0 \\ 0 & 0 & 0 & b_5 & 0 & 0 & -b_8 & 0 & 0 \\ 0 & 0 & 0 & 0 & \rho_1 & 0 & \rho_{10} & -b_9 & \omega_2 \\ 0 & 0 & 0 & 0 & 0 & \rho_2 & \rho_{02} & \omega_1 & -b_{10} \end{pmatrix}$$

dengan

$$b_1 = \mu + \varepsilon_1$$

$$b_6 = \mu + \rho_1$$

$$b_2 = \mu + \varepsilon_2$$

$$b_7 = \mu + \rho_2$$

$$b_3 = \mu + \varepsilon_{10} + \varepsilon_{02}$$

$$b_8 = \mu + \rho_{10} + \rho_{02}$$

$$b_4 = \varepsilon_{10} - \varepsilon_{02}$$

$$b_9 = \mu + \omega_1$$

$$b_5 = \varepsilon_{02} + \varepsilon_{10}$$

$$b_{10} = \mu + \omega_2$$

Selanjutnya dicari nilai eigen dari matriks di atas dengan langkah-langkah sebagai berikut:

$$\leftrightarrow \det(\lambda I - J_{E_0}) = 0$$

$$\leftrightarrow \begin{vmatrix} \lambda + \mu & 0 & 0 & 0 & \beta_1 & \beta_2 & \beta_{10} + \beta_{02} & 0 & 0 \\ 0 & \lambda + b_1 & 0 & 0 & -\beta_1 & 0 & -\beta_{10} & 0 & 0 \\ 0 & 0 & \lambda + b_2 & 0 & 0 & -\beta_2 & -\beta_{02} & 0 & 0 \\ 0 & 0 & 0 & \lambda + b_3 & 0 & 0 & 0 & 0 & 0 \\ 0 & -\varepsilon_1 & 0 & -b_4 & \lambda + b_6 & 0 & 0 & 0 & 0 \\ 0 & 0 & -\varepsilon_2 & b_4 & 0 & \lambda + b_7 & 0 & 0 & 0 \\ 0 & 0 & 0 & -b_5 & 0 & 0 & \lambda + b_8 & 0 & 0 \\ 0 & 0 & 0 & 0 & -\rho_1 & 0 & -\rho_{10} & \lambda + b_9 & -\omega_2 \\ 0 & 0 & 0 & 0 & 0 & -\rho_2 & -\rho_{02} & -\omega_1 & \lambda + b_{10} \end{vmatrix} = 0$$

Lampiran E. Lanjutan

$$\leftrightarrow (\lambda + \mu) \begin{vmatrix} \lambda + b_1 & 0 & 0 & -\beta_1 & 0 & -\beta_{10} & 0 & 0 \\ 0 & \lambda + b_2 & 0 & 0 & -\beta_2 & -\beta_{02} & 0 & 0 \\ 0 & 0 & \lambda + b_3 & 0 & 0 & 0 & 0 & 0 \\ -\varepsilon_1 & 0 & -b_4 & \lambda + b_6 & 0 & 0 & 0 & 0 \\ 0 & -\varepsilon_2 & b_4 & 0 & \lambda + b_7 & 0 & 0 & 0 \\ 0 & 0 & -b_5 & 0 & 0 & \lambda + b_8 & 0 & 0 \\ 0 & 0 & 0 & -\rho_1 & 0 & -\rho_{10} & \lambda + b_9 & -\omega_2 \\ 0 & 0 & 0 & 0 & -\rho_2 & -\rho_{02} & -\omega_1 & \lambda + b_{10} \end{vmatrix} = 0$$

$$\leftrightarrow (\lambda + \mu)(\lambda + b_1) \begin{vmatrix} \lambda + b_2 & 0 & 0 & -\beta_2 & -\beta_{02} & 0 & 0 \\ 0 & \lambda + b_3 & 0 & 0 & 0 & 0 & 0 \\ 0 & -b_4 & \lambda + b_6 & 0 & 0 & 0 & 0 \\ -\varepsilon_2 & b_4 & 0 & \lambda + b_7 & 0 & 0 & 0 \\ 0 & -b_5 & 0 & 0 & \lambda + b_8 & 0 & 0 \\ 0 & 0 & -\rho_1 & 0 & -\rho_{10} & \lambda + b_9 & -\omega_2 \\ 0 & 0 & 0 & -\rho_2 & -\rho_{02} & -\omega_1 & \lambda + b_{10} \end{vmatrix}$$

$$+(\lambda + \mu)\varepsilon_1 \begin{vmatrix} 0 & 0 & -\beta_1 & 0 & -\beta_{10} & 0 & 0 \\ \lambda + b_2 & 0 & 0 & -\beta_2 & -\beta_{02} & 0 & 0 \\ 0 & \lambda + b_3 & 0 & 0 & 0 & 0 & 0 \\ -\varepsilon_2 & b_4 & 0 & \lambda + b_7 & 0 & 0 & 0 \\ 0 & -b_5 & 0 & 0 & \lambda + b_8 & 0 & 0 \\ 0 & 0 & -\rho_1 & 0 & -\rho_{10} & \lambda + b_9 & -\omega_2 \\ 0 & 0 & 0 & -\rho_2 & -\rho_{02} & -\omega_1 & \lambda + b_{10} \end{vmatrix} = 0$$

$$\leftrightarrow (\lambda + \mu)(\lambda + b_1)(\lambda + b_2) \begin{vmatrix} \lambda + b_3 & 0 & 0 & 0 & 0 & 0 & 0 \\ -b_4 & \lambda + b_6 & 0 & 0 & 0 & 0 & 0 \\ b_4 & 0 & \lambda + b_7 & 0 & 0 & 0 & 0 \\ -b_5 & 0 & 0 & \lambda + b_8 & 0 & 0 & 0 \\ 0 & -\rho_1 & 0 & -\rho_{10} & \lambda + b_9 & -\omega_2 \\ 0 & 0 & -\rho_2 & -\rho_{02} & -\omega_1 & \lambda + b_{10} \end{vmatrix}$$

$$+(\lambda + \mu)(\lambda + b_1)\varepsilon_2 \begin{vmatrix} 0 & 0 & -\beta_2 & -\beta_{02} & 0 & 0 \\ \lambda + b_3 & 0 & 0 & 0 & 0 & 0 \\ -b_4 & \lambda + b_6 & 0 & 0 & 0 & 0 \\ -b_5 & 0 & 0 & \lambda + b_8 & 0 & 0 \\ 0 & -\rho_1 & 0 & -\rho_{10} & \lambda + b_9 & -\omega_2 \\ 0 & 0 & -\rho_2 & -\rho_{02} & -\omega_1 & \lambda + b_{10} \end{vmatrix}$$

$$-(\lambda + \mu)\varepsilon_1(\lambda + b_2) \begin{vmatrix} 0 & -\beta_1 & 0 & -\beta_{10} & 0 & 0 \\ \lambda + b_3 & 0 & 0 & 0 & 0 & 0 \\ b_4 & 0 & \lambda + b_7 & 0 & 0 & 0 \\ -b_5 & 0 & 0 & \lambda + b_8 & 0 & 0 \\ 0 & -\rho_1 & 0 & -\rho_{10} & \lambda + b_9 & -\omega_2 \\ 0 & 0 & -\rho_2 & -\rho_{02} & -\omega_1 & \lambda + b_{10} \end{vmatrix}$$

Lampiran E. Lanjutan

$$+(\lambda + \mu)\varepsilon_1\varepsilon_2 \begin{vmatrix} 0 & -\beta_1 & 0 & -\beta_{10} & 0 & 0 \\ 0 & 0 & -\beta_2 & -\beta_{02} & 0 & 0 \\ \lambda + b_3 & 0 & 0 & 0 & 0 & 0 \\ -b_5 & 0 & 0 & \lambda + b_8 & 0 & 0 \\ 0 & -\rho_1 & 0 & -\rho_{10} & \lambda + b_9 & -\omega_2 \\ 0 & 0 & -\rho_2 & -\rho_{02} & -\omega_1 & \lambda + b_{10} \end{vmatrix} = 0$$

$$\leftrightarrow (\lambda + \mu)(\lambda + b_1)(\lambda + b_2)\omega_2 \begin{vmatrix} \lambda + b_3 & 0 & 0 & 0 & 0 \\ -b_4 & \lambda + b_6 & 0 & 0 & 0 \\ b_4 & 0 & \lambda + b_7 & 0 & 0 \\ -b_5 & 0 & 0 & \lambda + b_8 & 0 \\ 0 & 0 & -\rho_2 & -\rho_{02} & -\omega_1 \end{vmatrix}$$

$$+(\lambda + \mu)(\lambda + b_1)(\lambda + b_2)(\lambda + b_{10}) \begin{vmatrix} \lambda + b_3 & 0 & 0 & 0 & 0 \\ -b_4 & \lambda + b_6 & 0 & 0 & 0 \\ b_4 & 0 & \lambda + b_7 & 0 & 0 \\ -b_5 & 0 & 0 & \lambda + b_8 & 0 \\ 0 & -\rho_1 & 0 & -\rho_{10} & \lambda + b_9 \end{vmatrix}$$

$$+(\lambda + \mu)(\lambda + b_1)\varepsilon_2\omega_2 \begin{vmatrix} 0 & 0 & -\beta_2 & -\beta_{02} & 0 \\ \lambda + b_3 & 0 & 0 & 0 & 0 \\ -b_4 & \lambda + b_6 & 0 & 0 & 0 \\ -b_5 & 0 & 0 & \lambda + b_8 & 0 \\ 0 & 0 & -\rho_2 & -\rho_{02} & -\omega_1 \end{vmatrix}$$

$$+(\lambda + \mu)(\lambda + b_1)\varepsilon_2(\lambda + b_{10}) \begin{vmatrix} 0 & 0 & -\beta_2 & -\beta_{02} & 0 \\ \lambda + b_3 & 0 & 0 & 0 & 0 \\ -b_4 & \lambda + b_6 & 0 & 0 & 0 \\ -b_5 & 0 & 0 & \lambda + b_8 & 0 \\ 0 & -\rho_1 & 0 & -\rho_{10} & \lambda + b_9 \end{vmatrix}$$

$$-(\lambda + \mu)\varepsilon_1(\lambda + b_2)\omega_2 \begin{vmatrix} 0 & -\beta_1 & 0 & -\beta_{10} & 0 \\ \lambda + b_3 & 0 & 0 & 0 & 0 \\ b_4 & 0 & \lambda + b_7 & 0 & 0 \\ -b_5 & 0 & 0 & \lambda + b_8 & 0 \\ 0 & 0 & -\rho_2 & -\rho_{02} & -\omega_1 \end{vmatrix}$$

$$-(\lambda + \mu)\varepsilon_1(\lambda + b_2)(\lambda + b_{10}) \begin{vmatrix} 0 & -\beta_1 & 0 & -\beta_{10} & 0 \\ \lambda + b_3 & 0 & 0 & 0 & 0 \\ b_4 & 0 & \lambda + b_7 & 0 & 0 \\ -b_5 & 0 & 0 & \lambda + b_8 & 0 \\ 0 & -\rho_1 & 0 & -\rho_{10} & \lambda + b_9 \end{vmatrix}$$

Lampiran E. Lanjutan

$$\begin{aligned}
 & +(\lambda + \mu)\varepsilon_1\varepsilon_2\omega_2 \begin{vmatrix} 0 & -\beta_1 & 0 & -\beta_{10} & 0 \\ 0 & 0 & -\beta_2 & -\beta_{02} & 0 \\ \lambda + b_3 & 0 & 0 & 0 & 0 \\ -b_5 & 0 & 0 & \lambda + b_8 & 0 \\ 0 & 0 & -\rho_2 & -\rho_{02} & -\omega_1 \end{vmatrix} \\
 & +(\lambda + \mu)\varepsilon_1\varepsilon_2(\lambda + b_{10}) \begin{vmatrix} 0 & -\beta_1 & 0 & -\beta_{10} & 0 \\ 0 & 0 & -\beta_2 & -\beta_{02} & 0 \\ \lambda + b_3 & 0 & 0 & 0 & 0 \\ -b_5 & 0 & 0 & \lambda + b_8 & 0 \\ 0 & -\rho_1 & 0 & -\rho_{10} & \lambda + b_9 \end{vmatrix} = 0 \\
 \Leftrightarrow & (\lambda + b_1)(\lambda + b_2)[- \omega_2\omega_1 + (\lambda + b_{10})(\lambda + b_9)] \begin{vmatrix} \lambda + b_3 & 0 & 0 & 0 \\ -b_4 & \lambda + b_6 & 0 & 0 \\ b_4 & 0 & \lambda + b_7 & 0 \\ -b_5 & 0 & 0 & \lambda + b_8 \end{vmatrix} \\
 & +(\lambda + \mu)(\lambda + b_1)\varepsilon_2[- \omega_2\omega_1 + (\lambda + b_{10})(\lambda + b_9)] \begin{vmatrix} 0 & 0 & -\beta_2 & -\beta_{02} \\ \lambda + b_3 & 0 & 0 & 0 \\ -b_4 & \lambda + b_6 & 0 & 0 \\ -b_5 & 0 & 0 & \lambda + b_8 \end{vmatrix} \\
 & -(\lambda + \mu)\varepsilon_1(\lambda + b_2)[- \omega_2\omega_1 + (\lambda + b_{10})(\lambda + b_9)] \begin{vmatrix} 0 & -\beta_1 & 0 & -\beta_{10} \\ \lambda + b_3 & 0 & 0 & 0 \\ b_4 & 0 & \lambda + b_7 & 0 \\ -b_5 & 0 & 0 & \lambda + b_8 \end{vmatrix} \\
 & +(\lambda + \mu)\varepsilon_1\varepsilon_2[- \omega_2\omega_1 + (\lambda + b_{10})(\lambda + b_9)] \begin{vmatrix} 0 & -\beta_1 & 0 & -\beta_{10} \\ 0 & 0 & -\beta_2 & -\beta_{02} \\ \lambda + b_3 & 0 & 0 & 0 \\ -b_5 & 0 & 0 & \lambda + b_8 \end{vmatrix} = 0
 \end{aligned}$$

Lampiran E. Lanjutan

$$\leftrightarrow \left[(\lambda + b_1)(\lambda + b_2) \begin{vmatrix} \lambda + b_3 & 0 & 0 & 0 \\ -b_4 & \lambda + b_6 & 0 & 0 \\ b_4 & 0 & \lambda + b_7 & 0 \\ -b_5 & 0 & 0 & \lambda + b_8 \end{vmatrix} \right. \\
 + (\lambda + b_1)\varepsilon_2 \begin{vmatrix} 0 & 0 & -\beta_2 & -\beta_{02} \\ \lambda + b_3 & 0 & 0 & 0 \\ -b_4 & \lambda + b_6 & 0 & 0 \\ -b_5 & 0 & 0 & \lambda + b_8 \end{vmatrix} \\
 - \varepsilon_1(\lambda + b_2) \begin{vmatrix} 0 & -\beta_1 & 0 & -\beta_{10} \\ \lambda + b_3 & 0 & 0 & 0 \\ b_4 & 0 & \lambda + b_7 & 0 \\ -b_5 & 0 & 0 & \lambda + b_8 \end{vmatrix} \\
 \left. + \varepsilon_1\varepsilon_2 \begin{vmatrix} 0 & -\beta_1 & 0 & -\beta_{10} \\ 0 & 0 & -\beta_2 & -\beta_{02} \\ \lambda + b_3 & 0 & 0 & 0 \\ -b_5 & 0 & 0 & \lambda + b_8 \end{vmatrix} (\lambda + \mu)[- \omega_2 \omega_1 \right. \\
 \left. + (\lambda + b_{10})(\lambda + b_9)] = 0 \right]$$

$$\leftrightarrow \left[(\lambda + b_1)(\lambda + b_2)(\lambda + b_8) \begin{vmatrix} \lambda + b_3 & 0 & 0 & 0 \\ -b_4 & \lambda + b_6 & 0 & 0 \\ b_4 & 0 & \lambda + b_7 & 0 \end{vmatrix} \right. \\
 - (\lambda + b_1)\varepsilon_2\beta_2 \begin{vmatrix} \lambda + b_3 & 0 & 0 & 0 \\ -b_4 & \lambda + b_6 & 0 & 0 \\ -b_5 & 0 & \lambda + b_8 & 0 \end{vmatrix} \\
 - \varepsilon_1(\lambda + b_2)\beta_1 \begin{vmatrix} \lambda + b_3 & 0 & 0 & 0 \\ b_4 & \lambda + b_7 & 0 & 0 \\ -b_5 & 0 & \lambda + b_8 & 0 \end{vmatrix} \\
 \left. + \varepsilon_1\varepsilon_2\beta_1 \begin{vmatrix} 0 & -\beta_2 & -\beta_{02} & 0 \\ \lambda + b_3 & 0 & 0 & 0 \\ -b_5 & 0 & \lambda + b_8 & 0 \end{vmatrix} (\lambda + \mu)[- \omega_2 \omega_1 \right. \\
 \left. + (\lambda + b_{10})(\lambda + b_9)] = 0 \right]$$

$$\leftrightarrow \left[(\lambda + b_1)[(\lambda + b_2)(\lambda + b_8)(\lambda + b_7) - \varepsilon_2\beta_2(\lambda + b_8)] \begin{vmatrix} \lambda + b_3 & 0 \\ -b_4 & \lambda + b_6 \end{vmatrix} \right. \\
 - \varepsilon_1(\lambda + b_2)\beta_1(\lambda + b_8) \begin{vmatrix} \lambda + b_3 & 0 \\ b_4 & \lambda + b_7 \end{vmatrix} \\
 + \varepsilon_1\varepsilon_2\beta_1\beta_2 \begin{vmatrix} \lambda + b_3 & 0 \\ -b_5 & \lambda + b_8 \end{vmatrix} \left. (\lambda + \mu)[- \omega_2 \omega_1 \right. \\
 \left. + (\lambda + b_{10})(\lambda + b_9)] = 0 \right]$$

Lampiran E. Lanjutan

$$\leftrightarrow (\lambda + \mu)(\lambda + b_3)(\lambda + b_8)[(\lambda + b_1)(\lambda + b_6)[(\lambda + b_2)(\lambda + b_7) - \varepsilon_2\beta_2] \\ - \varepsilon_1(\lambda + b_2)\beta_1(\lambda + b_7) + \varepsilon_1\varepsilon_2\beta_1\beta_2][-\omega_2\omega_1 \\ + (\lambda + b_{10})(\lambda + b_9)] = 0$$

$$\leftrightarrow (\lambda + \mu)(\lambda + b_3)(\lambda + b_8)[\lambda^4 + (b_1 + b_6 + b_2 + b_7)\lambda^3 \\ + (b_2b_1 + b_7b_1 + b_2b_6 + b_7b_6 + b_1b_6 + b_2b_7 - \varepsilon_2\beta_2 \\ - \varepsilon_1\beta_1)\lambda^2 \\ + (b_1b_6b_2 + b_1b_6b_7 + b_2b_7b_1 - \varepsilon_2\beta_2b_1 + b_2b_7b_6 \\ - \varepsilon_2\beta_2b_6 - \varepsilon_1\beta_1b_2 - \varepsilon_1\beta_1b_7)\lambda + b_2b_7b_1b_6 - \varepsilon_2\beta_2b_1b_6 \\ - \varepsilon_1\beta_1b_2b_7 + \varepsilon_1\varepsilon_2\beta_1\beta_2][\lambda^2 + (b_9 + b_{10})\lambda + b_9b_{10} \\ - \omega_2\omega_1] = 0$$

Sehingga diperoleh persamaan karakteristik untuk titik setimbang non endemik sebagai berikut

$$\leftrightarrow (\lambda + \mu)(\lambda + b_3)(\lambda + b_8)[\lambda^4 + A_1\lambda^3 + A_2\lambda^2 + A_3\lambda + \\ A_4][\lambda^2 + B_1\lambda + B_2] = 0$$

dengan

$$A_1 = b_1 + b_6 + b_2 + b_7$$

$$A_2 = b_2b_1 + b_7b_1 + b_2b_6 + b_7b_6 + b_1b_6 + b_2b_7 - \varepsilon_2\beta_2 - \varepsilon_1\beta_1$$

$$A_3 = b_1b_6b_2 + b_1b_6b_7 + b_2b_7b_1 - \varepsilon_2\beta_2b_1 + b_2b_7b_6 - \varepsilon_2\beta_2b_6 \\ - \varepsilon_1\beta_1b_2 - \varepsilon_1\beta_1b_7$$

$$A_4 = b_2b_7b_1b_6 - \varepsilon_2\beta_2b_1b_6 - \varepsilon_1\beta_1b_2b_7 + \varepsilon_1\varepsilon_2\beta_1\beta_2$$

$$B_1 = b_9 + b_{10}$$

$$B_2 = b_9b_{10} - \omega_2\omega_1$$

Lampiran F. Perhitungan Kriteria Routh-Hurwitz Persamaan Karakteristik Titik Setimbang Non Endemik (E_0)

Menentukan syarat untuk Persamaan (4.5) agar memiliki akar-akar negatif dengan menggunakan kriteria Routh-Hurwitz

$$[\lambda^4 + A_1\lambda^3 + A_2\lambda^2 + A_3\lambda + A_4][\lambda^2 + B_1\lambda + B_2] = 0 \quad (4.5)$$

Persamaan karakteristik (4.5) dapat dituliskan sebagai

$$\lambda^4 + A_1\lambda^3 + A_2\lambda^2 + A_3\lambda + A_4 = 0 \quad (4.5a)$$

$$\lambda^2 + B_1\lambda + B_2 = 0 \quad (4.5b)$$

Menentukan syarat untuk Persamaan (4.5a)

$$\lambda^4 + A_1\lambda^3 + A_2\lambda^2 + A_3\lambda + A_4 = 0 \quad (4.5a)$$

$$\begin{array}{c|ccc} \lambda^4 & 1 & A_2 & A_4 \\ \lambda^3 & A_1 & A_3 & \\ \lambda^2 & b_1 & b_2 & \\ \lambda & c_1 & & \\ 1 & d_1 & & \end{array}$$

dengan

$$b_1 = \frac{A_1 A_2 - A_3}{A_1}$$

$$b_2 = \frac{A_1 A_4}{A_1}$$

$$= A_4$$

$$c_1 = \frac{b_1 A_3 - A_1 b_2}{b_1}$$

$$= \left(\frac{(A_1 A_2 - A_3)}{A_1} A_3 - A_1 A_4 \right) \frac{A_1}{(A_1 A_2 - A_3)}$$

Lampiran F. Lanjutan

$$\begin{aligned}
 &= \left(\frac{(A_1 A_2 - A_3)}{A_1} A_3 \times \frac{A_1}{(A_1 A_2 - A_3)} \right) - \left(A_1 A_4 \times \frac{A_1}{(A_1 A_2 - A_3)} \right) \\
 &= A_3 - \frac{A_1^2 A_4}{A_1 A_2 - A_3} \\
 &= \frac{(A_1 A_2 - A_3) A_3 - A_1^2 A_4}{(A_1 A_2 - A_3)} \\
 d_1 &= \frac{c_1 b_2}{c_1} \\
 &= b_2 \\
 &= A_4
 \end{aligned}$$

Persamaan (4.5a) akan memiliki akar-akar yang negatif jika dan hanya jika.

$$\begin{aligned}
 &\leftrightarrow A_1, A_2, A_3, A_4 > 0 \\
 &\leftrightarrow A_1 A_2 > A_3 \\
 &\leftrightarrow (A_1 A_2 - A_3) A_3 > A_1^2 A_4
 \end{aligned}$$

Menentukan syarat untuk Persamaan (4.5b)

$$\lambda^2 + B_1 \lambda + B_2 = 0 \quad (4.5b)$$

$$\begin{array}{c|cc}
 \lambda^2 & 1 & B_2 \\
 \lambda & B_1 & \\
 1 & b_1 &
 \end{array}$$

dengan

$$b_1 = \frac{B_1 B_2}{B_1}$$

Persamaan (4.5b) akan memiliki akar-akar negatif jika dan hanya jika $B_1, B_2 > 0$.

Lampiran G. Perhitungan Persamaan Karakteristik Titik Setimbang Endemik Chlamydia (E_0)₁

Substitusi titik setimbang (E_0)₁ = ($S^c, E_1^c, 0, 0, I_1^c, 0, 0, R_1^c, R_2^c$) pada matrik Jacobian, sehingga diperoleh

$$J_{(E_0)_1} = \begin{pmatrix} -c_1 - \mu & 0 & 0 & 0 & -c_7 & -c_9 & -c_{12} - c_{13} & 0 & 0 \\ c_1 & -c_2 & 0 & 0 & c_7 & -c_{10} & c_{12} - c_{14} & 0 & 0 \\ 0 & 0 & -c_3 - c_1 & 0 & 0 & c_9 & c_{13} & 0 & 0 \\ 0 & 0 & c_1 & -c_4 & 0 & c_{10} & c_{14} & 0 & 0 \\ 0 & \varepsilon_1 & 0 & c_5 & -c_8 & 0 & 0 & 0 & 0 \\ 0 & 0 & \varepsilon_2 & -c_5 & 0 & -c_{11} & 0 & 0 & 0 \\ 0 & 0 & 0 & c_6 & 0 & 0 & -c_{15} & 0 & 0 \\ 0 & 0 & 0 & 0 & \rho_1 & 0 & \rho_{10} & -c_{16} & \omega_2 \\ 0 & 0 & 0 & 0 & 0 & \rho_2 & \rho_{02} & \omega_1 & -c_{17} \end{pmatrix}$$

dengan

$$c_1 = \beta_1 I_1^c$$

$$c_{10} = \beta_2 E_1^c$$

$$c_2 = \mu + \varepsilon_1$$

$$c_{11} = \mu + \rho_2$$

$$c_3 = \mu + \varepsilon_2$$

$$c_{12} = \beta_{10} S^c$$

$$c_4 = \mu + \varepsilon_{10} + \varepsilon_{02}$$

$$c_{13} = \beta_{02} S^c$$

$$c_5 = \varepsilon_{10} - \varepsilon_{02}$$

$$c_{14} = \beta_{02} E_1^c$$

$$c_6 = \varepsilon_{02} + \varepsilon_{10}$$

$$c_{15} = \mu + \rho_{10} + \rho_{02}$$

$$c_7 = \beta_1 S^c$$

$$c_{16} = \mu + \omega_1$$

$$c_8 = \mu + \rho_1$$

$$c_{17} = \mu + \omega_2$$

$$c_9 = \beta_2 S^c$$

Selanjutnya dicari nilai eigen dari matriks di atas dengan langkah-langkah sebagai berikut:

$$\det(\lambda I - J_{(E_0)_1}) = 0$$

Lampiran G. Lanjutan

$$\begin{aligned}
 & \leftrightarrow (\lambda + c_1 + \mu)(\lambda + c_2)\omega_2 \left| \begin{array}{cccccc} \lambda + c_3 + c_1 & 0 & 0 & -c_9 & -c_{13} & 0 \\ -c_1 & \lambda + c_4 & 0 & -c_{10} & -c_{14} & 0 \\ 0 & -c_5 & \lambda + c_8 & 0 & 0 & 0 \\ -\varepsilon_2 & c_5 & 0 & \lambda + c_{11} & 0 & 0 \\ 0 & -c_6 & 0 & 0 & \lambda + c_{15} & 0 \\ 0 & 0 & 0 & -\rho_2 & -\rho_{02} & -\omega_1 \end{array} \right| \\
 & + (\lambda + c_1 + \mu)(\lambda + c_2)(\lambda + c_{17}) \left| \begin{array}{cccccc} \lambda + c_3 + c_1 & 0 & 0 & -c_9 & -c_{13} & 0 \\ -c_1 & \lambda + c_4 & 0 & -c_{10} & -c_{14} & 0 \\ 0 & -c_5 & \lambda + c_8 & 0 & 0 & 0 \\ -\varepsilon_2 & c_5 & 0 & \lambda + c_{11} & 0 & 0 \\ 0 & -c_6 & 0 & 0 & \lambda + c_{15} & 0 \\ 0 & 0 & -\rho_1 & 0 & -\rho_{10} & \lambda + c_{16} \end{array} \right| \\
 & + (\lambda + c_1 + \mu)\varepsilon_1\omega_2 \left| \begin{array}{cccccc} 0 & 0 & -c_7 & c_{10} & -c_{12} + c_{14} & 0 \\ \lambda + c_3 + c_1 & 0 & 0 & -c_9 & -c_{13} & 0 \\ -c_1 & \lambda + c_4 & 0 & -c_{10} & -c_{14} & 0 \\ -\varepsilon_2 & c_5 & 0 & \lambda + c_{11} & 0 & 0 \\ 0 & -c_6 & 0 & 0 & \lambda + c_{15} & 0 \\ 0 & 0 & 0 & -\rho_2 & -\rho_{02} & -\omega_1 \end{array} \right| \\
 & + (\lambda + c_1 + \mu)\varepsilon_1(\lambda + c_{17}) \left| \begin{array}{cccccc} 0 & 0 & -c_7 & c_{10} & -c_{12} + c_{14} & 0 \\ \lambda + c_3 + c_1 & 0 & 0 & -c_9 & -c_{13} & 0 \\ -c_1 & \lambda + c_4 & 0 & -c_{10} & -c_{14} & 0 \\ -\varepsilon_2 & c_5 & 0 & \lambda + c_{11} & 0 & 0 \\ 0 & -c_6 & 0 & 0 & \lambda + c_{15} & 0 \\ 0 & 0 & -\rho_1 & 0 & -\rho_{10} & \lambda + c_{16} \end{array} \right| \\
 & - c_1\varepsilon_1\omega_2 \left| \begin{array}{cccccc} 0 & 0 & c_7 & c_9 & c_{12} + c_{13} & 0 \\ \lambda + c_3 + c_1 & 0 & 0 & -c_9 & -c_{13} & 0 \\ -c_1 & \lambda + c_4 & 0 & -c_{10} & -c_{14} & 0 \\ -\varepsilon_2 & c_5 & 0 & \lambda + c_{11} & 0 & 0 \\ 0 & -c_6 & 0 & 0 & \lambda + c_{15} & 0 \\ 0 & 0 & 0 & -\rho_2 & -\rho_{02} & -\omega_1 \end{array} \right| \\
 & - c_1\varepsilon_1(\lambda + c_{17}) \left| \begin{array}{cccccc} 0 & 0 & c_7 & c_9 & c_{12} + c_{13} & 0 \\ \lambda + c_3 + c_1 & 0 & 0 & -c_9 & -c_{13} & 0 \\ -c_1 & \lambda + c_4 & 0 & -c_{10} & -c_{14} & 0 \\ -\varepsilon_2 & c_5 & 0 & \lambda + c_{11} & 0 & 0 \\ 0 & -c_6 & 0 & 0 & \lambda + c_{15} & 0 \\ 0 & 0 & -\rho_1 & 0 & -\rho_{10} & \lambda + c_{16} \end{array} \right| = 0
 \end{aligned}$$

Lampiran G. Lanjutan

$$\leftrightarrow (\lambda + c_1 + \mu)(\lambda + c_2) \begin{vmatrix} \lambda + c_3 + c_1 & 0 & 0 & -c_9 & -c_{13} \\ -c_1 & \lambda + c_4 & 0 & -c_{10} & -c_{14} \\ 0 & -c_5 & \lambda + c_8 & 0 & 0 \\ -\varepsilon_2 & c_5 & 0 & \lambda + c_{11} & 0 \\ 0 & -c_6 & 0 & 0 & \lambda + c_{15} \end{vmatrix} [-\omega_1 \omega_2] \\ + (\lambda + c_{16})(\lambda + c_{17})]$$

$$+ (\lambda + c_1 + \mu)\varepsilon_1 \begin{vmatrix} 0 & 0 & -c_7 & c_{10} & -c_{12} + c_{14} \\ \lambda + c_3 + c_1 & 0 & 0 & -c_9 & -c_{13} \\ -c_1 & \lambda + c_4 & 0 & -c_{10} & -c_{14} \\ -\varepsilon_2 & c_5 & 0 & \lambda + c_{11} & 0 \\ 0 & -c_6 & 0 & 0 & \lambda + c_{15} \end{vmatrix} [-\omega_1 \omega_2] \\ + (\lambda + c_{16})(\lambda + c_{17})]$$

$$-c_1\varepsilon_1 \begin{vmatrix} 0 & 0 & c_7 & c_9 & c_{12} + c_{13} \\ \lambda + c_3 + c_1 & 0 & 0 & -c_9 & -c_{13} \\ -c_1 & \lambda + c_4 & 0 & -c_{10} & -c_{14} \\ -\varepsilon_2 & c_5 & 0 & \lambda + c_{11} & 0 \\ 0 & -c_6 & 0 & 0 & \lambda + c_{15} \end{vmatrix} [-\omega_1 \omega_2] \\ + (\lambda + c_{16})(\lambda + c_{17}) = 0$$

$$\leftrightarrow [(\lambda + c_1 + \mu)[(\lambda + c_2)(\lambda + c_8) - \varepsilon_1 c_7] \\ - c_1\varepsilon_1 c_7] \begin{vmatrix} \lambda + c_3 + c_1 & 0 & -c_9 & -c_{13} \\ -c_1 & \lambda + c_4 & -c_{10} & -c_{14} \\ -\varepsilon_2 & c_5 & \lambda + c_{11} & 0 \\ 0 & -c_6 & 0 & \lambda + c_{15} \end{vmatrix} [-\omega_1 \omega_2] \\ + (\lambda + c_{16})(\lambda + c_{17}) = 0$$

$$\leftrightarrow [(\lambda + c_1 + \mu)[(\lambda + c_2)(\lambda + c_8) - \varepsilon_1 c_7] \\ - c_1\varepsilon_1 c_7] \begin{bmatrix} (\lambda + c_3 + c_1) \begin{vmatrix} \lambda + c_4 & -c_{10} & -c_{14} \\ c_5 & \lambda + c_{11} & 0 \\ -c_6 & 0 & \lambda + c_{15} \end{vmatrix} \\ + c_1 \begin{vmatrix} 0 & -c_9 & -c_{13} \\ c_5 & \lambda + c_{11} & 0 \\ -c_6 & 0 & \lambda + c_{15} \end{vmatrix} \\ - \varepsilon_2 \begin{vmatrix} 0 & -c_9 & -c_{13} \\ \lambda + c_4 & -c_{10} & -c_{14} \\ -c_6 & 0 & \lambda + c_{15} \end{vmatrix} \end{bmatrix} [-\omega_1 \omega_2] \\ + (\lambda + c_{16})(\lambda + c_{17}) = 0$$

Lampiran G. Lanjutan

$$\begin{aligned}
&\leftrightarrow [(\lambda + c_1 + \mu)[(\lambda + c_2)(\lambda + c_8) - \varepsilon_1 c_7] \\
&\quad - c_1 \varepsilon_1 c_7] \left[(\lambda + c_3 + c_1) \begin{vmatrix} c_{10} & 0 \\ -c_6 & \lambda + c_{15} \end{vmatrix} \right. \\
&\quad + (\lambda + c_{11}) \left| \begin{array}{cc} \lambda + c_4 & -c_{14} \\ -c_6 & \lambda + c_{15} \end{array} \right| \left. \right] \\
&\quad + c_1 \left[c_9 \begin{vmatrix} c_5 & 0 \\ -c_6 & \lambda + c_{15} \end{vmatrix} + (\lambda + c_{11}) \begin{vmatrix} 0 & -c_{13} \\ -c_6 & \lambda + c_{15} \end{vmatrix} \right. \\
&\quad - \varepsilon_2 \left. \begin{vmatrix} \lambda + c_4 & -c_{14} \\ -c_6 & \lambda + c_{15} \end{vmatrix} - c_{10} \begin{vmatrix} 0 & -c_{13} \\ -c_6 & \lambda + c_{15} \end{vmatrix} \right] [-\omega_1 \omega_2 \\
&\quad + (\lambda + c_{16})(\lambda + c_{17})] = 0
\end{aligned}$$

$$\begin{aligned}
&\leftrightarrow [(\lambda + c_1 + \mu)[(\lambda + c_2)(\lambda + c_8) - \varepsilon_1 c_7] \\
&\quad - c_1 \varepsilon_1 c_7] \left[(\lambda + c_3 + c_1) [c_{10} c_5 (\lambda + c_{15}) \right. \\
&\quad + (\lambda + c_{11}) [(\lambda + c_4)(\lambda + c_{15}) - c_6 c_{14}]] \\
&\quad + c_1 [c_9 c_5 (\lambda + c_{15}) - (\lambda + c_{11}) c_6 c_{13}] \\
&\quad - \varepsilon_2 [c_9 [(\lambda + c_4)(\lambda + c_{15}) - c_6 c_{14}] + c_6 c_{10} c_{13}] \left. \right] [-\omega_1 \omega_2 \\
&\quad + (\lambda + c_{16})(\lambda + c_{17})] = 0
\end{aligned}$$

$$\begin{aligned}
&\leftrightarrow [\lambda^3 + (c_2 + c_8 + c_1 + \mu)\lambda^2 + (c_2 c_8 - \varepsilon_1 c_7 + c_1 c_2 + c_1 c_8 + \mu c_2 + \mu c_8)\lambda \\
&\quad + c_1 c_2 c_8 - c_1 \varepsilon_1 c_7 + \mu c_2 c_8 - \mu \varepsilon_1 c_7 - c_1 \varepsilon_1 c_7] [\lambda^4 \\
&\quad + (c_{11} + c_4 + c_{15} + c_3 + c_1)\lambda^3 \\
&\quad + (c_{11} c_4 + c_{15} c_{11} + c_{15} c_4 + c_{10} c_5 - c_6 c_{14} + c_3 c_{11} + c_{11} c_1 \\
&\quad + c_4 c_3 + c_4 c_1 + c_{15} c_3 + c_{15} c_1 - \varepsilon_2 c_9)\lambda^2 \\
&\quad + (c_{15} c_{11} c_4 - c_6 c_{14} c_{11} + c_{15} c_{10} c_5 + c_3 c_{11} c_4 + c_{11} c_4 c_1 \\
&\quad + c_{15} c_{11} c_3 + c_{15} c_{11} c_1 + c_{15} c_4 c_3 + c_{15} c_4 c_1 + c_{10} c_5 c_3 \\
&\quad + c_{10} c_5 c_1 - c_6 c_{14} c_3 - c_6 c_{14} c_1 + c_1 c_9 c_5 - c_1 c_6 c_{13} \\
&\quad - \varepsilon_2 c_9 c_4 - \varepsilon_2 c_9 c_{15})\lambda + c_{15} c_{11} c_4 c_3 + c_{15} c_{11} c_4 c_1 \\
&\quad - c_6 c_{14} c_{11} c_3 - c_6 c_{14} c_{11} c_1 + c_{15} c_{10} c_5 c_3 + c_{15} c_{10} c_5 c_1 \\
&\quad + c_1 c_9 c_5 c_{15} - c_1 c_6 c_{13} c_{11} - \varepsilon_2 c_9 c_4 c_{15} + \varepsilon_2 c_9 c_6 c_{14} \\
&\quad - \varepsilon_2 c_6 c_{10} c_{13}] [\lambda^2 + (c_{16} + c_{17})\lambda + c_{16} c_{17} - \omega_1 \omega_2] = 0
\end{aligned}$$

Sehingga diperoleh persamaan karkteristik untuk titik setimbang endemik chlamydia sebagai berikut

$$\begin{aligned}
&\leftrightarrow (\lambda^3 + C_1 \lambda^2 + C_2 \lambda + C_3)(\lambda^4 + D_1 \lambda^3 + D_2 \lambda^2 + D_3 \lambda + D_4)(\lambda^2 \\
&\quad + F_1 \lambda + F_2) = 0
\end{aligned}$$

Lampiran G. Lanjutan

dengan

$$C_1 = c_2 + c_8 + c_1 + \mu$$

$$C_2 = c_2c_8 - \varepsilon_1c_7 + c_1c_2 + \mu c_2 + c_1c_8 + \mu c_8$$

$$C_3 = c_1c_2c_8 + \mu c_2c_8 - c_1\varepsilon_1c_7 + \mu\varepsilon_1c_7 - c_1\varepsilon_1c_7$$

$$D_1 = c_{11} + c_4 + c_{15} + c_3 + c_1$$

$$D_2 = c_{11}c_4 + c_{15}c_{11} + c_{15}c_4 + c_{10}c_5 - c_6c_{14} + c_3c_{11} + c_{11}c_1 \\ + c_4c_3 + c_4c_1 + c_{15}c_3 + c_{15}c_1 - \varepsilon_2c_9$$

$$D_3 = c_{15}c_{11}c_4 - c_6c_{14}c_{11} + c_{15}c_{10}c_5 + c_3c_{11}c_4 + c_{11}c_4c_1 \\ + c_{15}c_{11}c_3 + c_{15}c_{11}c_1 + c_{15}c_4c_3 + c_{15}c_4c_1 + c_{10}c_5c_3 \\ + c_{10}c_5c_1 - c_6c_{14}c_3 - c_6c_{14}c_1 + c_1c_9c_5 - c_1c_6c_{13} \\ - \varepsilon_2c_9c_4 - \varepsilon_2c_9c_{15}$$

$$D_4 = c_{15}c_{11}c_4c_3 + c_{15}c_{11}c_4c_1 - c_6c_{14}c_{11}c_3 - c_6c_{14}c_{11}c_1 \\ + c_{15}c_{10}c_5c_3 + c_{15}c_{10}c_5c_1 + c_1c_9c_5c_{15} - c_1c_6c_{13}c_{11} \\ - \varepsilon_2c_9c_4c_{15} + \varepsilon_2c_9c_6c_{14} - \varepsilon_2c_6c_{10}c_{13}$$

$$F_1 = c_{16} + c_{17}$$

$$F_2 = c_{16}c_{17} - \omega_1\omega_2$$

Lampiran H. Perhitungan Kriteria Routh-Hurwitz Persamaan Karakteristik Titik Setimbang Endemik Chlamydia (E_0)₁

Menentukan syarat untuk Persamaan (4.6) agar memiliki akar-akar negatif dengan menggunakan kriteria Routh-Hurwitz

$$(\lambda^3 + C_1\lambda^2 + C_2\lambda + C_3)(\lambda^4 + D_1\lambda^3 + D_2\lambda^2 + D_3\lambda + D_4)(\lambda^2 + F_1\lambda + F_2) = 0 \quad (4.6)$$

Persamaan karakteristik (4.6) dapat ditulis sebagai

$$\lambda^3 + C_1\lambda^2 + C_2\lambda + C_3 = 0 \quad (4.6a)$$

$$\lambda^4 + D_1\lambda^3 + D_2\lambda^2 + D_3\lambda + D_4 = 0 \quad (4.6b)$$

$$\lambda^2 + F_1\lambda + F_2 = 0 \quad (4.6c)$$

Menentukan syarat untuk Persamaan (4.6a)

$$\lambda^3 + C_1\lambda^2 + C_2\lambda + C_3 = 0 \quad (4.6a)$$

$$\begin{array}{c|cc} \lambda^3 & 1 & C_2 \\ \lambda^2 & C_1 & C_3 \\ \lambda & b_1 \\ 1 & c_1 \end{array}$$

dengan

$$b_1 = \frac{C_1 C_2 - C_3}{C_1}$$

$$c_1 = \frac{b_1 C_3}{b_1}$$

$$= C_3$$

Persamaan (4.6a) akan memiliki akar-akar negatif jika dan hanya jika $C_1, C_2, C_3 > 0$ dan $C_1 C_2 > C_3$.

Lampiran H. Lanjutan

Menentukan syarat untuk Persamaan (4.6b)

$$\lambda^4 + D_1\lambda^3 + D_2\lambda^2 + D_3\lambda + D_4 = 0 \quad (4.6b)$$

$$\begin{array}{c|ccc} \lambda^4 & 1 & D_2 & D_4 \\ \lambda^3 & D_1 & D_3 & \\ \lambda^2 & b_1 & b_2 & \\ \lambda & c_1 & & \\ 1 & d_1 & & \end{array}$$

dengan

$$b_1 = \frac{D_1 D_2 - D_3}{D_1}$$

$$b_2 = \frac{D_1 D_4}{D_1}$$

$$= D_4$$

$$c_1 = \frac{b_1 D_3 - D_1 b_2}{b_1}$$

$$= \left(\frac{(D_1 D_2 - D_3)}{D_1} D_3 - D_1 D_4 \right) \frac{D_1}{(D_1 D_2 - D_3)}$$

$$= \left(\frac{(D_1 D_2 - D_3)}{D_1} D_3 \times \frac{D_1}{(D_1 D_2 - D_3)} \right)$$

$$- \left(D_1 D_4 \times \frac{D_1}{(D_1 D_2 - D_3)} \right)$$

$$= D_3 - \frac{{D_1}^2 D_4}{(D_1 D_2 - D_3)}$$

Lampiran H. Lanjutan

$$= \frac{(D_1 D_2 - D_3) D_3 - D_1^2 D_4}{(D_1 D_2 - D_3)}$$

$$d_1 = \frac{c_1 b_2 - b_1 c_2}{c_1}$$

$$= \left[\left(\frac{(D_1 D_2 - D_3) D_3 - D_1^2 D_4}{(D_1 D_2 - D_3)} \right) D_4 \right] \left(\frac{(D_1 D_2 - D_3)}{(D_1 D_2 - D_3) D_3 - D_1^2 D_4} \right)$$

$$= D_4$$

Persamaan (4.6b) akan memiliki akar-akar negatif jika dan hanya jika

$$\leftrightarrow D_1, D_2, D_3, D_4 > 0$$

$$\leftrightarrow D_1 D_2 > D_3$$

$$\leftrightarrow (D_1 D_2 - D_3) D_3 - D_1^2 D_4$$

Menentukan syarat untuk Persamaan (4.6c)

$$\lambda^2 + F_1 \lambda + F_2 = 0 \quad (4.6c)$$

$$\begin{array}{c|cc} \lambda^2 & 1 & F_2 \\ \lambda & F_1 \\ 1 & b_1 \end{array}$$

dengan

$$b_1 = \frac{F_1 F_2}{F_1}$$

Persamaan (4.6c) akan memiliki akar-akar negatif jika dan hanya jika $F_1, F_2 > 0$.

Lampiran I. Perhitungan Persamaan Karakteristik Titik Setimbang Endemik Pneumonia $(E_0)_2$

Substitusi titik setimbang $(E_0)_2 = (S^p, 0, E_2^p, 0, 0, I_2^p, 0, R_1^p, R_2^p)$ pada matrik Jacobian, sehingga diperoleh

$$J_{(E_0)_2} = \begin{pmatrix} -d_1 - \mu & 0 & 0 & 0 & -d_7 & -d_{10} & -d_{12} - d_{13} & 0 & 0 \\ 0 & -d_2 - d_1 & 0 & 0 & d_7 & 0 & d_{12} & 0 & 0 \\ d_1 & 0 & -d_3 & 0 & -d_8 & d_{10} & d_{13} - d_{14} & 0 & 0 \\ 0 & d_1 & 0 & -d_4 & d_8 & 0 & -d_{14} & 0 & 0 \\ 0 & \varepsilon_1 & 0 & d_5 & -d_9 & 0 & 0 & 0 & 0 \\ 0 & 0 & \varepsilon_2 & -d_5 & 0 & -d_{11} & 0 & 0 & 0 \\ 0 & 0 & 0 & d_6 & 0 & 0 & -d_{15} & 0 & 0 \\ 0 & 0 & 0 & 0 & \rho_1 & 0 & \rho_{10} & -d_{16} & \omega_2 \\ 0 & 0 & 0 & 0 & 0 & \rho_2 & \rho_{02} & \omega_1 & -d_{17} \end{pmatrix}$$

dengan

$$d_1 = \beta_1 I_1^p \quad d_{10} = \beta_2 S^p$$

$$d_2 = \mu + \varepsilon_1 \quad d_{11} = \mu + \rho_2$$

$$d_3 = \mu + \varepsilon_2 \quad d_{12} = \beta_{10} S^p$$

$$d_4 = \mu + \varepsilon_{10} + \varepsilon_{02} \quad d_{13} = \beta_{02} S^p$$

$$d_5 = \varepsilon_{10} - \varepsilon_{02} \quad d_{14} = \beta_{10} E_2^p$$

$$d_6 = \varepsilon_{02} + \varepsilon_{10} \quad d_{15} = \mu + \rho_{10} + \rho_{02}$$

$$d_7 = \beta_1 S^p \quad d_{16} = \mu + \omega_1$$

$$d_8 = \beta_1 E_2^p \quad d_{17} = \mu + \omega_2$$

$$d_9 = \mu + \rho_1$$

Selanjutnya dicari nilai eigen dari matriks di atas dengan langkah-langkah sebagai berikut:

$$\det(\lambda I - J_{(E_0)_2}) = 0$$

Lampiran I. Lanjutan

$$\leftrightarrow \left| \begin{array}{ccccccc} \lambda + d_1 + \mu & 0 & 0 & 0 & d_7 & d_{10} & d_{12} + d_{13} \\ 0 & \lambda + d_2 + d_1 & 0 & 0 & -d_7 & 0 & -d_{12} \\ -d_1 & 0 & \lambda + d_3 & 0 & d_8 & -d_{10} & -d_{13} + d_{14} \\ 0 & -d_1 & 0 & \lambda + d_4 & -d_8 & 0 & d_{14} \\ 0 & -\varepsilon_1 & 0 & -d_5 & \lambda + d_9 & 0 & 0 \\ 0 & 0 & -\varepsilon_2 & d_5 & 0 & 0 & 0 \\ 0 & 0 & 0 & -d_6 & 0 & \lambda + d_{11} & 0 \\ 0 & 0 & 0 & 0 & -\rho_1 & 0 & \lambda + d_{15} \\ 0 & 0 & 0 & 0 & 0 & -\rho_{10} & \lambda + d_{16} \\ 0 & 0 & 0 & 0 & 0 & -\rho_{02} & -\omega_1 \\ \end{array} \right| = 0$$

$$\leftrightarrow (\lambda + d_1 + \mu) \left| \begin{array}{ccccccc} \lambda + d_2 + d_1 & 0 & 0 & -d_7 & 0 & -d_{12} & 0 \\ 0 & \lambda + d_3 & 0 & d_8 & -d_{10} & -d_{13} + d_{14} & 0 \\ -d_1 & 0 & \lambda + d_4 & -d_8 & 0 & d_{14} & 0 \\ -\varepsilon_1 & 0 & -d_5 & \lambda + d_9 & 0 & 0 & 0 \\ 0 & -\varepsilon_2 & d_5 & 0 & \lambda + d_{11} & 0 & 0 \\ 0 & 0 & -d_6 & 0 & 0 & \lambda + d_{15} & 0 \\ 0 & 0 & 0 & -\rho_1 & 0 & -\rho_{10} & \lambda + d_{16} \\ 0 & 0 & 0 & 0 & -\rho_2 & -\rho_{02} & -\omega_1 \\ \end{array} \right| = 0$$

$$\left| \begin{array}{ccccccc} 0 & 0 & 0 & d_7 & d_{10} & d_{12} + d_{13} & 0 \\ \lambda + d_2 + d_1 & 0 & 0 & -d_7 & 0 & -d_{12} & 0 \\ -d_1 & 0 & \lambda + d_4 & -d_8 & 0 & d_{14} & 0 \\ -\varepsilon_1 & 0 & -d_5 & \lambda + d_9 & 0 & 0 & 0 \\ 0 & -\varepsilon_2 & d_5 & 0 & \lambda + d_{11} & 0 & 0 \\ 0 & 0 & -d_6 & 0 & 0 & \lambda + d_{15} & 0 \\ 0 & 0 & 0 & -\rho_1 & 0 & -\rho_{10} & \lambda + d_{16} \\ 0 & 0 & 0 & 0 & -\rho_2 & -\rho_{02} & -\omega_1 \\ \end{array} \right| = 0$$

$$\leftrightarrow (\lambda + d_1 + \mu)(\lambda + d_3) \left| \begin{array}{ccccccc} \lambda + d_2 + d_1 & 0 & -d_7 & 0 & -d_{12} & 0 & 0 \\ -d_1 & \lambda + d_4 & -d_8 & 0 & 0 & d_{14} & 0 \\ -\varepsilon_1 & -d_5 & \lambda + d_9 & 0 & 0 & 0 & 0 \\ 0 & d_5 & 0 & \lambda + d_{11} & 0 & 0 & 0 \\ 0 & -d_6 & 0 & 0 & \lambda + d_{15} & 0 & 0 \\ 0 & 0 & -\rho_1 & 0 & -\rho_{10} & \lambda + d_{16} & -\omega_2 \\ 0 & 0 & 0 & -\rho_2 & -\rho_{02} & -\omega_1 & \lambda + d_{17} \\ \end{array} \right|$$

$$+(\lambda + d_1 + \mu)\varepsilon_2 \left| \begin{array}{ccccccc} \lambda + d_2 + d_1 & 0 & -d_7 & 0 & -d_{12} & 0 & 0 \\ 0 & 0 & d_8 & -d_{10} & -d_{13} + d_{14} & 0 & 0 \\ -d_1 & \lambda + d_4 & -d_8 & 0 & 0 & d_{14} & 0 \\ -\varepsilon_1 & -d_5 & \lambda + d_9 & 0 & 0 & 0 & 0 \\ 0 & -d_6 & 0 & 0 & \lambda + d_{15} & 0 & 0 \\ 0 & 0 & -\rho_1 & 0 & -\rho_{10} & \lambda + d_{16} & -\omega_2 \\ 0 & 0 & 0 & -\rho_2 & -\rho_{02} & -\omega_1 & \lambda + d_{17} \\ \end{array} \right|$$

$$\left| \begin{array}{ccccccc} 0 & 0 & d_7 & d_{10} & d_{12} + d_{13} & 0 & 0 \\ \lambda + d_2 + d_1 & 0 & -d_7 & 0 & -d_{12} & 0 & 0 \\ -d_1 & \lambda + d_4 & -d_8 & 0 & 0 & d_{14} & 0 \\ -\varepsilon_1 & -d_5 & \lambda + d_9 & 0 & 0 & 0 & 0 \\ 0 & -d_6 & 0 & 0 & \lambda + d_{15} & 0 & 0 \\ 0 & 0 & -\rho_1 & 0 & -\rho_{10} & \lambda + d_{16} & -\omega_2 \\ 0 & 0 & 0 & -\rho_2 & -\rho_{02} & -\omega_1 & \lambda + d_{17} \\ \end{array} \right| = 0$$

Lampiran I. Lanjutan

$$\leftrightarrow (\lambda + d_1 + \mu)(\lambda + d_3)\omega_2 \begin{vmatrix} \lambda + d_2 + d_1 & 0 & -d_7 & 0 & -d_{12} & 0 \\ -d_1 & \lambda + d_4 & -d_8 & 0 & d_{14} & 0 \\ -\varepsilon_1 & -d_5 & \lambda + d_9 & 0 & 0 & 0 \\ 0 & d_5 & 0 & \lambda + d_{11} & 0 & 0 \\ 0 & -d_6 & 0 & 0 & \lambda + d_{15} & 0 \\ 0 & 0 & 0 & -\rho_2 & -\rho_{02} & -\omega_1 \end{vmatrix}$$

$$+ (\lambda + d_1 + \mu)(\lambda + d_3)(\lambda + d_{17}) \begin{vmatrix} \lambda + d_2 + d_1 & 0 & -d_7 & 0 & -d_{12} & 0 \\ -d_1 & \lambda + d_4 & -d_8 & 0 & d_{14} & 0 \\ -\varepsilon_1 & -d_5 & \lambda + d_9 & 0 & 0 & 0 \\ 0 & d_5 & 0 & \lambda + d_{11} & 0 & 0 \\ 0 & -d_6 & 0 & 0 & \lambda + d_{15} & 0 \\ 0 & 0 & -\rho_1 & 0 & -\rho_{10} & \lambda + d_{16} \end{vmatrix}$$

$$+ (\lambda + d_1 + \mu)\varepsilon_2\omega_2 \begin{vmatrix} \lambda + d_2 + d_1 & 0 & -d_7 & 0 & -d_{12} & 0 \\ 0 & 0 & d_8 & -d_{10} & -d_{13} + d_{14} & 0 \\ -d_1 & \lambda + d_4 & -d_8 & 0 & d_{14} & 0 \\ -\varepsilon_1 & -d_5 & \lambda + d_9 & 0 & 0 & 0 \\ 0 & -d_6 & 0 & 0 & \lambda + d_{15} & 0 \\ 0 & 0 & 0 & -\rho_2 & -\rho_{02} & -\omega_1 \end{vmatrix}$$

$$+ (\lambda + d_1 + \mu)\varepsilon_2(\lambda + d_{17}) \begin{vmatrix} \lambda + d_2 + d_1 & 0 & -d_7 & 0 & -d_{12} & 0 \\ 0 & 0 & d_8 & -d_{10} & -d_{13} + d_{14} & 0 \\ -d_1 & \lambda + d_4 & -d_8 & 0 & d_{14} & 0 \\ -\varepsilon_1 & -d_5 & \lambda + d_9 & 0 & 0 & 0 \\ 0 & -d_6 & 0 & 0 & \lambda + d_{15} & 0 \\ 0 & 0 & -\rho_1 & 0 & -\rho_{10} & \lambda + d_{16} \end{vmatrix}$$

$$-d_1\varepsilon_2\omega_2 \begin{vmatrix} 0 & 0 & d_7 & d_{10} & d_{12} + d_{13} & 0 \\ \lambda + d_2 + d_1 & 0 & -d_7 & 0 & -d_{12} & 0 \\ -d_1 & \lambda + d_4 & -d_8 & 0 & d_{14} & 0 \\ -\varepsilon_1 & -d_5 & \lambda + d_9 & 0 & 0 & 0 \\ 0 & -d_6 & 0 & 0 & \lambda + d_{15} & 0 \\ 0 & 0 & 0 & -\rho_2 & -\rho_{02} & -\omega_1 \end{vmatrix}$$

$$-d_1\varepsilon_2(\lambda + d_{17}) \begin{vmatrix} 0 & 0 & d_7 & d_{10} & d_{12} + d_{13} & 0 \\ \lambda + d_2 + d_1 & 0 & -d_7 & 0 & -d_{12} & 0 \\ -d_1 & \lambda + d_4 & -d_8 & 0 & d_{14} & 0 \\ -\varepsilon_1 & -d_5 & \lambda + d_9 & 0 & 0 & 0 \\ 0 & -d_6 & 0 & 0 & \lambda + d_{15} & 0 \\ 0 & 0 & -\rho_1 & 0 & -\rho_{10} & \lambda + d_{16} \end{vmatrix} = 0$$

Lampiran I. Lanjutan

$$\leftrightarrow (\lambda + d_1 + \mu)(\lambda + d_3) \begin{vmatrix} \lambda + d_2 + d_1 & 0 & -d_7 & 0 & -d_{12} \\ -d_1 & \lambda + d_4 & -d_8 & 0 & d_{14} \\ -\varepsilon_1 & -d_5 & \lambda + d_9 & 0 & 0 \\ 0 & d_5 & 0 & \lambda + d_{11} & 0 \\ 0 & -d_6 & 0 & 0 & \lambda + d_{15} \end{vmatrix} [-\omega_1 \omega_2] \\
 + (\lambda + d_{17})(\lambda + d_{16})] \\
 + (\lambda + d_1 + \mu)\varepsilon_2 \begin{vmatrix} \lambda + d_2 + d_1 & 0 & -d_7 & 0 & -d_{12} \\ 0 & 0 & d_8 & -d_{10} & -d_{13} + d_{14} \\ -d_1 & \lambda + d_4 & -d_8 & 0 & d_{14} \\ -\varepsilon_1 & -d_5 & \lambda + d_9 & 0 & 0 \\ 0 & -d_6 & 0 & 0 & \lambda + d_{15} \end{vmatrix} [-\omega_1 \omega_2] \\
 + (\lambda + d_{17})(\lambda + d_{16})] \\
 -d_1 \varepsilon_2 \begin{vmatrix} 0 & 0 & d_7 & d_{10} & d_{12} + d_{13} \\ \lambda + d_2 + d_1 & 0 & -d_7 & 0 & -d_{12} \\ -d_1 & \lambda + d_4 & -d_8 & 0 & d_{14} \\ -\varepsilon_1 & -d_5 & \lambda + d_9 & 0 & 0 \\ 0 & -d_6 & 0 & 0 & \lambda + d_{15} \end{vmatrix} [-\omega_1 \omega_2] \\
 + (\lambda + d_{17})(\lambda + d_{16})] = 0 \\
 \leftrightarrow (\lambda + d_1 + \mu)(\lambda + d_3)(\lambda + d_{11}) \begin{vmatrix} \lambda + d_2 + d_1 & 0 & -d_7 & -d_{12} \\ -d_1 & \lambda + d_4 & -d_8 & d_{14} \\ -\varepsilon_1 & -d_5 & \lambda + d_9 & 0 \\ 0 & -d_6 & 0 & \lambda + d_{15} \end{vmatrix} [-\omega_1 \omega_2] \\
 + (\lambda + d_{17})(\lambda + d_{16})] \\
 -(\lambda + d_1 + \mu)\varepsilon_2 d_{10} \begin{vmatrix} \lambda + d_2 + d_1 & 0 & -d_7 & -d_{12} \\ -d_1 & \lambda + d_4 & -d_8 & d_{14} \\ -\varepsilon_1 & -d_5 & \lambda + d_9 & 0 \\ 0 & -d_6 & 0 & \lambda + d_{15} \end{vmatrix} [-\omega_1 \omega_2] \\
 + (\lambda + d_{17})(\lambda + d_{16})] \\
 + d_1 \varepsilon_2 d_{10} \begin{vmatrix} \lambda + d_2 + d_1 & 0 & -d_7 & -d_{12} \\ -d_1 & \lambda + d_4 & -d_8 & d_{14} \\ -\varepsilon_1 & -d_5 & \lambda + d_9 & 0 \\ 0 & -d_6 & 0 & \lambda + d_{15} \end{vmatrix} [-\omega_1 \omega_2 + (\lambda + d_{17})(\lambda + d_{16})] \\
 = 0 \\
 \leftrightarrow [(\lambda + d_1 + \mu)[(\lambda + d_3)(\lambda + d_{11}) - \varepsilon_2 d_{10}] \\
 + d_1 \varepsilon_2 d_{10}] \begin{vmatrix} \lambda + d_2 + d_1 & 0 & -d_7 & -d_{12} \\ -d_1 & \lambda + d_4 & -d_8 & d_{14} \\ -\varepsilon_1 & -d_5 & \lambda + d_9 & 0 \\ 0 & -d_6 & 0 & \lambda + d_{15} \end{vmatrix} [-\omega_1 \omega_2] \\
 + (\lambda + d_{17})(\lambda + d_{16})] = 0$$

Lampiran I. Lanjutan

$$\begin{aligned}
& \leftrightarrow [(\lambda + d_1 + \mu)[(\lambda + d_3)(\lambda + d_{11}) - \varepsilon_2 d_{10}] \\
& \quad + d_1 \varepsilon_2 d_{10}] \left[(\lambda + d_2 + d_1) \begin{vmatrix} \lambda + d_4 & -d_8 & d_{14} \\ -d_5 & \lambda + d_9 & 0 \\ -d_6 & 0 & \lambda + d_{15} \end{vmatrix} \right. \\
& \quad + d_1 \left. \begin{vmatrix} 0 & -d_7 & -d_{12} \\ -d_5 & \lambda + d_9 & 0 \\ -d_6 & 0 & \lambda + d_{15} \end{vmatrix} - \varepsilon_1 \begin{vmatrix} 0 & -d_7 & -d_{12} \\ \lambda + d_4 & -d_8 & d_{14} \\ -d_6 & 0 & \lambda + d_{15} \end{vmatrix} \right] [-\omega_1 \omega_2 \\
& \quad + (\lambda + d_{17})(\lambda + d_{16})] = 0
\end{aligned}$$

$$\begin{aligned}
& \leftrightarrow [(\lambda + d_1 + \mu)[(\lambda + d_3)(\lambda + d_{11}) - \varepsilon_2 d_{10}] \\
& \quad + d_1 \varepsilon_2 d_{10}] \left[(\lambda + d_2 + d_1) \begin{vmatrix} -d_5 & \lambda + d_9 \\ -d_6 & 0 \end{vmatrix} \right. \\
& \quad + (\lambda + d_{15}) \begin{vmatrix} \lambda + d_4 & -d_8 \\ -d_5 & \lambda + d_9 \end{vmatrix} \\
& \quad + d_1 \left. \begin{vmatrix} -d_5 & \lambda + d_9 \\ -d_{12} & 0 \end{vmatrix} + (\lambda + d_{15}) \begin{vmatrix} 0 & -d_7 \\ -d_5 & \lambda + d_9 \end{vmatrix} \right. \\
& \quad \left. - \varepsilon_1 \begin{vmatrix} \lambda + d_4 & d_{14} \\ -d_6 & \lambda + d_{15} \end{vmatrix} - d_8 \begin{vmatrix} 0 & -d_{12} \\ -d_6 & \lambda + d_{15} \end{vmatrix} \right] [-\omega_1 \omega_2 \\
& \quad + (\lambda + d_{17})(\lambda + d_{16})] = 0
\end{aligned}$$

$$\begin{aligned}
& \leftrightarrow [(\lambda + d_1 + \mu)[(\lambda + d_3)(\lambda + d_{11}) - \varepsilon_2 d_{10}] \\
& \quad + d_1 \varepsilon_2 d_{10}] \left[(\lambda + d_2 + d_1) [d_{14} d_6 (\lambda + d_9) \right. \\
& \quad + (\lambda + d_{15}) [(\lambda + d_4)(\lambda + d_9) - d_5 d_8]] \\
& \quad + d_1 [-d_{12} d_6 (\lambda + d_9) - d_5 d_7 (\lambda + d_{15})] \\
& \quad \left. - \varepsilon_1 [d_7 [(\lambda + d_4)(\lambda + d_{15}) + d_6 d_{14}] + d_8 d_{12} d_6] \right] [-\omega_1 \omega_2 \\
& \quad + (\lambda + d_{17})(\lambda + d_{16})] = 0
\end{aligned}$$

$$\begin{aligned}
& \leftrightarrow [\lambda^3 + (d_3 + d_{11} + d_1 + \mu)\lambda^2 \\
& \quad + (d_3 d_{11} - \varepsilon_2 d_{10} + d_1 d_3 + \mu d_3 + d_1 d_{11} + \mu d_{11})\lambda \\
& \quad + d_1 d_3 d_{11} + \mu d_3 d_{11} - d_1 \varepsilon_2 d_{10} + \mu \varepsilon_2 d_{10} + d_1 \varepsilon_2 d_{10}] [\lambda^4 \\
& \quad + (d_{15} + d_4 + d_9 + d_2 + d_1)\lambda^3 \\
& \quad + (d_4 d_{15} + d_9 d_{15} + d_9 d_4 + d_{14} d_6 - d_5 d_8 + d_2 d_{15} \\
& \quad + d_1 d_{15} + d_2 d_4 + d_1 d_4 + d_2 d_9 + d_1 d_9 - \varepsilon_1 d_7)\lambda^2 \\
& \quad + (d_9 d_4 d_{15} - d_5 d_8 d_{15} + d_{14} d_6 d_9 + d_2 d_4 d_{15} + d_1 d_4 d_{15} \\
& \quad + d_2 d_9 d_{15} + d_1 d_9 d_{15} + d_2 d_9 d_4 + d_1 d_9 d_4 + d_2 d_{14} d_6 \\
& \quad + d_1 d_{14} d_6 - d_2 d_5 d_8 - d_5 d_8 d_1 - d_1 d_{12} d_6 - d_1 d_5 d_7 \\
& \quad - \varepsilon_1 d_7 d_4 - \varepsilon_1 d_7 d_{15})\lambda + d_2 d_9 d_4 d_{15} + d_9 d_4 d_{15} d_1 \\
& \quad - d_2 d_5 d_8 d_{15} - d_5 d_8 d_{15} d_1 + d_2 d_{14} d_6 d_9 + d_{14} d_6 d_9 d_1 \\
& \quad - d_1 d_{12} d_6 d_9 - d_1 d_5 d_7 d_{15} - \varepsilon_1 d_7 d_4 d_{15} - \varepsilon_1 d_7 d_6 d_{14} \\
& \quad - \varepsilon_1 d_8 d_{12} d_6] [\lambda^2 + (d_{17} + d_{16})\lambda + d_{16} d_{17} - \omega_1 \omega_2] = 0
\end{aligned}$$

Lampiran I. Lanjutan

Sehingga diperoleh persamaan karkteristik untuk titik setimbang endemik pneumonia sebagai berikut

$$\leftrightarrow [\lambda^3 + G_1\lambda^2 + G_2\lambda + G_3][\lambda^4 + H_1\lambda^3 + H_2\lambda^2 + H_3\lambda + H_4][\lambda^2 + K_1\lambda + K_2] = 0$$

dengan

$$G_1 = d_3 + d_{11} + d_1 + \mu$$

$$G_2 = d_3d_{11} - \varepsilon_2d_{10} + d_1d_3 + \mu d_3 + d_1d_{11} + \mu d_{11}$$

$$G_3 = d_1d_3d_{11} + \mu d_3d_{11} - d_1\varepsilon_2d_{10} + \mu\varepsilon_2d_{10} + d_1\varepsilon_2d_{10}$$

$$H_1 = d_{15} + d_4 + d_9 + d_2 + d_1$$

$$H_2 = d_4d_{15} + d_9d_{15} + d_9d_4 + d_{14}d_6 - d_5d_8 + d_2d_{15} + d_1d_{15} \\ + d_2d_4 + d_1d_4 + d_2d_9 + d_1d_9 - \varepsilon_1d_7$$

$$H_3 = d_9d_4d_{15} - d_5d_8d_{15} + d_{14}d_6d_9 + d_2d_4d_{15} + d_1d_4d_{15} \\ + d_2d_9d_{15} + d_1d_9d_{15} + d_2d_9d_4 + d_1d_9d_4 + d_2d_{14}d_6 \\ + d_1d_{14}d_6 - d_2d_5d_8 - d_5d_8d_1 - d_1d_{12}d_6 - d_1d_5d_7 \\ - \varepsilon_1d_7d_4 - \varepsilon_1d_7d_{15}$$

$$H_4 = d_2d_9d_4d_{15} + d_9d_4d_{15}d_1 - d_2d_5d_8d_{15} - d_5d_8d_{15}d_1 \\ + d_2d_{14}d_6d_9 + d_{14}d_6d_9d_1 - d_1d_{12}d_6d_9 - d_1d_5d_7d_{15} \\ - \varepsilon_1d_7d_4d_{15} - \varepsilon_1d_7d_6d_{14} - \varepsilon_1d_8d_{12}d_6$$

$$K_1 = d_{17} + d_{16}$$

$$K_2 = d_{16}d_{17} - \omega_1\omega_2$$

Lampiran J. Perhitungan Kriteria Routh-Hurwitz Persamaan Karakteristik Titik Setimbang Endemik Pneumonia $(E_0)_2$

Menentukan syarat untuk Persamaan (4.7) agar memiliki akar-akar negatif dengan menggunakan kriteria Routh-Hurwitz

$$[\lambda^3 + G_1\lambda^2 + G_2\lambda + G_3][\lambda^4 + H_1\lambda^3 + H_2\lambda^2 + H_3\lambda + H_4][\lambda^2 + K_1\lambda + K_2] = 0 \quad (4.7)$$

Persamaan karakteristik (4.7) dapat ditulis sebagai

$$\lambda^3 + G_1\lambda^2 + G_2\lambda + G_3 = 0 \quad (4.7a)$$

$$\lambda^4 + H_1\lambda^3 + H_2\lambda^2 + H_3\lambda + H_4 = 0 \quad (4.7b)$$

$$\lambda^2 + K_1\lambda + K_2 = 0 \quad (4.7c)$$

Menentukan syarat untuk Persamaan (4.7a)

$$\lambda^3 + G_1\lambda^2 + G_2\lambda + G_3 = 0 \quad (4.7a)$$

$$\begin{array}{c|cc} \lambda^3 & 1 & G_2 \\ \lambda^2 & G_1 & G_3 \\ \lambda & b_1 \\ 1 & c_1 \end{array}$$

dengan

$$b_1 = \frac{G_1 G_2 - G_3}{G_1}$$

$$c_1 = \frac{b_1 G_3}{b_1}$$

$$= G_3$$

Persamaan (4.7a) akan memiliki akar-akar negatif jika dan hanya jika $G_1, G_2, G_3 > 0$. Dan $G_1 G_2 > G_3$.

Lampiran J. Lanjutan

Menentukan syarat untuk Persamaan (4.7b)

$$\lambda^4 + H_1\lambda^3 + H_2\lambda^2 + H_3\lambda + H_4 = 0 \quad (4.6b)$$

$$\begin{array}{c|ccc} \lambda^4 & 1 & H_2 & H_4 \\ \lambda^3 & H_1 & H_3 & \\ \lambda^2 & b_1 & b_2 & \\ \lambda & c_1 & & \\ 1 & d_1 & & \end{array}$$

dengan

$$b_1 = \frac{H_1 H_2 - H_3}{H_1}$$

$$b_2 = \frac{H_1 H_4}{H_1}$$

$$= H_4$$

$$c_1 = \frac{b_1 H_3 - H_1 b_2}{b_1}$$

$$= \left(\frac{(H_1 H_2 - H_3)}{H_1} H_3 - H_1 H_4 \right) \frac{H_1}{(H_1 H_2 - H_3)}$$

$$= \left(\frac{(H_1 H_2 - H_3)}{H_1} H_3 \times \frac{H_1}{(H_1 H_2 - H_3)} \right)$$

$$- \left(H_1 H_4 \times \frac{H_1}{(H_1 H_2 - H_3)} \right)$$

$$= H_3 - \frac{H_1^2 H_4}{(H_1 H_2 - H_3)}$$

Lampiran J. Lanjutan

$$\begin{aligned}
 &= \frac{(H_1 H_2 - H_3) H_3 - H_1^2 H_4}{(H_1 H_2 - H_3)} \\
 d_1 &= \frac{c_1 b_2 - b_1 c_2}{c_1} \\
 &= \left[\left(\frac{(H_1 H_2 - H_3) H_3 - H_1^2 H_4}{(H_1 H_2 - H_3)} \right) H_4 \right] \left(\frac{(H_1 H_2 - H_3)}{(H_1 H_2 - H_3) H_3 - H_1^2 H_4} \right) \\
 &= H_4
 \end{aligned}$$

Persamaan (4.7b) akan memiliki akar-akar negatif jika dan hanya jika

$$\begin{aligned}
 &\leftrightarrow H_1, H_2, H_3, H_4 > 0 \\
 &\leftrightarrow H_1 H_2 > H_3 \\
 &\leftrightarrow (H_1 H_2 - H_3) H_3 - H_1^2 H_4
 \end{aligned}$$

Menentukan syarat untuk Persamaan (4.7c)

$$\lambda^2 + K_1 \lambda + K_2 = 0 \quad (4.7c)$$

$$\begin{array}{c|cc}
 \lambda^2 & 1 & K_2 \\
 \lambda & K_1 & \\
 1 & b_1 &
 \end{array}$$

dengan

$$b_1 = \frac{K_1 K_2}{K_1}$$

Persamaan (4.7c) akan memiliki akar-akar negatif jika dan hanya jika $K_1, K_2 > 0$.

Lampiran K. Perhitungan Persamaan Karakteristik Titik Setimbang Endemik *Co-infection Chlamydia-Pneumonia* (E_0)₃

Substitusi titik setimbang

$(E_0)_3 = (S^{cp}, E_1^{cp}, E_2^{cp}, E_{12}^{cp}, I_1^{cp}, I_2^{cp}, I_{12}^{cp}, R_1^{cp}, R_2^{cp})$ pada matrik Jacobian, sehingga diperoleh

$$J_{(E_0)_3} = \begin{pmatrix} -e_1 - e_2 - \mu & 0 & 0 & 0 & -e_8 & -e_{11} & -e_{14} - e_{15} & 0 & 0 \\ e_1 & -e_3 - e_2 & 0 & 0 & e_8 & -e_{12} & e_{14} - e_{16} & 0 & 0 \\ e_2 & 0 & -e_4 - e_1 & 0 & -e_9 & e_{11} & e_{15} - e_{17} & 0 & 0 \\ 0 & e_2 & e_1 & -e_5 & e_9 & e_{12} & e_{16} - e_{17} & 0 & 0 \\ 0 & e_1 & 0 & e_6 & -e_{10} & 0 & 0 & 0 & 0 \\ 0 & 0 & \varepsilon_2 & -e_6 & 0 & -e_{13} & 0 & 0 & 0 \\ 0 & 0 & 0 & e_7 & 0 & 0 & -e_{18} & 0 & 0 \\ 0 & 0 & 0 & 0 & \rho_1 & 0 & \rho_{10} & -e_{19} & \omega_2 \\ 0 & 0 & 0 & 0 & 0 & \rho_2 & \rho_{02} & \omega_1 & -e_{20} \end{pmatrix}$$

dengan

$$e_1 = \beta_1 I_1^{cp} + \beta_{10} I_{12}^{cp} \quad e_{11} = \beta_2 S^{cp}$$

$$e_2 = \beta_2 I_2^{cp} + \beta_{02} I_{12}^{cp} \quad e_{12} = \beta_2 E_1^{cp}$$

$$e_3 = \mu + \varepsilon_1 \quad e_{13} = \mu + \rho_2$$

$$e_4 = \mu + \varepsilon_2 \quad e_{14} = \beta_{10} S^{cp}$$

$$e_5 = \mu + \varepsilon_{10} + \varepsilon_{02} \quad e_{15} = \beta_{02} S^{cp}$$

$$e_6 = \varepsilon_{10} - \varepsilon_{02} \quad e_{16} = \beta_{02} E_1^{cp}$$

$$e_7 = \varepsilon_{02} + \varepsilon_{10} \quad e_{17} = \beta_{10} E_2^{cp}$$

$$e_8 = \beta_1 S^{cp} \quad e_{18} = \mu + \rho_{10} + \rho_{02}$$

$$e_9 = \beta_1 E_2^{cp} \quad e_{19} = \mu + \omega_1$$

$$e_{10} = \mu + \rho_1 \quad e_{20} = \mu + \omega_2$$

Lampiran K. Lanjutan

Selanjutnya dicari nilai eigen dari matriks di atas dengan langkah-langkah sebagai berikut:

$$\det(\lambda I - J_{(E_0)_3}) = 0$$

$$\leftrightarrow \left| \begin{array}{ccccccccc} \lambda + e_1 + e_2 + \mu & 0 & 0 & e_8 & e_{11} & e_{14} + e_{15} & 0 & 0 \\ -e_1 & \lambda + e_3 + e_2 & 0 & -e_8 & e_{12} & -e_{14} + e_{16} & 0 & 0 \\ -e_2 & 0 & \lambda + e_4 + e_1 & 0 & e_9 & -e_{11} & -e_{15} + e_{17} & 0 \\ 0 & -e_2 & -e_1 & \lambda + e_5 & -e_9 & -e_{12} & -e_{16} + e_{17} & 0 \\ 0 & -e_1 & 0 & -e_6 & 0 & 0 & 0 & 0 \\ 0 & 0 & -e_2 & e_6 & 0 & \lambda + e_{13} & 0 & 0 \\ 0 & 0 & 0 & -e_7 & 0 & 0 & \lambda + e_{18} & 0 \\ 0 & 0 & 0 & 0 & -\rho_1 & 0 & -\rho_{10} & \lambda + e_{19} \\ 0 & 0 & 0 & 0 & 0 & -\rho_2 & -\rho_{02} & -\omega_1 \end{array} \right| = 0$$

$$\leftrightarrow \omega_2 \left| \begin{array}{ccccccccc} \lambda + e_1 + e_2 + \mu & 0 & 0 & 0 & e_8 & e_{11} & e_{14} + e_{15} & 0 \\ -e_1 & \lambda + e_3 + e_2 & 0 & 0 & -e_8 & e_{12} & -e_{14} + e_{16} & 0 \\ -e_2 & 0 & \lambda + e_4 + e_1 & 0 & e_9 & -e_{11} & -e_{15} + e_{17} & 0 \\ 0 & -e_2 & -e_1 & \lambda + e_5 & -e_9 & -e_{12} & -e_{16} + e_{17} & 0 \\ 0 & -e_1 & 0 & -e_6 & 0 & \lambda + e_{10} & 0 & 0 \\ 0 & 0 & -e_2 & e_6 & 0 & \lambda + e_{13} & 0 & 0 \\ 0 & 0 & 0 & -e_7 & 0 & 0 & \lambda + e_{18} & 0 \\ 0 & 0 & 0 & 0 & 0 & -\rho_2 & -\rho_{02} & -\omega_1 \end{array} \right|$$

$$+(\lambda + e_{20}) \left| \begin{array}{ccccccccc} \lambda + e_1 + e_2 + \mu & 0 & 0 & 0 & e_8 & e_{11} & e_{14} + e_{15} & 0 \\ -e_1 & \lambda + e_3 + e_2 & 0 & 0 & -e_8 & e_{12} & -e_{14} + e_{16} & 0 \\ -e_2 & 0 & \lambda + e_4 + e_1 & 0 & e_9 & -e_{11} & -e_{15} + e_{17} & 0 \\ 0 & -e_2 & -e_1 & \lambda + e_5 & -e_9 & -e_{12} & -e_{16} + e_{17} & 0 \\ 0 & -e_1 & 0 & -e_6 & 0 & \lambda + e_{10} & 0 & 0 \\ 0 & 0 & -e_2 & e_6 & 0 & \lambda + e_{13} & 0 & 0 \\ 0 & 0 & 0 & -e_7 & 0 & 0 & \lambda + e_{18} & 0 \\ 0 & 0 & 0 & 0 & -\rho_1 & 0 & -\rho_{10} & \lambda + e_{19} \end{array} \right| = 0$$

$$\leftrightarrow -\omega_1 \omega_2 \left| \begin{array}{ccccccccc} \lambda + e_1 + e_2 + \mu & 0 & 0 & 0 & e_8 & e_{11} & e_{14} + e_{15} & 0 \\ -e_1 & \lambda + e_3 + e_2 & 0 & 0 & -e_8 & e_{12} & -e_{14} + e_{16} & 0 \\ -e_2 & 0 & \lambda + e_4 + e_1 & 0 & e_9 & -e_{11} & -e_{15} + e_{17} & 0 \\ 0 & -e_2 & -e_1 & \lambda + e_5 & -e_9 & -e_{12} & -e_{16} + e_{17} & 0 \\ 0 & -e_1 & 0 & -e_6 & 0 & \lambda + e_{10} & 0 & 0 \\ 0 & 0 & -e_2 & e_6 & 0 & \lambda + e_{13} & 0 & 0 \\ 0 & 0 & 0 & -e_7 & 0 & 0 & \lambda + e_{18} & 0 \end{array} \right|$$

$$+(\lambda + e_{20})(\lambda + e_{19}) \left| \begin{array}{ccccccccc} \lambda + e_1 + e_2 + \mu & 0 & 0 & 0 & e_8 & e_{11} & e_{14} + e_{15} & 0 \\ -e_1 & \lambda + e_3 + e_2 & 0 & 0 & -e_8 & e_{12} & -e_{14} + e_{16} & 0 \\ -e_2 & 0 & \lambda + e_4 + e_1 & 0 & e_9 & -e_{11} & -e_{15} + e_{17} & 0 \\ 0 & -e_2 & -e_1 & \lambda + e_5 & -e_9 & -e_{12} & -e_{16} + e_{17} & 0 \\ 0 & -e_1 & 0 & -e_6 & 0 & \lambda + e_{10} & 0 & 0 \\ 0 & 0 & -e_2 & e_6 & 0 & \lambda + e_{13} & 0 & 0 \\ 0 & 0 & 0 & -e_7 & 0 & 0 & \lambda + e_{18} & 0 \end{array} \right| = 0$$

Lampiran K. Lanjutan

$$\begin{aligned}
 & \leftrightarrow [-\omega_1 \omega_2 + (\lambda + e_{20})(\lambda + e_{19})] \left| \begin{array}{cccccc} \lambda + e_1 + e_2 + \mu & 0 & 0 & 0 & e_8 & e_{11} & e_{14} + e_{15} \\ -e_1 & \lambda + e_3 + e_2 & 0 & 0 & -e_8 & e_{12} & -e_{14} + e_{16} \\ -e_2 & 0 & \lambda + e_4 + e_1 & 0 & e_9 & -e_{11} & -e_{15} + e_{17} \\ 0 & -e_2 & -e_1 & \lambda + e_5 & -e_9 & -e_{12} & -e_{16} + e_{17} \\ 0 & -e_1 & 0 & -e_6 & \lambda + e_{10} & 0 & 0 \\ 0 & 0 & -e_2 & e_6 & 0 & \lambda + e_{13} & 0 \\ 0 & 0 & 0 & -e_7 & 0 & 0 & \lambda + e_{18} \end{array} \right| = 0 \\
 & \leftrightarrow (\lambda + e_1 + e_2 + \mu) \left| \begin{array}{cccccc} \lambda + e_3 + e_2 & 0 & 0 & -e_8 & e_{12} & -e_{14} + e_{16} \\ 0 & \lambda + e_4 + e_1 & 0 & e_9 & -e_{11} & -e_{15} + e_{17} \\ -e_2 & -e_1 & \lambda + e_5 & -e_9 & -e_{12} & -e_{16} + e_{17} \\ -e_1 & 0 & -e_6 & \lambda + e_{10} & 0 & 0 \\ 0 & -e_2 & e_6 & 0 & \lambda + e_{13} & 0 \\ 0 & 0 & -e_7 & 0 & 0 & \lambda + e_{18} \end{array} \right| [-\omega_1 \omega_2 \\
 & \quad + (\lambda + e_{20})(\lambda + e_{19})] \\
 & + e_1 \left| \begin{array}{cccccc} 0 & 0 & 0 & e_8 & e_{11} & e_{14} + e_{15} \\ 0 & \lambda + e_4 + e_1 & 0 & e_9 & -e_{11} & -e_{15} + e_{17} \\ -e_2 & -e_1 & \lambda + e_5 & -e_9 & -e_{12} & -e_{16} + e_{17} \\ -e_1 & 0 & -e_6 & \lambda + e_{10} & 0 & 0 \\ 0 & -e_2 & e_6 & 0 & \lambda + e_{13} & 0 \\ 0 & 0 & -e_7 & 0 & 0 & \lambda + e_{18} \end{array} \right| [-\omega_1 \omega_2 + (\lambda + e_{20})(\lambda + e_{19})] \\
 & - e_2 \left| \begin{array}{cccccc} 0 & 0 & 0 & e_8 & e_{11} & e_{14} + e_{15} \\ \lambda + e_3 + e_2 & 0 & 0 & -e_8 & e_{12} & -e_{14} + e_{16} \\ -e_2 & -e_1 & \lambda + e_5 & -e_9 & -e_{12} & -e_{16} + e_{17} \\ -e_1 & 0 & -e_6 & \lambda + e_{10} & 0 & 0 \\ 0 & -e_2 & e_6 & 0 & \lambda + e_{13} & 0 \\ 0 & 0 & -e_7 & 0 & 0 & \lambda + e_{18} \end{array} \right| [-\omega_1 \omega_2 + (\lambda + e_{20})(\lambda + e_{19})] = 0 \\
 & \leftrightarrow (\lambda + e_1 + e_2 + \mu)(\lambda + e_3 + e_2) \left| \begin{array}{cccccc} \lambda + e_4 + e_1 & 0 & e_9 & -e_{11} & -e_{15} + e_{17} \\ -e_1 & \lambda + e_5 & -e_9 & -e_{12} & -e_{16} + e_{17} \\ 0 & -e_6 & \lambda + e_{10} & 0 & 0 \\ -e_2 & e_6 & 0 & \lambda + e_{13} & 0 \\ 0 & -e_7 & 0 & 0 & \lambda + e_{18} \end{array} \right| [-\omega_1 \omega_2 \\
 & \quad + (\lambda + e_{20})(\lambda + e_{19})] \\
 & - (\lambda + e_1 + e_2 + \mu)e_2 \left| \begin{array}{cccccc} 0 & 0 & -e_8 & e_{12} & -e_{14} + e_{16} \\ \lambda + e_4 + e_1 & 0 & e_9 & -e_{11} & -e_{15} + e_{17} \\ 0 & -e_6 & \lambda + e_{10} & 0 & 0 \\ -e_2 & e_6 & 0 & \lambda + e_{13} & 0 \\ 0 & -e_7 & 0 & 0 & \lambda + e_{18} \end{array} \right| [-\omega_1 \omega_2 \\
 & \quad + (\lambda + e_{20})(\lambda + e_{19})] \\
 & + (\lambda + e_1 + e_2 + \mu)\epsilon_1 \left| \begin{array}{cccccc} 0 & 0 & -e_8 & e_{12} & -e_{14} + e_{16} \\ \lambda + e_4 + e_1 & 0 & e_9 & -e_{11} & -e_{15} + e_{17} \\ -e_1 & \lambda + e_5 & -e_9 & -e_{12} & -e_{16} + e_{17} \\ -e_2 & e_6 & 0 & \lambda + e_{13} & 0 \\ 0 & -e_7 & 0 & 0 & \lambda + e_{18} \end{array} \right| [-\omega_1 \omega_2 \\
 & \quad + (\lambda + e_{20})(\lambda + e_{19})]
 \end{aligned}$$

Lampiran K. Lanjutan

$$-e_1 e_2 \begin{vmatrix} 0 & 0 & e_8 & e_{11} & e_{14} + e_{15} \\ \lambda + e_4 + e_1 & 0 & e_9 & -e_{11} & -e_{15} + e_{17} \\ 0 & -e_6 & \lambda + e_{10} & 0 & 0 \\ -\varepsilon_2 & e_6 & 0 & \lambda + e_{13} & 0 \\ 0 & -e_7 & 0 & 0 & \lambda + e_{18} \end{vmatrix} [-\omega_1 \omega_2 + (\lambda + e_{20})(\lambda + e_{19})]$$

$$+e_1 \varepsilon_1 \begin{vmatrix} 0 & 0 & e_8 & e_{11} & e_{14} + e_{15} \\ \lambda + e_4 + e_1 & 0 & e_9 & -e_{11} & -e_{15} + e_{17} \\ -e_1 & \lambda + e_5 & -e_9 & -e_{12} & -e_{16} + e_{17} \\ -\varepsilon_2 & e_6 & 0 & \lambda + e_{13} & 0 \\ 0 & -e_7 & 0 & 0 & \lambda + e_{18} \end{vmatrix} [-\omega_1 \omega_2 + (\lambda + e_{20})(\lambda + e_{19})]$$

$$-e_2 e_1 \begin{vmatrix} 0 & 0 & e_8 & e_{11} & e_{14} + e_{15} \\ \lambda + e_3 + e_2 & 0 & -e_8 & e_{12} & -e_{14} + e_{16} \\ -e_1 & -e_6 & \lambda + e_{10} & 0 & 0 \\ 0 & e_6 & 0 & \lambda + e_{13} & 0 \\ 0 & -e_7 & 0 & 0 & \lambda + e_{18} \end{vmatrix} [-\omega_1 \omega_2 + (\lambda + e_{20})(\lambda + e_{19})]$$

$$-e_2 \varepsilon_2 \begin{vmatrix} 0 & 0 & e_8 & e_{11} & e_{14} + e_{15} \\ \lambda + e_3 + e_2 & 0 & -e_8 & e_{12} & -e_{14} + e_{16} \\ -e_2 & \lambda + e_5 & -e_9 & -e_{12} & -e_{16} + e_{17} \\ -\varepsilon_1 & -e_6 & \lambda + e_{10} & 0 & 0 \\ 0 & -e_7 & 0 & 0 & \lambda + e_{18} \end{vmatrix} [-\omega_1 \omega_2 + (\lambda + e_{20})(\lambda + e_{19})] = 0$$

$$\leftrightarrow (\lambda + e_1 + e_2 + \mu)(\lambda + e_3 + e_2)(\lambda + e_4 + e_1) \begin{vmatrix} \lambda + e_5 & -e_9 & -e_{12} & -e_{16} + e_{17} \\ -e_6 & \lambda + e_{10} & 0 & 0 \\ e_6 & 0 & \lambda + e_{13} & 0 \\ -e_7 & 0 & 0 & \lambda + e_{18} \end{vmatrix} [-\omega_1 \omega_2 \\ + (\lambda + e_{20})(\lambda + e_{19})]$$

$$+(\lambda + e_1 + e_2 + \mu)(\lambda + e_3 + e_2)e_1 \begin{vmatrix} 0 & e_9 & -e_{11} & -e_{15} + e_{17} \\ -e_6 & \lambda + e_{10} & 0 & 0 \\ e_6 & 0 & \lambda + e_{13} & 0 \\ -e_7 & 0 & 0 & \lambda + e_{18} \end{vmatrix} [-\omega_1 \omega_2 \\ + (\lambda + e_{20})(\lambda + e_{19})]$$

$$+(\lambda + e_1 + e_2 + \mu)(\lambda + e_3 + e_2)\varepsilon_2 \begin{vmatrix} 0 & e_9 & -e_{11} & -e_{15} + e_{17} \\ \lambda + e_5 & -e_9 & -e_{12} & -e_{16} + e_{17} \\ -e_6 & \lambda + e_{10} & 0 & 0 \\ -e_7 & 0 & 0 & \lambda + e_{18} \end{vmatrix} [-\omega_1 \omega_2 \\ + (\lambda + e_{20})(\lambda + e_{19})]$$

$$+(\lambda + e_1 + e_2 + \mu)e_2(\lambda + e_4 + e_1) \begin{vmatrix} 0 & -e_8 & e_{12} & -e_{14} + e_{16} \\ -e_6 & \lambda + e_{10} & 0 & 0 \\ e_6 & 0 & \lambda + e_{13} & 0 \\ -e_7 & 0 & 0 & \lambda + e_{18} \end{vmatrix} [-\omega_1 \omega_2 \\ + (\lambda + e_{20})(\lambda + e_{19})]$$

$$-(\lambda + e_1 + e_2 + \mu)e_2 \varepsilon_2 \begin{vmatrix} 0 & -e_8 & e_{12} & -e_{14} + e_{16} \\ 0 & e_9 & -e_{11} & -e_{15} + e_{17} \\ -e_6 & \lambda + e_{10} & 0 & 0 \\ -e_7 & 0 & 0 & \lambda + e_{18} \end{vmatrix} [-\omega_1 \omega_2 + (\lambda + e_{20})(\lambda + e_{19})]$$

Lampiran K. Lanjutan

$$\begin{aligned}
 & -(\lambda + e_1 + e_2 + \mu) \varepsilon_1 (\lambda + e_4 + e_1) \begin{vmatrix} 0 & -e_8 & e_{12} & -e_{14} + e_{16} \\ \lambda + e_5 & -e_9 & -e_{12} & -e_{16} + e_{17} \\ e_6 & 0 & \lambda + e_{13} & 0 \\ -e_7 & 0 & 0 & \lambda + e_{18} \end{vmatrix} [-\omega_1 \omega_2 \\
 & + (\lambda + e_{20}) (\lambda + e_{19})] \\
 & -(\lambda + e_1 + e_2 + \mu) \varepsilon_1 e_1 \begin{vmatrix} 0 & -e_8 & e_{12} & -e_{14} + e_{16} \\ 0 & e_9 & -e_{11} & -e_{15} + e_{17} \\ e_6 & 0 & \lambda + e_{13} & 0 \\ -e_7 & 0 & 0 & \lambda + e_{18} \end{vmatrix} [-\omega_1 \omega_2 + (\lambda + e_{20}) (\lambda + e_{19})] \\
 & + (\lambda + e_1 + e_2 + \mu) \varepsilon_1 \varepsilon_2 \begin{vmatrix} 0 & -e_8 & e_{12} & -e_{14} + e_{16} \\ 0 & e_9 & -e_{11} & -e_{15} + e_{17} \\ \lambda + e_5 & -e_9 & -e_{12} & -e_{16} + e_{17} \\ -e_7 & 0 & 0 & \lambda + e_{18} \end{vmatrix} [-\omega_1 \omega_2 + (\lambda + e_{20}) (\lambda + e_{19})] \\
 & + e_1 e_2 (\lambda + e_4 + e_1) \begin{vmatrix} 0 & e_8 & e_{11} & e_{14} + e_{15} \\ -e_6 & \lambda + e_{10} & 0 & 0 \\ e_6 & 0 & \lambda + e_{13} & 0 \\ -e_7 & 0 & 0 & \lambda + e_{18} \end{vmatrix} [-\omega_1 \omega_2 + (\lambda + e_{20}) (\lambda + e_{19})] \\
 & - e_1 e_2 \varepsilon_2 \begin{vmatrix} 0 & e_8 & e_{11} & e_{14} + e_{15} \\ 0 & e_9 & -e_{11} & -e_{15} + e_{17} \\ -e_6 & \lambda + e_{10} & 0 & 0 \\ -e_7 & 0 & 0 & \lambda + e_{18} \end{vmatrix} [-\omega_1 \omega_2 + (\lambda + e_{20}) (\lambda + e_{19})] \\
 & - e_1 \varepsilon_1 (\lambda + e_4 + e_1) \begin{vmatrix} 0 & e_8 & e_{11} & e_{14} + e_{15} \\ \lambda + e_5 & -e_9 & -e_{12} & -e_{16} + e_{17} \\ e_6 & 0 & \lambda + e_{13} & 0 \\ -e_7 & 0 & 0 & \lambda + e_{18} \end{vmatrix} [-\omega_1 \omega_2 + (\lambda + e_{20}) (\lambda + e_{19})] \\
 & - e_1 \varepsilon_1 e_1 \begin{vmatrix} 0 & e_8 & e_{11} & e_{14} + e_{15} \\ 0 & e_9 & -e_{11} & -e_{15} + e_{17} \\ e_6 & 0 & \lambda + e_{13} & 0 \\ -e_7 & 0 & 0 & \lambda + e_{18} \end{vmatrix} [-\omega_1 \omega_2 + (\lambda + e_{20}) (\lambda + e_{19})] \\
 & + e_1 \varepsilon_1 \varepsilon_2 \begin{vmatrix} 0 & e_8 & e_{11} & e_{14} + e_{15} \\ 0 & e_9 & -e_{11} & -e_{15} + e_{17} \\ \lambda + e_5 & -e_9 & -e_{12} & -e_{16} + e_{17} \\ -e_7 & 0 & 0 & \lambda + e_{18} \end{vmatrix} [-\omega_1 \omega_2 + (\lambda + e_{20}) (\lambda + e_{19})] \\
 & + e_2 e_1 (\lambda + e_3 + e_2) \begin{vmatrix} 0 & e_8 & e_{11} & e_{14} + e_{15} \\ -e_6 & \lambda + e_{10} & 0 & 0 \\ e_6 & 0 & \lambda + e_{13} & 0 \\ -e_7 & 0 & 0 & \lambda + e_{18} \end{vmatrix} [-\omega_1 \omega_2 + (\lambda + e_{20}) (\lambda + e_{19})] \\
 & + e_2 e_1 \varepsilon_1 \begin{vmatrix} 0 & e_8 & e_{11} & e_{14} + e_{15} \\ 0 & -e_8 & e_{12} & -e_{14} + e_{16} \\ e_6 & 0 & \lambda + e_{13} & 0 \\ -e_7 & 0 & 0 & \lambda + e_{18} \end{vmatrix} [-\omega_1 \omega_2 + (\lambda + e_{20}) (\lambda + e_{19})]
 \end{aligned}$$

Lampiran K. Lanjutan

$$\begin{aligned}
& +e_2 \varepsilon_2 (\lambda + e_3 + e_2) \begin{vmatrix} 0 & e_8 & e_{11} & e_{14} + e_{15} \\ \lambda + e_5 & -e_9 & -e_{12} & -e_{16} + e_{17} \\ -e_6 & \lambda + e_{10} & 0 & 0 \\ -e_7 & 0 & 0 & \lambda + e_{18} \end{vmatrix} [-\omega_1 \omega_2 + (\lambda + e_{20})(\lambda + e_{19})] \\
& +e_2 \varepsilon_2 e_2 \begin{vmatrix} 0 & e_8 & e_{11} & e_{14} + e_{15} \\ 0 & -e_8 & e_{12} & -e_{14} + e_{16} \\ -e_6 & \lambda + e_{10} & 0 & 0 \\ -e_7 & 0 & 0 & \lambda + e_{18} \end{vmatrix} [-\omega_1 \omega_2 + (\lambda + e_{20})(\lambda + e_{19})] \\
& -e_2 \varepsilon_2 \varepsilon_1 \begin{vmatrix} 0 & e_8 & e_{11} & e_{14} + e_{15} \\ 0 & -e_8 & e_{12} & -e_{14} + e_{16} \\ \lambda + e_5 & -e_9 & -e_{12} & -e_{16} + e_{17} \\ -e_7 & 0 & 0 & \lambda + e_{18} \end{vmatrix} [-\omega_1 \omega_2 + (\lambda + e_{20})(\lambda + e_{19})] = 0 \\
& \leftrightarrow (\lambda + e_1 + e_2 + \mu)(\lambda + e_3 + e_2)(\lambda + e_4 + e_1)e_9 \begin{vmatrix} -e_6 & 0 & 0 \\ e_6 & \lambda + e_{13} & 0 \\ -e_7 & 0 & \lambda + e_{18} \end{vmatrix} [-\omega_1 \omega_2 \\
& \quad + (\lambda + e_{20})(\lambda + e_{19})] \\
& + (\lambda + e_1 + e_2 + \mu)(\lambda + e_3 + e_2)(\lambda + e_4 + e_1)(\lambda + e_{10}) \begin{vmatrix} \lambda + e_5 & -e_{12} & -e_{16} + e_{17} \\ e_6 & \lambda + e_{13} & 0 \\ -e_7 & 0 & \lambda + e_{18} \end{vmatrix} [-\omega_1 \omega_2 \\
& \quad + (\lambda + e_{20})(\lambda + e_{19})] \\
& -(\lambda + e_1 + e_2 + \mu)(\lambda + e_3 + e_2)e_1 e_9 \begin{vmatrix} -e_6 & 0 & 0 \\ e_6 & \lambda + e_{13} & 0 \\ -e_7 & 0 & \lambda + e_{18} \end{vmatrix} [-\omega_1 \omega_2 + (\lambda + e_{20})(\lambda + e_{19})] \\
& + (\lambda + e_1 + e_2 + \mu)(\lambda + e_3 + e_2)e_1(\lambda + e_{10}) \begin{vmatrix} 0 & -e_{11} & -e_{15} + e_{17} \\ e_6 & \lambda + e_{13} & 0 \\ -e_7 & 0 & \lambda + e_{18} \end{vmatrix} [-\omega_1 \omega_2 \\
& \quad + (\lambda + e_{20})(\lambda + e_{19})] \\
& -(\lambda + e_1 + e_2 + \mu)(\lambda + e_3 + e_2)\varepsilon_2 e_{11} \begin{vmatrix} \lambda + e_5 & -e_9 & -e_{16} + e_{17} \\ -e_6 & \lambda + e_{10} & 0 \\ -e_7 & 0 & \lambda + e_{18} \end{vmatrix} [-\omega_1 \omega_2 \\
& \quad + (\lambda + e_{20})(\lambda + e_{19})] \\
& + (\lambda + e_1 + e_2 + \mu)(\lambda + e_3 + e_2)\varepsilon_2 e_{12} \begin{vmatrix} 0 & e_9 & -e_{15} + e_{17} \\ -e_6 & \lambda + e_{10} & 0 \\ -e_7 & 0 & \lambda + e_{18} \end{vmatrix} [-\omega_1 \omega_2 \\
& \quad + (\lambda + e_{20})(\lambda + e_{19})] \\
& + (\lambda + e_1 + e_2 + \mu)e_2(\lambda + e_4 + e_1)e_8 \begin{vmatrix} -e_6 & 0 & 0 \\ e_6 & \lambda + e_{13} & 0 \\ -e_7 & 0 & \lambda + e_{18} \end{vmatrix} [-\omega_1 \omega_2 + (\lambda + e_{20})(\lambda + e_{19})]
\end{aligned}$$

Lampiran K. Lanjutan

$$\begin{aligned}
& + (\lambda + e_1 + e_2 + \mu) e_2 (\lambda + e_4 + e_1) (\lambda + e_{10}) \begin{vmatrix} 0 & e_{12} & -e_{14} + e_{16} \\ e_6 & \lambda + e_{13} & 0 \\ -e_7 & 0 & \lambda + e_{18} \end{vmatrix} [-\omega_1 \omega_2 \\
& + (\lambda + e_{20}) (\lambda + e_{19})] \\
& - (\lambda + e_1 + e_2 + \mu) e_2 e_2 e_{12} \begin{vmatrix} 0 & e_9 & -e_{15} + e_{17} \\ -e_6 & \lambda + e_{10} & 0 \\ -e_7 & 0 & \lambda + e_{18} \end{vmatrix} [-\omega_1 \omega_2 + (\lambda + e_{20}) (\lambda + e_{19})] \\
& - (\lambda + e_1 + e_2 + \mu) e_2 e_2 e_{11} \begin{vmatrix} 0 & -e_8 & -e_{14} + e_{16} \\ -e_6 & \lambda + e_{10} & 0 \\ -e_7 & 0 & \lambda + e_{18} \end{vmatrix} [-\omega_1 \omega_2 + (\lambda + e_{20}) (\lambda + e_{19})] \\
& - (\lambda + e_1 + e_2 + \mu) e_1 (\lambda + e_4 + e_1) e_8 \begin{vmatrix} \lambda + e_5 & -e_{12} & -e_{16} + e_{17} \\ e_6 & \lambda + e_{13} & 0 \\ -e_7 & 0 & \lambda + e_{18} \end{vmatrix} [-\omega_1 \omega_2 \\
& + (\lambda + e_{20}) (\lambda + e_{19})] \\
& + (\lambda + e_1 + e_2 + \mu) e_1 (\lambda + e_4 + e_1) e_9 \begin{vmatrix} 0 & e_{12} & -e_{14} + e_{16} \\ e_6 & \lambda + e_{13} & 0 \\ -e_7 & 0 & \lambda + e_{18} \end{vmatrix} [-\omega_1 \omega_2 + (\lambda + e_{20}) (\lambda + e_{19})] \\
& - (\lambda + e_1 + e_2 + \mu) e_1 e_1 e_8 \begin{vmatrix} 0 & -e_{11} & -e_{15} + e_{17} \\ e_6 & \lambda + e_{13} & 0 \\ -e_7 & 0 & \lambda + e_{18} \end{vmatrix} [-\omega_1 \omega_2 + (\lambda + e_{20}) (\lambda + e_{19})] \\
& - (\lambda + e_1 + e_2 + \mu) e_1 e_1 e_9 \begin{vmatrix} 0 & e_{12} & -e_{14} + e_{16} \\ e_6 & \lambda + e_{13} & 0 \\ -e_7 & 0 & \lambda + e_{18} \end{vmatrix} [-\omega_1 \omega_2 + (\lambda + e_{20}) (\lambda + e_{19})] \\
& + (\lambda + e_1 + e_2 + \mu) e_1 e_2 (\lambda + e_5) \begin{vmatrix} -e_8 & e_{12} & -e_{14} + e_{16} \\ e_9 & -e_{11} & -e_{15} + e_{17} \\ 0 & 0 & \lambda + e_{18} \end{vmatrix} [-\omega_1 \omega_2 + (\lambda + e_{20}) (\lambda + e_{19})] \\
& + (\lambda + e_1 + e_2 + \mu) e_1 e_2 e_7 \begin{vmatrix} -e_8 & e_{12} & -e_{14} + e_{16} \\ e_9 & -e_{11} & -e_{15} + e_{17} \\ -e_9 & -e_{12} & -e_{16} + e_{17} \end{vmatrix} [-\omega_1 \omega_2 + (\lambda + e_{20}) (\lambda + e_{19})] \\
& + e_1 e_2 (\lambda + e_4 + e_1) e_{11} \begin{vmatrix} -e_6 & \lambda + e_{10} & 0 \\ e_6 & 0 & 0 \\ -e_7 & 0 & \lambda + e_{18} \end{vmatrix} [-\omega_1 \omega_2 + (\lambda + e_{20}) (\lambda + e_{19})] \\
& + e_1 e_2 (\lambda + e_4 + e_1) (\lambda + e_{13}) \begin{vmatrix} 0 & e_8 & e_{14} + e_{15} \\ -e_6 & \lambda + e_{10} & 0 \\ -e_7 & 0 & \lambda + e_{18} \end{vmatrix} [-\omega_1 \omega_2 + (\lambda + e_{20}) (\lambda + e_{19})] \\
& - e_1 e_2 e_2 e_{11} \begin{vmatrix} 0 & e_9 & -e_{15} + e_{17} \\ -e_6 & \lambda + e_{10} & 0 \\ -e_7 & 0 & \lambda + e_{18} \end{vmatrix} [-\omega_1 \omega_2 + (\lambda + e_{20}) (\lambda + e_{19})]
\end{aligned}$$

Lampiran K. Lanjutan

$$\begin{aligned}
& -e_1 e_2 \varepsilon_2 e_{11} \begin{vmatrix} 0 & e_8 & e_{14} + e_{15} \\ -e_6 & \lambda + e_{10} & 0 \\ -e_7 & 0 & \lambda + e_{18} \end{vmatrix} [-\omega_1 \omega_2 + (\lambda + e_{20})(\lambda + e_{19})] \\
& + e_1 \varepsilon_1 (\lambda + e_4 + e_1) e_8 \begin{vmatrix} \lambda + e_5 & -e_{12} & -e_{16} + e_{17} \\ e_6 & \lambda + e_{13} & 0 \\ -e_7 & 0 & \lambda + e_{18} \end{vmatrix} [-\omega_1 \omega_2 + (\lambda + e_{20})(\lambda + e_{19})] \\
& + e_1 \varepsilon_1 (\lambda + e_4 + e_1) e_9 \begin{vmatrix} 0 & e_{11} & e_{14} + e_{15} \\ e_6 & \lambda + e_{13} & 0 \\ -e_7 & 0 & \lambda + e_{18} \end{vmatrix} [-\omega_1 \omega_2 + (\lambda + e_{20})(\lambda + e_{19})] \\
& + e_1 \varepsilon_1 e_1 e_8 \begin{vmatrix} 0 & -e_{11} & -e_{15} + e_{17} \\ e_6 & \lambda + e_{13} & 0 \\ -e_7 & 0 & \lambda + e_{18} \end{vmatrix} [-\omega_1 \omega_2 + (\lambda + e_{20})(\lambda + e_{19})] \\
& - e_1 \varepsilon_1 e_1 e_9 \begin{vmatrix} 0 & e_{11} & e_{14} + e_{15} \\ e_6 & \lambda + e_{13} & 0 \\ -e_7 & 0 & \lambda + e_{18} \end{vmatrix} [-\omega_1 \omega_2 + (\lambda + e_{20})(\lambda + e_{19})] \\
& + e_1 \varepsilon_1 \varepsilon_2 (\lambda + e_5) \begin{vmatrix} e_8 & e_{11} & e_{14} + e_{15} \\ e_9 & -e_{11} & -e_{15} + e_{17} \\ 0 & 0 & \lambda + e_{18} \end{vmatrix} [-\omega_1 \omega_2 + (\lambda + e_{20})(\lambda + e_{19})] \\
& + e_1 \varepsilon_1 \varepsilon_2 e_7 \begin{vmatrix} e_8 & e_{11} & e_{14} + e_{15} \\ e_9 & -e_{11} & -e_{15} + e_{17} \\ -e_9 & -e_{12} & -e_{16} + e_{17} \end{vmatrix} [-\omega_1 \omega_2 + (\lambda + e_{20})(\lambda + e_{19})] \\
& + e_2 e_1 (\lambda + e_3 + e_2) e_{11} \begin{vmatrix} -e_6 & \lambda + e_{10} & 0 \\ e_6 & 0 & 0 \\ -e_7 & 0 & \lambda + e_{18} \end{vmatrix} [-\omega_1 \omega_2 + (\lambda + e_{20})(\lambda + e_{19})] \\
& + e_2 e_1 (\lambda + e_3 + e_2) (\lambda + e_{13}) \begin{vmatrix} 0 & e_8 & e_{14} + e_{15} \\ -e_6 & \lambda + e_{10} & 0 \\ -e_7 & 0 & \lambda + e_{18} \end{vmatrix} [-\omega_1 \omega_2 + (\lambda + e_{20})(\lambda + e_{19})] \\
& + e_2 e_1 \varepsilon_1 e_6 \begin{vmatrix} e_8 & e_{11} & e_{14} + e_{15} \\ -e_8 & e_{12} & -e_{14} + e_{16} \\ 0 & 0 & \lambda + e_{18} \end{vmatrix} [-\omega_1 \omega_2 + (\lambda + e_{20})(\lambda + e_{19})] \\
& + e_2 e_1 \varepsilon_1 e_7 \begin{vmatrix} e_8 & e_{11} & e_{14} + e_{15} \\ -e_8 & e_{12} & -e_{14} + e_{16} \\ 0 & \lambda + e_{13} & 0 \end{vmatrix} [-\omega_1 \omega_2 + (\lambda + e_{20})(\lambda + e_{19})] \\
& + e_2 \varepsilon_2 (\lambda + e_3 + e_2) e_{11} \begin{vmatrix} \lambda + e_5 & -e_9 & -e_{16} + e_{17} \\ -e_6 & \lambda + e_{10} & 0 \\ -e_7 & 0 & \lambda + e_{18} \end{vmatrix} [-\omega_1 \omega_2 + (\lambda + e_{20})(\lambda + e_{19})]
\end{aligned}$$

Lampiran K. Lanjutan

$$\begin{aligned}
& + e_2 \varepsilon_2 (\lambda + e_3 + e_2) e_{12} \begin{vmatrix} 0 & e_8 & e_{14} + e_{15} \\ -e_6 & \lambda + e_{10} & 0 \\ -e_7 & 0 & \lambda + e_{18} \end{vmatrix} [-\omega_1 \omega_2 + (\lambda + e_{20})(\lambda + e_{19})] \\
& + e_2 \varepsilon_2 e_2 e_{11} \begin{vmatrix} 0 & -e_8 & -e_{14} + e_{16} \\ -e_6 & \lambda + e_{10} & 0 \\ -e_7 & 0 & \lambda + e_{18} \end{vmatrix} [-\omega_1 \omega_2 + (\lambda + e_{20})(\lambda + e_{19})] \\
& - e_2 \varepsilon_2 e_2 e_{12} \begin{vmatrix} 0 & e_8 & e_{14} + e_{15} \\ -e_6 & \lambda + e_{10} & 0 \\ -e_7 & 0 & \lambda + e_{18} \end{vmatrix} [-\omega_1 \omega_2 + (\lambda + e_{20})(\lambda + e_{19})] \\
& - e_2 \varepsilon_2 \varepsilon_1 (\lambda + e_5) \begin{vmatrix} e_8 & e_{11} & e_{14} + e_{15} \\ -e_8 & e_{12} & -e_{14} + e_{16} \\ 0 & 0 & \lambda + e_{18} \end{vmatrix} [-\omega_1 \omega_2 + (\lambda + e_{20})(\lambda + e_{19})] \\
& - e_2 \varepsilon_2 \varepsilon_1 e_7 \begin{vmatrix} e_8 & e_{11} & e_{14} + e_{15} \\ -e_8 & e_{12} & -e_{14} + e_{16} \\ -e_9 & -e_{12} & -e_{16} + e_{17} \end{vmatrix} [-\omega_1 \omega_2 + (\lambda + e_{20})(\lambda + e_{19})] = 0 \\
\Leftrightarrow & (\lambda + e_1 + e_2 + \mu)(\lambda + e_3 + e_2)(\lambda + e_4 + e_1) \left[e_9(\lambda + e_{18}) \begin{vmatrix} -e_6 & 0 \\ e_6 & \lambda + e_{13} \end{vmatrix} \right. \\
& + (\lambda + e_{10}) \left[e_{12} \begin{vmatrix} e_6 & 0 \\ -e_7 & \lambda + e_{18} \end{vmatrix} \right. \\
& \left. \left. + (\lambda + e_{13}) \begin{vmatrix} \lambda + e_5 & -e_{16} + e_{17} \\ -e_7 & \lambda + e_{18} \end{vmatrix} \right] \right] [-\omega_1 \omega_2 + (\lambda + e_{20})(\lambda + e_{19})] \\
& + (\lambda + e_1 + e_2 + \mu)(\lambda + e_3 + e_2) e_1 \left[-e_9(\lambda + e_{18}) \begin{vmatrix} -e_6 & 0 \\ e_6 & \lambda + e_{13} \end{vmatrix} \right. \\
& + (\lambda + e_{10}) \left[-e_{11} \begin{vmatrix} e_6 & 0 \\ -e_7 & \lambda + e_{18} \end{vmatrix} \right. \\
& \left. \left. + (\lambda + e_{13}) \begin{vmatrix} 0 & -e_{15} + e_{17} \\ -e_7 & \lambda + e_{18} \end{vmatrix} \right] \right] [-\omega_1 \omega_2 + (\lambda + e_{20})(\lambda + e_{19})] \\
& + (\lambda + e_1 + e_2 + \mu)(\lambda + e_3 + e_2) \varepsilon_2 \left[-e_{11} \left[e_9 \begin{vmatrix} -e_6 & 0 \\ -e_7 & \lambda + e_{18} \end{vmatrix} + (\lambda + e_{10}) \begin{vmatrix} \lambda + e_5 & -e_{16} + e_{17} \\ -e_7 & \lambda + e_{18} \end{vmatrix} \right] \right. \\
& \left. + e_{12} \left[e_6 \begin{vmatrix} e_9 & -e_{15} + e_{17} \\ 0 & \lambda + e_{18} \end{vmatrix} - e_7 \begin{vmatrix} e_9 & -e_{15} + e_{17} \\ \lambda + e_{10} & 0 \end{vmatrix} \right] \right] [-\omega_1 \omega_2 \\
& + (\lambda + e_{20})(\lambda + e_{19})] \\
& + (\lambda + e_1 + e_2 + \mu) e_2 (\lambda + e_4 + e_1) \left[e_8(\lambda + e_{13}) \begin{vmatrix} -e_6 & 0 \\ -e_7 & \lambda + e_{18} \end{vmatrix} \right. \\
& + (\lambda + e_{10}) \left[-e_6 \begin{vmatrix} e_{12} & -e_{14} + e_{16} \\ 0 & \lambda + e_{18} \end{vmatrix} \right. \\
& \left. \left. - e_7 \begin{vmatrix} e_{12} & -e_{14} + e_{16} \\ \lambda + e_{13} & 0 \end{vmatrix} \right] \right] [-\omega_1 \omega_2 + (\lambda + e_{20})(\lambda + e_{19})]
\end{aligned}$$

Lampiran K. Lanjutan

$$\begin{aligned}
& +(\lambda + e_1 + e_2 + \mu)e_2\varepsilon_2 \left[-e_{12} \begin{vmatrix} e_9 & -e_{15} + e_{17} \\ 0 & \lambda + e_{18} \end{vmatrix} - e_7 \begin{vmatrix} e_9 & -e_{15} + e_{17} \\ \lambda + e_{10} & 0 \end{vmatrix} \right] \\
& \quad - e_{11} \left[e_6 \begin{vmatrix} -e_8 & -e_{14} + e_{16} \\ 0 & \lambda + e_{18} \end{vmatrix} - e_7 \begin{vmatrix} -e_8 & -e_{14} + e_{16} \\ \lambda + e_{10} & 0 \end{vmatrix} \right] [-\omega_1\omega_2 \\
& \quad + (\lambda + e_{20})(\lambda + e_{19})] \\
& +(\lambda + e_1 + e_2 + \mu)\varepsilon_1(\lambda + e_4 + e_1) \left[-e_8 \begin{vmatrix} e_6 & 0 \\ e_{12} & -e_7 \end{vmatrix} + (\lambda + e_{13}) \begin{vmatrix} \lambda + e_5 & -e_{16} + e_{17} \\ -e_7 & \lambda + e_{18} \end{vmatrix} \right] \\
& \quad + e_9 \left[-e_6 \begin{vmatrix} e_{12} & -e_{14} + e_{16} \\ 0 & \lambda + e_{18} \end{vmatrix} - e_7 \begin{vmatrix} e_{12} & -e_{14} + e_{16} \\ \lambda + e_{13} & 0 \end{vmatrix} \right] [-\omega_1\omega_2 \\
& \quad + (\lambda + e_{20})(\lambda + e_{19})] \\
& +(\lambda + e_1 + e_2 + \mu)\varepsilon_1e_1 \left[-e_8 \begin{vmatrix} e_6 & 0 \\ e_{11} & -e_7 \end{vmatrix} + (\lambda + e_{13}) \begin{vmatrix} 0 & -e_{15} + e_{17} \\ -e_7 & \lambda + e_{18} \end{vmatrix} \right] \\
& \quad - e_9 \left[-e_{12} \begin{vmatrix} e_6 & 0 \\ -e_7 & \lambda + e_{18} \end{vmatrix} + (\lambda + e_{13}) \begin{vmatrix} 0 & -e_{14} + e_{16} \\ -e_7 & \lambda + e_{18} \end{vmatrix} \right] [-\omega_1\omega_2 \\
& \quad + (\lambda + e_{20})(\lambda + e_{19})] \\
& +(\lambda + e_1 + e_2 + \mu)\varepsilon_1\varepsilon_2 \left[(\lambda + e_5) \left[-e_8 \begin{vmatrix} -e_{11} & -e_{15} + e_{17} \\ 0 & \lambda + e_{18} \end{vmatrix} - e_9 \begin{vmatrix} e_{12} & -e_{14} + e_{16} \\ 0 & \lambda + e_{18} \end{vmatrix} \right] \right. \\
& \quad \left. + e_7 \left[-e_8 \begin{vmatrix} -e_{11} & -e_{15} + e_{17} \\ -e_{12} & -e_{16} + e_{17} \end{vmatrix} - e_9 \begin{vmatrix} e_{12} & -e_{14} + e_{16} \\ -e_{12} & -e_{16} + e_{17} \end{vmatrix} \right. \right. \\
& \quad \left. \left. - e_9 \begin{vmatrix} e_{12} & -e_{14} + e_{16} \\ -e_{11} & -e_{15} + e_{17} \end{vmatrix} \right] \right] [-\omega_1\omega_2 + (\lambda + e_{20})(\lambda + e_{19})] \\
& +e_1e_2(\lambda + e_4 + e_1) \left[e_{11}(\lambda + e_{10}) \begin{vmatrix} e_6 & 0 \\ -e_7 & \lambda + e_{18} \end{vmatrix} \right. \\
& \quad \left. + (\lambda + e_{13}) \left[e_6 \begin{vmatrix} e_8 & e_{14} + e_{15} \\ 0 & \lambda + e_{18} \end{vmatrix} \right. \right. \\
& \quad \left. \left. - e_7 \begin{vmatrix} e_8 & e_{14} + e_{15} \\ \lambda + e_{10} & 0 \end{vmatrix} \right] \right] [-\omega_1\omega_2 + (\lambda + e_{20})(\lambda + e_{19})] \\
& +e_1e_2\varepsilon_2 \left[-e_{11} \left[e_6 \begin{vmatrix} e_9 & -e_{15} + e_{17} \\ 0 & \lambda + e_{18} \end{vmatrix} - e_7 \begin{vmatrix} e_9 & -e_{15} + e_{17} \\ \lambda + e_{10} & 0 \end{vmatrix} \right] \right. \\
& \quad \left. - e_{11} \left[e_6 \begin{vmatrix} e_8 & e_{14} + e_{15} \\ 0 & \lambda + e_{18} \end{vmatrix} - e_7 \begin{vmatrix} e_8 & e_{14} + e_{15} \\ \lambda + e_{10} & 0 \end{vmatrix} \right] \right] [-\omega_1\omega_2 \\
& \quad + (\lambda + e_{20})(\lambda + e_{19})] \\
& +e_1\varepsilon_1(\lambda + e_4 + e_1) \left[e_8 \left[e_{12} \begin{vmatrix} e_6 & 0 \\ -e_7 & \lambda + e_{18} \end{vmatrix} + (\lambda + e_{13}) \begin{vmatrix} \lambda + e_5 & -e_{16} + e_{17} \\ -e_7 & \lambda + e_{18} \end{vmatrix} \right] \right. \\
& \quad \left. + e_9 \left[-e_{11} \begin{vmatrix} e_6 & 0 \\ -e_7 & \lambda + e_{18} \end{vmatrix} + (\lambda + e_{13}) \begin{vmatrix} 0 & e_{14} + e_{15} \\ -e_7 & \lambda + e_{18} \end{vmatrix} \right] \right] [-\omega_1\omega_2 \\
& \quad + (\lambda + e_{20})(\lambda + e_{19})]
\end{aligned}$$

Lampiran K. Lanjutan

$$\begin{aligned}
& + e_1 \varepsilon_1 e_1 \left[e_8 \begin{vmatrix} e_{11} & 0 \\ -e_7 & \lambda + e_{18} \end{vmatrix} + (\lambda + e_{13}) \begin{vmatrix} 0 & -e_{15} + e_{17} \\ -e_7 & \lambda + e_{18} \end{vmatrix} \right] \\
& \quad - e_9 \left[-e_{11} \begin{vmatrix} e_6 & 0 \\ -e_7 & \lambda + e_{18} \end{vmatrix} \right. \\
& \quad \left. + (\lambda + e_{13}) \begin{vmatrix} 0 & e_{14} + e_{15} \\ -e_7 & \lambda + e_{18} \end{vmatrix} \right] [-\omega_1 \omega_2 + (\lambda + e_{20})(\lambda + e_{19})] \\
& + e_1 \varepsilon_1 \varepsilon_2 \left[(\lambda + e_5) \left[e_8 \begin{vmatrix} -e_{11} & -e_{15} + e_{17} \\ 0 & \lambda + e_{18} \end{vmatrix} - e_9 \begin{vmatrix} e_{11} & e_{14} + e_{15} \\ 0 & \lambda + e_{18} \end{vmatrix} \right] \right. \\
& \quad + e_7 \left[e_8 \begin{vmatrix} -e_{11} & -e_{15} + e_{17} \\ -e_{12} & -e_{16} + e_{17} \end{vmatrix} - e_9 \begin{vmatrix} e_{11} & e_{14} + e_{15} \\ -e_{12} & -e_{16} + e_{17} \end{vmatrix} \right. \\
& \quad \left. \left. - e_9 \begin{vmatrix} e_{11} & e_{14} + e_{15} \\ -e_{11} & -e_{15} + e_{17} \end{vmatrix} \right] [-\omega_1 \omega_2 + (\lambda + e_{20})(\lambda + e_{19})] \right. \\
& + e_2 e_1 (\lambda + e_3 + e_2) \left[e_{11} (\lambda + e_{18}) \begin{vmatrix} -e_6 & \lambda + e_{10} \\ e_6 & 0 \end{vmatrix} \right. \\
& \quad + (\lambda + e_{13}) \left[e_6 \begin{vmatrix} e_8 & e_{14} + e_{15} \\ 0 & \lambda + e_{18} \end{vmatrix} \right. \\
& \quad \left. \left. - e_7 \begin{vmatrix} e_8 & e_{14} + e_{15} \\ \lambda + e_{10} & 0 \end{vmatrix} \right] [-\omega_1 \omega_2 + (\lambda + e_{20})(\lambda + e_{19})] \right. \\
& + e_2 e_1 \varepsilon_1 \left[e_6 \begin{vmatrix} e_{12} & -e_{14} + e_{16} \\ 0 & \lambda + e_{18} \end{vmatrix} + e_8 \begin{vmatrix} e_{11} & e_{14} + e_{15} \\ 0 & \lambda + e_{18} \end{vmatrix} \right] \\
& \quad + e_7 \left[e_8 \begin{vmatrix} e_{12} & -e_{14} + e_{16} \\ \lambda + e_{13} & 0 \end{vmatrix} \right. \\
& \quad \left. + e_8 \begin{vmatrix} e_{11} & e_{14} + e_{15} \\ \lambda + e_{13} & 0 \end{vmatrix} \right] [-\omega_1 \omega_2 + (\lambda + e_{20})(\lambda + e_{19})] \\
& + e_2 \varepsilon_2 (\lambda + e_3 + e_2) \left[e_{11} \left[e_9 \begin{vmatrix} -e_6 & 0 \\ -e_7 & \lambda + e_{18} \end{vmatrix} + (\lambda + e_{10}) \begin{vmatrix} \lambda + e_5 & -e_{16} + e_{17} \\ -e_7 & \lambda + e_{18} \end{vmatrix} \right] \right. \\
& \quad + e_{12} \left[-e_8 \begin{vmatrix} -e_6 & 0 \\ -e_7 & \lambda + e_{18} \end{vmatrix} \right. \\
& \quad \left. \left. + (\lambda + e_{10}) \begin{vmatrix} 0 & e_{14} + e_{15} \\ -e_7 & \lambda + e_{18} \end{vmatrix} \right] \right] [-\omega_1 \omega_2 + (\lambda + e_{20})(\lambda + e_{19})] \\
& + e_2 \varepsilon_2 e_2 \left[e_{11} \left[e_8 \begin{vmatrix} -e_6 & 0 \\ -e_7 & \lambda + e_{18} \end{vmatrix} + (\lambda + e_{10}) \begin{vmatrix} 0 & -e_{14} + e_{16} \\ -e_7 & \lambda + e_{18} \end{vmatrix} \right] \right. \\
& \quad - e_{12} \left[-e_8 \begin{vmatrix} -e_6 & 0 \\ -e_7 & \lambda + e_{18} \end{vmatrix} \right. \\
& \quad \left. \left. + (\lambda + e_{10}) \begin{vmatrix} 0 & e_{14} + e_{15} \\ -e_7 & \lambda + e_{18} \end{vmatrix} \right] \right] [-\omega_1 \omega_2 + (\lambda + e_{20})(\lambda + e_{19})]
\end{aligned}$$

Lampiran K. Lanjutan

$$\begin{aligned}
& -e_2 \varepsilon_2 \varepsilon_1 \left[(\lambda + e_5) \left[e_8 \begin{vmatrix} e_{12} & -e_{14} + e_{16} \\ 0 & \lambda + e_{18} \end{vmatrix} + e_8 \begin{vmatrix} e_{11} & e_{14} + e_{15} \\ 0 & \lambda + e_{18} \end{vmatrix} \right] \right. \\
& \quad + e_7 \left[e_8 \begin{vmatrix} e_{12} & -e_{14} + e_{16} \\ -e_{12} & -e_{16} + e_{17} \end{vmatrix} + e_8 \begin{vmatrix} e_{11} & e_{14} + e_{15} \\ -e_{12} & -e_{16} + e_{17} \end{vmatrix} \right. \\
& \quad \left. \left. - e_9 \begin{vmatrix} e_{11} & e_{14} + e_{15} \\ e_{12} & -e_{14} + e_{16} \end{vmatrix} \right] \right] [-\omega_1 \omega_2 + (\lambda + e_{20})(\lambda + e_{19})] = 0 \\
& \leftrightarrow (\lambda + e_1 + e_2 + \mu)(\lambda + e_3 + e_2)(\lambda + e_4 + e_1) \left[-e_6 e_9 (\lambda + e_{18})(\lambda + e_{13}) \right. \\
& \quad + (\lambda + e_{10}) [e_{12} e_6 (\lambda + e_{18}) \\
& \quad + (\lambda + e_{13}) [(\lambda + e_5)(\lambda + e_{18}) + e_7(-e_{16} + e_{17})]] \left. \right] [-\omega_1 \omega_2 \\
& \quad + (\lambda + e_{20})(\lambda + e_{19})] \\
& + (\lambda + e_1 + e_2 + \mu)(\lambda + e_3 + e_2) e_1 \left[e_6 e_9 (\lambda + e_{18})(\lambda + e_{13}) \right. \\
& \quad + (\lambda + e_{10}) [-e_{11} e_6 (\lambda + e_{18}) + (\lambda + e_{13}) e_7 (-e_{15} + e_{17})] \left. \right] [-\omega_1 \omega_2 \\
& \quad + (\lambda + e_{20})(\lambda + e_{19})] \\
& + (\lambda + e_1 + e_2 + \mu)(\lambda + e_3 \\
& \quad + e_2) \varepsilon_2 \left[e_{11} \left[e_9 e_6 (\lambda + e_{18}) \right. \right. \\
& \quad + (\lambda + e_{10}) [(\lambda + e_5)(\lambda + e_{18}) + e_7(-e_{16} + e_{17})] \left. \right] \\
& \quad + e_{12} [e_6 e_9 (\lambda + e_{18}) - e_7 (\lambda + e_{10})(-e_{15} + e_{17})] \left. \right] [-\omega_1 \omega_2 \\
& \quad + (\lambda + e_{20})(\lambda + e_{19})] \\
& + (\lambda + e_1 + e_2 + \mu) e_2 (\lambda + e_4 + e_1) \left[-e_8 (\lambda + e_{13}) e_6 (\lambda + e_{18}) \right. \\
& \quad + (\lambda + e_{10}) [-e_6 e_{12} (\lambda + e_{18}) + e_7 (\lambda + e_{13})(-e_{14} + e_{16})] \left. \right] [-\omega_1 \omega_2 \\
& \quad + (\lambda + e_{20})(\lambda + e_{19})] \\
& + (\lambda + e_1 + e_2 + \mu) e_2 \varepsilon_2 \left[-e_{12} [e_6 e_9 (\lambda + e_{18}) + e_7 (\lambda + e_{10})(-e_{15} + e_{17})] \right. \\
& \quad - e_{11} [-e_8 e_6 (\lambda + e_{18}) + e_7 (\lambda + e_{10})(-e_{14} + e_{16})] \left. \right] [-\omega_1 \omega_2 \\
& \quad + (\lambda + e_{20})(\lambda + e_{19})] \\
& + (\lambda + e_1 + e_2 + \mu) \varepsilon_1 (\lambda + e_4 \\
& \quad + e_1) \left[-e_8 [e_{12} e_6 (\lambda + e_{18}) \right. \\
& \quad + (\lambda + e_{13}) [(\lambda + e_5)(\lambda + e_{18}) + e_7(-e_{16} + e_{17})] \left. \right] \\
& \quad + e_9 [-e_6 e_{12} (\lambda + e_{18}) + e_7 (\lambda + e_{13})(-e_{14} + e_{16})] \left. \right] [-\omega_1 \omega_2 \\
& \quad + (\lambda + e_{20})(\lambda + e_{19})] \\
& + (\lambda + e_1 + e_2 + \mu) \varepsilon_1 e_1 \left[-e_8 [e_{11} e_6 (\lambda + e_{18}) + (\lambda + e_{13}) e_7 (-e_{15} + e_{17})] \right. \\
& \quad - e_9 [-e_{12} e_6 (\lambda + e_{18}) + (\lambda + e_{13}) e_7 (-e_{14} + e_{16})] \left. \right] [-\omega_1 \omega_2 \\
& \quad + (\lambda + e_{20})(\lambda + e_{19})]
\end{aligned}$$

Lampiran K. Lanjutan

$$\begin{aligned}
& +(\lambda + e_1 + e_2 + \mu)\varepsilon_1\varepsilon_2 \left[(\lambda + e_5)[e_8e_{11}(\lambda + e_{18}) - e_9e_{12}(\lambda + e_{18})] \right. \\
& \quad + e_7[-e_9[-e_{11}(-e_{16} + e_{17}) + e_{12}(-e_{15} + e_{17})] \\
& \quad - e_9[e_{12}(-e_{16} + e_{17}) + e_{12}(-e_{14} + e_{16})] \\
& \quad \left. - e_9[e_{12}(-e_{15} + e_{17}) + e_{11}(-e_{14} + e_{16})]]\right] [-\omega_1\omega_2 \\
& \quad + (\lambda + e_{20})(\lambda + e_{19})] \\
& + e_1e_2(\lambda + e_4 + e_1)[e_{11}(\lambda + e_{10})e_6(\lambda + e_{18}) \\
& \quad + (\lambda + e_{13})[e_6e_8(\lambda + e_{18}) + e_7(\lambda + e_{10})(e_{14} + e_{15})]] [-\omega_1\omega_2 \\
& \quad + (\lambda + e_{20})(\lambda + e_{19})] \\
& + e_1e_2\varepsilon_2[-e_{11}[e_6e_9(\lambda + e_{18}) + e_7(\lambda + e_{10})(-e_{15} + e_{17})] \\
& \quad - e_{11}[e_6e_8(\lambda + e_{18}) + e_7(\lambda + e_{10})(e_{14} + e_{15})]] [-\omega_1\omega_2 \\
& \quad + (\lambda + e_{20})(\lambda + e_{19})] \\
& + e_1\varepsilon_1(\lambda + e_4 + e_1) \left[e_8[e_{12}e_6(\lambda + e_{18}) + (\lambda + e_{13})[(\lambda + e_5)(\lambda + e_{18}) + e_7(-e_{16} + e_{17})]] \right. \\
& \quad + e_9[-e_{11}e_6(\lambda + e_{18}) + (\lambda + e_{13})e_7(e_{14} + e_{15})] \left. \right] [-\omega_1\omega_2 \\
& \quad + (\lambda + e_{20})(\lambda + e_{19})] \\
& + e_1\varepsilon_1e_1[e_8[e_{11}e_6(\lambda + e_{18}) + (\lambda + e_{13})e_7(-e_{15} + e_{17})] \\
& \quad - e_9[-e_{11}e_6(\lambda + e_{18}) + (\lambda + e_{13})e_7(e_{14} + e_{15})]] [-\omega_1\omega_2 \\
& \quad + (\lambda + e_{20})(\lambda + e_{19})] \\
& + e_1\varepsilon_1\varepsilon_2 \left[(\lambda + e_5)[-e_8e_{11}(\lambda + e_{18}) - e_9e_{11}(\lambda + e_{18})] \right. \\
& \quad + e_7[e_8[-e_{11}(-e_{16} + e_{17}) + e_{12}(-e_{15} + e_{17})] \\
& \quad - e_9[e_{11}(-e_{16} + e_{17}) + e_{12}(e_{14} + e_{15})] \\
& \quad \left. - e_9[e_{11}(-e_{15} + e_{17}) + e_{11}(e_{14} + e_{15})]]\right] [-\omega_1\omega_2 \\
& \quad + (\lambda + e_{20})(\lambda + e_{19})] \\
& + e_2e_1(\lambda + e_3 + e_2)[-e_{11}(\lambda + e_{18})e_6(\lambda + e_{10}) \\
& \quad + (\lambda + e_{13})[e_6e_8(\lambda + e_{18}) + e_7(\lambda + e_{10})(e_{14} + e_{15})]] [-\omega_1\omega_2 \\
& \quad + (\lambda + e_{20})(\lambda + e_{19})] \\
& + e_2e_1\varepsilon_1[e_6[e_8e_{12}(\lambda + e_{18}) + e_8e_{11}(\lambda + e_{18})] \\
& \quad + e_7[-e_8(\lambda + e_{13})(-e_{14} + e_{16})] \\
& \quad - e_8(\lambda + e_{13})(e_{14} + e_{15})] [-\omega_1\omega_2 + (\lambda + e_{20})(\lambda + e_{19})]
\end{aligned}$$

Lampiran K. Lanjutan

$$\begin{aligned}
& + e_2 \varepsilon_2 (\lambda + e_3 + e_2) \left[e_{11} [-e_9 e_6 (\lambda + e_{18}) \right. \\
& \quad \left. + (\lambda + e_{10}) [(\lambda + e_5)(\lambda + e_{18}) + e_7(-e_{16} + e_{17})]] \right. \\
& \quad \left. + e_{12} [e_8 e_6 (\lambda + e_{18}) + (\lambda + e_{10}) e_7 (e_{14} + e_{15})] \right] [-\omega_1 \omega_2 \\
& \quad + (\lambda + e_{20})(\lambda + e_{19})] \\
& + e_2 \varepsilon_2 e_2 [e_{11} [-e_8 e_6 (\lambda + e_{18}) + (\lambda + e_{10}) e_7 (-e_{14} + e_{16})] \\
& \quad - e_{12} [e_8 e_6 (\lambda + e_{18}) + (\lambda + e_{10}) e_7 (e_{14} + e_{15})]] [-\omega_1 \omega_2 \\
& \quad + (\lambda + e_{20})(\lambda + e_{19})] \\
& - e_2 \varepsilon_2 \varepsilon_1 \left[(\lambda + e_5) [e_8 e_{12} (\lambda + e_{18}) + e_8 e_{11} (\lambda + e_{18})] \right. \\
& \quad \left. + e_7 [e_8 [e_{12} (-e_{16} + e_{17}) + e_{12} (-e_{14} + e_{16})] \right. \\
& \quad \left. + e_8 [e_{11} (-e_{16} + e_{17}) + e_{12} (e_{14} + e_{15})] \right. \\
& \quad \left. - e_9 [e_{11} (-e_{14} + e_{16}) - e_{12} (e_{14} + e_{15})]] \right] [-\omega_1 \omega_2 \\
& \quad + (\lambda + e_{20})(\lambda + e_{19})] = 0
\end{aligned}$$

Sehingga diperoleh persamaan karakteristik untuk titik setimbang endemik *co-infection chlamydia-pneumonia* dengan pangkat tertinggi adalah 9, yang ditunjukkan sebagai berikut

$$\begin{aligned}
& \leftrightarrow [\lambda^7 + L_1 \lambda^6 + L_2 \lambda^5 + L_3 \lambda^4 + L_4 \lambda^3 + L_5 \lambda^2 + L_6 \lambda + L_7] [\lambda^2 \\
& \quad + M_1 \lambda + M_2] = 0
\end{aligned}$$

Lampiran L. Perhitungan Kriteria Routh-Hurwitz Persamaan Karakteristik Titik Setimbang Endemik *Co-infection Chlamydia-Pneumonia (E_0)₃*

Menentukan syarat untuk Persamaan (4.8) agar memiliki akar-akar negatif dengan menggunakan kriteria Routh-Hurwitz

$$[\lambda^7 + L_1\lambda^6 + L_2\lambda^5 + L_3\lambda^4 + L_4\lambda^3 + L_5\lambda^2 + L_6\lambda + L_7][\lambda^2 + M_1\lambda + M_2] = 0 \quad (4.8)$$

Persamaan karakteristik (4.8) dapat ditulis sebagai

$$\lambda^7 + L_1\lambda^6 + L_2\lambda^5 + L_3\lambda^4 + L_4\lambda^3 + L_5\lambda^2 + L_6\lambda + L_7 = 0 \quad (4.8a)$$

$$\lambda^2 + M_1\lambda + M_2 = 0 \quad (4.8b)$$

Menentukan syarat untuk Persamaan (4.8a)

$$\lambda^7 + L_1\lambda^6 + L_2\lambda^5 + L_3\lambda^4 + L_4\lambda^3 + L_5\lambda^2 + L_6\lambda + L_7 = 0 \quad (4.8a)$$

λ^7	1	L_2	L_4	L_6
λ^6	L_1	L_3	L_5	L_7
λ^5	b_1	b_2	b_3	b_4
λ^4	c_1	c_2	c_3	
λ^3	d_1	d_2		
λ^2	e_1	e_2		
λ	f_1			
	1			

dengan

$$b_1 = \frac{L_1 L_2 - L_3}{L_1}$$

$$b_2 = \frac{L_1 L_4 - L_5}{L_1}$$

$$b_3 = \frac{L_1 L_6 - L_7}{L_1}$$

Lampiran L. Lanjutan

$$\begin{aligned}
 c_1 &= \frac{b_1 L_3 - L_1 b_2}{b_1} \\
 &= \left(\frac{(L_1 L_2 - L_3)}{L_1} L_3 - L_1 \frac{L_1 L_4 - L_5}{L_1} \right) \frac{L_1}{(L_1 L_2 - L_3)} \\
 &= \left(\frac{(L_1 L_2 - L_3)}{L_1} L_3 \times \frac{L_1}{(L_1 L_2 - L_3)} \right) \\
 &\quad - \left(L_1 \frac{L_1 L_4 - L_5}{L_1} \times \frac{L_1}{(L_1 L_2 - L_3)} \right) \\
 &= L_3 - L_1 \frac{L_1 L_4 - L_5}{L_1 L_2 - L_3} \\
 &= \frac{(L_1 L_2 - L_3) L_3 - L_1 (L_1 L_4 - L_5)}{(L_1 L_2 - L_3)} \\
 c_2 &= \frac{b_1 L_5 - L_1 b_3}{b_1} \\
 &= \left(\frac{(L_1 L_2 - L_3)}{L_1} L_5 - L_1 \frac{L_1 L_6 - L_7}{L_1} \right) \frac{L_1}{(L_1 L_2 - L_3)} \\
 &= \left(\frac{(L_1 L_2 - L_3)}{L_1} L_5 \times \frac{L_1}{(L_1 L_2 - L_3)} \right) \\
 &\quad - \left(L_1 \frac{L_1 L_6 - L_7}{L_1} \times \frac{L_1}{(L_1 L_2 - L_3)} \right) \\
 &= L_5 - L_1 \frac{L_1 L_6 - L_7}{L_1 L_2 - L_3}
 \end{aligned}$$

Lampiran L. Lanjutan

$$= \frac{(L_1L_2 - L_3)L_5 - L_1(L_1L_6 - L_7)}{(L_1L_2 - L_3)}$$

$$c_3 = \frac{b_1L_7 - L_1b_4}{b_1}$$

$$= \left(\frac{(L_1L_2 - L_3)}{L_1} L_7 \right) \frac{L_1}{(L_1L_2 - L_3)}$$

$$= L_7$$

$$d_1 = \frac{c_1b_2 - b_1c_2}{c_1}$$

$$= \left[\left(\frac{(L_1L_2 - L_3)L_3 - L_1(L_1L_4 - L_5)}{(L_1L_2 - L_3)} \right) \left(\frac{L_1L_4 - L_5}{L_1} \right) \right. \\ \left. - \left(\frac{L_1L_2 - L_3}{L_1} \right) \left(\frac{(L_1L_2 - L_3)L_5 - L_1(L_1L_6 - L_7)}{(L_1L_2 - L_3)} \right) \right]$$

$$\left(\frac{(L_1L_2 - L_3)}{(L_1L_2 - L_3)L_3 - L_1(L_1L_4 - L_5)} \right)$$

$$= \left(\frac{L_1L_4 - L_5}{L_1} \right) \\ - \left(\frac{L_1L_2 - L_3}{L_1} \right) \left(\frac{(L_1L_2 - L_3)L_5 - L_1(L_1L_6 - L_7)}{(L_1L_2 - L_3)L_3 - L_1(L_1L_4 - L_5)} \right)$$

$$d_2 = \frac{c_1b_3 - b_1c_3}{c_1}$$

Lampiran L. Lanjutan

$$= \left[\left(\frac{(L_1 L_2 - L_3) L_3 - L_1 (L_1 L_4 - L_5)}{(L_1 L_2 - L_3)} \right) \left(\frac{L_1 L_6 - L_7}{L_1} \right) \right. \\ \left. - \left(\frac{L_1 L_2 - L_3}{A_1} \right) (L_7) \right] \left(\frac{(L_1 L_2 - L_3)}{(L_1 L_2 - L_3) L_3 - L_1 (L_1 L_4 - L_5)} \right)$$

$$= \left(\frac{L_1 L_6 - L_7}{L_1} \right) \\ - \left(\frac{L_1 L_2 - L_3}{L_1} \right) (L_7) \left(\frac{(L_1 L_2 - L_3)}{(L_1 L_2 - L_3) L_3 - L_1 (L_1 L_4 - L_5)} \right)$$

$$e_1 = \frac{d_1 c_2 - c_1 d_2}{d_1}$$

$$= \left[\left(\frac{(L_1 L_4 - L_5)}{L_1} \right) \right. \\ \left. - \left(\frac{L_1 L_2 - L_3}{L_1} \right) \left(\frac{(L_1 L_2 - L_3) L_5 - L_1 (L_1 L_6 - L_7)}{(L_1 L_2 - L_3) L_3 - L_1 (L_1 L_4 - L_5)} \right) \right] \left(\frac{(L_1 L_2 - L_3) L_5 - L_1 (L_1 L_6 - L_7)}{(L_1 L_2 - L_3)} \right) \\ - \left(\frac{(L_1 L_2 - L_3) L_3 - L_1 (L_1 L_4 - L_5)}{(L_1 L_2 - L_3)} \right) \left(\frac{(L_1 L_6 - L_7)}{L_1} \right) \\ - \left. \left(\frac{L_1 L_2 - L_3}{L_1} \right) (L_7) \left(\frac{(L_1 L_2 - L_3)}{(L_1 L_2 - L_3) L_3 - L_1 (L_1 L_4 - L_5)} \right) \right]$$

$$\left(\frac{1}{\left(\frac{L_1 L_4 - L_5}{L_1} \right) - \left(\frac{L_1 L_2 - L_3}{L_1} \right) \left(\frac{(L_1 L_2 - L_3) L_5 - L_1 (L_1 L_6 - L_7)}{(L_1 L_2 - L_3) L_3 - L_1 (L_1 L_4 - L_5)} \right)} \right)$$

$$= \left(\frac{(L_1 L_2 - L_3) L_5 - L_1 (L_1 L_6 - L_7)}{(L_1 L_2 - L_3)} \right) -$$

$$\left(\frac{\left(\frac{(L_1 L_2 - L_3) L_3 - L_1 (L_1 L_4 - L_5)}{(L_1 L_2 - L_3)} \right) \left(\left(\frac{L_1 L_6 - L_7}{L_1} \right) - \left(\frac{L_1 L_2 - L_3}{L_1} \right) (L_7) \left(\frac{(L_1 L_2 - L_3)}{(L_1 L_2 - L_3) L_3 - L_1 (L_1 L_4 - L_5)} \right) \right)}{\left(\frac{L_1 L_4 - L_5}{L_1} \right) - \left(\frac{L_1 L_2 - L_3}{L_1} \right) \left(\frac{(L_1 L_2 - L_3) L_5 - L_1 (L_1 L_6 - L_7)}{(L_1 L_2 - L_3) L_3 - L_1 (L_1 L_4 - L_5)} \right)} \right)$$

Lampiran L. Lanjutan

$$e_2 = \frac{d_1 c_3 - c_1 d_3}{d_1}$$

$$= c_3$$

$$= L_7$$

$$f_1 = \frac{e_1 d_2 - d_1 e_2}{e_1}$$

$$\begin{aligned}
&= \left[\left(\left(\frac{(L_1 L_2 - L_3) L_5 - L_1 (L_1 L_6 - L_7)}{(L_1 L_2 - L_3)} \right) \right. \right. \\
&\quad \left. \left. - \left(\frac{\left(\frac{(L_1 L_2 - L_3) L_5 - L_1 (L_1 L_4 - L_5)}{(L_1 L_2 - L_3)} \right) \left(\frac{(L_1 L_6 - L_7)}{L_1} \right) - \left(\frac{L_1 L_2 - L_3}{L_1} \right) (L_7) \left(\frac{(L_1 L_2 - L_3)}{(L_1 L_2 - L_3) L_3 - L_1 (L_1 L_4 - L_5)} \right)}{\left(\frac{L_1 L_4 - L_5}{L_1} \right) - \left(\frac{L_1 L_2 - L_3}{L_1} \right) \left(\frac{(L_1 L_2 - L_3) L_5 - L_1 (L_1 L_6 - L_7)}{(L_1 L_2 - L_3) L_3 - L_1 (L_1 L_4 - L_5)} \right)} \right) \right) \left(\frac{L_1 L_6 - L_7}{L_1} \right) \\
&\quad \left. - \left(\frac{L_1 L_2 - L_3}{L_1} \right) (L_7) \left(\frac{(L_1 L_2 - L_3)}{(L_1 L_2 - L_3) L_3 - L_1 (L_1 L_4 - L_5)} \right) \right. - \left. \left(\frac{L_1 L_4 - L_5}{L_1} \right) - L_7 \left(\frac{L_1 L_2 - L_3}{L_1} \right) \left(\frac{(L_1 L_2 - L_3) L_5 - L_1 (L_1 L_6 - L_7)}{(L_1 L_2 - L_3) L_3 - L_1 (L_1 L_4 - L_5)} \right) \right] \\
&\quad \left(\frac{1}{\left(\frac{(L_1 L_2 - L_3) L_5 - L_1 (L_1 L_6 - L_7)}{(L_1 L_2 - L_3)} \right) - \left(\frac{\left(\frac{(L_1 L_2 - L_3) L_5 - L_1 (L_1 L_4 - L_5)}{(L_1 L_2 - L_3)} \right) \left(\frac{(L_1 L_6 - L_7)}{L_1} \right) - \left(\frac{L_1 L_2 - L_3}{L_1} \right) (L_7) \left(\frac{(L_1 L_2 - L_3)}{(L_1 L_2 - L_3) L_3 - L_1 (L_1 L_4 - L_5)} \right)}{\left(\frac{L_1 L_4 - L_5}{L_1} \right) - \left(\frac{L_1 L_2 - L_3}{L_1} \right) \left(\frac{(L_1 L_2 - L_3) L_5 - L_1 (L_1 L_6 - L_7)}{(L_1 L_2 - L_3) L_3 - L_1 (L_1 L_4 - L_5)} \right)} \right) \right) \\
&= \left(\frac{\left(\frac{L_1 L_6 - L_7}{L_1} \right) - \left(\frac{L_1 L_2 - L_3}{L_1} \right) (L_7) \left(\frac{(L_1 L_2 - L_3)}{(L_1 L_2 - L_3) L_3 - L_1 (L_1 L_4 - L_5)} \right)}{\left(\frac{L_1 L_4 - L_5}{L_1} \right) - L_7 \left(\frac{L_1 L_2 - L_3}{L_1} \right) \left(\frac{(L_1 L_2 - L_3) L_5 - L_1 (L_1 L_6 - L_7)}{(L_1 L_2 - L_3) L_3 - L_1 (L_1 L_4 - L_5)} \right)} \right. \\
&\quad \left. - \left(\frac{\left(\frac{(L_1 L_2 - L_3) L_5 - L_1 (L_1 L_6 - L_7)}{(L_1 L_2 - L_3)} \right) \left(\frac{(L_1 L_6 - L_7)}{L_1} \right) - \left(\frac{L_1 L_2 - L_3}{L_1} \right) (L_7) \left(\frac{(L_1 L_2 - L_3)}{(L_1 L_2 - L_3) L_3 - L_1 (L_1 L_4 - L_5)} \right)}{\left(\frac{L_1 L_4 - L_5}{L_1} \right) - \left(\frac{L_1 L_2 - L_3}{L_1} \right) \left(\frac{(L_1 L_2 - L_3) L_5 - L_1 (L_1 L_6 - L_7)}{(L_1 L_2 - L_3) L_3 - L_1 (L_1 L_4 - L_5)} \right)} \right)
\end{aligned}$$

Persamaan (4.8a) akan memiliki akar-akar yang negatif jika dan hanya jika $L_1, L_2, L_3, L_4, L_5, L_6, L_7 > 0$

Lampiran L. Lanjutan

$$\begin{aligned}
 & \leftrightarrow (L_1 L_2 - L_3) L_3 > L_1 (L_1 L_4 - L_5). \\
 & \leftrightarrow \left(\frac{L_1 L_4 - L_5}{L_1} \right) > \left(\frac{L_1 L_2 - L_3}{L_1} \right) \left(\frac{(L_1 L_2 - L_3) L_5 - L_1 (L_1 L_6 - L_7)}{(L_1 L_2 - L_3) L_3 - L_1 (L_1 L_4 - L_5)} \right) \\
 & \leftrightarrow \left(\frac{(L_1 L_2 - L_3) L_5 - L_1 (L_1 L_6 - L_7)}{(L_1 L_2 - L_3)} \right) > \\
 & \quad \left(\frac{\left(\frac{(L_1 L_2 - L_3) L_3 - L_1 (L_1 L_4 - L_5)}{(L_1 L_2 - L_3)} \right) \left(\left(\frac{L_1 L_6 - L_7}{L_1} \right) - \left(\frac{L_1 L_2 - L_3}{L_1} \right) (L_7) \left(\frac{(L_1 L_2 - L_3)}{(L_1 L_2 - L_3) L_3 - L_1 (L_1 L_4 - L_5)} \right) }{\left(\frac{L_1 L_4 - L_5}{L_1} \right) - \left(\frac{L_1 L_2 - L_3}{L_1} \right) \left(\frac{(L_1 L_2 - L_3) L_5 - L_1 (L_1 L_6 - L_7)}{(L_1 L_2 - L_3) L_3 - L_1 (L_1 L_4 - L_5)} \right)} \right) \\
 & \leftrightarrow \left(\left(\frac{L_1 L_6 - L_7}{L_1} \right) - \left(\frac{L_1 L_2 - L_3}{L_1} \right) (L_7) \left(\frac{(L_1 L_2 - L_3)}{(L_1 L_2 - L_3) L_3 - L_1 (L_1 L_4 - L_5)} \right) \right) > \\
 & \quad \left(\left(\frac{L_1 L_4 - L_5}{L_1} \right) - L_7 \left(\frac{L_1 L_2 - L_3}{L_1} \right) \left(\frac{(L_1 L_2 - L_3) L_5 - L_1 (L_1 L_6 - L_7)}{(L_1 L_2 - L_3) L_3 - L_1 (L_1 L_4 - L_5)} \right) \right) \\
 & \quad \left(\frac{(L_1 L_2 - L_3) L_5 - L_1 (L_1 L_6 - L_7)}{(L_1 L_2 - L_3) L_3 - L_1 (L_1 L_4 - L_5)} \right) - \left(\frac{\left(\frac{(L_1 L_2 - L_3) L_2 - L_1 (L_1 L_4 - L_5)}{(L_1 L_2 - L_3)} \right) \left(\left(\frac{L_1 L_6 - L_7}{L_1} \right) - \left(\frac{L_1 L_2 - L_3}{L_1} \right) (L_7) \left(\frac{(L_1 L_2 - L_3)}{(L_1 L_2 - L_3) L_3 - L_1 (L_1 L_4 - L_5)} \right) }{\left(\frac{L_1 L_4 - L_5}{L_1} \right) - \left(\frac{L_1 L_2 - L_3}{L_1} \right) \left(\frac{(L_1 L_2 - L_3) L_5 - L_1 (L_1 L_6 - L_7)}{(L_1 L_2 - L_3) L_3 - L_1 (L_1 L_4 - L_5)} \right)} \right)
 \end{aligned}$$

Menentukan syarat untuk Persamaan (4.8b)

$$\lambda^2 + M_1 \lambda + M_2 = 0 \quad (4.8b)$$

$$\begin{array}{c|cc}
 \lambda^2 & 1 & M_2 \\
 \lambda & M_1 & \\
 1 & b_1 &
 \end{array}$$

dengan

$$b_1 = \frac{M_1 M_2}{M_1}$$

Persamaan (4.8b) akan memiliki akar-akar negatif jika dan hanya jika $M_1, M_2 > 0$.

Lampiran M. Source Code Simulasi

Source Code pada Pushbutton ‘PlotSusceptible’

```
% --- Executes on button press in PlotSusceptible.
function PlotSusceptible_Callback(hObject, eventdata,
handles)
%----- inisialisasi parameter -----
t0 = str2double(get(handles.t0,'String'));
tf = str2double(get(handles.tf,'String'));
n=str2double(get(handles.n,'String'));
miu = str2double(get(handles.miu,'String'));
beta1 = str2double(get(handles.beta1,'String'));
beta2 = str2double(get(handles.beta2,'String'));
beta10 = str2double(get(handles.beta10,'String'));
beta02 = str2double(get(handles.beta02,'String'));
epsilon1 = str2double(get(handles.epsilon1,'String'));
epsilon2 = str2double(get(handles.epsilon2,'String'));
epsilon10 = str2double(get(handles.epsilon10,'String'));
epsilon02 = str2double(get(handles.epsilon02,'String'));
rho1 = str2double(get(handles.rho1,'String'));
rho2 = str2double(get(handles.rho2,'String'));
rho10 = str2double(get(handles.rho10,'String'));
rho02 = str2double(get(handles.rho02,'String'));
omegal = str2double(get(handles.omegal,'String'));
omega2 = str2double(get(handles.omega2,'String'));
h =(tf-t0)/n ;
t = 0:h:n*h;
hh = 1/2;
%----- variable state -----
S=zeros(n+1,1);
E1=zeros(n+1,1);
E2=zeros(n+1,1);
E12=zeros(n+1,1);
I1=zeros(n+1,1);
I2=zeros(n+1,1);
I12=zeros(n+1,1);
R1=zeros(n+1,1);
R2=zeros(n+1,1);
%----- inisialisasi variabel state -----
S(1)=0.25;
E1(1)=0.18;
E2(1)=0.15;
E12(1)=0.12;
I1(1)=0.1;
I2(1)=0.09;
I12(1)=0.06;
R1(1)=0.03;
R2(1)=0.02;
N(1)=S(1)+E1(1)+E2(1)+E12(1)+I1(1)+I2(1)+I12(1)+R1(1)+R2(1)
```

Lampiran M. Lanjutan

```
%----- Basic Reproduction Number -----
Ro1=(beta1*epsilon1)/((miu+epsilon1)*(miu+rho1))
Ro2=(beta2*epsilon2)/((miu+epsilon2)*(miu+rho2))
%Menampilkan hasil perhitungan Ro
set(handles.Ro1,'string', Ro1);
set(handles.Ro2,'string', Ro2);
if Ro1 >= 1
    % if condition is true then print the following
    chlamydia='Stabil'
    set(handles.chlamydia,'string',chlamydia);
elseif( Ro1 < 1 )
    % if else if condition is true
    chlamydia='Tidak Stabil'
    set(handles.chlamydia,'string',chlamydia);
end
if Ro2 >= 1
    % if condition is true then print the following
    pneumonia='Stabil'
    set(handles.pneumonia,'string',pneumonia);
elseif( Ro2 < 1 )
    % if else if condition is true
    pneumonia='Tidak Stabil'
    set(handles.pneumonia,'string',pneumonia);
end
if Ro1 >= 1 & Ro2>=1
    % if condition is true then print the following
    coinfection='Stabil'
    set(handles.coinfection,'string',coinfection);
elseif( Ro1 < 1 & Ro2 < 1 )
    % if else if condition is true
    coinfection='Tidak Stabil'
    set(handles.coinfection,'string',coinfection);
elseif( Ro1 < 1 & Ro2 >= 1 )
    % if else if condition is true
    coinfection='Tidak Stabil'
    set(handles.coinfection,'string',coinfection);
elseif( Ro1 >= 1 & Ro2 < 1 )
    % if else if condition is true
    coinfection='Tidak Stabil'
    set(handles.coinfection,'string',coinfection);
end
%----- Representasi Metode Runge-Kutta -----
for i=1:n
    %Step 1
    K1_S(i)= h*(miu-(miu*S(i))-((beta1*I1(i))+(beta10*I12(i)))*S(i)-((beta2*I2(i))+(beta02*I12(i)))*S(i));
```

Lampiran M. Lanjutan

```

K1_E1(i)= h*((beta1*I1(i))+(beta10*I12(i)))*S(i)-
(miu*E1(i))-(epsilon1*E1(i))-
((beta2*I2(i))+(beta02*I12(i)))*E1(i));
K1_E2(i)= h*((beta2*I2(i))+(beta02*I12(i)))*S(i)-
(miu*E2(i))-(epsilon2*E2(i))-
((beta1*I1(i))+(beta10*I12(i)))*E2(i);
K1_E12(i)=
h*((beta2*I2(i))+(beta02*I12(i)))*E1(i)+((beta1*I1(i))+(beta10*I12(i)))*E2(i)-
(miu*E12(i))-(epsilon10*E12(i))-
(epsilon02*E12(i));
K1_I1(i)= h*((epsilon1*E1(i))+(epsilon10*E12(i))-
(miu*I1(i))-(epsilon02*E12(i))-(rho1*I1(i)));
K1_I2(i)= h*((epsilon2*E2(i))+(epsilon02*E12(i))-
(miu*I2(i))-(epsilon10*E12(i))-(rho2*I2(i)));
K1_I12(i)= h*((epsilon02*E12(i))+(epsilon10*E12(i))-
(miu*I12(i))-(rho10*I12(i))-(rho02*I12(i)));
K1_R1(i)= h*((rho1*I1(i))+(rho10*I12(i))+(omega2*R2(i))-
(miu*R1(i))-(omega1*R1(i)));
K1_R2(i)= h*((rho2*I2(i))+(rho02*I12(i))+(omega1*R1(i))-
(miu*R2(i))-(omega2*R2(i)));
%Step2
K2_S(i)= h*(miu-(miu*(S(i)+hh*K1_S(i)))-
((beta1*(I1(i)+hh*K1_I1(i)))+(beta10*(I12(i)+hh*K1_I12(i))))*
(S(i)+hh*K1_S(i))-
((beta2*(I2(i)+hh*K1_I2(i)))+(beta02*(I12(i)+hh*K1_I12(i))))*
(S(i)+hh*K1_S(i)));
K2_E1(i)=
h*((beta1*(I1(i)+hh*K1_I1(i)))+(beta10*(I12(i)+hh*K1_I12(i)))*
(S(i)+hh*K1_S(i))-(miu*(E1(i)+hh*K1_E1(i)))-(
epsilon1*(E1(i)+hh*K1_E1(i))-
((beta2*(I2(i)+hh*K1_I2(i)))+(beta02*(I12(i)+hh*K1_I12(i))))*
(E1(i)+hh*K1_E1(i)));
K2_E2(i)=
h*((beta2*(I2(i)+hh*K1_I2(i)))+(beta02*(I12(i)+hh*K1_I12(i)))*
(S(i)+hh*K1_S(i))-(miu*(E2(i)+hh*K1_E2(i)))-(
epsilon2*(E2(i)+hh*K1_E2(i))-
((beta1*(I1(i)+hh*K1_I1(i)))+(beta10*(I12(i)+hh*K1_I12(i))))*
(E2(i)+hh*K1_E2(i)));
K2_E12(i)=
h*((beta2*(I2(i)+hh*K1_I2(i)))+(beta02*(I12(i)+hh*K1_I12(i)))*
(E1(i)+hh*K1_E1(i))+((beta1*(I1(i)+hh*K1_I1(i)))+(beta10*(I12(i)+hh*K1_I12(i)))*
(E1(i)+hh*K1_E1(i)))*(E2(i)+hh*K1_E2(i))-
(miu*(E12(i)+hh*K1_E12(i)))-(
epsilon10*(E12(i)+hh*K1_E12(i)))-(
epsilon02*(E12(i)+hh*K1_E12(i))));;
K2_I1(i)=
h*((epsilon1*(E1(i)+hh*K1_E1(i)))+(epsilon10*(E12(i)+hh*K1_E12(i)))-(
miu*(I1(i)+hh*K1_I1(i)))-
```

Lampiran M. Lanjutan

```

(epsilon02*(E12(i)+hh*K1_E12(i)))-  

(rho1*(I1(i)+hh*K1_I1(i)));  

K2_I2(i)=  

h*((epsilon02*(E2(i)+hh*K1_E2(i)))+(epsilon02*(E12(i)+hh*K1_E  
12(i)))-(miu*(I2(i)+hh*K1_I2(i)))-  

(epsilon10*(E12(i)+hh*K1_E12(i)))-  

(rho2*(I2(i)+hh*K1_I2(i))));  

K2_I12(i)=  

h*((epsilon02*(E12(i)+hh*K1_E12(i)))+(epsilon10*(E12(i)+hh*K  
1_E12(i)))-(miu*(I12(i)+hh*K1_I12(i)))-  

(rho10*(I12(i)+hh*K1_I12(i)))-  

(rho02*(I12(i)+hh*K1_I12(i))));  

K2_R1(i)=  

h*((rho1*(I1(i)+hh*K1_I1(i)))+(rho10*(I12(i)+hh*K1_I12(i)))+  

(omega2*(R2(i)+hh*K1_R2(i)))-(miu*(R1(i)+hh*K1_R1(i)))-  

(omega1*(R1(i)+hh*K1_R1(i))));  

K2_R2(i)=  

h*((rho2*(I2(i)+hh*K1_I2(i)))+(rho02*(I12(i)+hh*K1_I12(i)))+  

(omega1*(R1(i)+hh*K1_R1(i)))-(miu*(R2(i)+hh*K1_R2(i)))-  

(omega2*(R2(i)+hh*K1_R2(i))));  

%Step3  

K3_S(i)= hh*(miu-(miu*(S(i)+hh*K2_S(i)))-  

(beta1*(I1(i)+hh*K2_I1(i)))+(beta10*(I12(i)+hh*K2_I12(i)))-  

(S(i)+hh*K2_S(i))-  

(beta2*(I2(i)+hh*K2_I2(i)))+(beta02*(I12(i)+hh*K2_I12(i)))-  

(S(i)+hh*K2_S(i));  

K3_E1(i)=  

h*((beta1*(I1(i)+hh*K2_I1(i)))+(beta10*(I12(i)+hh*K2_I12(i)))-  

(S(i)+hh*K2_S(i))-(miu*(E1(i)+hh*K2_E1(i)))-  

(epsilon1*(E1(i)+hh*K2_E1(i)))-  

(beta2*(I2(i)+hh*K2_I2(i)))+(beta02*(I12(i)+hh*K2_I12(i)))-  

(E1(i)+hh*K2_E1(i));  

K3_E2(i)=  

h*((beta2*(I2(i)+hh*K2_I2(i)))+(beta02*(I12(i)+hh*K2_I12(i)))-  

(S(i)+hh*K2_S(i))-(miu*(E2(i)+hh*K2_E2(i)))-  

(epsilon2*(E2(i)+hh*K2_E2(i)))-  

(beta1*(I1(i)+hh*K2_I1(i)))+(beta10*(I12(i)+hh*K2_I12(i)))-  

(E2(i)+hh*K2_E2(i));  

K3_E12(i)=  

h*((beta2*(I2(i)+hh*K2_I2(i)))+(beta02*(I12(i)+hh*K2_I12(i)))-  

(E1(i)+hh*K2_E1(i))+((beta1*(I1(i)+hh*K2_I1(i)))+(beta10  
*(I12(i)+hh*K2_I12(i)))*(E2(i)+hh*K2_E2(i)))-  

(miu*(E12(i)+hh*K2_E12(i)))-  

(epsilon10*(E12(i)+hh*K2_E12(i)))-  

(epsilon02*(E12(i)+hh*K2_E12(i))));  

K3_I1(i)=  

h*((epsilon1*(E1(i)+hh*K2_E1(i)))+(epsilon10*(E12(i)+hh*K2_E  
12(i)))-(miu*(I1(i)+hh*K2_I1(i)))-

```

Lampiran M. Lanjutan

```

(epsilon02*(E12(i)+hh*K2_E12(i)))-  

(rho1*(I1(i)+hh*K2_I1(i))));  

K3_I2(i)=  

h*((epsilon02*(E2(i)+hh*K2_E2(i)))+(epsilon02*(E12(i)+hh*K2_E  

12(i)))-(miu*(I2(i)+hh*K2_I2(i)))-  

(epsilon10*(E12(i)+hh*K2_E12(i)))-  

(rho2*(I2(i)+hh*K2_I2(i))));  

K3_I12(i)=  

h*((epsilon02*(E12(i)+hh*K2_E12(i)))+(epsilon10*(E12(i)+hh*K  

2_E12(i)))-(miu*(I12(i)+hh*K2_I12(i)))-  

(rho10*(I12(i)+hh*K2_I12(i)))-  

(rho02*(I12(i)+hh*K2_I12(i))));  

K3_R1(i)=  

h*((rho1*(I1(i)+hh*K2_I1(i)))+(rho10*(I12(i)+hh*K2_I12(i)))+  

(omega2*(R2(i)+hh*K2_R2(i)))-(miu*(R1(i)+hh*K2_R1(i)))-  

(omega1*(R1(i)+hh*K2_R1(i))));  

K3_R2(i)=  

h*((rho2*(I2(i)+hh*K2_I2(i)))+(rho02*(I12(i)+hh*K2_I12(i)))+  

(omega1*(R1(i)+hh*K2_R1(i)))-(miu*(R2(i)+hh*K2_R2(i)))-  

(omega2*(R2(i)+hh*K2_R2(i))));  

%Step4  

K4_S(i) = h*(miu-(miu*(S(i)+K3_S(i)))-  

((beta1*(I1(i)+K3_I1(i))+(beta10*(I12(i)+K3_I12(i)))*(S(i)  

+K3_S(i))-  

((beta2*(I2(i)+K3_I2(i))+(beta02*(I12(i)+K3_I12(i)))*(S(i)  

+K3_S(i))));  

K4_E1(i)=  

h*((beta1*(I1(i)+K3_I1(i))+(beta10*(I12(i)+K3_I12(i)))*(S(i)  

+K3_S(i))-(miu*(E1(i)+K3_E1(i)))-  

(epsilon1*(E1(i)+K3_E1(i)))-  

((beta2*(I2(i)+K3_I2(i))+(beta02*(I12(i)+K3_I12(i)))*(E1(i)  

+K3_E1(i))));  

K4_E2(i)=  

h*((beta2*(I2(i)+K3_I2(i))+(beta02*(I12(i)+K3_I12(i)))*(S(i)  

+K3_S(i))-(miu*(E2(i)+K3_E2(i)))-  

(epsilon2*(E2(i)+K3_E2(i)))-  

((beta1*(I1(i)+K3_I1(i))+(beta10*(I12(i)+K3_I12(i)))*(E2(i)  

+K3_E2(i))));  

K4_E12(i)=  

h*((beta2*(I2(i)+K3_I2(i))+(beta02*(I12(i)+K3_I12(i)))*(E  

1(i)+K3_E1(i))+((beta1*(I1(i)+K3_I1(i))+(beta10*(I12(i)+K3  

_I12(i)))*(E2(i)+K3_E2(i))-(miu*(E12(i)+K3_E12(i)))-  

(epsilon10*(E12(i)+K3_E12(i)))-  

(epsilon02*(E12(i)+K3_E12(i))));  

K4_I1(i)=  

h*((epsilon1*(E1(i)+K3_E1(i)))+(epsilon10*(E12(i)+K3_E12(i)))-  

(miu*(I1(i)+K3_I1(i)))-(epsilon02*(E12(i)+K3_E12(i)))-  

(rho1*(I1(i)+K3_I1(i))));
```

Lampiran M. Lanjutan

```

K4_I2(i)=
h*((epsilon2*(E2(i)+K3_E2(i)))+(epsilon02*(E12(i)+K3_E12(i)))
)-(miu*(I2(i)+K3_I2(i)))-(epsilon10*(E12(i)+K3_E12(i))-
(rho2*(I2(i)+K3_I2(i))));

K4_I12(i)=
h*((epsilon02*(E12(i)+K3_E12(i)))+(epsilon10*(E12(i)+K3_E12(i)))
)-(miu*(I12(i)+K3_I12(i)))-(rho10*(I12(i)+K3_I12(i))-
(rho02*(I12(i)+K3_I12(i))));

K4_R1(i)=
h*((rho1*(I1(i)+K3_I1(i)))+(rho10*(I12(i)+K3_I12(i)))+(omega
2*(R2(i)+K3_R2(i)))-(miu*(R1(i)+K3_R1(i))-
(omegal*(R1(i)+K3_R1(i))));

K4_R2(i)=
h*((rho2*(I2(i)+K3_I2(i)))+(rho02*(I12(i)+K3_I12(i)))+(omega
1*(R1(i)+K3_R1(i)))-(miu*(R2(i)+K3_R2(i))-
(omega2*(R2(i)+K3_R2(i))));

%Total
S(i+1) = S(i) + (1/6)*(K1_S(i) + (2*K2_S(i)) +
(2*K3_S(i)) + K4_S(i));
End

axes(handles.axes1);
plot(t,S,'r','LineWidth',2)
hold off
xlabel('Waktu')
ylabel('Populasi');
title('Grafik Populasi Susceptible');
legend('S');
grid on

```

Source Code pada Pushbutton ‘PlotExposed’

```

% --- Executes on button press in PlotExposed.
function PlotExposed_Callback(hObject, eventdata, handles)
%----- inisialisasi parameter -----
t0 = str2double(get(handles.t0,'String'));
tf = str2double(get(handles.tf,'String'));
n=str2double(get(handles.n,'String'));
miu = str2double(get(handles.miu,'String'));
beta1 = str2double(get(handles.beta1,'String'));
beta2 = str2double(get(handles.beta2,'String'));
beta10 = str2double(get(handles.beta10,'String'));
beta02 = str2double(get(handles.beta02,'String'));
epsilon1 = str2double(get(handles.epsilon1,'String'));
epsilon2 = str2double(get(handles.epsilon2,'String'));
epsilon10 = str2double(get(handles.epsilon10,'String'));
epsilon02 = str2double(get(handles.epsilon02,'String'));
rho1 = str2double(get(handles.rho1,'String'));
rho2 = str2double(get(handles.rho2,'String'));

```

Lampiran M. Lanjutan

```

rho10 = str2double(get(handles.rho10,'String'));
rho02 = str2double(get(handles.rho02,'String'));
omegal = str2double(get(handles.omegal,'String'));
omega2 = str2double(get(handles.omega2,'String'));
h =(tf-t0)/n ;
t = 0:h:n*h;
hh = 1/2;
%----- variable state -----
S=zeros(n+1,1);
E1=zeros(n+1,1);
E2=zeros(n+1,1);
E12=zeros(n+1,1);
I1=zeros(n+1,1);
I2=zeros(n+1,1);
I12=zeros(n+1,1);
R1=zeros(n+1,1);
R2=zeros(n+1,1);
%----- inisialisasi variabel state -----
S(1)=0.25;
E1(1)=0.18;
E2(1)=0.15;
E12(1)=0.12;
I1(1)=0.1;
I2(1)=0.09;
I12(1)=0.06;
R1(1)=0.03;
R2(1)=0.02;
N(1)=S(1)+E1(1)+E2(1)+E12(1)+I1(1)+I2(1)+I12(1)+R1(1)+R2(1)
%----- Basic Reproduction Number -----
Ro1=(beta1*epsilon1)/((mu+epsilon1)*(mu+rho1))
Ro2=(beta2*epsilon2)/((mu+epsilon2)*(mu+rho2))
%Menampilkan hasil perhitungan Ro
set(handles.Ro1,'string', Ro1);
set(handles.Ro2,'string', Ro2);
if Ro1 >= 1
    % if condition is true then print the following
    chlamydia='Stabil'
    set(handles.chlamydia,'string',chlamydia);
elseif( Ro1 < 1 )
    % if else if condition is true
    chlamydia='Tidak Stabil'
    set(handles.chlamydia,'string',chlamydia);
end
if Ro2 >= 1
    % if condition is true then print the following
    pneumonia='Stabil'
    set(handles.pneumonia,'string',pneumonia);
elseif( Ro2 < 1 )

```

Lampiran M. Lanjutan

```
% if else if condition is true
pneumonia='Tidak Stabil'
set(handles.pneumonia,'string',pneumonia);
end
if Ro1 >= 1 & Ro2>=1
    % if condition is true then print the following
    coinfection='Stabil'
    set(handles.coinfection,'string',coinfection);
elseif( Ro1 < 1 & Ro2 < 1 )
    % if else if condition is true
    coinfection='Tidak Stabil'
    set(handles.coinfection,'string',coinfection);
elseif( Ro1 < 1 & Ro2 >= 1 )
    % if else if condition is true
    coinfection='Tidak Stabil'
    set(handles.coinfection,'string',coinfection);
elseif( Ro1 >= 1 & Ro2 < 1 )
    % if else if condition is true
    coinfection='Tidak Stabil'
    set(handles.coinfection,'string',coinfection);
end
%----- Representasi Metode Runge-Kutta -----
for i=1:n
    %Step 1
    K1_S(i)= h*(miu-(miu*S(i))-((beta1*I1(i))+(beta10*I12(i)))*S(i)-((beta2*I2(i))+(beta02*I12(i)))*S(i));
    K1_E1(i)= h*((beta1*I1(i))+(beta10*I12(i))*S(i)-(miu*E1(i))-(epsilon1*E1(i))-((beta2*I2(i))+(beta02*I12(i)))*E1(i));
    K1_E2(i)= h*((beta2*I2(i))+(beta02*I12(i))*S(i)-(miu*E2(i))-(epsilon2*E2(i))-((beta1*I1(i))+(beta10*I12(i)))*E2(i));
    K1_E12(i)= h*((beta2*I2(i))+(beta02*I12(i)))*E1(i)+((beta1*I1(i))+(beta10*I12(i)))*E2(i)-(miu*E12(i))-(epsilon10*E12(i))-(epsilon02*E12(i));
    K1_I1(i)= h*((epsilon1*E1(i))+(epsilon10*E12(i))-(miu*I1(i))-(epsilon02*E12(i))-(rho1*I1(i)));
    K1_I2(i)= h*((epsilon2*E2(i))+(epsilon02*E12(i))-(miu*I2(i))-(epsilon10*E12(i))-(rho2*I2(i)));
    K1_I12(i)= h*((epsilon02*E12(i))+(epsilon10*E12(i))-(miu*I12(i))-(rho10*I12(i))-(rho02*I12(i)));
    K1_R1(i)= h*((rho1*I1(i))+(rho10*I12(i))+(omega2*R2(i))-(miu*R1(i))-(omegal*R1(i)));
    K1_R2(i)= h*((rho2*I2(i))+(rho02*I12(i))+(omega1*R1(i))-(miu*R2(i))-(omega2*R2(i)));

```

Lampiran M. Lanjutan

```

%Step2
K2_S(i)= h*(miu-(miu*(S(i)+hh*K1_S(i)))-((beta1*(I1(i)+hh*K1_I1(i)))+(beta10*(I12(i)+hh*K1_I12(i))))*(S(i)+hh*K1_S(i))-((beta2*(I2(i)+hh*K1_I2(i)))+(beta02*(I12(i)+hh*K1_I12(i))))*(S(i)+hh*K1_S(i));
K2_E1(i)=
h*((beta1*(I1(i)+hh*K1_I1(i)))+(beta10*(I12(i)+hh*K1_I12(i)))*(S(i)+hh*K1_S(i))-(miu*(E1(i)+hh*K1_E1(i)))-(epsilon1*(E1(i)+hh*K1_E1(i)))-((beta2*(I2(i)+hh*K1_I2(i)))+(beta02*(I12(i)+hh*K1_I12(i))))*(E1(i)+hh*K1_E1(i));
K2_E2(i)=
h*((beta2*(I2(i)+hh*K1_I2(i)))+(beta02*(I12(i)+hh*K1_I12(i)))*(S(i)+hh*K1_S(i))-(miu*(E2(i)+hh*K1_E2(i)))-(epsilon2*(E2(i)+hh*K1_E2(i)))-((beta1*(I1(i)+hh*K1_I1(i)))+(beta10*(I12(i)+hh*K1_I12(i)))*(E2(i)+hh*K1_E2(i)));
K2_E12(i)=
h*((beta2*(I2(i)+hh*K1_I2(i)))+(beta02*(I12(i)+hh*K1_I12(i)))*(E1(i)+hh*K1_E1(i))+((beta1*(I1(i)+hh*K1_I1(i)))+(beta10*(I12(i)+hh*K1_I12(i)))*(I12(i)+hh*K1_I12(i)))*(E2(i)+hh*K1_E2(i))-(miu*(E12(i)+hh*K1_E12(i)))-(epsilon10*(E12(i)+hh*K1_E12(i)))-(epsilon02*(E12(i)+hh*K1_E12(i))));
K2_I1(i)=
h*((epsilon1*(E1(i)+hh*K1_E1(i)))+(epsilon10*(E12(i)+hh*K1_E12(i)))-(miu*(I1(i)+hh*K1_I1(i)))-(epsilon02*(E12(i)+hh*K1_E12(i)))-(rho1*(I1(i)+hh*K1_I1(i))));
K2_I2(i)=
h*((epsilon2*(E2(i)+hh*K1_E2(i)))+(epsilon02*(E12(i)+hh*K1_E12(i)))-(miu*(I2(i)+hh*K1_I2(i)))-(epsilon10*(E12(i)+hh*K1_E12(i)))-(rho2*(I2(i)+hh*K1_I2(i))));
K2_I12(i)=
h*((epsilon02*(E12(i)+hh*K1_E12(i)))+(epsilon10*(E12(i)+hh*K1_E12(i)))-(miu*(I12(i)+hh*K1_I12(i)))-(rho10*(I12(i)+hh*K1_I12(i)))-(rho02*(I12(i)+hh*K1_I12(i))));
K2_R1(i)=
h*((rho1*(I1(i)+hh*K1_I1(i)))+(rho10*(I12(i)+hh*K1_I12(i)))+(omega2*(R2(i)+hh*K1_R2(i)))-(miu*(R1(i)+hh*K1_R1(i)))-(omega1*(R1(i)+hh*K1_R1(i))));
K2_R2(i)=
h*((rho2*(I2(i)+hh*K1_I2(i)))+(rho02*(I12(i)+hh*K1_I12(i)))+(omega1*(R1(i)+hh*K1_R1(i)))-(miu*(R2(i)+hh*K1_R2(i)))-(omega2*(R2(i)+hh*K1_R2(i))));
```

Lampiran M. Lanjutan

```
%Step3
K3_S(i)= h*(miu-(miu*(S(i)+hh*K2_S(i)))-
(*beta1*(I1(i)+hh*K2_I1(i))+(beta10*(I12(i)+hh*K2_I12(i))))-
*(S(i)+hh*K2_S(i))-(*beta2*(I2(i)+hh*K2_I2(i)))+(beta02*(I12(i)+hh*K2_I12(i)))*
(S(i)+hh*K2_S(i));
K3_E1(i)=
h*((beta1*(I1(i)+hh*K2_I1(i)))+(beta10*(I12(i)+hh*K2_I12(i)))*
(S(i)+hh*K2_S(i))-(miu*(E1(i)+hh*K2_E1(i)))-(epsilon1*(E1(i)+hh*K2_E1(i))-
(beta2*(I2(i)+hh*K2_I2(i)))+(beta02*(I12(i)+hh*K2_I12(i)))*
(E1(i)+hh*K2_E1(i)));
K3_E2(i)=
h*((beta2*(I2(i)+hh*K2_I2(i)))+(beta02*(I12(i)+hh*K2_I12(i)))*
(S(i)+hh*K2_S(i))-(miu*(E2(i)+hh*K2_E2(i)))-(epsilon2*(E2(i)+hh*K2_E2(i))-
(beta1*(I1(i)+hh*K2_I1(i)))+(beta10*(I12(i)+hh*K2_I12(i)))*
(E2(i)+hh*K2_E2(i)));
K3_E12(i)=
h*((beta2*(I2(i)+hh*K2_I2(i)))+(beta02*(I12(i)+hh*K2_I12(i)))*
(E1(i)+hh*K2_E1(i))+((beta1*(I1(i)+hh*K2_I1(i)))+(beta10*(I12(i)+hh*K2_I12(i)))*
(I12(i)+hh*K2_I12(i)))*(E2(i)+hh*K2_E2(i))-
(miu*(E12(i)+hh*K2_E12(i)))-(epsilon10*(E12(i)+hh*K2_E12(i)))-(epsilon02*(E12(i)+hh*K2_E12(i))));
```

K3_I1(i)=

```
h*((epsilon1*(E1(i)+hh*K2_E1(i)))+(epsilon10*(E12(i)+hh*K2_E12(i)))-(miu*(I1(i)+hh*K2_I1(i)))-(epsilon02*(E12(i)+hh*K2_E12(i)))-(rho1*(I1(i)+hh*K2_I1(i))));
```

K3_I2(i)=

```
h*((epsilon2*(E2(i)+hh*K2_E2(i)))+(epsilon02*(E12(i)+hh*K2_E12(i)))-(miu*(I2(i)+hh*K2_I2(i)))-(epsilon10*(E12(i)+hh*K2_E12(i)))-(rho2*(I2(i)+hh*K2_I2(i))));
```

K3_I12(i)=

```
h*((epsilon02*(E12(i)+hh*K2_E12(i)))+(epsilon10*(E12(i)+hh*K2_E12(i)))-(miu*(I12(i)+hh*K2_I12(i)))-(rho10*(I12(i)+hh*K2_I12(i)))-(rho02*(I12(i)+hh*K2_I12(i))));
```

K3_R1(i)=

```
h*((rho1*(I1(i)+hh*K2_I1(i)))+(rho10*(I12(i)+hh*K2_I12(i)))+(omega2*(R2(i)+hh*K2_R2(i)))-(miu*(R1(i)+hh*K2_R1(i)))-(omega1*(R1(i)+hh*K2_R1(i))));
```

K3_R2(i)=

```
h*((rho2*(I2(i)+hh*K2_I2(i)))+(rho02*(I12(i)+hh*K2_I12(i)))+(omega1*(R1(i)+hh*K2_R1(i)))-(miu*(R2(i)+hh*K2_R2(i)))-(omega2*(R2(i)+hh*K2_R2(i))));
```

Lampiran M. Lanjutan

```

%Step4
K4_S(i)= h*(miu-(miu*(S(i)+K3_S(i)))-((beta1*(I1(i)+K3_I1(i))+(beta10*(I12(i)+K3_I12(i))))*(S(i)+K3_S(i))-((beta2*(I2(i)+K3_I2(i)))+(beta02*(I12(i)+K3_I12(i))))*(S(i)+K3_S(i));
K4_E1(i)=
h*((beta1*(I1(i)+K3_I1(i)))+(beta10*(I12(i)+K3_I12(i)))*(S(i)+K3_S(i))-(miu*(E1(i)+K3_E1(i)))-(epsilon1*(E1(i)+K3_E1(i)))-((beta2*(I2(i)+K3_I2(i)))+(beta02*(I12(i)+K3_I12(i))))*(E1(i)+K3_E1(i)));
K4_E2(i)=
h*((beta2*(I2(i)+K3_I2(i)))+(beta02*(I12(i)+K3_I12(i)))*(S(i)+K3_S(i))-(miu*(E2(i)+K3_E2(i)))-(epsilon2*(E2(i)+K3_E2(i)))-((beta1*(I1(i)+K3_I1(i)))+(beta10*(I12(i)+K3_I12(i))))*(E2(i)+K3_E2(i));
K4_E12(i)=
h*((beta2*(I2(i)+K3_I2(i)))+(beta02*(I12(i)+K3_I12(i)))*(E1(i)+K3_E1(i))+((beta1*(I1(i)+K3_I1(i)))+(beta10*(I12(i)+K3_I12(i)))*(E2(i)+K3_E2(i))-(miu*(E12(i)+K3_E12(i)))-(epsilon10*(E12(i)+K3_E12(i)))-(epsilon02*(E12(i)+K3_E12(i))));;
K4_I1(i)=
h*((epsilon1*(E1(i)+K3_E1(i)))+(epsilon10*(E12(i)+K3_E12(i)))-(miu*(I1(i)+K3_I1(i)))-(epsilon02*(E12(i)+K3_E12(i)))-(rho1*(I1(i)+K3_I1(i))));;
K4_I2(i)=
h*((epsilon2*(E2(i)+K3_E2(i)))+(epsilon02*(E12(i)+K3_E12(i)))-(miu*(I2(i)+K3_I2(i)))-(epsilon10*(E12(i)+K3_E12(i)))-(rho2*(I2(i)+K3_I2(i))));;
K4_I12(i)=
h*((epsilon02*(E12(i)+K3_E12(i)))+(epsilon10*(E12(i)+K3_E12(i)))-(miu*(I12(i)+K3_I12(i)))-(rho10*(I12(i)+K3_I12(i)))-(rho02*(I12(i)+K3_I12(i))));;
K4_R1(i)=
h*((rho1*(I1(i)+K3_I1(i)))+(rho10*(I12(i)+K3_I12(i)))+(omega2*(R2(i)+K3_R2(i)))-(miu*(R1(i)+K3_R1(i)))-(omega1*(R1(i)+K3_R1(i))));;
K4_R2(i)=
h*((rho2*(I2(i)+K3_I2(i)))+(rho02*(I12(i)+K3_I12(i)))+(omega1*(R1(i)+K3_R1(i)))-(miu*(R2(i)+K3_R2(i)))-(omega2*(R2(i)+K3_R2(i))));;
%Total
E1(i+1) = E1(i) + (1/6)*(K1_E1(i) + (2*K2_E1(i)) +
(2*K3_E1(i)) + K4_E1(i));

```

Lampiran M. Lanjutan

```

E2(i+1) = E2(i) + (1/6)*(K1_E2(i) + (2*K2_E2(i)) +
(2*K3_E2(i)) + K4_E2(i));
E12(i+1) = E12(i) + (1/6)*(K1_E12(i) + (2*K2_E12(i)) +
(2*K3_E12(i)) + K4_E12(i));
end

axes(handles.axes1);
plot(t,E1,'r','LineWidth',2)
hold on
plot(t,E2,'k','LineWidth',2)
hold on
plot(t,E12,'b','LineWidth',2)
hold off
xlabel('Waktu')
ylabel('Populasi');
title('Grafik Populasi Exposed');
legend('E1','E2','E12');
grid on

```

Source Code pada Pushbutton ‘PlotInfected’

```

% --- Executes on button press in PlotInfected.
function PlotInfected_Callback(hObject, eventdata, handles)
%----- inisialisasi parameter -----
t0 = str2double(get(handles.t0,'String'));
tf = str2double(get(handles.tf,'String'));
n=str2double(get(handles.n,'String'));
miu = str2double(get(handles.miu,'String'));
beta1 = str2double(get(handles.beta1,'String'));
beta2 = str2double(get(handles.beta2,'String'));
beta10 = str2double(get(handles.beta10,'String'));
beta02 = str2double(get(handles.beta02,'String'));
epsilon1 = str2double(get(handles.epsilon1,'String'));
epsilon2 = str2double(get(handles.epsilon2,'String'));
epsilon10 = str2double(get(handles.epsilon10,'String'));
epsilon02 = str2double(get(handles.epsilon02,'String'));
rho1 = str2double(get(handles.rho1,'String'));
rho2 = str2double(get(handles.rho2,'String'));
rho10 = str2double(get(handles.rho10,'String'));
rho02 = str2double(get(handles.rho02,'String'));
omegal = str2double(get(handles.omegal,'String'));
omega2 = str2double(get(handles.omega2,'String'));

h =(tf-t0)/n ;
t = 0:h:n*h;
hh = 1/2;
%----- variable state -----
S=zeros(n+1,1);
E1=zeros(n+1,1);

```

Lampiran M. Lanjutan

```

E2=zeros(n+1,1);
E12=zeros(n+1,1);
I1=zeros(n+1,1);
I2=zeros(n+1,1);
I12=zeros(n+1,1);
R1=zeros(n+1,1);
R2=zeros(n+1,1);
%----- inisialisasi variabel state -----
S(1)=0.25;
E1(1)=0.18;
E2(1)=0.15;
E12(1)=0.12;
I1(1)=0.1;
I2(1)=0.09;
I12(1)=0.06;
R1(1)=0.03;
R2(1)=0.02;
N(1)=S(1)+E1(1)+E2(1)+E12(1)+I1(1)+I2(1)+I12(1)+R1(1)+R2(1)
%----- Basic Reproduction Number -----
Ro1=(beta1*epsilon1)/((mu+epsilon1)*(mu+rho1))
Ro2=(beta2*epsilon2)/((mu+epsilon2)*(mu+rho2))
%Menampilkan hasil perhitungan Ro
set(handles.Ro1,'string', Ro1);
set(handles.Ro2,'string', Ro2);
if Ro1 >= 1
    % if condition is true then print the following
    chlamydia='Stabil'
    set(handles.chlamydia,'string',chlamydia);
elseif( Ro1 < 1 )
    % if else if condition is true
    chlamydia='Tidak Stabil'
    set(handles.chlamydia,'string',chlamydia);
end
if Ro2 >= 1
    % if condition is true then print the following
    pneumonia='Stabil'
    set(handles.pneumonia,'string',pneumonia);
elseif( Ro2 < 1 )
    % if else if condition is true
    pneumonia='Tidak Stabil'
    set(handles.pneumonia,'string',pneumonia);
end
if Ro1 >= 1 & Ro2>=1
    % if condition is true then print the following
    coinfection='Stabil'
    set(handles.coinfection,'string',coinfection);
elseif( Ro1 < 1 & Ro2 < 1 )
    % if else if condition is true

```

Lampiran M. Lanjutan

```

coinfection='Tidak Stabil'
set(handles.coinfection,'string',coinfection);
elseif( Ro1 < 1 & Ro2 >= 1 )
% if else if condition is true
coinfection='Tidak Stabil'
set(handles.coinfection,'string',coinfection);
elseif( Ro1 >= 1 & Ro2 < 1 )
% if else if condition is true
coinfection='Tidak Stabil'
set(handles.coinfection,'string',coinfection);
end
----- Representasi Metode Runge-Kutta -----
for i=1:n
    %Step 1
    K1_S(i)= h*(miu-(miu*S(i))-((beta1*I1(i))+(beta10*I12(i)))*S(i)-((beta2*I2(i))+(beta02*I12(i)))*S(i));
    K1_E1(i)= h*((beta1*I1(i))+(beta10*I12(i))*S(i)-(miu+E1(i))-(epsilon1*E1(i))-((beta2*I2(i))+(beta02*I12(i)))*E1(i));
    K1_E2(i)= h*((beta2*I2(i))+(beta02*I12(i))*S(i)-(miu*E2(i))-(epsilon2*E2(i))-((beta1*I1(i))+(beta10*I12(i)))*E2(i));
    K1_E12(i)= h*((beta2*I2(i))+(beta02*I12(i)))*E1(i)+((beta1*I1(i))+(beta10*I12(i)))*E2(i)-(epsilon02*E12(i));
    K1_I1(i)= h*((epsilon1*E1(i))+(epsilon10*E12(i))-(miu*I1(i))-(epsilon02*E12(i))-(rho1*I1(i)));
    K1_I2(i)= h*((epsilon2*E2(i))+(epsilon02*E12(i))-(miu*I2(i))-(epsilon10*E12(i))-(rho2*I2(i)));
    K1_I12(i)= h*((epsilon02*E12(i))+(epsilon10*E12(i))-(miu*I12(i))-(rho10*I12(i))-(rho02*I12(i)));
    K1_R1(i)= h*((rho1*I1(i))+(rho10*I12(i))+(omega2*R2(i))-(miu*R1(i))-(omegal1*R1(i)));
    K1_R2(i)= h*((rho2*I2(i))+(rho02*I12(i))+(omega1*R1(i))-(miu*R2(i))-(omega2*R2(i)));
    %Step2
    K2_S(i)= h*(miu-(miu*(S(i)+hh*K1_S(i)))-((beta1*(I1(i)+hh*K1_I1(i)))+(beta10*(I12(i)+hh*K1_I12(i))))*(S(i)+hh*K1_S(i))-((beta2*(I2(i)+hh*K1_I2(i)))+(beta02*(I12(i)+hh*K1_I12(i))))*(S(i)+hh*K1_S(i)));
    K2_E1(i)= h*((beta1*(I1(i)+hh*K1_I1(i)))+(beta10*(I12(i)+hh*K1_I12(i)))*(S(i)+hh*K1_S(i))-(miu*(E1(i)+hh*K1_E1(i)))-(epsilon1*(E1(i)+hh*K1_E1(i)))-

```

Lampiran M. Lanjutan

```

((beta2*(I2(i)+hh*K1_I2(i)))+(beta02*(I12(i)+hh*K1_I12(i)))+
*(E1(i)+hh*K1_E1(i)));
K2_E2(i)=
h*((beta2*(I2(i)+hh*K1_I2(i)))+(beta02*(I12(i)+hh*K1_I12(i)))*
(S(i)+hh*K1_S(i))-(miu*(E2(i)+hh*K1_E2(i)))-
(epsilon2*(E2(i)+hh*K1_E2(i)))-
((beta1*(I1(i)+hh*K1_I1(i)))+(beta10*(I12(i)+hh*K1_I12(i)))*
(E2(i)+hh*K1_E2(i)));
K2_E12(i)=
h*((beta2*(I2(i)+hh*K1_I2(i)))+(beta02*(I12(i)+hh*K1_I12(i)))*
(E1(i)+hh*K1_E1(i))+((beta1*(I1(i)+hh*K1_I1(i)))+(beta10*
(I12(i)+hh*K1_I12(i)))*(E2(i)+hh*K1_E2(i))-
(miu*(E12(i)+hh*K1_E12(i)))-
(epsilon10*(E12(i)+hh*K1_E12(i)))-
(epsilon02*(E12(i)+hh*K1_E12(i))));;
K2_I1(i)=
h*((epsilon1*(E1(i)+hh*K1_E1(i)))+(epsilon10*(E12(i)+hh*K1_E
12(i)))-(miu*(I1(i)+hh*K1_I1(i)))-
(epsilon02*(E12(i)+hh*K1_E12(i)))-
(rho1*(I1(i)+hh*K1_I1(i))));;
K2_I2(i)=
h*((epsilon2*(E2(i)+hh*K1_E2(i)))+(epsilon02*(E12(i)+hh*K1_E
12(i)))-(miu*(I2(i)+hh*K1_I2(i)))-
(epsilon10*(E12(i)+hh*K1_E12(i)))-
(rho2*(I2(i)+hh*K1_I2(i))));;
K2_I12(i)=
h*((epsilon02*(E12(i)+hh*K1_E12(i)))+(epsilon10*(E12(i)+hh*K
1_E12(i)))-(miu*(I12(i)+hh*K1_I12(i)))-
(rho10*(I12(i)+hh*K1_I12(i)))-
(rho02*(I12(i)+hh*K1_I12(i))));;
K2_R1(i)=
h*((rho1*(I1(i)+hh*K1_I1(i)))+(rho10*(I12(i)+hh*K1_I12(i)))+
(omega2*(R2(i)+hh*K1_R2(i)))-(miu*(R1(i)+hh*K1_R1(i)))-
(omega1*(R1(i)+hh*K1_R1(i))));;
K2_R2(i)=
h*((rho2*(I2(i)+hh*K1_I2(i)))+(rho02*(I12(i)+hh*K1_I12(i)))+
(omega1*(R1(i)+hh*K1_R1(i)))-(miu*(R2(i)+hh*K1_R2(i)))-
(omega2*(R2(i)+hh*K1_R2(i))));;
%Step3
K3_S(i)= h*(miu-(miu*(S(i)+hh*K2_S(i)))-
((beta1*(I1(i)+hh*K2_I1(i)))+(beta10*(I12(i)+hh*K2_I12(i))))*
(S(i)+hh*K2_S(i))-
((beta2*(I2(i)+hh*K2_I2(i)))+(beta02*(I12(i)+hh*K2_I12(i))))*
(S(i)+hh*K2_S(i)));
K3_E1(i)=
h*((beta1*(I1(i)+hh*K2_I1(i)))+(beta10*(I12(i)+hh*K2_I12(i)))*
(S(i)+hh*K2_S(i))-(miu*(E1(i)+hh*K2_E1(i)))-
(epsilon1*(E1(i)+hh*K2_E1(i)))-

```

Lampiran M. Lanjutan

```

((beta2*(I2(i)+hh*K2_I2(i)))+(beta02*(I12(i)+hh*K2_I12(i))))*
*(E1(i)+hh*K2_E1(i));
K3_E2(i)=
h*((beta2*(I2(i)+hh*K2_I2(i)))+(beta02*(I12(i)+hh*K2_I12(i)))*
(S(i)+hh*K2_S(i))-(miu*(E2(i)+hh*K2_E2(i)))-
(epsilon2*(E2(i)+hh*K2_E2(i)))-
((beta1*(I1(i)+hh*K2_I1(i)))+(beta10*(I12(i)+hh*K2_I12(i))))*
(E2(i)+hh*K2_E2(i));
K3_E12(i)=
h*((((beta2*(I2(i)+hh*K2_I2(i)))+(beta02*(I12(i)+hh*K2_I12(i)))*
(E1(i)+hh*K2_E1(i)))+((beta1*(I1(i)+hh*K2_I1(i)))+(beta10*
(I12(i)+hh*K2_I12(i))))*(E2(i)+hh*K2_E2(i))-
(miu*(E12(i)+hh*K2_E12(i)))-
(epsilon10*(E12(i)+hh*K2_E12(i)))-
(epsilon02*(E12(i)+hh*K2_E12(i))));;
K3_I1(i)=
h*((epsilon1*(E1(i)+hh*K2_E1(i)))+(epsilon10*(E12(i)+hh*K2_E12(i))-
(miu*(I1(i)+hh*K2_I1(i)))-
(epsilon02*(E12(i)+hh*K2_E12(i)))-
(rho1*(I1(i)+hh*K2_I1(i))));;
K3_I2(i)=
h*((epsilon2*(E2(i)+hh*K2_E2(i)))+(epsilon02*(E12(i)+hh*K2_E12(i))-
(miu*(I2(i)+hh*K2_I2(i)))-
(epsilon10*(E12(i)+hh*K2_E12(i)))-
(rho2*(I2(i)+hh*K2_I2(i))));;
K3_I12(i)=
h*((epsilon02*(E12(i)+hh*K2_E12(i)))+(epsilon10*(E12(i)+hh*K2_E12(i))-
(miu*(I12(i)+hh*K2_I12(i)))-
(rho10*(I12(i)+hh*K2_I12(i)))-
(rho02*(I12(i)+hh*K2_I12(i))));;
K3_R1(i)=
h*((rho1*(I1(i)+hh*K2_I1(i)))+(rho10*(I12(i)+hh*K2_I12(i)))+
(omega2*(R2(i)+hh*K2_R2(i))-(miu*(R1(i)+hh*K2_R1(i)))-
(omega1*(R1(i)+hh*K2_R1(i))));;
K3_R2(i)=
h*((rho2*(I2(i)+hh*K2_I2(i)))+(rho02*(I12(i)+hh*K2_I12(i)))+
(omega1*(R1(i)+hh*K2_R1(i))-(miu*(R2(i)+hh*K2_R2(i)))-
(omega2*(R2(i)+hh*K2_R2(i))));;
%Step4
K4_S(i)= h*(miu-(miu*(S(i)+K3_S(i)))-
((beta1*(I1(i)+K3_I1(i)))+(beta10*(I12(i)+K3_I12(i))))*(S(i)
+K3_S(i))-((beta2*(I2(i)+K3_I2(i)))+(beta02*(I12(i)+K3_I12(i))))*(S(i)
+K3_S(i));
K4_E1(i)=
h*((beta1*(I1(i)+K3_I1(i)))+(beta10*(I12(i)+K3_I12(i)))*(S(i)
+K3_S(i))-(miu*(E1(i)+K3_E1(i)))-
(epsilon1*(E1(i)+K3_E1(i)))-

```

Lampiran M. Lanjutan

```

((beta2*(I2(i)+K3_I2(i)))+(beta02*(I12(i)+K3_I12(i)))*(E1(i
)+K3_E1(i)));
K4_E2(i)=
h*((beta2*(I2(i)+K3_I2(i)))+(beta02*(I12(i)+K3_I12(i)))*(S(i
)+K3_S(i))-(miu*(E2(i)+K3_E2(i)))-

(epsilon2*(E2(i)+K3_E2(i)))-

((beta1*(I1(i)+K3_I1(i)))+(beta10*(I12(i)+K3_I12(i)))*(E2(i
)+K3_E2(i)));
K4_E12(i)=
h*((beta2*(I2(i)+K3_I2(i)))+(beta02*(I12(i)+K3_I12(i)))*(E
1(i)+K3_E1(i))+((beta1*(I1(i)+K3_I1(i)))+(beta10*(I12(i)+K3_
I12(i)))*(E2(i)+K3_E2(i))-(miu*(E12(i)+K3_E12(i)))-

(epsilon10*(E12(i)+K3_E12(i)))-

(epsilon02*(E12(i)+K3_E12(i))));

K4_I1(i)=
h*((epsilon1*(E1(i)+K3_E1(i)))+(epsilon10*(E12(i)+K3_E12(i))
)-(miu*(I1(i)+K3_I1(i)))-(epsilon02*(E12(i)+K3_E12(i)))-

(rho1*(I1(i)+K3_I1(i))));

K4_I2(i)=
h*((epsilon2*(E2(i)+K3_E2(i)))+(epsilon02*(E12(i)+K3_E12(i))
)-(miu*(I2(i)+K3_I2(i)))-(epsilon10*(E12(i)+K3_E12(i)))-

(rho2*(I2(i)+K3_I2(i))));

K4_I12(i)=
h*((epsilon02*(E12(i)+K3_E12(i)))+(epsilon10*(E12(i)+K3_E12(
i)))-(miu*(I12(i)+K3_I12(i)))-(rho10*(I12(i)+K3_I12(i)))-

(rho02*(I12(i)+K3_I12(i))));

K4_R1(i)=
h*((rho1*(I1(i)+K3_I1(i)))+(rho10*(I12(i)+K3_I12(i)))+(omega
2*(R2(i)+K3_R2(i)))-(miu*(R1(i)+K3_R1(i)))-

(omega1*(R1(i)+K3_R1(i))));

K4_R2(i)=
h*((rho2*(I2(i)+K3_I2(i)))+(rho02*(I12(i)+K3_I12(i)))+(omega
1*(R1(i)+K3_R1(i)))-(miu*(R2(i)+K3_R2(i)))-

(omega2*(R2(i)+K3_R2(i))));

%Total
I1(i+1) = I1(i) + (1/6)*(K1_I1(i) + (2*K2_I1(i)) +
(2*K3_I1(i)) + K4_I1(i));
I2(i+1) = I2(i) + (1/6)*(K1_I2(i) + (2*K2_I2(i)) +
(2*K3_I2(i)) + K4_I2(i));
I12(i+1) = I12(i) + (1/6)*(K1_I12(i) + (2*K2_I12(i)) +
(2*K3_I12(i)) + K4_I12(i));
end

axes(handles.axes1);
plot(t,I1,'r','LineWidth',2)
hold on
plot(t,I2,'k','LineWidth',2)
hold on

```

Lampiran M. Lanjutan

```
plot(t,I12,'b','LineWidth',2)
hold off
xlabel('Waktu')
ylabel('Populasi');
title('Grafik Populasi Infected');
legend('I1','I2','I12');
grid on
```

Source Code pada Pushbutton ‘PlotRecovered’

```
% --- Executes on button press in PlotRecovered.
function PlotRecovered_Callback(hObject, eventdata, handles)
%----- inisialisasi parameter -----
t0 = str2double(get(handles.t0,'String'));
tf = str2double(get(handles.tf,'String'));
n=str2double(get(handles.n,'String'));
miu = str2double(get(handles.miu,'String'));
beta1 = str2double(get(handles.beta1,'String'));
beta2 = str2double(get(handles.beta2,'String'));
beta10 = str2double(get(handles.beta10,'String'));
beta02 = str2double(get(handles.beta02,'String'));
epsilon1 = str2double(get(handles.epsilon1,'String'));
epsilon2 = str2double(get(handles.epsilon2,'String'));
epsilon10 = str2double(get(handles.epsilon10,'String'));
epsilon02 = str2double(get(handles.epsilon02,'String'));
rho1 = str2double(get(handles.rho1,'String'));
rho2 = str2double(get(handles.rho2,'String'));
rho10 = str2double(get(handles.rho10,'String'));
rho02 = str2double(get(handles.rho02,'String'));
omegal = str2double(get(handles.omegal,'String'));
omega2 = str2double(get(handles.omega2,'String'));
h =(tf-t0)/n ;
t = 0:h:n*h;
hh = 1/2;
%----- variable state -----
S=zeros(n+1,1);
E1=zeros(n+1,1);
E2=zeros(n+1,1);
E12=zeros(n+1,1);
I1=zeros(n+1,1);
I2=zeros(n+1,1);
I12=zeros(n+1,1);
R1=zeros(n+1,1);
R2=zeros(n+1,1);
%----- inisialisasi variabel state -----
S(1)=0.25;
E1(1)=0.18;
E2(1)=0.15;
```

Lampiran M. Lanjutan

```

E12(1)=0.12;
I1(1)=0.1;
I2(1)=0.09;
I12(1)=0.06;
R1(1)=0.03;
R2(1)=0.02;
N(1)=S(1)+E1(1)+E2(1)+E12(1)+I1(1)+I2(1)+I12(1)+R1(1)+R2(1)
%----- Basic Reproduction Number -----
Ro1=(beta1*epsilon1)/((mu+epsilon1)*(mu+rho1))
Ro2=(beta2*epsilon2)/((mu+epsilon2)*(mu+rho2))
%Menampilkan hasil perhitungan Ro
set(handles.Ro1,'string', Ro1);
set(handles.Ro2,'string', Ro2);
if Ro1 >= 1
    % if condition is true then print the following
    chlamydia='Stabil'
    set(handles.chlamydia,'string',chlamydia);
elseif( Ro1 < 1 )
    % if else if condition is true
    chlamydia='Tidak Stabil'
    set(handles.chlamydia,'string',chlamydia);
end
if Ro2 >= 1
    % if condition is true then print the following
    pneumonia='Stabil'
    set(handles.pneumonia,'string',pneumonia);
elseif( Ro2 < 1 )
    % if else if condition is true
    pneumonia='Tidak Stabil'
    set(handles.pneumonia,'string',pneumonia);
end
if Ro1 >= 1 & Ro2>=1
    % if condition is true then print the following
    coinfection='Stabil'
    set(handles.coinfection,'string',coinfection);
elseif( Ro1 < 1 & Ro2 < 1 )
    % if else if condition is true
    coinfection='Tidak Stabil'
    set(handles.coinfection,'string',coinfection);
elseif( Ro1 < 1 & Ro2 >= 1 )
    % if else if condition is true
    coinfection='Tidak Stabil'
    set(handles.coinfection,'string',coinfection);
elseif( Ro1 >= 1 & Ro2 < 1 )
    % if else if condition is true
    coinfection='Tidak Stabil'
    set(handles.coinfection,'string',coinfection);
end

```

Lampiran M. Lanjutan

```
%----- Representasi Metode Runge-Kutta -----
for i=1:n
    %Step 1
    K1_S(i)= h*(miu-(miu*S(i))-((beta1*I1(i))+(beta10*I12(i)))*S(i)-((beta2*I2(i))+(beta02*I12(i)))*S(i));
    K1_E1(i)= h*((beta1*I1(i))+(beta10*I12(i)))*S(i)-(miu*E1(i))-(epsilon1*E1(i))-((beta2*I2(i))+(beta02*I12(i)))*E1(i);
    K1_E2(i)= h*((beta2*I2(i))+(beta02*I12(i)))*S(i)-(miu*E2(i))-(epsilon2*E2(i))-((beta1*I1(i))+(beta10*I12(i)))*E2(i);
    K1_E12(i)= h*((beta2*I2(i))+(beta02*I12(i)))*E1(i)+((beta1*I1(i))+(beta10*I12(i)))*E2(i)-(miu*E12(i))-(epsilon10*E12(i))-(epsilon02*E12(i));
    K1_I1(i)= h*((epsilon1*E1(i))+(epsilon10*E12(i))-(miu*I1(i))-(epsilon02*E12(i)));
    K1_I2(i)= h*((epsilon2*E2(i))+(epsilon02*E12(i))-(miu*I2(i))-(epsilon10*E12(i)));
    K1_I12(i)= h*((epsilon02*E12(i))+(epsilon10*E12(i))-(miu*I12(i))-(rho10*I12(i))-(rho02*I12(i)));
    K1_R1(i)= h*((rho1*I1(i))+(rho10*I12(i))+(omega2*R2(i))-(miu*R1(i))-(omegal*R1(i)));
    K1_R2(i)= h*((rho2*I2(i))+(rho02*I12(i))+(omegal*R1(i))-(miu*R2(i))-(omega2*R2(i)));
    %Step2
    K2_S(i)= h*(miu-(miu*(S(i)+hh*K1_S(i)))-((beta1*(I1(i)+hh*K1_I1(i)))+(beta10*(I12(i)+hh*K1_I12(i))))*(S(i)+hh*K1_S(i))-((beta2*(I2(i)+hh*K1_I2(i)))+(beta02*(I12(i)+hh*K1_I12(i))))*(S(i)+hh*K1_S(i)));
    K2_E1(i)= h*((beta1*(I1(i)+hh*K1_I1(i)))+(beta10*(I12(i)+hh*K1_I12(i)))*(S(i)+hh*K1_S(i))-(miu*(E1(i)+hh*K1_E1(i)))-(epsilon1*(E1(i)+hh*K1_E1(i)))-((beta2*(I2(i)+hh*K1_I2(i)))+(beta02*(I12(i)+hh*K1_I12(i)))*(E1(i)+hh*K1_E1(i))));
    K2_E2(i)= h*((beta2*(I2(i)+hh*K1_I2(i)))+(beta02*(I12(i)+hh*K1_I12(i)))*(S(i)+hh*K1_S(i))-(miu*(E2(i)+hh*K1_E2(i)))-(epsilon2*(E2(i)+hh*K1_E2(i)))-((beta1*(I1(i)+hh*K1_I1(i)))+(beta10*(I12(i)+hh*K1_I12(i)))*(E2(i)+hh*K1_E2(i))));
    K2_E12(i)= h*((beta2*(I2(i)+hh*K1_I2(i)))+(beta02*(I12(i)+hh*K1_I12(i)))*(E1(i)+hh*K1_E1(i))+((beta1*(I1(i)+hh*K1_I1(i)))+(beta10*(I12(i)+hh*K1_I12(i)))*(E2(i)+hh*K1_E2(i))-(I12(i)+hh*K1_I12(i)))*(E2(i)+hh*K1_E2(i))-
        ((beta2*(I2(i)+hh*K1_I2(i)))+(beta02*(I12(i)+hh*K1_I12(i)))*(E1(i)+hh*K1_E1(i)))+((beta1*(I1(i)+hh*K1_I1(i)))+(beta10*(I12(i)+hh*K1_I12(i)))*(E2(i)+hh*K1_E2(i))-(I12(i)+hh*K1_I12(i)))*(E1(i)+hh*K1_E1(i)))
```

Lampiran M. Lanjutan

```

(miu*(E12(i)+hh*K1_E12(i))-
(epsilon10*(E12(i)+hh*K1_E12(i))-
(epsilon02*(E12(i)+hh*K1_E12(i))),;
K2_I1(i)=
h*((epsilon1*(E1(i)+hh*K1_E1(i)))+(epsilon10*(E12(i)+hh*K1_E
12(i)))-(miu*(I1(i)+hh*K1_I1(i))-
(epsilon02*(E12(i)+hh*K1_E12(i))-
(rho1*(I1(i)+hh*K1_I1(i))));
```

K2_I2(i)=
h*((epsilon2*(E2(i)+hh*K1_E2(i)))+(epsilon02*(E12(i)+hh*K1_E
12(i)))-(miu*(I2(i)+hh*K1_I2(i))-
(epsilon10*(E12(i)+hh*K1_E12(i))-
(rho2*(I2(i)+hh*K1_I2(i))));

K2_I12(i)=
h*((epsilon02*(E12(i)+hh*K1_E12(i)))+(epsilon10*(E12(i)+hh*K
1_E12(i)))-(miu*(I12(i)+hh*K1_I12(i))-
(rho10*(I12(i)+hh*K1_I12(i))-
(rho02*(I12(i)+hh*K1_I12(i))));

K2_R1(i)=
h*((rho1*(I1(i)+hh*K1_I1(i)))+(rho10*(I12(i)+hh*K1_I12(i)))+
(omega2*(R2(i)+hh*K1_R2(i)))-(miu*(R1(i)+hh*K1_R1(i))-
(omega1*(R1(i)+hh*K1_R1(i))));

K2_R2(i)=
h*((rho2*(I2(i)+hh*K1_I2(i)))+(rho02*(I12(i)+hh*K1_I12(i)))+
(omega1*(R1(i)+hh*K1_R1(i)))-(miu*(R2(i)+hh*K1_R2(i))-
(omega2*(R2(i)+hh*K1_R2(i))));

%Step3

K3_S(i) = h*(miu-(miu*(S(i)+hh*K2_S(i)))-
((beta1*(I1(i)+hh*K2_I1(i)))+(beta10*(I12(i)+hh*K2_I12(i))))
*(S(i)+hh*K2_S(i))-
((beta2*(I2(i)+hh*K2_I2(i)))+(beta02*(I12(i)+hh*K2_I12(i))))
*(S(i)+hh*K2_S(i));

K3_E1(i)=
h*((beta1*(I1(i)+hh*K2_I1(i)))+(beta10*(I12(i)+hh*K2_I12(i)))
)*(S(i)+hh*K2_S(i))-(miu*(E1(i)+hh*K2_E1(i)))-
(epsilon1*(E1(i)+hh*K2_E1(i)))-
((beta2*(I2(i)+hh*K2_I2(i)))+(beta02*(I12(i)+hh*K2_I12(i))))
*(E1(i)+hh*K2_E1(i));

K3_E2(i)=
h*((beta2*(I2(i)+hh*K2_I2(i)))+(beta02*(I12(i)+hh*K2_I12(i)))
)*(S(i)+hh*K2_S(i))-(miu*(E2(i)+hh*K2_E2(i)))-
(epsilon2*(E2(i)+hh*K2_E2(i)))-
((beta1*(I1(i)+hh*K2_I1(i)))+(beta10*(I12(i)+hh*K2_I12(i))))
*(E2(i)+hh*K2_E2(i));

K3_E12(i)=
h*((beta2*(I2(i)+hh*K2_I2(i)))+(beta02*(I12(i)+hh*K2_I12(i)))
)*(E1(i)+hh*K2_E1(i))+((beta1*(I1(i)+hh*K2_I1(i)))+(beta10
*(I12(i)+hh*K2_I12(i))))*(E2(i)+hh*K2_E2(i))-

Lampiran M. Lanjutan

```

(miu*(E12(i)+hh*K2_E12(i)))-  

(epsilon10*(E12(i)+hh*K2_E12(i)))-  

(epsilon02*(E12(i)+hh*K2_E12(i))));  

K3_I1(i)=  

h*((epsilon1*(I1(i)+hh*K2_E1(i)))+(epsilon10*(E12(i)+hh*K2_E12(i)))-  

(miu*(I1(i)+hh*K2_I1(i)))-  

(epsilon02*(E12(i)+hh*K2_E12(i)))-  

(rho1*(I1(i)+hh*K2_I1(i))));  

K3_I2(i)=  

h*((epsilon2*(E2(i)+hh*K2_E2(i)))+(epsilon02*(E12(i)+hh*K2_E12(i)))-  

(miu*(I2(i)+hh*K2_I2(i)))-  

(epsilon10*(E12(i)+hh*K2_E12(i)))-  

(rho2*(I2(i)+hh*K2_I2(i))));  

K3_I12(i)=  

h*((epsilon02*(E12(i)+hh*K2_E12(i)))+(epsilon10*(E12(i)+hh*K2_E12(i)))-  

(miu*(I12(i)+hh*K2_I12(i)))-  

(rho10*(I12(i)+hh*K2_I12(i)))-  

(rho02*(I12(i)+hh*K2_I12(i))));  

K3_R1(i)=  

h*((rho1*(I1(i)+hh*K2_I1(i)))+(rho10*(I12(i)+hh*K2_I12(i)))+  

(omega2*(R2(i)+hh*K2_R2(i)))-(miu*(R1(i)+hh*K2_R1(i)))-  

(omega1*(R1(i)+hh*K2_R1(i))));  

K3_R2(i)=  

h*((rho2*(I2(i)+hh*K2_I2(i)))+(rho02*(I12(i)+hh*K2_I12(i)))+  

(omega1*(R1(i)+hh*K2_R1(i)))-(miu*(R2(i)+hh*K2_R2(i)))-  

(omega2*(R2(i)+hh*K2_R2(i))));  

%Step4  

K4_S(i)= h*(miu-(miu*(S(i)+K3_S(i)))-  

((beta1*(I1(i)+K3_I1(i))+(beta10*(I12(i)+K3_I12(i)))*(S(i)  

+K3_S(i))-  

((beta2*(I2(i)+K3_I2(i)))+(beta02*(I12(i)+K3_I12(i)))*(S(i)  

+K3_S(i));  

K4_E1(i)=  

h*((beta1*(I1(i)+K3_I1(i))+(beta10*(I12(i)+K3_I12(i)))*(S(i)  

+K3_S(i))-  

(miu*(E1(i)+K3_E1(i)))-  

(epsilon1*(E1(i)+K3_E1(i)))-  

((beta2*(I2(i)+K3_I2(i)))+(beta02*(I12(i)+K3_I12(i)))*(E1(i)  

+K3_E1(i));  

K4_E2(i)=  

h*((beta2*(I2(i)+K3_I2(i)))+(beta02*(I12(i)+K3_I12(i)))*(S(i)  

+K3_S(i))-  

(miu*(E2(i)+K3_E2(i)))-  

(epsilon2*(E2(i)+K3_E2(i)))-  

((beta1*(I1(i)+K3_I1(i)))+(beta10*(I12(i)+K3_I12(i)))*(E2(i)  

+K3_E2(i)));  

K4_E12(i)=  

h*((beta2*(I2(i)+K3_I2(i)))+(beta02*(I12(i)+K3_I12(i)))*(E  

1(i)+K3_E1(i))+((beta1*(I1(i)+K3_I1(i)))+(beta10*(I12(i)+K3_I12(i)))*  

(E2(i)+K3_E2(i)))-(miu*(E12(i)+K3_E12(i)))-

```

Lampiran M. Lanjutan

```

(epsilon10*(E12(i)+K3_E12(i))-
(epsilon02*(E12(i)+K3_E12(i))));

K4_I1(i)=
h*((epsilon1*(E1(i)+K3_E1(i)))+(epsilon10*(E12(i)+K3_E12(i)))
)-(miu*(I1(i)+K3_I1(i)))-(epsilon02*(E12(i)+K3_E12(i))-
(rho1*(I1(i)+K3_I1(i))));

K4_I2(i)=
h*((epsilon2*(E2(i)+K3_E2(i)))+(epsilon02*(E12(i)+K3_E12(i)))
)-(miu*(I2(i)+K3_I2(i)))-(epsilon10*(E12(i)+K3_E12(i))-
(rho2*(I2(i)+K3_I2(i))));

K4_I12(i)=
h*((epsilon02*(E12(i)+K3_E12(i)))+(epsilon10*(E12(i)+K3_E12(i)))
)-(miu*(I12(i)+K3_I12(i)))-(rho10*(I12(i)+K3_I12(i))-
(rho02*(I12(i)+K3_I12(i))));

K4_R1(i)=
h*((rho1*(I1(i)+K3_I1(i)))+(rho10*(I12(i)+K3_I12(i)))+(omega
2*(R2(i)+K3_R2(i)))-(miu*(R1(i)+K3_R1(i))-
(omega1*(R1(i)+K3_R1(i))));

K4_R2(i)=
h*((rho2*(I2(i)+K3_I2(i)))+(rho02*(I12(i)+K3_I12(i)))+(omega
1*(R1(i)+K3_R1(i)))-(miu*(R2(i)+K3_R2(i))-
(omega2*(R2(i)+K3_R2(i))));

%Total
R1(i+1) = R1(i) + (1/6)*(K1_R1(i) + (2*K2_R1(i)) +
(2*K3_R1(i)) + K4_R1(i));
R2(i+1) = R2(i) + (1/6)*(K1_R2(i) + (2*K2_R2(i)) +
(2*K3_R2(i)) + K4_R2(i));
end

axes(handles.axes1);
plot(t,R1,'r','LineWidth',2)
hold on
plot(t,R2,'k','LineWidth',2)
hold off
xlabel('Waktu')
ylabel('Populasi');
title('Grafik Populasi Recovered');
legend('R1','R2');
grid on

```


BIODATA PENULIS



Penulis memiliki nama lengkap Siti Nur Mareliana Leni Syah Putri dan dilahirkan di Bojonegoro tanggal 25 Maret 1996 dari pasangan Latsuri dan Sri Darwati. Penulis merupakan anak pertama dari dua bersaudara. Penulis bertempat tinggal di Dsn. Nggandu Ds. Purwoasri, Kec. Sukosewu, Kab. Bojonegoro. Pendidikan formal yang telah ditempuh penulis yaitu TK Dharma

Wanita Kedungrejo, SD Negeri Kedungrejo I, SMP Negeri 1 Sugihwaras, dan SMA Negeri 1 Sugihwaras. Saat ini, penulis sedang menempuh pendidikan S1 di Jurusan Matematika Institut Teknologi Sepuluh Nopember Surabaya dengan bidang minat Terapan, yang mencakup Pemodelan Matematika serta Riset Operasi dan Pengolahan Data (ROPD).

Selama kuliah, pada tahun 2015-2016 penulis menjadi Staff di Biro Litbang Badan Pelaksana Mentoring (BPM) JMMI TPKI ITS. Penulis juga aktif di Lembaga Dakwah Jurusan Ibnu Muqlah Matematika ITS. Pada tahun 2015-2016 penulis menjadi Staff Keputrian Ibnu Muqlah Matematika ITS. Pada tahun 2016-2017 penulis menjadi Sekretaris Departemen Keputrian Ibnu Muqlah Matematika ITS. Penulis juga aktif di UKM KSR PMI ITS sebagai Staff Pengmas tahun 2016-2017. Serta pada tahun 2016-2017 penulis menjadi Pengajar di Rumah Perjuangan ITS Mengajar. Demikian biodata penulis. Jika ingin memberikan saran, kritik, dan diskusi mengenai laporan Tugas Akhir ini, dapat dikirimkan melalui email nur.mareliana@gmail.com. Terima kasih.